الجمهورية الجزائرية الديمقراطية الشعبية République Algérienne Démocratique et Populaire

وزارة التعليم العالى والبحث العلمى

Ministère de l'Enseignement Supérieur et de la Recherche Scientifique

Centre Universitaire AbdelhafidBoussouf -Mila

Institut des Sciences et de Technologie Département de Génie Civil et Hydraulique



N°Ref :.....

Projet de Fin d'Etude préparé en vue de l'obtention du diplôme de MASTER

Spécialité : Génie Civil Option : Structure

Etude d'un bâtiment en béton armé implanté dans une zone de moyenne sismicité IIa, contreventé par voiles et portiques.

Réalisé par :

- ANCER Ryane
- MEROUANE Manal

Soutenu devant le jury :

DR. TALEB Hosni Abderrahmane Président
DR. BENZAID Mehdi Examinateur
DR. BOUKOUR Salima Promotrice

Année universitaire: 2021/2022

Remerciements

Tout d'abord, nous remercions ALLAH le tout puissant pour son aide et pour nous avoir donné la force et la patience afin d'arriver à terminer ce travail.

Nous remercions nos deux familles qui nous ont toujours encouragé et soutenu durant toutes nos études tout au long de notre parcours.

Nous tenons à exprimer nos vifs remerciements à notre promotrice « Boukour Salima «

Nos remerciements les plus vifs vont également aux membres du jury qui nous feront l'honneur de juger notre travail.

Nous adressons de chaleureux remerciements à tous les enseignants et les travailleurs du département de Génie Civil.

Nous remercions aussi toutes les personnes qui nous ont aidés de prêt ou de loin à la réalisation de notre projet.

A toute la promotion 2022.

Dédicace

Ancer Rayane

Je dédie cet évènement marquant de ma vie à le mémoire de mon père disparu, j'espère que, du monde qui est sien maintenant, il apprécie est humble geste comme preuve de reconnaissance de la part d'une fille qui a toujours prié pour la salut de son âme puisse Dieu, le tout puissant, l'avoir en sainte miséricorde

A vous ma mère, mes frères, mes sœurs, mes amie et ma famille partout qui m'avez toujours soutenu et encourage durant ces années d'études



Dédicace

MEROUANE Manal

A ma très chère mère

Quoi qui je fasse ou que je dise, je ne saurai point te remercier comme il se doit. Ton affection me couvre, ta bienveillance me guide et ta présence à mes côtés a toujours été ma source de force pour affronter les différents obstacles.

Que Dieu ait pitié de toi maman.

A mon très cher père

Tu as toujours été à mes côtés pour me soutenir et m'encourager.

Que ce travail traduit ma gratitude et mon affection A mes très chers frères et mes belles sœurs et mon

fiancé

Puisse Dieu vous donne santé, bonheur, courage et surtout réussite

A tout ma famille

A tous ma promotion de Génie Civil 2021/2022

Sommaire

Chapitre I : Présentation de projet

I.1. Introduction	6
I.2. Présentation de l'ouvrage étudie	6
I.3. Dimension de l'ouvrage	6
I.4. Caractéristiques du sol	6
I.5. Hypothèses de calcul	7
I.6. Règles et normes de calcul	8
I.7. Caractéristiques mécanique des matériaux Béton Acier	10
I.8. Les actions	16
Chapitre II : Pré-dimensionnement et Décent o	le charge
II.1. Introduction	22
II.2. Pré-dimensionnement des éléments de l'ouvrage	22
II.2.2.Les plancher	22
II.2.3.L'acrotère	25
II.2.4. Escalier.	25
II.3. Pré-dimensionnement des éléments structuraux	28
II.3.1.Les poutres	28
II.3.2.Les poteaux.	30
II.3.3.Les voiles	31
II.3.4. Evaluation des charges et des surcharges	33
II.3.5.Descente de charge.	37
Chapitre III : Calcul des éléments seconda	aires
Introduction	45
III.1. L'acrotère	45
III.1.1. Dimensionnement	46
III.1.2. Evaluation des charges	46
III.1.3. Détermination de l'effort due au séisme	47

III.1.4. Les sollicitations
III.1.5. Combinaison d'action
II. 1.6. Calcul de ferraillage
III.2. Les Escaliers
III.2.1. Introduction
III.2.2. Dimensionnement
III.2.3. Evaluation des charge et surcharges
III.2.4. Combinaisons des charges
III.2.5. Calcul des sollicitations
III.2.6. Calcul de ferraillage
III.3.1 Etude Poutre palier
III.3.4.Les Balcons
III.3.2.Evaluation des charges
III.3.3.Combinaison des charges
III.3.4.Calcul des efforts dans le balcon
III.3.5.Calcul des armatures
III.4. Les plancher
III.4.1.Etude des planchers à corps creux
III.4.2. Méthode forfaitaire
Chapitre IV : Etude Sismique
IV.1. Etude sismique
IV.2. Présentation de la différente méthode d'estimation des forces sismiques103
IV.3. Méthode statique équivalente
IV.3.1. Principe de la méthode
IV.3.2. Condition d'application de la méthode
IV.3.3. Calcul de la force sismique totale
IV.4. Etude dynamique
IV.4.1. Caractéristiques géométriques et massiques de la structure
IV.4.2. Calcul de l'excentricité
IV.4.3. Vérification de la résultante des forces sismiques
IV.4.4. Justification de l'interaction portiques-voiles
IV.4.5. Vérification des déplacements
IV.5. Justification vis-à-vis de l'effet P

IV.6. Conclusion.	127
Chapitre V: Ferraillage des éléments porter	ırs
V.1. Introduction	128
V.2. Ferraillage des poteaux	129
V.2.1. Recommandation du RPA 99/version 2003	129
V.2.2. Calcul de ferraillage	129
V.3. Ferraillage des poutres	135
V.3.1. Recommandation du RPA 99/version 2003	136
V.3.2. Calcul de ferraillage	
V.4. Etude des voiles	148
V.4.1. Recommandation du RPA 99/Version 2003	149
V.4.2. Ferraillage des voiles	152
V.4.3. Conclusion.	156
Chapitre VI : Etude de l'infrastructure	
VI.1. Introduction	158
VI.2. Choix de type de fondation	158
VI.3. Etude des fondations	159
VI.2.2 .Calcul de surface revenant à la semelle isolée	159
VI.2.2.Hypothèse de calcul	159
VI. 2.3. Pré-dimensionnement de la semelle filante	160
VI. 2.4.Calcul de ferraillage	164
VI.4. Etude de la poutre de redressement	164
VI.4.1. Pré dimensionnement de la poutre	166
VI.4.2. Calcul le ferraillage	166
VI.4.3. Etude de la longrine	167
VI.4.4. Dimensionnement de la longrine	168
VI.4.5. Ferraillage de la longrine	168
VI.4.6. Etude du voile périphérique	169
VI.4.7. Ferraillage du voile périphérique	170

Liste des figures

Chapitre I. Présentation du projet et caractéristiques des matériaux

Figure I.1: Bâtiment en 3D	7
Figure I.2 : Plan du rez-de-chaussée et étage courant	8
Figure I.3 : Evaluation de la résistance en de l'âge du Béton	12
Figure I.4 : Diagramme contraintes déformation du béton à l'ELU	13
Figure I.5 : Diagramme contraintes déformation du béton à l'ELS	14
Figure I.6: Type d'armatures	16
Figure I.7: Diagramme contraintes déformation de l'acier	17
Figure I.8: Enrobage	18
Chapitre II. Pré dimensionnement des éléments	
Figure II.1 : plancher à corps creux	23
Figure II.2: Dimensions d'une poutrelle	24
Figure II.3 : Schéma statique de l'acrotère	25
Figure II.4: Coupe transversale d'un Balcon	25
Figure II.5 : Schéma d'un escalier	26
Figure II.6 : Schéma statique de l'escalier	27
Figure II.7: Section poutre principale	29
Figure II.8 : Section poutre secondaire	30
Figure II.9 : coupe de voile en élévation	32
Figure II.10 : coupe de voile en plan	32
Figure II.11: Mur extérieur	36
Figure II.12 : Mur intérieur	37
Figure II.13 : Surface afférente du poteau	39
Chapitre III .Etude des éléments secondaires	
Figure III.1 : Schéma réel et statique de l'acrotère	46
Figure III.2 : Schéma de ferraillage d'un acrotère	49
Figure III.3 : Schéma de ferraillage de l'escalier	50

Figure III.4 : Diagrammes des moments fléchissant et tranchant de la poutre palière à ELS
Figure III.5 : Schéma de ferraillage de poutre palière
Figure III.6 : Schéma de ferraillage .du balcon
Figure III.7 : Diagramme des moments fléchissant et de l'effort tranchant une poutre à deux
travées
Figure III.8 : Diagramme des moments fléchissant et de l'effort tranchants une poutre
Plusieurs travées
Figure III.9 Diagramme des moments efforts tranchants de type 2 à L'ELU66
Figure III.10 Diagramme des moments efforts tranchants de type 2 à L'ELS72
Figure III.11: Diagramme des moments efforts tranchants de type 3 à L'ELU73
Figure III.12: Diagramme des moments et effort tranchants de type 3 à ELS74
Figure III.13: Diagramme des moments et effort tranchants de type 4 à l'ELU74
Figure III .14: Diagramme des moments et effort tranchants de type 4 à ELS
Figure III.15 : Coupe d'une poutrelle
Figure III.16: Diagramme des moments et effort tranchants type 1 à l'ELU77
Figure III.17: Diagramme des moments et effort tranchant type 1 à l'ELS83
Figure III.18: Diagramme des moments et effort tranchant type 2 à l'ELU84
Figure III.19: Diagramme des moments et effort tranchant type 2 à l'ELS85
Figure III.20: Diagramme des moments et effort tranchant type 2 à l'ELU86
Figure III.21: Schéma de ferraillage de la dalle de compression
Chapitre IV. Étude dynamique
Figure IV.1: Disposition du voile proposés
Figure IV.2: Mode 1 translation Selon X-X
Figure IV.3: Mode 2 translation Selon Y-Y
Figure IV.4: Mode 3 rotation au tour de l'axe Z-Z
Figure IV.5: Vue en 3D du model obtenu par logiciel Robot V2014114
Figure IV.6: Distribution de l'effort normal
Figure IV.7: Distribution de l'effort tranchant
Chapitre V. Calcul des éléments Principaux
Figure V.1 : Schéma de ferraillage des poteaux

Figure V.2 : Diagramme des moments en travée et sur appuis pour la poutre
secondaire
Figure V.3 : Schéma de ferraillage des poutres secondaire
Figure V.4 : Diagramme des moments en travée et sur appuis poutre principale143
Figure V.5 : Schéma de ferraillage des poutres principales
Figure V.6 : Disposition des armatures verticales vue en plan
Figure V.7: Disposition les voile
Chapitre VI. Etude de l'infrastructure
Figure VI .1: Schéma de la semelle isolée
Figure VI.2 : Schéma de la semelle filante
Figure VI.3 : Dimension de la semelle filante sous voile
Figure VI.4 : Schéma de ferraillage du la longrine
Figure VI.5 : Schéma de ferraillage du voile périphérique

Liste des tableaux

Chapitre I. Présentation du projet et caractéristiques des matériaux

Tableau I-1: Les sections d'acier.	17
Tableau I-2: limite élastique en fonction du type d'acier	17
Tableau I-2 : les caractéristique du béton et de l'acier utilisé	20
Chapitre II. Pré dimensionnement des éléments	
Tableau II-1: charges permanentes revenants au plancher terrasse inaccessible	33
Tableau II-2: charges permanentes de la dalle de niveau d'étage courant	34
Tableau II-3 : Evaluation des charges permanentes de balcon de terrasse	34
Tableau II-4: Evaluation des charges permanentes de balcon étage courant	35
Tableau II-5 : Evaluation des charges permanentes dans le paillasse d'escalier	35
Tableau II-6: Evaluation des charges de palier	36
Tableau II-7: Evaluation des charges de mur extérieur	36
Tableau II-8: Evaluation des charges de mur intérieur	37
Tableau II-9: les charges d'exploitation	38
Tableau II-10 : les descentes des charges de poteaux intermédiaire	39
Chapitre III. Etude des éléments secondaires	
Tableau III-1: Combinaisons des charges charge	50
Tableau III-2: Ferraillage d'escalier	52
Tableau III-3: moments et efforts tranchant	56
Tableau III-4: choix de la méthode calcul à suivre pour les différents types	67
Tableau III-5:les combinaisons d'action	68
Tableau III-7: Sollicitation a l'ELU (plancher étage courant type 1)	70
Tableau III-8: sollicitation a l'ELS (plancher étage courant type 1)	71
Tableau III-9: Sollicitation a l'ELU (plancher étage courant type 2)	71
Tableau III-10 : Sollicitation a l'ELS (plancher étage courant type 2)	72
Tableau III-11: Sollicitation a l'ELU (plancher étage courant type3)	73
Tableau III-12 : Sollicitation a l'ELS (plancher étage courant type 3)	73

Tableau III-13: Sollicitation a l'ELU (plancher étage courant type 4)	75
Tableau III-14: Sollicitation a l' ELS (plancher étage courant type 4)	76
Tableau III-15 : Sollicitation a L'ELU(plancher terrasse type 1)	78
Tableau III-16: Sollicitation a l'ELS (plancher terrasse type1)	78
Tableau III-17 : Ferraillage à l' ELU (En travée)	81
Tableau III-18: Ferraillage à l' ELU (En appuis)	83
Tableau III-19: Vérification des contraintes à ELS	83
Tableau III-20 : Sollicitation a l'ELU (plancher terrasse type 2)	84
Tableau III-21: Sollicitation a l'ELS (plancher terrasse type 2)	85
Tableau III-22: Sollicitation a l'ELU (étage courant type 2).	86
Tableau III-23 : Sollicitation a l'ELS (étage courant type 2)	87
Tableau III-24: Les sollicitations les plus défavorables	88
Tableau III-25: Tableau de ferraillage à l'ELU	90
Tableau III-26: Tableau de ferraillage à l'ELS	90
Chapitre IV. Étude dynamique	
Tableau IV-1: Valeurs de coefficient C _t	106
Tableau IV-2 Valeurs de T1et T2	
Tableau IV-3 Valeurs <i>de ξ(%)</i>	107
Tableau IV-4: Valeurs de coefficient de comportement R	107
Tableau IV-5: Valeurs des pénalités Pa	
Tableau IV-6 : Modes et périodes de vibration et taux de participation massique	115
Tableau IV-7 : Centre de masse et de centre de torsion	117
Tableau IV-8: Vérification de l'excentricité	117
Tableau IV -9: effort tranchant	118
Tableau IV-10 : Vérification des déplacements au sens (X-X) et (Y-Y)	
Tableau IV-11: Vérification au renversement au sens X-X.	121
Tableau IV-12: Vérification au renversement au sens Y-Y	121
Tableau IV-13: Vérification d'effort normal réduit des poteaux	122
Tableau IV-14: Vérification de l'effet P-Δ au sens X-X	122
Tableau IV-15 : Vérification de l'effet P-Δ au sens Y-Y	123
Tableau IV-16: Valeurs Reprise des charges Verticales par les voiles et les portiqu	es123
Tableau IV-17 : Valeurs Reprise des charges horizontales par les voiles et les porti	ques124
	-

Tableau IV.18 : Distribution de la résultante des forces sismiques pour chaque étage selo	n
1'axe x12	6
Tableau IV.19: Distribution de la résultante des forces sismiques pour chaque étage selo	n
l'axe y12	6
Chapitre V. Etude des éléments porteurs	
Tableau V-1: Ferraillage des poteaux sous combinaisons ($N_{max} \rightarrow M_{corres}$)	9
Tableau V-2: Ferraillage des poteaux sous combinaison ($N_{min} \rightarrow M_{corres}$)	9
Tableau V-3 : Ferraillage des poteaux sous ($M_{corres} \rightarrow N_{max}$)	9
Tableau V-4 : Ferraillage longitudinal de poteaux 13-	4
Tableau V-5: Calculs des contraintes de cisaillement. 13e	6
Tableau V.6 ferraillage des armatures transversales. 13	7
Tableau V.7: les vérifications à l'ELS	8
Tableau V.8: Sollicitations de la poutre principales 13	9
Tableau V-9 : Ferraillage des poutres principales	1
Tableau V-10 : Vérification a l'ELS de la poutre principale	2
Tableau V.11 : Sollicitations de la poutre principale	4
Tableau V-12 : Ferraillage des poutres secondaire 14	.5
Tableau V-13: Vérification à l'ELS de la poutre secondaire	.7
Tableau V.14 : Sollicitations de calcul dans les voiles (RDC à5 ^{éme} étage)	3
Tableau V.15 : Ferraillage des voiles à yy et xx (RDC à 5 ^{éme} étage)	5
Chapitre VI. Etude de l'infrastructure	
Tableau VI .1 : Les surfaces des semelles isolées 15	9
Tableau VI .2 : Les surfaces des semelles filantes 16	7
Tableau VI. 3 : Section des armatures du voile périphérique 17	0

Symboles et notations

A'; A_s : Section d'aciers comprimés et section d'aciers à l'ELS respectivement.

A_t: Section d'un cours d'armature transversal.

A: Coefficient d'accélération de zone

a: épaisseur

α: Coefficient de la fibre neutre

B: Aire d'une section de béton.

B_r: Section réduite.

b: la largeur (m).

C_T: Coefficient fonction du système de contreventement et du type de remplissage T

C_u: La cohésion du sol (KN/m2).

D: Diamètre, dalle

D: Facteur d'amplification dynamique moyen.

ELS: Etat limite de service.

ELU: Etat limite ultime.

E: Module d'élasticité longitudinale, séisme.

E_i: Module d'élasticité instantanée.

E_s: Module d'élasticité de l'acier.

 E_d , E_c : Sont les modules de déformation.

e_v: épaisseur du voile.

F: Force ou action générale.

f_{c28} : Résistance caractéristique à la compression donnée en (MPa).

 \mathbf{f}_{t28} : Résistance caractéristique à la traction donnée en (MPa).

 \mathbf{f}_{ii} : la flèche correspondant à j.

 \mathbf{f}_{gi} : la flèche correspondant à g.

 \mathbf{f}_{qi} : la flèche correspondant à q.

 $\mathbf{f_{gv}}$: la flèche correspondant à v.

 Δ_{ft} : la flèche totale.

 Δft_{adm} : la flèche admissible.

F: Coefficient de sécurité = 1.5

G: Action permanente.

H: hauteur, la hauteur d'ancrage d'une fondation (m).

h_t: hauteur totale du plancher.

 $\mathbf{h_0}$: épaisseur de la dalle de compression.

h_e: hauteur libre d'étage.

I: Moment d'inertie (m4).

Iii: Moment d'inertie correspondant à j.

 I_{gi} : Moment d'inertie correspondant à g.

 I_{qi} : Moment d'inertie correspondant à q.

Igv: Moment d'inertie correspondant à v.

Q: Charge variable.

Q : Facteur de qualité.

Q_u: charge ultime.

 Q_s : charge de service. .

L: Longueur ou portée.

L_{max}: La plus grande portée entre deux éléments porteurs successifs (m).

 L_x = distance entre nus de poutrelles.

 L_v = distance entre axes d'appuis des poutrelles principales.

l': longueur fictive.

 $\mathbf{l'_g}$ et $\mathbf{l'_d}$: Longueurs fictives à gauche et à droite respectivement.

M: Moment en général.

M_a: Moment sur appui.

 M_u : Moment de calcul ultime.

 M_{ser} : Moment de calcul de service.

 M_t : Moment en travée.

 M_0 : moment isostatique.

M_i: Moment à l'appui i

M_g et M_d: Moment à gauche et à droite pris avec leurs signes.

M_i: Moment correspondant à j.

 $\mathbf{M}_{\mathbf{g}}$: Moment correspondant à g.

 $\mathbf{M}_{\mathbf{q}}$: Moment correspondant à q.

 N_s : Effort normal de service.

 N_u : Effort normal ultime

N: Effort normale du aux charges verticales.

n: est le nombre de marches sur la volée, Coefficient d'équivalence.

N_{Tot}: Poids total transmis par la superstructure (KN).

P: Charge concentrée appliquée (ELS ou ELU).

 P_g et P_d : Charges uniformes à gauche et à droite respectivement.

R : coefficient de comportement global.

S: Section, surface

 S_r : surface du radier (m²).

 S_t : Espacement des armatures.

T: Effort tranchant.

T₂: période caractéristique, associé à la catégorie du site.

V: Effort tranchant.

W: poids propre de la structure.

W: Charges d'exploitation. Qi

W: poids du aux charges permanentes et à celles d'équipement fixes éventuels. Gi

X, Yet Z: Coordonnées en général.

Y: Ordonnée de la fibre neutre.

Z: Coordonnée, bras de levier

Z : profondeur au-dessous de la fondation (m).

b₀ : Epaisseur brute de l'arme d'une section, largeur de la nervure

d: Hauteur utile.

e: Excentricité, épaisseur.

f: Flèche.

f_{bu}: Contrainte de compression du béton à l'E.L.U.R

f_e: Limite d'élasticité.

 $\mathbf{F_{cj}}$: Résistance caractéristique à la compression à « j » jours exprimée en (MPa).

 \mathbf{F}_{ti} : Résistance caractéristique à la traction à « j » jours exprimée en (MPa).

 $\mathbf{h_t}$: hauteur total du radier (m).

h: hauteur mesurée en mètre à partir de la base de la structure jusqu'au dernier niveau. N

 σ_b : Contrainte de compression du béton.

 σ_s : Contrainte de compression dans l'acier

υ : Coefficient de poison

 σ : Contrainte normale.

 σ_i : Contrainte correspondant à j.

 σ_g : Contrainte correspondant à g.

 σ_q : Contrainte correspondant à q.

 γ_w : Poids volumique de l'eau (t/m3).

 γ_b : coefficient de sécurité.

 γ_s : coefficient de sécurité.

φ: Angle de frottement interne du sol (degrés).

 σ_{adm} : Contrainte admissible au niveau de la fondation (bars).

q: chargement KN/ml.

 $\pmb{\tau_{ultime}} \text{:} \ \text{Valeur de cisaillement limite donné par le BAEL (MPa)}.$

 τ_u : Contrainte de cisaillement (MPa).

η: Facteur d'amortissement.

β: Coefficient de pondération en fonction de la nature et de la durée de la charge d'exploitation.

 μ_l : Moment réduit limite.

 μ_u : Moment ultime réduit.

 λ_i : Coefficient instantané.

 λ_v : Coefficient différé.

Autres notations

CV: Condition vérifiée.

CNV: Condition non vérifiée.

RDC: Rez de chausser

Résumé

Le but de projet est l'étude d'une bâtiment à usage d'habitation (R+5) implanté dans la wilaya de Mila, classé en zone IIa selon le règlement parasismique Algérien (RPA 99 version 2003), La stabilité de l'ouvrage est assurée par les poutres, les poteaux et les voiles, L'étude et l'analyse de ce structure ont été établies par le logiciel (Robot) afin de déterminer les différentes sollicitations dues aux chargements (charges permanente, d'exploitation et charge sismique). Le calcul des dimensions et du ferraillage de tous les éléments résistants sont conformes aux règles applicables en vigueurs à savoir le BAEL91 modifier99 et RPA99 version 2003et DTR.BC.2.2 et CBA93.

Mot clé:

Bâtiment, béton armé, Règlement parasismique, BAEL, Analyse structurelle avec robots.

Abstract

The purpose of the project is the study of a building for residential use (R+5) located in the wilaya of Mila, classified in zone IIa according to the Algerian payment parasismic (RPA 99 version 2003). The stability of the load bearing walls is ensured by the beams, and the columns and the walls. The study and the analysis of this plan had been established by software (ROBOT) in order to determine the various stresses due to the loads (permanent loads, operating loads and seismic load). The calculation of dimensions and the reinforcement of all the resistant elements are in conformity with the rules applicable in strengths to knowing (BAEL91 modifier99, RPA99 - Version 2003, DTR.BC.2.2, CBA93).

Key words:

Building, Reinforced concrete, Seismic Regulations, BAEL, Robot Structural Analysis, ملخص

يهدف هذا المشروع إلى دراسة بناية ذات طابع سكني تتألف من طابق ارضي + خمس طوابق, يتم انجازها بولاية ميلة المصنفة ضمن المنطقة الزلزاللية رقم II حسب القواعد الجزائرية المضادة للزلازل(RPA99 version 2003) مقاومة و استقرار البناية لكل الحمولات العمودية و الأفقية مضمونة بواسطة العارضات, الأعمدة و الجدران المشكلة من مادة الخرسانة المسلحة

الدراسة الديناميكية تمت باستعمال طريقة برنامج(ROBOT) من أجل الحصول علي الضغوط المختلفة الناتجة عن الأحمال (الأحمال الدائمة ، أحمال التشغيل والحمل الزلزالي). تحديد الأبعاد و التسليح كل العناصر المقاومة للبناية صمم طبق المعايير و القوانين المعمول بها في الجزائر (99BAEL 91 معدلة PPA, 99إصدار 2003

(DTR.BC.2.2, CBA93

الكلمات المفتاحية:

العمارة،الخرسانة المسلحة، اللوائح الزلزالية، BAEL,التحليل الانشائي باستخدام روبوت

ntroduction general

Construire a toujours été l'un des premiers soucis de l'homme et l'une de ses occupations privilégiées. A ce jour, la construction connait un grand essor dans la plupart des pays du monde et très nombreux sont les professionnels qui se livrent à l'activité de bâtir dans le domaine du bâtiment ou des travaux publics.

L'Algérie présente une vulnérabilité élevée aux séismes. L'implantation d'un ouvrage quelconque nécessite de prendre en compte plusieurs paramètres (degré de sismicité, qualité du sol, forme de la structure, le type de contreventement à choisir...)

Dans le but de préserver la sécurité des vies humaines et des biens matériels, les ingénieurs en génie civil sont appelés à concevoir des structures dotées d'une bonne rigidité et d'une résistance suffisante vis-à-vis de l'effet sismique, économiques, esthétiques et la viabilité de l'ouvrage.

Afin de mettre en application les connaissances acquises durant notre formation, on se propose dans le présent projet d'étudier un bâtiment **R+5** implanté en zone de moyenne sismicité (**Mila**).

Notre travail a consisté à respecter les critères suivants :

- Sécurité et durabilité de l'ouvrage.
- Faisabilité (facilité de réalisation de l'ouvrage).
- Economie.

Notre structure doit être calculée et conçue de telle manière qu'elle reste apte à l'utilisation pour laquelle elle a été prévue compte tenu de sa durée de vis envisagée et de son coût.

A cet effet, et à travers le monde, on a créé et imposé des règlements visant à cadrer les constructions en zones sismiques et à les classer, afin de mieux les concevoir et réaliser.

Ces règlements sont le fruit de longues années d'expériences et de recherche approfondie, dont le but est d'offrir un seuil de sécurité qui permettra de protéger les vies humaines et de limiter les dommages lors des secousses sismiques.

Le projet qu'on à choisit porte sur l'étude d'un bâtiment multifonctionnelle (R+5), il regroupe à la fois commerce, et logements d'habitation et il est contreventé par un système mixte (voile portique).

L'objectif de cette étude et de mettre à profit l'ensemble des connaissances acquisses durant notre cursus.

Ce travail est organisé en six chapitres:

Premier chapitre: présentation du projet et les principes de calcul vis-à-vis des règlements ainsi que les caractéristiques des matériaux utilisées.

Le second chapitre traite le calcul de pré dimensionnement des différents éléments porteurs à savoir : les planchers, les poutres, les poteaux et les voiles.

Le calcul des éléments secondaires et les vérifications relatives nécessaires sont présentés au troisième chapitre.

Dans le quatrième chapitre, nous effectueront d'abord une analyse dynamique en réalisant un modèle 3D à l'aide d'un logiciel de calcul (Robot), qui nous permettra d'avoir les résultats suivants:

- Les caractéristiques vibratoires (périodes propres et modes propres) de la structure.
- Les sollicitations dans les éléments structuraux, poutres, poteaux et voiles.

Le calcul des ferraillages des éléments structuraux, fondé sur les résultats du logiciel Robot est présenté dans le cinquième chapitre.

En dernier lieux, le calcul de l'infrastructure qui fera l'objet du sixième chapitre Le travail est clôturé par une conclusion générale qui synthétise notre travail.

CHANITO I INFOSORIZATION DE L'OUVIAUE

Introduction

Pour qu'une étude génie civil soit bien faite, la reconnaissance des caractéristiques géométriques de la structure et des caractéristiques mécaniques des matériaux utilisés dans sa réalisation est indispensable, c'est ce qui fait l'objet de ce premier chapitre

Notre projet d'étude consiste à dimensionner et à calculer les éléments résistants d'un bâtiment (R+5) de forme irrégulière à usage d'habitation . Ce dernier est constitué de portiques et voiles. Ce premier chapitre porte sur la présentation globale de l'ouvrage avec ses différentes caractéristiques, ainsi que ses éléments constitutifs et leurs caractéristiques mécaniques.

. Présentation de l'ouvrage étudie :

Dimension de l'ouvrage :

Dimensions en plan

- ➤ Longueur totale du bâtiment......23.55 m.
- Largeur totale du bâtiment...... 16.80 m.

Dimensions en élévation

- Hauteur de l'étage......3.06 m.
- Hauteur de l'acrotère......0.6 m

Description des l'ouvrage

La structure qui fait l'objet de notre étude repose sur le sol d'où les caractéristiqueest la suivante :

- ➤ Le bâtiment est implanté dans la wilaya de Mila c'est zone classée par les règles parasismiques Algériennes 99/version 2003 comme zone de moyenne sismicité (**zone IIa**).
- ➤ L'ouvrage appartient au groupe d'usage 2 ayant un ouvrage d'importance moyenne) selon la classification des ouvrages, suivant leur importance d'après les règles parasismiques algériennes « R.P.A 99 version 2003»[ref]
- \gt Le sol du site qui supportera la structure est un sol ferme classé selon le RPA99/VERSION2003 comme un sol de catégorie S3 sol meuble σ_{sol} =170KN/ m^2

Plans architectural

La structure est formée de portiques et de voiles en béton armé. Sa configuration géométrique n'est pas régulière en plan. Les plans illustrés dans les figures suivantes, du sous sol, RDC et jusqu'a 5éme étage, sont des exemples pour clarifier la présentation globale.



Figure I.1 : Bâtiment en 3D



Figure I.2 : Plan du rez-de-chaussée et étage courant

Règles et normes de calcul

Notre étude est élaborée et établie suivant les règles de calcul et de conception qui sont mise en vigueur actuellement en Algérie à savoir:

- **RPA99V2003**: Règlements parasismiques Algérienne version 2003 (RPA99/version2003)
- **DTR.BC.2.2**: Document Technique Règlementaire (charges permanentes et d'exploitation)
- **BAEL91:** Béton Armé Etats Limites 91
- **CBA93:** Règles de conception et de calcul des ouvrages en Béton Armé
- **RNVA99:** Règlement du Neige et Vent Algérien99

1.4 ELEMENTS CONSTITUANTS DE LA CONSTRUCTION

1.4.1. Planchers

C'est un ouvrage de charpente de menuiserie ou de maçonnerie, tout ou partie en bois, en fer ou en béton, formant une plate-forme horizontale au rez-de-chaussée ou une séparation entre les étages d'une construction sa sous-face.

a. Plancher en corps creux

Une dalle de compression armée ou 'hourdis' coulée sur les efforts de compression. Le plancher est entouré par un chainage horizontal.

b. Dalles pleine en béton armé.

C'est une plaque en béton armé qui peut reposer avec ou sans continuité sur 2, 3, ou 4 appuis constitués par des poutres, des poutrelles ou des murs.

1.4.2. Acrotère

Est un relief constitué par un muret situé en bordure de la toiture, dans le prolongement de ses murs de façade.

1.4.3. Escaliers

Est une construction architecturale est constituée d'une suite régulière des marche horizontales permettant d'accéder à un étage et de passer à pied d'un niveau à un autre en montant et en descendant, elle est constituée d'une ou plusieurs volées de marche. Notre structure comporte un seul type d'escaliers:

1.4.4. Maçonnerie

Est l'art de bâtir une construction par l'assemblage de matériaux élémentaires, liée ou non par un mortier. C'est l'art du maçon par définition mais aussi le résultat de son travail. Deux types de murs se présentent dans notre structure :

- Les murs extérieurs: ils sont réalisés en briques creuses à doubles parois séparées par une lame d'air d'épaisseur 5cm pour l'isolation thermique et phonique.
- Les murs intérieurs: sont réalisés en simple cloisons de briques creuses de 10cm, leurs fonctions principale est la séparation des espaces et l'isolation thermique et acoustique.

1.4.5. Revêtements

Ce qui sert à recouvrir une surface pour la solidifier, la protéger ou la décorer. Le revêtement est constitué de :

- Enduit en ciment pour les faces extérieures des murs de façades.
- Enduit de plâtre pour les murs et les plafonds.
- Carrelage pour les planchers et les escaliers.
- Céramique dans la salle d'eau.

1.4.6. L'isolation

- L'isolation acoustique est assurée par le vide de corps creux et la masse du plancher par contre au niveau de murs extérieurs l'isolation est assurée par le vide d'air entre les deux parois qui compose se dernier, et par la minimisation des ponts thermique en cour déréalisation. l'isolation thermique est assurée par les couches de liège pour le Plancher terrasse.
- Plancher terrasse sera recouvert par une étanchéité multicouche imperméable évitant la pénétration d'eau et assurant une isolation thermique

1.4.7. Les voiles

Les voiles sont des éléments rigides en béton armé coulés sur place. Dans les deux sens (transversal et longitudinal) Ils sont destinés d'une part à reprendre une partie des charges verticales et d'autre part à assurer la stabilité de l'ouvrage sous l'effet des chargements horizontaux.

1.4.8. Les fondations

Elle sera réalisée en béton armé et assure les fonctions suivantes:

o Transmettre les charges verticales et horizontales au sol.

- o Limiter les tassements.
- O Réaliser l'encastrement de la structure dans le sol.

Le choix de type de fondation dépend de type du sol d'implantation et de l'importance de l'ouvrage

1.5. CARACTERISTIQUES MECANIQUES DES MATERIAUX

Les matériaux de construction jouent incontestablement un rôle important dans la résistance des constructions aux séismes. Leur choix est souvent le fruit d'un compromis entre divers critères tels que ; le coût, la disponibilité sur place et la facilité de mise en œuvre du matériau prévalant généralement sur le critère de résistance mécanique. Ce dernier est en revanche décisif pour les constructions de grandes dimensions.

I.5.1. Béton

I.5.1.1. Définition

Le béton est un matériau constitué par le mélange, dans les proportions convenables de ciment, de granulats (sables et gravillon) et de l'eau et éventuellement de produits d'addition (adjuvant), le mélange obtenu est une pâte qui durcit rapidement.

La variation de la résistance et des autres propriétés du béton et de l'acier sont contrôlées par des mesures effectuées en laboratoire sur éprouvettes.

Le béton est un mélange composé de ciment, de gravier, de sable et d'eau en proportions déterminées. Il est le plus souvent associé à l'acier donnant ce qu'on appelle "béton armé".

Le ciment: joue le rôle d'un liant. Sa qualité et ses particularités dépendent des proportions de calcaire et d'argile, est un composé minéral formant avec l'eau une pâte qui durcit progressivement. Le ciment utilisé est un CPJ 32,5 (ciment portland composé de classe 32,5).

Les granulats: qui rentrent dans la confection du béton sont le sable et le gravier.

<u>Eau de gâchage</u>: doit être propre et dépourvue de tout produit pouvant nuire aux caractéristiques mécaniques des aciers tel que la résistance.

I. 5.1.2. Composition du béton

Un béton courant un mètre cube, est composé de:

- **♣** 350 Kg de ciment (CPA 325).
- 400 l Sable (0 < Dg < 5 mm).
- **♣** 800 l de:
- Gravillons (5 < Dg < 15mm).

- Gravier (15 < Dg < 25mm).
- ♣ 1751 d'eau de gâchage.

Le béton obtenu aura une masse volumique qui varie entre $2200~\text{Kg/m}^3$ et $2500\text{Kg}~\text{/m}^3$.

I. Résistance caractéristique du béton

A. Résistance caractéristique en compression $f_{\rm cj}$

Dans les constructions courantes, le béton est défini, du point de vue mécanique par sa résistance caractéristique à la compression (à 28 jours d'âge noté « f_{c28} »). Cette résistance (f_{cj} en 25MPa) est obtenue par un grand nombre d'essais de compression jusqu'à la rupture sur une é

Le durcissement étant progressif, f_{cj} est fonction de l'âge du béton. Aussi, la valeur conventionnellement retenue pour le calcul des ouvrages est f_{cj} .

• Pour des résistances $f_{c28} \le 40 \text{ MPa}$.

$$\begin{cases} f_{cj} = \frac{j}{4.76 + 0.83j} f_{c28} & \text{Si} \quad j \le 60 \text{ jours} \\ f_{cj} = 1.1 f_{c28} & \text{Si} \quad j > 60 \text{ jours} \end{cases}$$

• Pour des résistances $f_{c28} > 40$ MPa.

$$\begin{cases} f_{cj} = \frac{j}{1.40 + 0.95j} f_{c28} & \text{Si} \quad j \le 28 \text{ jours} \\ f_{cj} = f_{c28} & \text{Si} \quad j > 28 \text{ jours} \end{cases}$$

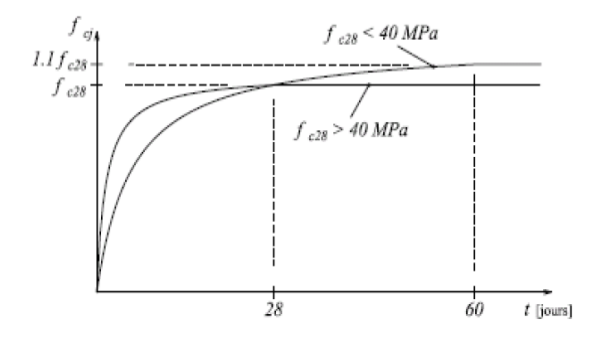


Figure I.3: Évaluation de la résistance f_{cj} en fonction de l'âge du béton

Pour 1m^3 de béton courant doser à 350 kg de ciment portland artificiel (CPA325), la résistance moyenne f_{c28} comprise entre 22 et 25 MPa.

On prend
$$f_{c28} = 25$$
 MPa

B. Résistance à la traction f_{ti}

La mesure directe de la résistance à la traction par un essai de traction axiale étant délicate on a recours à deux modes opératoires différents:

• Flexion d'éprouvettes prismatiques non armées.

• Fendage diamétral d'une éprouvette cylindrique (essai Brésilien)

La résistance caractéristique à la traction du béton à j jours, notée f_{tj} , est conventionnellement définie par les relations:

$$\begin{cases} f_{\rm tj} = 0.6 + 0.06 \, {\rm fcj} & {\rm si} \quad f_{\rm c28} \le 60 \, {\rm MPa} \; . \\ f_{\rm tj} = 0.275 \, {\rm fcj} & {\rm si} \quad f_{\rm c28} > 60 \, {\rm MPa} \; . \end{cases}$$

Pour j = 28 jours et $f_{c28} = 26MPa$; $f_{t28} = 2,16MPa$

C. Les contraintes limites de calcul

♣ Contraintes limites à l'état limite ultime (E.L.U)

C'est un état au delà du quel le bâtiment n'est plus exploitable et dont le déplacement entraı̂ne la ruine de l'ouvrage. La contrainte limite, notée f_{bu} est donnée par:

$$f_{bu} = \frac{0.85 f_{c28}}{\theta \gamma_b}$$

Pour le calcul à l'E.L.U on adopte le diagramme parabole- rectangle suivant :

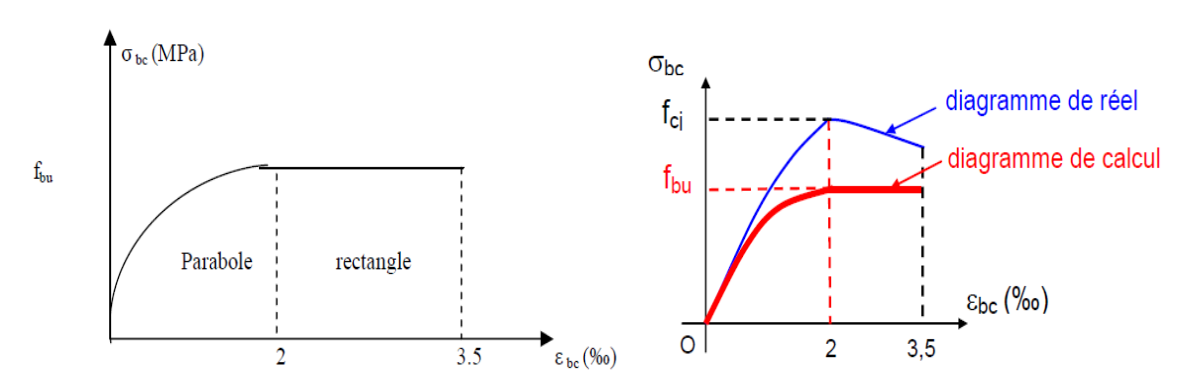


Figure I.4: Diagramme des contraintes du béton

Avec:

 $f_{\rm bu}$: Contrainte ultime du béton en compression.

γ_b: Coefficient de sécurité:

+ $\gamma_b = 1.5$ en situations durables ou transitoires.

+ $\gamma_b = 1,15$ en situations accidentelles.

θ: dépend de la durée d'application des charges.

- $\theta = 1$: lorsque la durée probable d'application des charges considérées est supérieure à 24 heures,
- $\theta = 0.9$: lorsque cette durée est comprise entre 1 heure et 24 heures,
- $\theta = 0.85$: lorsqu'elle est inferieure a 1 heure.

Dans notre cas on $\theta = 1$.

 f_{bu} =14.17 MPa pour : γ_b =1,5 f_{bu} =18.48 MPa pour : γ_b =1,15

♣ Contraintes limites à l'état limite de service (E.L.S)

Etat limite de service est un état de chargement au delà duquel la construction ne peut plus assurer le confort et la durabilité pour les quels elle a été conçue. Le bâtiment doit vérifier les trois critères suivants:

- Compression du béton.
- L'ouverture des fissures.
- Déformation des éléments de la construction.

La contrainte limite de service est donnée par:

$$\sigma_{bc} = 0.6f_{c28} = 15MPa$$

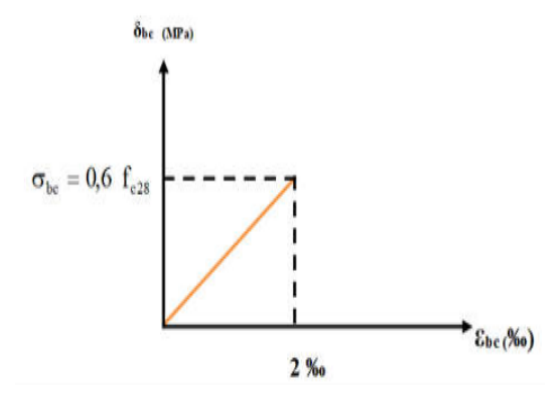


Figure I.5: Diagramme Contraintes-Déformations du béton à l'ELS

4 Contrainte limite ultime de cisaillement

La contrainte ultime de cisaillement est limitée par:

$$\tau \leq \tau_{adm}$$

Cas des armatures transversales inclinées à $(\alpha = 45^{\circ})$

Cas des armatures transversales droites ($\alpha = 90^{\circ}$)

$$+$$
 τ_{adm} = min (0,15 $\frac{f_{cj}}{\gamma_b}$; 4MPa) pour la fissuration préjudiciable ou bien très préjudiciable.

La contrainte ultime de cisaillement τ dans une pièce en béton définie par rapport l'effort tranchant ultime T_u

$$\tau_u = \frac{T_u}{bd}$$

Avec:

b = valeur de la longueur de la section cisaillée.

 $\mathbf{d} = \text{Valeur de la hauteur utile } (\mathbf{d} = \mathbf{h} \cdot \mathbf{c}).$

Dans notre cas on a $f_{c28} = 25$ MPa donc:

+ $\tau_{adm} = 3.33$ MPa fissuration peu nuisible.

+ $\tau_{\text{adm}} = 2.5$ MPa fissuration préjudiciable et très préjudiciable.

La contrainte limite de service en compression du béton est limitée par:

$$\sigma_{bc} = \overline{\sigma}_{bc}$$

Avec:

$$\overline{\sigma}_{bc} = 0.6 f_{c28}$$

$$\overline{\sigma}_{bc} = 15MPa$$

d. Déformation longitudinale du béton

On distingue deux modules de déformation longitudinale du béton; le module de Young instantané E_{ij} et différé E_{vj}

4 Le module de déformation longitudinale instantané

Sous les contraintes normales d'une durée d'application inférieure à 24h. On admet à défaut de mesures, qu'à l'age « j » jours le module de déformation longitudinale instantanée du béton E_{ij} est égal à:

$$E_{ij} = 11000 \sqrt[3]{f_{cj}}$$
,

 $(f_{cj} = f_{c28} = 25 \text{ MPa}) \text{ d'où} : E_{i28} = 32164.19 \text{ MPa}.$

Le module de déformation longitudinale différé

Sous des chargements de longue durée (cas courant), le module de déformation longitudinale différé qui permet de calculer la déformation finale du béton (qui prend en compte les déformations de fluage du béton) est donné par la formule:

$$E_{vj} = (1/3) E_{ij}$$

$$E_{vj} = 3700 \sqrt[3]{f_{c28}}$$

Pour les vérifications courantes : j > 28 jours on a:

Pour : $f_{c28} = 25MPa$ on a:

 $E_{v28} = 10818.86 \text{ MPa}$

 $E_{i28} = 32164.19 \text{ MPa}$

4 Module déformation transversale

Le module de déformation transversale noté « G » est donné par la formule suivante:

$$G = \frac{E}{2(2\nu + 1)}$$
 (Module de glissement).

Avec:

E: Module de Young.

v: Coefficient de poisson.

 $G_{Els} = 18493.45 \text{ MPa}.$

La déformation longitudinale est toujours accompagnée d'une déformation transversale, le coefficient de poisson **v** par définition est le rapport entre la déformation transversale et la déformation longitudinale.

$$\nu = \frac{\text{D\'eformation transversale}}{\text{D\'eformation longitudinale}}$$

$$v = \frac{\frac{\Delta d}{d_0}}{\frac{\Delta L}{L_0}} = \frac{\xi_t}{\xi_L}$$

Pour le calcul des sollicitations (à l'ELS), le coefficient de poisson est pris égal à 0. Pour le calcul des déformations (à l'ELU), le coefficient de poisson est pris égal à 0,2.

I.3.2. Acier

I.3.2.1. Définition

Le matériau acier est un alliage Fer et Carbone en faible pourcentage, l'acier est un matériau caractérisé par une bonne résistance aussi bien en traction qu'en compression. Sa bonne adhérence au béton, en constitue un matériau homogène.

Le module d'élasticité longitudinal de l'acier est pris égale à : E_s= 200 000 MPa.

I.3.2.2. Caractéristiques des aciers

1. Caractéristiques géométriques

On utilise pour le béton armé, les ronds lisses, les armatures à haute adhérence et les treillis soudés. Ils sont définis, en outre par leur diamètre nominal



Les aciers ronds lisses



Les barres à Haute Adhérence (H.A)



Les fils à haute adhérence.



Les treillis soudés.

Figure I.6 Types d'armatures

Le tableau donne la section nominale et la masse linéique correspondant aux différents diamètres nominaux.

Tableau I.1: Les sections d'acier

		Sections totale d'acier en cm ²									
Diamètres	Masse kg/m	1	2	3	4	5	6	7	8	9	10
6	0,222	0,28	0,57	0,85	1,13	1,41	1,70	1,98	2,26	2,54	2,83
8	0,395	0,50	1,01	1,51	2,01	2,51	3,02	3,52	4,02	4,52	5,03
10	0,617	0,79	1,57	2,36	3,14	3,93	4,71	5,50	6,28	7,07	7,85
12	0,888	1,13	2,26	3,39	4,52	5,65	6,79	7,92	9,05	10,18	11,31
14	1,210	1,54	3,08	4,62	6,16	7,70	9,24	10,78	12,31	13,85	15,39
16	1,580	2,01	4,02	6,03	8,04	10,05	12,06	14,07	16,08	18,10	20,11
20	2,466	3,14	6,28	9,42	12,57	15,71	18,85	21,99	25,13	28,27	31,42
25	3,850	4,91	9,82	14,73	19,63	24,54	29,45	34,36	39,27	44,18	49,09
32	6,313	8,04	16,08	24,13	32,17	40,21	48,25	56,30	64,34	72,38	80,42
40	9,864	12,57	25,13	37,70	50,26	62,83	75,40	87,96	100,53	113,09	125,66

2. Résistance caractéristique de l'acier

On définit la résistance caractéristique de l'acier comme étant sa limite d'élasticité: f_e

Principales armatures utilisés

Tableau 1.2: Limite élastique fe en fonction du type d'acier

	Aciers ro	nds lisses	Aciers	à hautes	Treillis soudé à	Treillis soudés à
			adhérenc	es	fils lisses	haute adhérence
désignation	FeE215	FeE235	FeE400	FeE500	TLE500	FeTE500
f_e [MPa]	215	235	400	500	500	500

Dans notre cas on utilise des armatures à haute adhérence, un acier de FeE400.

I.3.2.3. Contrainte limite

4 Etat limite ultime

Pour le calcul on utilise le diagramme contrainte- déformation suivant:

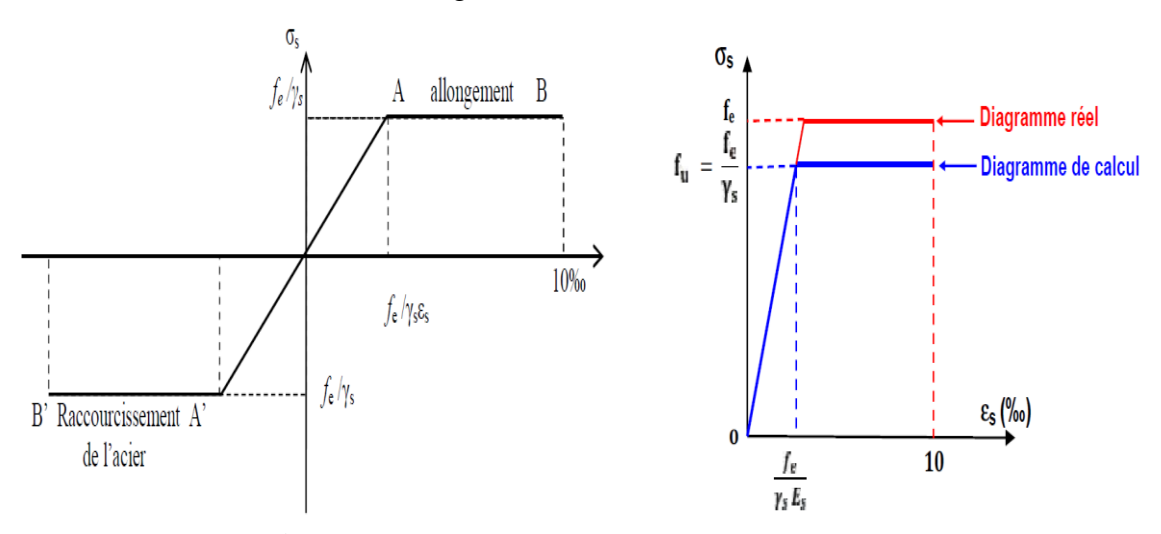


Figure I.7: Diagramme contrainte déformation de l'acier

La contrainte limite de déformation de l'acier est donnée par le BAEL91 (art.A.4.3.2)

$$\varepsilon_{es} = \frac{\sigma_s}{E_s}$$

tel que
$$\sigma = \frac{f_e}{\gamma_s}$$

 $E_s = 200\ 000\ MPa$.

 σ_s : Coefficient de sécurité $\begin{cases} \gamma_s = 1 \text{ cas de situations accidentelles.} \\ \gamma_s = 1,15 \text{ cas de situations durable où transitoire.} \end{cases}$

4 Etat limite de service

Face au risque de corrosion des armatures, il est nécessaire de limiter l'ouverture des fissures. D'après les règles **BAEL91** (**A.4.5.3**). Nous avons pour cet état:

1- Fissuration peu préjudiciable \Rightarrow limitation à F_e (aucune vérification),

2- Fissuration préjudiciable: $\sigma_{st} < min (2/3 F_e; 110 \eta. f_{t28})$,

3- Fissuration très préjudiciable: $\sigma_{st} < \min (1/2F_e; 90 \eta. f_{t28})$.

η: Coefficient de fissuration

 $\Rightarrow \eta = 1$ pour rond lisse,

 \Rightarrow η =1,6 pour les aciers à haute adhérence (HA).

1.3.2.4. Enrobage (protection de l'acier)

L'enrobage des armatures représente la distance entre la surface du béton et l'armature la plus proche (cadre, étriers, épingles, armature de peau, etc...), il doit être suffisant pour garantir:

- La bonne protection de l'acier.
- Contre la corrosion.
- La bonne transmission des efforts d'adhérence.
- Une résistance au feu.

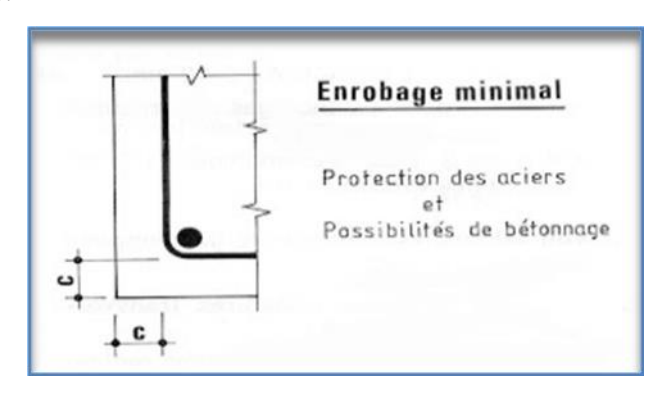


Figure I.8 Enrobage

Dans le but de prémunir les armatures des efforts d'intempéries et d'agent agressif, nous devons respecter les conditions d'enrobage suivantes:

- $C \ge 5$ cm: pour les éléments exposés à la mer, aux embruns ou au brouillard salin,
- C≥5cm: pour les éléments en contact d'un liquide (réservoir, tuyaux, canalisations),
- $C \ge 5$ cm: pour les parois situées dans les locaux.

I.6. LES ACTIONS

Les actions sont des forces et/ou couples dus aux charges appliquées et aux déformations imposées, qui individuellement ou réunies sont capables d'engendrer des contraintes ou des déformations aux ouvrages. On distingue trois types d'actions: Permanentes; Variables; Accidentelles.

I.6.1. Les actions permanentes

Les actions permanentes représentées par (**G**), sont celles dont l'intensité est constante, ou très peu variable dans le temps; Elles comprennent notamment:

- a. Le poids propre des éléments constituant la structure, représenté par (G0)
- b. Les poids des équipements fixes, tels que les cloisons et les revêtements de sols dans les bâtiments et les machines dans les constructions industrielles ;

- c. Les poids, les poussées et les pressions dus à des terres ou des liquides lorsque les niveaux de ces derniers varient peu dans le temps;
- d. Les déformations imposées à la construction: retrait, fluage, tassement différentiels des appuis.

I.6.2. Les actions variables

Les actions variables sont celles dont l'intensité qui varie fréquemment et de façon importante dans le temps, on distingue:

- 1. <u>Les charges d'exploitation</u>: Ces charges sont fixées par les règlements ou les normes en vigueur (ponts, bâtiments à usage d'habitation ou à usage de bureau);
- 2. <u>Les charges climatiques</u>: (Vent et Neige: ces charges sont fixés par les textes réglementaires en vigueur comme RNV99.
- 3. Les charges appliquées en cours d'exécution et qui proviennent, en général, des équipements de chantier ; de coffrages, engins de transport ou de levage, dépôts provisoires de matériaux ;
- 4. Les effets dus à la température ces efforts sont dus des déformations bloquées comme la dilatation thermique climatique ou d'utilisation (cheminée).

I.6.3. Les actions accidentelles

Ces actions sont celles provenant de phénomènes se produisent rarement et avec une faible durée d'application. A titre d'exemple, on peut citer:

- 1. Les séismes, ces actions sont à prendre en compte suivant les combinaisons du règlement R.P.A. en cours de validité.
- 2. Le choc des véhicules, des bateaux ou encore des avions contre les éléments d'une structure.
- 3. Les cyclones et tempêtes tropicales.
- **4.** Les effets induits par la rupture d'un remblai suite à une crue exceptionnelle.
- **5.** Les effets induits par les glissements de terrains contre les flancs d'une construction.
- **6.** Les explosions accidentelles dans un complexe industriel.

Les caractéristiques du béton et de l'acier utilisé sont données dans le tableau suivant:

Tableau I.3: Les caractéristiques du béton et de l'acier utilisé

Matériaux	Caractéristique mécanique		Valeurs (MPa)
	Résistance caractéristique (f _{c28})		2 5
	Contrainte limite à l'ELU:	situation durable	14,2
Béton		situation accidentelle	18.45
	Contrainte limite à	l'ELS (σ_{bc})	15.
	Module de déformation longi	tudinale instantanée E _{ij}	32164.19
	Module de déformation long	gitudinale différée E _{vj}	10818.86
	Limite d'élast	ricité f _e	400
	Module d'éla	asticité	$2*10^5$
Acier	Contrainte de calcul à l'ELU: situation durable		400
	situation accidentelle		348
	Contrainte à l'ELS: FPN		348
	FN		240
		FTN	176

I.7. CONCLUSION

Dans ce chapitre nous avons cité tous les caractéristique des matériaux (béton-acier), les dimensions du notre projet, la situation géographique avec le zonage de la wilaya, les règlements et les hypothèses de calculs puis les caractéristiques structurales de quelque éléments que nous serons réalisés dans les prochaines chapitre.

Chapitre2: Predimensionnement

des e ements

II.1 Introduction

Le pré-dimensionnement des éléments résistants est une étape régie par des lois empiriques issues de l'expérience. Cette étape représente le point de départ et la base de la justification à la résistance, la stabilité et la durabilité de l'ouvrage, pour cela nous nous référons aux recommandations des règles (BAEL91) et (RPA99/V2003) et (CBA93).

L'évaluation des différentes sections des éléments de notre structure: poutres, poteaux, voiles et autres, passe impérativement par un dimensionnement préliminaire, appel prédimensionnement. Pour cela nous évaluons une descente des charges et surcharges afin de déterminer ce qui revient à chaque élément porteur, de tous les niveaux et ce jusqu'à la fondation

II.2Pré-dimensionnement des éléments de l'ouvrage

II.2.1 Pré dimensionnement des éléments non structuraux

II.2.2. Les planchers

Les planchers sont des plaques minces dont l'épaisseur est faible par rapport aux autres dimensions, elles se reposent sur 2, 3 ou 4 appuis. Ils déterminent les niveaux ou les étages d'un bâtiment, elles s'appuient et transmettent aux éléments porteurs (voiles, murs, poteaux, poutres) les charges permanentes et les surcharges d'exploitations. Elles servent aussi à la distribution des efforts horizontaux.

L'épaisseur des dalles dépend plus souvent des conditions d'utilisations que des vérifications de résistance.

a. Planchers à corps creux

Dans ce projet les planchers sont en corps creux. L'épaisseur totale des planchers doit satisfaire la condition suivante: **C.B.A.93**.

L'épaisseur du plancher est déterminée à partir de la condition de la flèche:

$$h_t \ge \frac{L}{22.5}$$

Avec:

h_t: Hauteur totale du plancher (Épaisseur).

L: La portée maximale entre **nus** d'appuis dans le sens de la disposition des poutrell

$$L_{max} = 3.60$$

$$\frac{h_t}{L_{max}} \ge \frac{1}{22.5} = >$$

 $h_{t} \ge 20.88 \text{ cm}$

Donc en adopte: $h_t = 21$ cm.

Dalle de compression = 5 cm.

Corps creux = 16 cm.

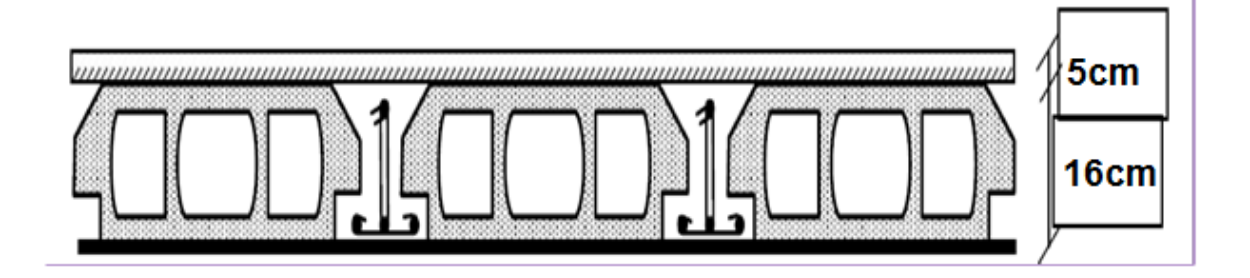


Figure II.1: Plancher à corps creux

• Les poutrelles

Les poutrelles sont des éléments secondaires, coulées sur place en même temps que le plancher, leurs armatures permettent au béton de résister à la flexion, elles supportent le plancher et transmettent ses charges à la structure porteuse. La section transversale des nervures est assimilée à une section en (T) de caractéristique géométrique suivant :

 $h_t = 20 \text{ cm}.$

 $b_0 = (0.4 \text{ à } 0.6)h_t = (08 \text{ à } 12)$

On adopte : $b_0 = 10$ cm.

$$b = 2 \cdot b_1 + b_0$$

$$b_1 \ge \min\left(\frac{L_x}{2}; \frac{L_{\max}}{10}\right)$$

Avec:

 L_x : représente la distance entre poutrelles ($l_x = 55$ cm).

 L_{max} : représente la distance entre nus d'appuis des poutres secondaires ($L_{max} = 510$ cm).

Tel que:

$$L_x = b - b_0 = 65 - 10 = 55 \text{ cm}.$$

$$b_1 \ge \min\left(\frac{55}{2}; \frac{510}{10}\right) = \min(27.5; 51) \text{ cm}$$

On adopte:

 $b_1 = 27.5 \text{ cm}$

Pour la vérification:

La largeur de la table de compression est égale à: $b = 2b_1 + b_0 = 2(27,5) + 10 = 65$ cm.

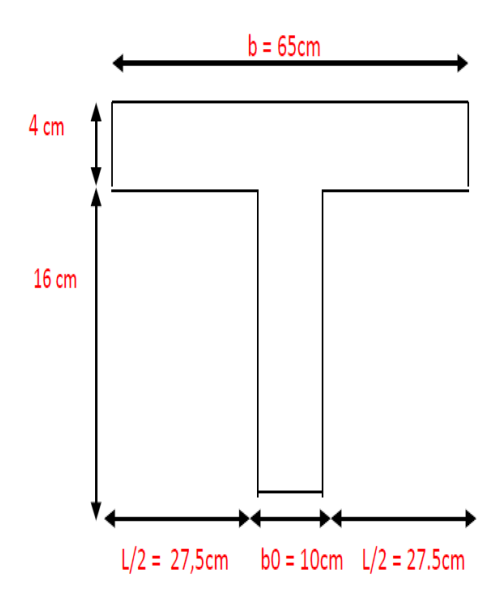


Figure II.2:Poutrelle

II.1.2.2. Dalles pleine (Balcon)

Les dalles assurent la transmission des charges aux différents éléments, comme Elles constituent une séparation entre les différents niveaux. Leur pré-dimensionnement est déterminé en tenant des conditions essentielles de Résistance et d'utilisation.

L'épaisseur des dalles est déterminée à partir des conditions ci-après:

a. Résistance au feu

- e = 7 cm pour une heure de coupe feu.
- e = 11 cm pour deux heures de coupe feu.
- e = 17.5 cm pour quatre heures de coupe feu.

On admet que : e = 15 cm.

a. Isolation phonique

Selon les règles techniques « CBA 93 » en vigueur en L'Algérie l'épaisseur du plancher doit être supérieur ou égale à 13 cm pour obtenir une bonne isolation acoustique on limite donc notre épaisseur, e = 15 cm

b. Résistance à la flexion

Les conditions qui doivent vérifier selon le nombre des appuis sont les suivantes:

• Pour une dalle sur un seul appui:

$$e \ge \frac{L_x}{20}$$

• Dalle reposant sur deux appuis :

$$\frac{L_x}{35} < e < \frac{L_x}{30}.$$

• Dalle reposant sur trois ou quatre appuis :

$$\frac{L_x}{50} < e < \frac{L_x}{40}$$

Pour notre projet nous avons panneau sur 02 appuis (Balcon)

$$L_x=1.20 m$$

On voit bien que les dimensions sont très petites donc c'est la condition de coupe feu qui est la plus défavorable.

On prend : e = 15 cm.

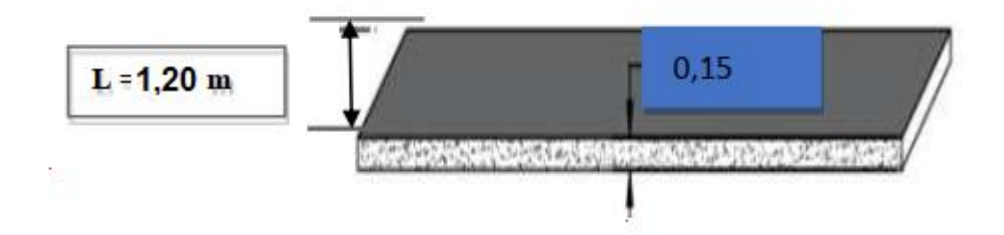


Figure II.3: coupe transversale d'un balcon

II.2.3 L'acrotère

G l'acrotère = Poids volumique x S l'acrotère

$$S=10\times60+2\times10\times0.5+8\times10=690cm^2$$

 $S=0.069 \text{ m}^2$

 $G_{l'acrot\`ere} = (25*(0.069))$

 $G_{l'acrotère} = 1.72 \text{ kN/m}^2$

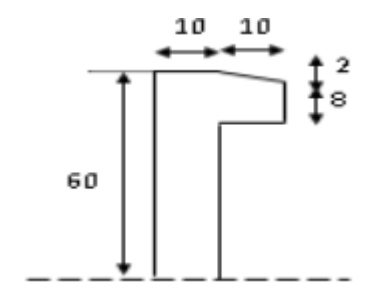


Figure II.4: Schéma de l'acrotère.

II.2.4 Escalier

Un escalier est un élément secondaire qui sert à relier les différents niveaux d'une construction, son utilisation régulière un bon dimensionnement afin d'assurer une sécurité et un confort aux usagers.

Les escaliers peuvent être en béton armé, en acier ou en bois. Un escalier est déterminé par :

- La montée (hauteur à gravir) H;
- L'emmarchement (largeur utile) E;
- ➤ Son giron g;
- > Sa hauteur de marche h.

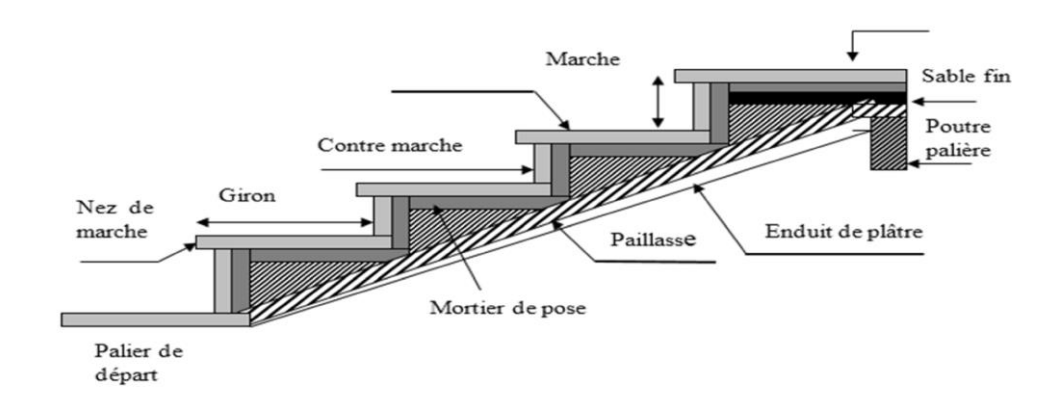


Figure II.5 : Schéma d'un escalier

Pour le dimensionnement des marches (g) et les contre marche (h) on utilise la formule de

BLONDEL : 59 < 2h+g < 64.

Avec:

$$\begin{cases} h = \frac{H}{n} \\ g = \frac{L}{n-1} \end{cases}$$

n: Nombre de contre marche.

H: Hauteur de la volée.

L: Longueur de la volée.

Escalier RDC et étage courant

Dans notre structure on a un seul type types d'escalier, escalier à deux volets pour une hauteur de 3.20m

Soit: H = 1,53m. L = 2.40 m.

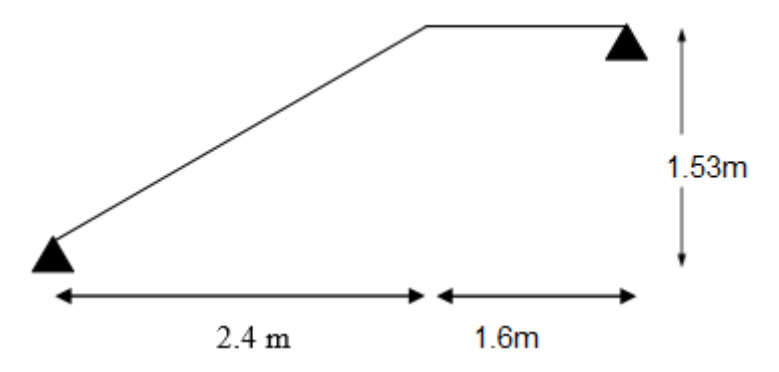


Figure II.6Schéma statique de l'escalier

Note:

La longueur de palier 1.6 m.

$$59 < 2(H) + g < 64...$$
 en cm.

$$mn^2$$
- $(m+L+2H)$ $n+2H=0$

$$64n^2$$
- $610n$ + 306 = 0

$$X_1=9$$
 $X_2=0.53$

Après résolution de l'équation on trouve:

N = 9 contre marche

n-1=8 marche

On prend

$$h = 153/9 = 17cm$$

$$g = 240/8 = 30cm$$

Donc on adopte:

$$h = 17 \text{ cm} = 0.17 \text{ m}$$

$$g = 30 \text{ cm} = 0.30 \text{ m}$$

Détermination d'inclinaisons de paillasse

$$Tg\alpha = H/L$$

$$Tg\alpha = 153/240 = 32.52^{\circ}$$

$$1 = L/\cos\alpha = 240/\cos 32.52 = 284.62$$
cm

Epaisseur de (paillasse+palier)

$$L_{max} = L_{paillasse} + L_{palier}$$

$$L_{max} = 2.84 + 1.6 = 4.44m$$

$$\begin{split} L_{max}/30 &\leq e_p \leq L_{max}/20 \\ 444/30 &\leq e_p \leq 444/20 \\ 14.8 &\leq e_p \leq 22.2 \end{split}$$

On prend $e_p = 15$ cm

II. 3 Prédimensionnement des élément structuraux

II.3.1 Prédimensionnement des poutres

Une poutre est un élément horizontal d'un ouvrage qui transmet les charges à ses appuis. Les formes des sections transversales les plus couramment utilisées sont rectangulaires. Les dimensions des poutres doivent vérifier les conditions suivantes:

- · Résistance;
- Déformation;
- Exécution sur chantier.

On a deux types de poutres:

- Poutres principales porteuses,
- Poutres secondaires non porteuses.

a) Les poutres principales porteuses

- Elles reçoivent les charges transmise par les solives (Poutrelles) et les répartie aux poteaux sur lesquels ces poutres reposent.
- Elles relient les poteaux.
- Elles Supportent la dalle.

b) Les poutres secondaires non porteuses (Chaînages)

• Elles relient les portiques entre eux pour ne pas basculer.

Méthode de calcul

Selon le règlement B.A.E.L 91 mod les poutres seront pré dimensionné par la condition de la flèche et elles sont vérifiées par le R.P.A99 version 2003.

a.1 Les poutres principales porteuses (1)

$$\frac{L_{\text{max}}}{15} \le h \le \frac{L_{\text{max}}}{10}$$

$$0.4h \le b \le 0.7h$$

Avec:

h: hauteur de la poutre.

 L_{max} : distance maximale entre nus d'appuis (L = L_{max} = 5.10 m),

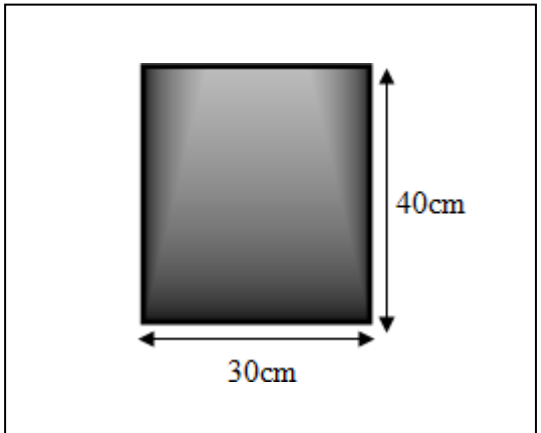
b: largeur de la poutre.

D'où:

$$\frac{510}{15} \le h \le \frac{510}{10} \implies 34 \le h \le 51$$

Donc: soit h = 40 cm et b = 30 cm.

Figure II.7: section poutre principale



Vérification

On doit vérifie les dimensions adoptées aux exigences du RPA (Art : 7.5.1 RPA 99 version 2003) qui sont les suivantes:

❖ Vérification d'après RPA 99 version 2003 art.7.5.1:

$$b = 30 \text{ cm} \ge 20 \text{ cm} CV$$

$$h = 40 \text{ cm} \ge 30 \text{ cm} CV$$

$$h/b = 1.3 \le 4 CV ...$$

Ces-conditions sont vérifiées donc on opte pour les l'ensemble des poutres principales les dimensions suivantes:

- h = 40 cm
- b = 30cm

a.2. Les poutres transversales (secondaires)

Elles sont disposées parallèlement aux poutrelles, leur hauteur est donnée par:

❖ D'après le règlement B.A.E.L 91:

$$\frac{L_{\text{max}}}{15} \le h \le \frac{L_{\text{max}}}{10}$$

Avec:

L_{max}: Portée maximale entre nus d'appuis de deux poutres secondaire

h : hauteur de la poutre secondaire.

b: largeur de lpoutre.

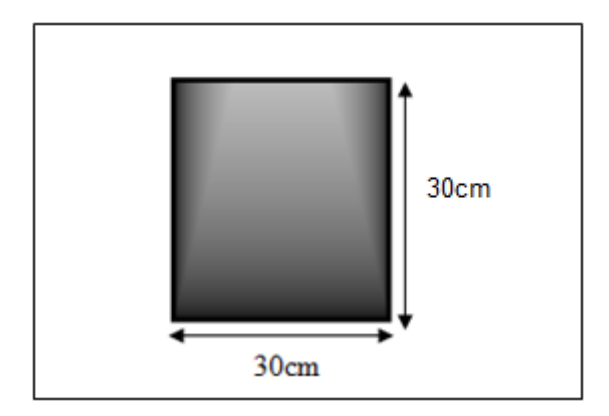


Figure II.8: section poutre secondaire

 $L_{\text{max}} = 375 \text{cm}$

- 25cm \leq h \leq 37.5 cm On adopte h = 30cm
- $12 \text{ cm} \le b \le 21 \text{ cm}$

On adopte b = 30cm

❖ Vérification d'après RPA 99 version 2003 art.7.5.1:

II.3.2Prédimensionnement des poteaux

Les poteaux sont les éléments porteurs et assure un certain contreventement plancher poutre, ils doivent supportent principalement les charges et les surcharges verticales leur dimensions doivent satisfaire les conditions données Selon R.P.A 99« version 2003 art 7.4 page 48»

Le pré dimensionnement des poteaux se fera en fonction des sollicitations de calcul en compression simple à l'ELU.

Les dimensions de la section transversale des poteaux selon le RPA99, doivent satisfaire les conditions suivantes pour **la zone II**: (voir l'article

$$\begin{cases} Min(b,h) \ge 25cm \\ Min(b,h) \ge \frac{h_e}{20}cm \\ 0.25 \le \frac{b}{h} \le 4 \end{cases}$$

On fixera les dimensions des poteaux après avoir effectuer la descente de charge, tout en vérifiant les recommandations du RPA99/version 2003 citées ci dessus.

Les dimensions des poteaux supposées:

• RDC et 1 étage courant : Poteaux (40, 30) cm².

Vérification

$$\begin{cases} Min(30,40) \ge 25cm \\ Min(30,40) \ge \frac{320}{20}cm \\ 0.25 \le \frac{b}{h} \le 4 \end{cases}$$

Tout les conditions sont vérifiées donc on adopte (40, 30) cm² comme dimensions préliminaire on attendant de faire la descente de charge.

II.3.3Les Voiles

Les voiles sont des murs en béton armé leur pré-dimensionnement est justifié par **RPA99**. Ils servent d'une part à contreventer le bâtiment en reprenant les efforts horizontaux (séisme et vent) et d'autre part de reprendre les efforts verticaux et les transmettre aux fondations

Le RPA 99 V2003, exige une épaisseur minimale de voile de 15cm. L'épaisseur du voile doit être déterminée en fonction de la hauteur libre d'étage et des conditions de rigidité aux extrémités.

$$e = max (h_e/20, h_e/22, h_e/25, 15cm)$$

Avec:

h_e: hauteur libre d'étage,

e: épaisseur du voile.

Donc:

 $e \ge max (14.3cm, 13cm, 11.44cm, 15cm)$

On adopte une épaisseur de voile : e =20cm

Pour qu'un voile puisse assurer une fonction de contreventement, sa longueur (L) doit être au moins égale à 4 fois son épaisseur : $L \ge 4e = 4x15 = 60$ cm.

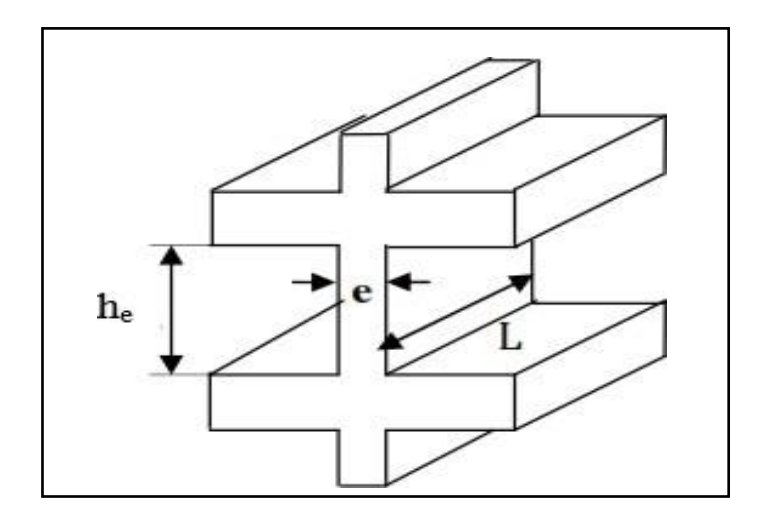


Figure II.9 : Coupe de voile en élévation

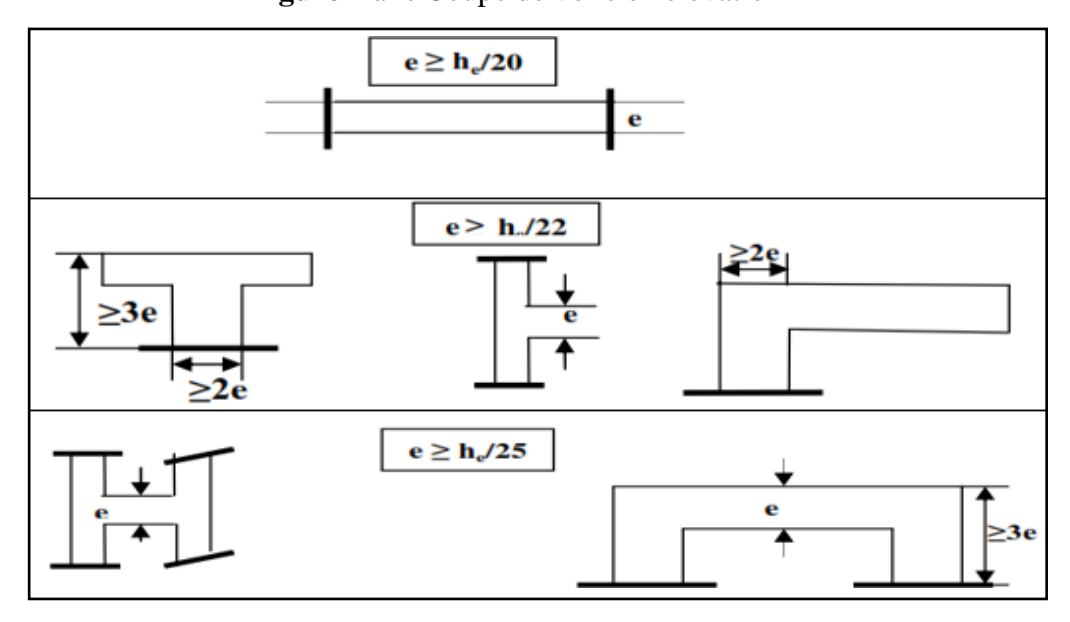


Figure II.10: Coupes de voiles en plan

II.3.4Descente de charges

Afin d'assurer la résistance et la stabilité de l'ouvrage, une distribution des charges et surcharges pour chaque élément s'avèrent nécessaire. La descente des charges permet l'évaluation de la plus part des charges revenant à chaque élément de la structure,

Les charges réglementaires

Les charges réglementaires sont en général de deux types:

- Les charges permanentes qui représentent le poids mort.
- Les charges d'exploitation ou surcharges.

La charge permanente

Sont obtenues à partir des dimensions géométriques des éléments de l'ouvrage, déduit des plans et du poids volumique des matériaux les constituants.

Charges d'exploitation

Les charges d'exploitation sont généralement définies dans les pièces du marché en fonction de l'utilisation future des locaux.

II.3.5 Evaluation des charges et des surcharges (DTR)

Plancher:

a. Plancher terrasse inaccessible

La terrasse est inaccessible et réalisée en dalle pleine et en plancher en corps creux surmontée de plusieurs couches de protection et une forme de pente facilitant l'évacuation des eaux pluviales.

Tableau II.1: charges permanents revenant au plancher terrasse inaccessible.

Désignation	e (m)	Poids volumique (kN/m³)	Charges (kN/m²)
Gravillon de protection	0.05	17	0.85
Etanchéité multicouche	0.02	6	0.12
Isolation thermique	0.04	3	0.12
Béton de pente	0.05	22	1.1
Plancher à corps creux	0.25	14	3.5
Enduit et plâtre	0.01	10	0.1

- Charge permanente $G = 5.79 \text{k N/m}^2$
- Charge d'exploitation $Q = 1 \text{k N/m}^2$

a) Plancher étage courant

Tableau II.2: charges permanents de la dalle de niveau étage courant

Désignation	e (m)	Poids volumique (kN/m³)	Charges (kN/m²)
Carrelage	0.02	22	0.440
Mortier de ciment	0.02	20	0.400
Couche de sable	0.2	17	0.34
Plancher à corps creux	0.25	14	3.5
Enduit en plâtre	0.01	10	0.1
Cloison	-	-	0.75

- Charge permanente $G = 5.53 \text{k N/m}^2$
- Charge d'exploitation $Q = 1.5 \text{k N/m}^2$ Balcons

b) Balcon de terrasse

Tableau II.3: Evaluation des charges permanentes de balcon de terrasse.

Désignation	e (m)	Poids volumique (kN/m³)	Charges (kN/m²)
Gravillon de protection	0.05	17	0.85
Etanchéité multicouche	0.02	6	0.12
Isolant thermique	0.04	3	0.12
Forme de pente	0.05	22	11
Dalle pleine	0.12	25	3
Enduit en plâtre	0.01	10	0.1

- Charge permanente $G = 5.29 \text{kN/m}^2$
- Charge d'exploitation $Q = 1 \text{kN/m}^2$

c) Balcon d'étage courant

Tableau II.4: Evaluation des charges permanentes de balcon d'étage courant

Désignation	e (m)	Poids volumique (kN/m³)	Charges (kN/m²)
Carrelage	0.02	22	0.44
Mortier de pose	0.02	20	0.4
Lit de sable	0.02	17	0.34
Dalle pleine	0.12	25	3
Enduit en plâtre	0.01	10	0.1

- Charge permanente $G = 4.28 \text{kN/m}^2$
- Charge d'exploitation Q =3.5kN/m
- Les escaliers

d) Paillasse

Tableau II.5: Evaluation des charges permanentes dans le paillasse d'escalier.

Désignation	e (m)	Poids volumique (kN/m³)	Charges (kN/m²)
Mortier de pose	0.02	20	0.44
La marche	0.17	11	1.87
Dalle en B.A	0.15/cosα	25	4.374
Carrelage	0.02	10	0.2
Enduit en plâtre	0.01	10	0.1

- Charge permanente $G = 6.984 \text{kN/m}^2$
- Charge d'exploitation $Q = 2.5 \text{kN/m}^2$

e) Le palier

Tableau II.6: Evaluation des charges permanentes de palier.

Désignation	e (m)	Poids volumique (kN/m³)	Charges (kN/m²)
		(K14/III)	(KIV/III)
Carrelage	0.02	10	0.2
Mortier de pose	0.02	20	0.4
Dalle en B.A	0.15	25	3.57
Enduit en plâtre	0.01	10	0.1

- Charge permanente $G = 4.45 \text{k N/m}^2$
- Charge d'exploitation $Q = 2.5 \text{k N/m}^2$

a) 1Mur extérieure

La maçonnerie utilisée est en brique creuses (double cloison) de type (15+10) cm avec 5cm de vide entre les briques

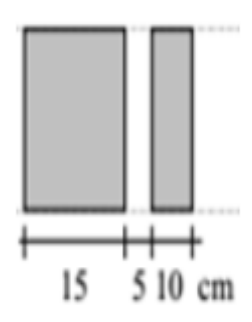


Figure II.11. Mur extérieure

Tableau II.7 : Evaluation des charges permanentes de mur extérieure

Désignation	e (m)	Poids volumique (kN/m³)	Charges (kN/m²)
Brique creuse extérieure	0.15	9	1.35
Brique creuse intérieure	0.1	9	0.9
Enduit ciment	0.015	20	0.3
Enduit en plâtre	0.01	10	0.1

• Charge permanente $G = 2.65 \text{k N/m}^2$

b) Mur intérieure

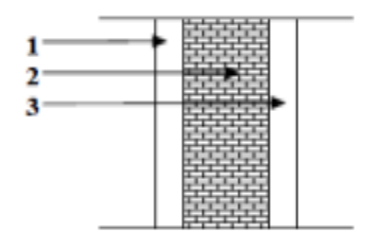


Figure II.12: Mur intérieure

Tableau II.8 : Evaluation des charges permanentes de mur intérieure

Désignation	e(m)	Poids volumique	Charges
		(kN/m^3)	(kN/m^2)
Enduit en plâtre	0.02×2	10	0.4
Brique creuse	0.1	9	0.9
Revètment de ciment	0.02	18	0.36

• Charge permanente $G = 1.66 \text{k N/m}^2$

.L'acrotere

L'acrotère est un mur périphérique qu'on réalise en béton armé pour contourner le bâtiment au niveau de la terrasse, son rôle est d'éviter l'infiltration des eaux pluviales entre la forme de pente et le plancher terrasse par un relevé d'étanchéité en paralume, sert également à retenir la protection lourde sur l'étanchéité comme il peut servir de garde-corps lors des opérations d'entretien de la terrasse.

La charge

Ppropre = $(0.069 \times 25) = 1.725 \text{ kN/ml}$

Surcharge:

D'après D.T.R.BC.2.2

Q: force horizontale qui sollicite l'acrotère due à la main courante est 1kN/m

- Charge permanente G = 1.725KN/ml
- Charges d'exploitation Q = 1kN/ml.

II.3.1Descente de charge pour un poteau

➤ Loi de Degression : (DTR)

Soit Q_0 la charge d'exploitation sur le toiture de la terrasse couvrant le bâtiment, Q_1 , Q_2 , Q_3 Q_n les charges d'exploitation respectives des plancher des étages $(1,2,3,\ldots,n)$ numérotés à partir du sommet du bâtiment.

On adoptera pour le calcul des points d'appuis des charges d'exploitation suivantes :

- Sous la terrasse : Q₀
- Sous le premier étage à partir du sommet : $Q_0 + Q_1$
- Sous le deuxième étage : $Q_0 + 0.95 (Q_1 + Q_2)$
- Sous le troisième étage : $Q_0 + 0.85 (Q_1 + Q_2 + Q_3)$
- Sous le quatrième étage : $Q_0 + 0.8 (Q_1 + Q_2 + Q_3 + Q_4)$
- Sous le cinquième étage : $Q_0+0.75~(Q_1+Q_2+Q_3+Q_4+Q_5$ Dans notre cas :
- Un bâtiment en béton armé (R+5)
- Plancher RDC plus 5 étage d'habitation Q = 1.5 KN/m²
- Plancher terrasse (inaccessible) $Q = 1 \text{ KN/m}^2$

Tableau II.9: Les charges d'exploitation

Niveau	Dégression des charges par niveau	La charges (KN/m²)
5	11.85*1	11.85
4	11.85+9.15*1.5	25.575
3	11.85 + 0.95 (9.15* 1.5+9.15*1.5)	37.927
2	11.85 + 0.85(9.15*1.5+9.15*1.5+9.15 *1.5)	46.848
1	11.85 + 0.8 (1.5*9.15 + 1.5*9.15 + 1.5*9.15 + 9.15* 1.5)	55.77
RDC	11.85 + 0.75 (1.5*9.15 + 1.5*9.15 + 1.5*9.15 +1.5*9.15 + 1.5*9.15)	63.318

Charges et surcharges revenant au poteau

Poteau le plus sollicitée:

Le calcul est basé en premier lieu sur la section du poteau le plus sollicité (central), la section afférente est la section résultante de la moitié des panneaux entourant le poteau (figure 2.10).

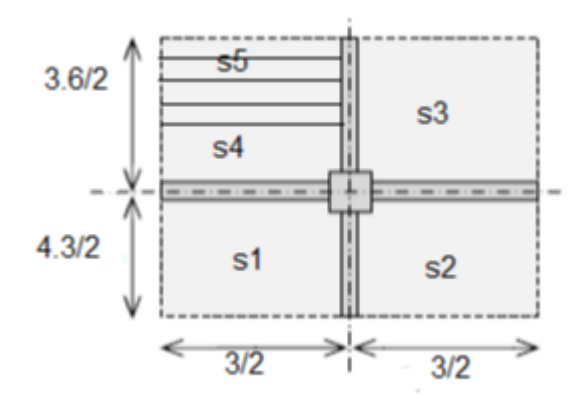


Figure II.13 : Surface afférente du poteau

La surface afférent

Les charges et surcharges

Poteau central

Les résultats de la descente des charges du poteau central sont donnés dans le tableau suivant:

Tableau II.10 : La descente des charges de poteaux intermédiaire

Niveau	Elé	G(kN)	Q(kN)
	mn		
	ts		
	-Plancher terrasse : 11.85×5.790	68.611	
	-poutre principal : 0.3×0.4×3.95×25	11.85	
	-poutre secondaire : 0.3×0.3×3×25	6.75	
N1	-Poteau: 0.3×0.4××25*3.06	9.18	
	Total	96.39	11.85
	Venant N1	96.39	
	-Plancher étage corant :9.15×5.53	50.599	
	-poutre principal : 0.3×0.4×3.95×25	11.85	
	-poutre secondaire :0.3*0.3*3*25	6.75	
	-Poteau :0.3*0.4*3.06*25	9.18	
N2	Mur (3.06-0.4)*9.15	24.339	
	Palier 2.4*4.45	10.68	

	Paillasse 0.26*6.98	1.81	
	-Surcharge:		
	Ç		25.575
	Total	115.208	
		1100200	
	Venant N2		
	-Plancher étage courant :11.85*5.53	50.599	
	-poutre principal :0.3*0.4*3.95*25	11.85	
N3	-poutre secondaire :0.3*0.3*3*25	6.75	
	-Poteau: 0.3*0.4*3.06*25	9.18	
	Mur (3.06-0.4)*9.15	24.33	
	Palier 2.4*4.45	10.68	
	Paillasse 0.26*6.98	1.81	
	-surcharge		
			37.927
	Total	115.208	
	Venant N3		
	-Plancher étage courant : 9.15*5.53	50.599	
	-poutre principal :0.3*0.4*3.95*25	11.85	
N4	-poutre secondaire : 0.3*0.3*3*25	6.75	
	-Poteau: 0.3*0.4*3.06*25	9.18	
	-Mur (3.06-0.4)*9.15	24.33	
	Palier 2.4*4.45	10.68	
	Paillasse 0.26*6.98	1.81	
	Tumusse 0.20 0.90	1.01	
	suraharga :		
	-surcharge :		
			46.848

	Total	115.208		
	Venant N4			
	Plancher étage courant : 9.15*5.53	50.599		
	-poutre principal :0.3*0.4*3.95*2:	11.85		
N5	-poutre secondaire : 0.3*0.3 3*25	6.75		
	-Poteau: 0.3*0.4*3.06*25	9.18		
	-Mur (3.06-0.4)*9.15		24.33	
	Palier 2.4*4.45		10.68	
	Paillasse 0.26*6.98	1.81		
	-surcharge :	55.77		
	Totale	115.208		
N6	Plancher étage courant : 9.15*5.53	B=		
110	50.599			
	-poutre principal :0.3*0.4*3.95*25			
	11.85			
	-poutre secondaire : 0.3*0.3* 3*25			
	-Poteau: 0.3*0.4*3.06*25=9.18			
	-Mur (3.06-0.4)*9.15=24.33			
	Palier 2.4*4.45=10.68			
	Paillasse 0.26*6.98=1.81			
	-surcharge :	63.318		
	TOALE 115.208			

Nu= 1.35G+1.5Q =1.35*672.43+1.5*241.288=1269.71

N_u*1.15 =1460.16KN

Vérification à la compression simple

 $Nu/B \leq 0.6 f_{c28}$

Avec

B: Section du béton

 $B \geq N_u/0.6f_{c28} => B \geq (1460.16*10^{\text{-3}})/(0.6*25)$

 $B = 0.0973m^2$

On a B = $0.12\text{m}^2 > 0.0973\text{m}^2$condition vérifie.

Vérification au flambement

Le flambement est un phénomène d'instabilité de forme qui peut survenir dans les éléments comprimés (de façon excentré ou non)des structures, lorsque les éléments sont élancés.

On doit la vérification suivante:

$$N_u \le \alpha \times [(B_r \times f_{c28})/(0.9\gamma_b)) + (A_s \times f_e)/\gamma_s]$$

 $Br \ge N_u/\alpha (f_{c28}/0.9\gamma_b + As \times fe/\gamma_s)$

B_r: Section brute

$$L_f = 0.7 \times L_0 = 0.7 \times 3.06 = 2.142m$$

L_f: Longueur de flambement

B = 0.12

$$I = bh^3/12 = (0.3*0.4^3)/12 = 1.6*10^{-3}$$

I: Moment d'inertie de la section par rapport à l'axe passant par son centre de gravité et perpendiculaire au plan de flambement**I**.

$$i = \sqrt{I/B} = \sqrt{(1.6*10^{-3}/0.12)} = 0.1154$$

i: Rayon de giration

$$\lambda = L_f/i = 2.142/0.1154 = 18.5615 < 50$$

$$\alpha = 0.85/(1+0.2*(18.5615/35)^2) = 0.8047$$

α: Coefficient fonction de l'élancement mécanique λ , $\alpha = f(\lambda)$,

λ: élancement d'EULER.

Après le BAEL91on doit vérifier

$$B_r \ge [1460.16*10^{-3}/(0.8047(25/0.9*1.5)+((9*400)/(1000*1.15)))]$$

 $Br = 0.08381m^2$

$$A_s \!\!= 0.9 \% \,\, B_r$$
Zone II a

Nous avons:

$$B_r = (40-2)(40-2) \times 10^{-4}$$

$$B_r = 0.1444 \text{ m}^2$$

0.1444 > 0.08381 donc le poteau ne risque pas de flamber.

Donc on adopte une dimension de 30* 40 pour le poteau

Conclusion

Après que nous avons fini le pré dimensionnement des éléments structuraux et que nous avons fait toutes les vérifications nécessaires, et que toutes les exigences réglementaires sont satisfaites nous avons adopté pour les éléments; les sections suivantes:

- Poutres principales : (30 x 40) cm².
- Poutres secondaires : (30x30) cm².
- Poteaux de (RDC, et étages courant): (30 x 40) cm².
- Balcon: (15) cm.
- Voiles: (20) cm.
- Le palier et paillasse: (15) cm.

Le chapitre suivant fera l'objet d'étude de ferraillage des éléments secondaire tel que les planchers corps creux, les dalles pleines, l'escalier, poutre palière et l'acrotère

■ .1 Introduction:

Les éléments non structuraux sont des éléments qui n'ont pas une fonction porteuse ou de contreventement ;

C'est des éléments en maçonnerie (murs extérieurs , cloison....etc) ou autres (escalier ,balcon , acrotère Plancher.....)

Ⅲ.2 Acrotère:

L'acrotère est un élément de sécurité au niveau de la terrase. Il forme une paroi contre toute chute , il est Considéré comme une console encastrée à sa base ,soumise à son poids propre et à une surcharge horizontale

Il est soumise à la flexion composée due à :

- Un effort normal du à son poids propre (G)
- Un moment du à la surcharge (Q)
- Il a pour role de :
- Protection d'étanchéité.
- Servant comme garde –corps
- Entretient des façades.

Principe de calcul:

Le calcul se fera en flexion composée dans la section d'encastrement pour une bande de 1 m Linéaire.

L'acroter est exposé aux intempérie ,donc la fissuration est préjudiciable, dans ce cas le calcul Se fera a l' ELU ,et à l'ELS

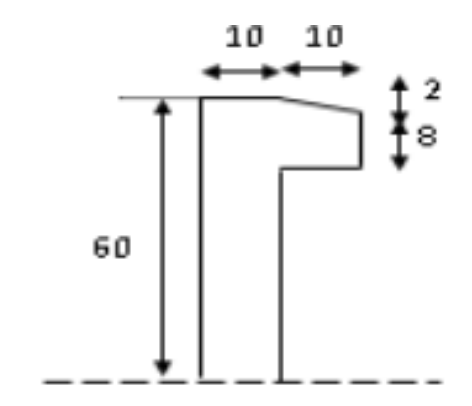


Figure III .1 Schéma réel et statique de l'acrotère

III.2.1. Evaluation des charges :

• La surface : $S = 0.069m^2$

• Poids propre : G= $\gamma_{b\acute{e}ton} \times S=25 \times 0.069=1.72 \text{ KN}$

• La force sismique horizontale Fp qui est donnée par la formule :

 $Fp = 4 \times A \times Cp \times Wp$ (RPA99/V2003 Art 6.2.3

Avec:

A=0,15Coefficient d'accélération en fonction de la zone (groupe d'usage 2, zone II a).

Cp=0,8 Facteur de force horizontale.

Wp=1.72 Poids total de l'acrotère.

Donc: $Fp=4\times0,15\times0,8\times1.72 = 0.8256KN/ml$

 $Q=max (F_p , Q)=max (1Kn/ml; 0.8256)=1KN/ml$

On a $F_p < Q$: alors on fait le calcul avec Q.

Les sollicitations :

 $N = N_G = 1.72 KN/ml$

M=Q*h=1*0.6=0.6KN/ml

Combinaison d'action :

ELU:

 $Nu=1,35\times N_G=1.35\times 1.72=2.322KN$

 $Mu=1,5\times Q\times h=1.5\times 0.6\times 1=0.9KN$

• **ELS** :

Nser=G=1.72 KN/ml

Mser= Q x h= $1 \times 0.6 = 0.6 \text{ KN/ml}$

Ⅲ .2.2 Calcul du ferraillage :

ELU: Calcul de l'excentricité:

Les sollicitations sont réduites au centre de gravité de la section du Béton et l'effort Appliqué est un effort de compression.

$$e=e_1+e_2$$
 tel que $e_1=e_0+e_a$

 e_0 : Excentricité de la résultante des contraintes normales.

 e_2 : Excentricité dus aux effets de second ordre

 e_a : Excentricité additionnelle

$$e_0 = \frac{Mu}{Nu} \rightarrow e = 0.9 / 2.322 = 0.387m$$

$$e_2 = \frac{3lf^2}{10^4} (2 + \alpha Q)$$

$$l_f = 2l_0 = 2 \times 0.6 = 1.2$$
m

$$i = \sqrt{\frac{I}{B}} \rightarrow I = \frac{1 \times 0.1^3}{12} = 8.33 \times 10^{-5}$$
 B=b× h=1×0.1=0.1

i=0.0288

$$\hat{\Lambda} = \frac{l_f}{i} = \frac{1.2}{0.0288} = 41.57$$

£ £ 100 **£**

$$\delta = 41.57 < 100$$

Donc il n'est pas nécessaire de faire un calcul au flambement

$$\alpha = 10(1 - \frac{M_u}{1.5 M_{ser}}) = 0$$

$$e_2 = \frac{3 \times 1.2^2}{10^4 \times 0.4} (2+0) = 0.0086 m$$

$$e_a = \max(2cm, \frac{l}{250}) = \max(2, \frac{60}{250}) = 0.02m$$

$$e_1 = 0.387 + 0.02 = 0.407 \text{m}$$

$$e = e_1 + e_2 = 0,407 + 0,00864 = 0,415m$$

Sollicitation majoré

$$N_{u}'=2$$
, 322KN

$$M_{11}' = N_{11}' \times (e_1 + e_2) = 2,322(0,407 + 0.00864) = 0.965$$

$$M_{ua}=M_{u}'+N_{u}(d-\frac{h}{2})=0.965+2.322(0.09-\frac{0.1}{2})=1.05788KN.m$$

$$\mu_{ub} \! = \! \! \frac{_{M_{ua}}}{_{bd^2f_{bc}}} \! \! = \! \frac{_{1057.88 \times 10^3}}{_{1000 \times 90^2 \times 14.17}} \! = 0.00921 \! < u_l \! = \! 0.392$$

Donc les armatures comprimé ne sont pas nécessaires A'= 0 (pivot A)

$$\alpha_u \! = \! 1,\! 25 (1 \text{-} \sqrt{1 - 2\mu_{ub}}) = \! 1.25 (1 \text{-} \sqrt{1 - 2 \times 0.00921}) \! = \! 0.01156$$

$$Z = d(1-0.4\alpha_u) = 0.09(1-0.4 \times 0.1156) = 0.0895m$$

$$A_{ul} = \frac{M_{ua}}{z \times \sigma_s} / \sigma_s = \frac{f_e}{Y_s} = \frac{400}{1.15} = 347.8 \text{MPa}$$

$$A_{ul} = \frac{1057.88 \times 10^3}{89 \times 347.8} = 34.175 \text{ mm}^2 = 0.341 \text{ cm}^2$$

$$A_u = A_{ul} - \frac{N}{100\sigma_s} = 34.17 - \frac{2322}{347.8} = 27.4 \text{mm}^2 = 0.274 \text{cm}^2$$

> ELS:

Calculdel'excentricité:

 $e > \frac{h}{6} \rightarrow La$ section est partiellement comprimée

Dans le béton: on doit vérifier que : $\sigma_{bc} \le \overline{\sigma_{bc}} = 0.6 f c_{28} = 15$ MPa

$$M_{\text{ser}}/A = M_{\text{ser}} + N_{\text{ser}} (d-\frac{h}{2}) = 600 + 825.6(0.09-\frac{0.1}{2}) = 633.024 \text{N.m}$$

La contrainte d'acier

$$\sigma_s = \min(\frac{2}{3} \text{fe}; 110 \sqrt{n f_{t28}})$$

$$\sigma_s$$
=min ($\frac{2}{3}$ × 400; 110 $\sqrt{1.6$ × 2.5) = min (266.66; 201.63)=201.63MPa

$$X = \frac{15 \times \sigma_{bc}}{15 \times \sigma_{bc} + \sigma_{st}} \times d = \frac{15 \times 15}{15 \times 15 + 201.63} \times 0.09 = 0.0474m$$

$$Z = d - \frac{x}{3} = 0.09 - \frac{0.047}{3} = 0.074m$$

$$M_{l} = \frac{1}{2} b \times \sigma_{s} \times Z = \frac{1}{2} \times (1 \times 0.047 \times 15 \times 0.074) = 0.026 MN. \frac{m}{ml}$$

 M_{ser}/A =0.00633< M_{l} =0.026 il n'ya pas des armatures comprimées A'=0

$$A_{ser} = \frac{M_{ua}}{z \times \sigma_c} = \frac{633.024 \times 10^3}{10^3 \times 0.74 \times 201.63} = 42.426 \text{mm}^2 = 0.42 \text{cm}^2$$

$$A_{ser} = A_{ser} - \frac{N_{ser}}{\sigma_{st}} = 42.42 - \frac{825.6}{201.63} = 38.32 \text{mm}^2 = 0.3832 \text{cm}^2$$

La condition de non fragilité

$$A_{min} \ge 0.23bd \frac{f_{t28}}{f_e} = 0.23 \times 1000 \times 90 \times \frac{2.1}{400}$$

$$A_{min} \ge 1.08 cm^2$$

 $A_s = max \; (A_s \; ; A_{ser} \; ; A_{min}) = max \; (0.42 \; ; 0.38 \; ; 1.08) = 1.08 cm^2 \; on \; prend \; 4\Phi 8 \; = 2.01 cm^2$

$$S_t = \frac{100}{5} = 20 \text{cm}$$

 $S_t = min (3h; 33cm) = min(30; 33) = 30cm$

b. Les armatures de répartition:

$$A_r = \frac{A_s}{4} = \frac{2.01}{4} = 0.50 \text{cm}^2$$

On prend $4\Phi6=1.13$ cm² donc $S_t = \frac{100}{4} = 25$ cm

Vérification au cisaillement:

$$\overline{\tau}_{u} = \min (0.15 \frac{fc28}{\gamma b}, 4 \text{ MPa}) = 2.5 \text{MPa}$$

$$V_u = 1.5 \times Q = 1.5 \text{ KN/ml}$$

$$\tau_{u} = \frac{Vu}{b0 \times d} = \frac{1.5}{1 \times 0.09} = 0.016 \text{ MPa}$$

 $\tau_u {<} \ \overline{\tau}_u \ \Rightarrow cv. \ \text{Il n' ya pas un risque de cisaillement}$

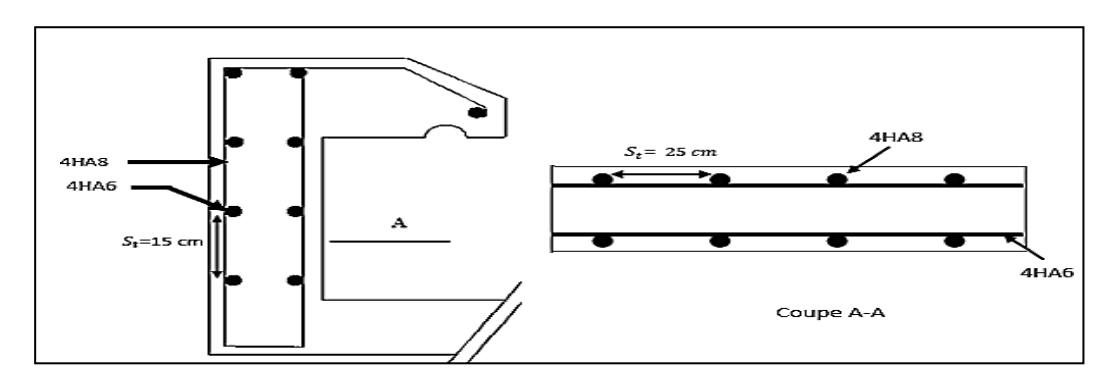


Figure III.2: Schéma de ferraillage d'un acrotère

III.3 les escaliers:

Un escalier est un ouvrage constitué d'une suite de degrés horizontaux (marches et palier) permettant de passer à pied d'un niveau à un autre.ses caractéristique dimensionnelles sont fixées par des normes, des DTU et des décrets en fonction du nombre d'utilisateurs et du type de bâtiment.

Les principaux termes utiles sont illustrés sur la figure suivante:

3.1 Définition des éléments d'un escalier:

- La montée: est la hauteur à gravir, elle est en général égale à une hauteur d'étage.
- La marche: est le plan horizontal sur lequel se pose le pied.
- Lahauteurdemarche:estladifférenceduniveauentredeuxmarchessuccessives(h)
- La contre marche: est le plan vertical situé entre deux marches successives.
- Le nez de marche: est l'arête qui limite l'avant du plan d'une marche.

- Le giron: est la distance horizontale entre 2 nez de marches successif sou entre 2 contre marches successives (g).
- Une volée: est un ensemble continu de marches situé entre deux paliers successifs
- Un palier: est une plate-forme horizontale de repos entre deux volées.
- L'emmarchement: est la longueur d'une marche.
- La ligne de jour: est la plus courte des deux lignes conventionnelles qui passent par les nez de marches aux extrémités des marches.
- La ligne de foulée: est une ligne conventionnelle qui passe par le nez de marches.
- L'échappée: est distance verticale entre les nez de marches.
- La paillasse: est la dalle inclinée en béton armé qui porte les marches d'un escalier

3.2. Evaluation des charges:

Palier: $G_p = 4.450 \text{KN/m}^2$

Paillasse : $G_v = 6.98KN/m^2$

Les charge de l'escalier $Q = 2.5KN/m^2$

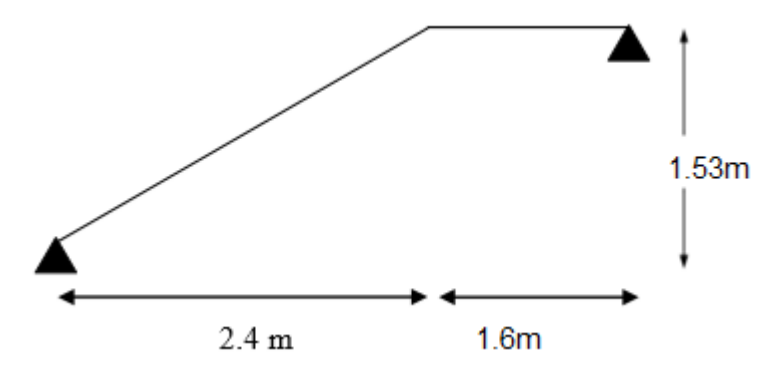


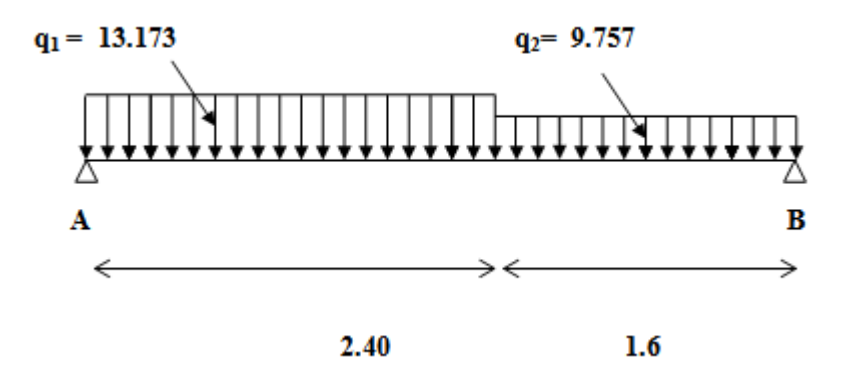
Figure III. 3 Schéma de l'escalier

III.3.4 combinaison des charges

Tableau III.1: combinaison des charges

	ELU	ELS		
Eléments	q_u =1.35G+1.5Q(KN/m)	$q_{ser} = G + Q(KN/m)$		
Palier	9.757	6.95		
Paillasse	13.173	9.484		

III.3.5 calcul des sollicitations



$$La \ charge \ \acute{e}quivalente: \ q_{\acute{e}q} = \frac{q_{paillasse}*l_{paillasse}+q_{palierl}}{l_{paillasse}+l_{palier}}$$

$$q_{\acute{e}q} = \frac{{}^{13.173*2.4+9.757*1.60}}{{}^{2.40+1.60}} = 11.803KN$$

$$q_{ser} = \frac{6.95*1.60+9.484*2.4}{2.40+1.60} = 8.4704 \text{ KN}$$

Moment isostatique:

$$M_{u0} = \frac{q_{\acute{e}q \times l^2}}{8} = \frac{11.80 \times 4^2}{8} = 23.6 \text{KN.m}$$

$$M_{ser} = \frac{q_{ser} \times l^2}{8} = \frac{8.4704 \times 4^2}{8} = 16.94 \text{KN.m}$$

1. Moment en travée:

$$M_t = 0.85 M_0$$

$$M_{\rm ut} = 0.85 \times 23.6 = 20.06 \text{KN.m}$$

$$M_{\text{ser t}} = 0.85 \times 16.94 = 14.399 \text{KN.m}$$

2. Moment sur appuis:

$$\mathbf{M}_a = 0.5 M_0$$

$$M_{ua} = 0.5 \times 23.6 = 11.8 \text{KN.m}$$

$$M_{0ser}$$
=0.5× **16**. **94** =8.47KN.m

Effort tranchant:

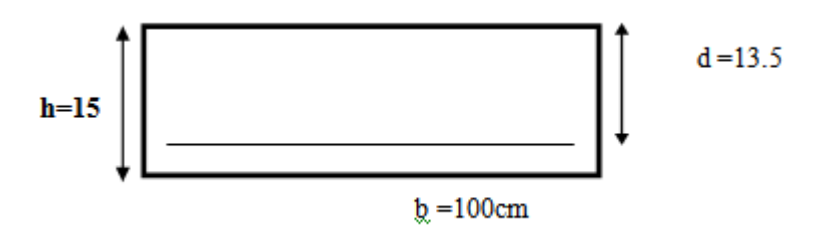
$$T_{\acute{e}q} = \frac{q_{\acute{e}q \times L}}{2}$$

$$T_u = \frac{11.80 \times 4}{2} = 23.6 \text{ KN}$$

$$T_{\text{ser}} = \frac{8.470 \times 4}{2} = 16.94 \text{ KN}$$

III.3.6 Ferraillage:

Le calcul se fait en flexion simple pour une bande de **1ml.** La fissuration est considérée comme peu nuisible.



ELU:

• En Travée:

$$f_e$$
 = 400 MPa ,_s= $\frac{\text{fe}}{\gamma \text{b}}$ = 347.82 MPa , f_{c28} =25MPa; f_{bu} =14.17MPa; $\mathbf{b_0}$ =15cm; \mathbf{c} = 2cm
$$\mu_{\text{u}} = \frac{M_{\text{u}}}{\text{bd}^{2} \text{fbc}} = \frac{20.06 \times 10^3}{1000 \times 13.5^{2 \times 14.17}} = 0.077 < 0.392$$

$$d=0.9h =0.9 \times 15 = 13.5 \text{ cm}$$

$$\mu_{bu} = 0.077 < 0.186 \Rightarrow PivotA$$

 $\mu_{bu} = 0.077 \le \mu_l = 0.392 \Rightarrow$ Les armatures comprimées ne sont pas nécessaires **A'=0**

$$\alpha_u = 1.25(1 - \sqrt{1-2\mu_u}) = 0.100$$

$$Z=d(1-0.4\alpha_u)=135(1-0.4)=129.6$$
mm²

$$A_s = \frac{M_U}{z\sigma_s} = \frac{20.06*10^6}{1000*14.17*135^2} = 445.03 \text{mm}^2 = 4.45 \text{cm}^2$$

• En appuis :

$$\mu_u = \frac{M}{bd^2f_{bu}} = \frac{11.8*10^6}{14.17*1000*135^2} = 0.045$$

$$\alpha_{\rm u=}1.25(1-\sqrt{1-2\mu_{\rm u})}=1.25(1-\sqrt{1-2*0.045)}=0.058$$

$$\mathsf{Z}\text{=}\mathsf{d}(1\text{-}0.4)\text{=}135(1\text{-}0.4\text{*}0.058)\text{=}131.84mm^2$$

$$A_s = \frac{M_U}{z\sigma_s} = \frac{11.8*10^6}{347.8*131.84} = 257.33 \text{mm}^2 = 2.57 \text{cm}^2$$

Condition de non fragilité :(BAEL 91)

$$A_{min} \ge 0.23 bd \frac{f_{t28}}{f_e} = 0.23 \times 1000 \times 135 \times \frac{2.1}{400} = 163.01 \text{ mm}^2 = 1.63 cm^2$$

$$A_{min}$$
'=0.001.b.h =0.001×100 × 15=1.5cm²

$$\mathbf{A_s} = \max(\mathbf{A_{ca}}, \mathbf{A_{min}}, \mathbf{A'_{min}})$$

Tableau III.2 Ferraillage d'escalier

	M(KN .m)	M	A	Z	A _u	A _{min}	A _{adop}	Choix
Travée	20.06	0.077	0.10	129.6	4.45	1.63	4.52	4T12
Appui	11.8	0.045	0.058	131.84	2.57	1.63	3.92	5T10

Espacement maximale:

a- Armatures longitudinales :

 $S_t \le \text{Min (3h ; 33cm)} = \text{min (3} \times 15 ; 33cm) = 33cm$

- Travée:

 $S_t = 30 \text{cm} \le 33 \text{ cm}$

condition vérifié.

- Appuis:

 $S_t = 30 \text{ cm} \le 33 \text{ cm}$

condition vérifié.

b-Armatures répartition :

$$S_t \le \text{Min (4h ; 45cm)} = \text{min (4} \times 15 ; 45cm) = 45cm$$

- Travée:

 $S_t = 30 \text{cm} \le 45 \text{ cm}$

condition vérifié.

- Appuis:

- $S_t = 30 \text{ cm} \le 45 \text{ cm}$

condition vérifié.

III.3.8 Vérification de l'effort tranchant:(BAEL91)

$$\tau_u {\leq} \ \overline{\tau}_u$$

$$\tau_u = \frac{Vu}{b0 \times d} = \frac{23.6*10^3}{1000*135} = 0.174 \text{ MPa}$$

✓ Fissuration

$$\bar{\tau}_{u} = \min (0.2 \times \frac{f_{c28}}{\gamma_{b}}; 5 \text{ MPa})$$

$$\bar{\tau}_{u} = \min (3,33 \text{MPa}; 5 \text{ MPa})$$

$$\bar{\tau}_{\rm u} = 3.33 \text{ MPa}$$

$$\tau_u = \frac{T_u}{hd} = \frac{23.6 \times 10^3}{1000 \times 135} < 0.174 MPa$$

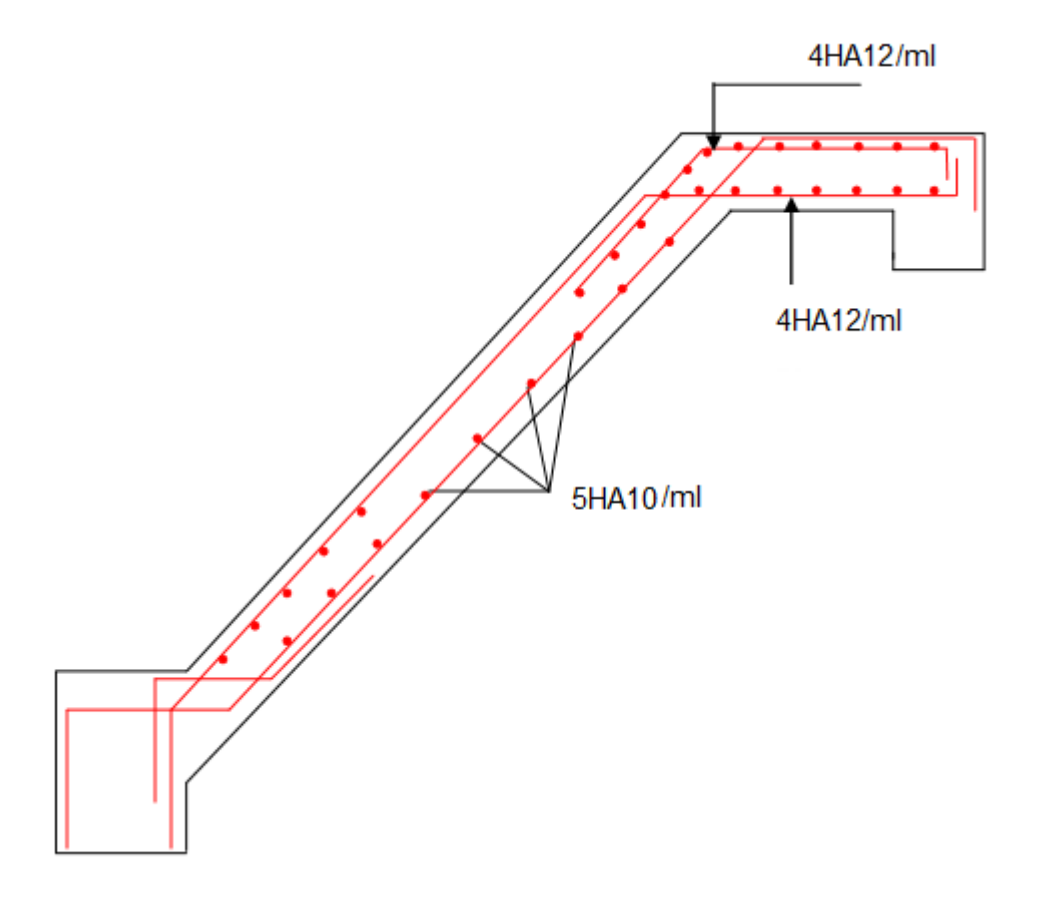


Figure III.4: Schéma de ferraillage d'escalier

III.4 Etude de la poutre palière:

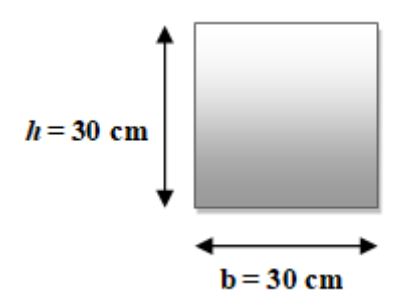
La poutre palière c'est la poutre qui supporte la paillasse d'escalier entre deux niveaux successifs. Elle est de section rectangulaire de dimension (bxh); uniformément chargée travaillant à la flexion simple et à la torsion, elle est soumise à:

- Son poids propre « Pp »;
 - Poids du mur extérieur « Pm » ;
 - La réaction de la volée.

a) Dimensionnement

Moment de torsion:

Le moment de torsion provoqué sur la poutre palière est transmis par la volée et le palier.



$$\frac{L}{15} \le h \le \frac{L}{10} \Rightarrow \frac{330}{15} \le h \le \frac{330}{10}$$

$$22 \le h \le 33 \implies h = 30 \text{ cm}$$

$$0.4h \le b \le 0.7 h$$

$$12 \le b \le 21 \implies b = 30 \text{ cm}$$

Les dimensions des poutres doivent respecter du RPA99/version 2003 suivant:

• D'après le RPA

- b≥20cm ⇒ b=30cmcv
- h≥30cm ⇒ h=30cmcv

On adopte une section de (30*30) cm²

III.3.11 Evaluation des charges:

Poids propre de la poutre g_p:

$$G_{poutre} = (0.3) \times (0.3) \times 25 = 2.25 \text{ KN/ml}$$

Calcul de la charge due au poids du mur :

Poids du mur extérieur : G = 2.65 KN/m G_n

 $G_{mur} = 2.65 \times (3.06 - 0.3) / 2 = 3.65 \text{KN/}ml$

Charge permanente du palier de repos :

$$R = \frac{q \times l}{2} KN/m$$

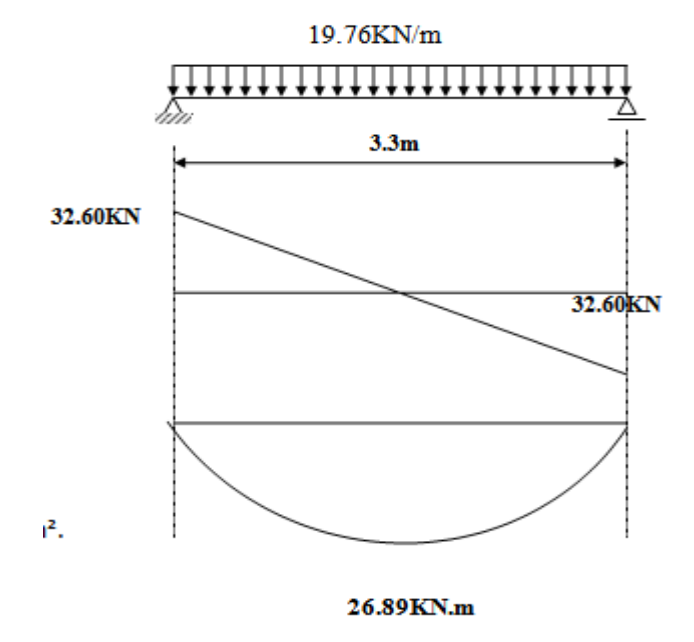


Figure III.5 Diagrammes des moments fléchissant et Tranchant de la poutre palière a l'E.L.S

Avec:

Charge permanente: G = 5.9 KN/ml.

Charge d'exploitation: Q =2.5 KN/ml.

Á ľE.L.U

$$q_u = 1.35 G + 1.5 Q$$

$$q_u = 1.35 \text{ x } 5.9 + 1.5 \text{ x } 2.5 = 11.715 \text{ KN/m}^2.$$

Á ľE.L.S

$$q_s = G + Q$$

$$q_s = 5.90 + 2.5 = 8.4 \text{ KN/m}^2$$

- Réaction d'escalier ou niveau du palier

E.L.U:

$$R_{B} = \frac{11.71 \times .3.30}{2} = 19.32 \text{KN/m}$$

E.L.S:

$$R_B = \frac{8.4 \times 3.30}{2} = 13.86 KN/m$$

- Combinaison à considérer:

***** Etat limite ultime(ELU):

$$q_u$$
= 1.35 x ($g_{poutre} + g_{mur}$) + R_B

$$q_u$$
= 1.35 x (2.25 +3.65) + 19.32 = 27.285KN/m

t Etat limite de service (ELS):

$$q_s = (g_{poutre} + g_{mur}) + R_B$$

$$q_s = (2.25 + 3.65) + 13.86 = 19.76KN/m$$

Calcul des moments max et efforts tranchants max

Moment (max) =
$$\frac{q_e L^2}{8}$$

Effort tranchant (max)= $\frac{q_e L}{2}$

✓ Moment en travée: M_{travée}=0,85M _{isostatique}.

✓ Moment sur appui: $M_{appui} = 0.5M_{isostatique}$.

Ce qui donne pour le cas traités les valeurs du tableau suivant:

Tableau III.3 Moments et efforts tranchant

Etats	q _u (KN/m)	M ₀ (KN.m)	M _{t max} (KN.m)	M _{a max} (KN.m)	T _{max} (KN)
ELU	27.28	37.13	31.56	18.56	45.01
ELS	19.76	26.89	22.85	13.44	32.60

III.4 .2 Ferraillage:

Le calcul de ferraillage se fait en flexion simple, la fissuration est considérée comme peu Préjudiciable, le calcul des armatures se fera uniquement à l'état limite ultime.

✓ **b**: largeur de la section; **b=30cm.**

 \checkmark c = c': enrobage; c = c'=2cm.

 \checkmark d=0.9*h: hauteur utile; d=0.9*30 = 27cm.

✓ h: Epaisseur de la section; Soit: h= 30 cm.

 $\checkmark \sigma_s = 348$ MPa.

✓
$$f_{bu} = 14,17 \text{MPa}$$
.

Armatures longitudinales:

*EN Travée:

$$M_{tu}^{max} = 31.56 \text{ KN. m}$$

$$\mu_{bu} = \frac{\text{M}_{au}^{max}}{\text{bd}^2\mu_{bu}} = \frac{\text{31.56} \times \text{10}^6}{\text{300} \times \text{270}^2 \times \text{14.17}} = 0.101$$

$$\mu_{\rm bu} = 0.10 < \mu_{\rm l} = 0.392$$

$$= 0.101 \rightarrow \begin{cases} \alpha = 1.25(1 - \sqrt{1 - 2\mu}) = 0.133 \\ Z = d(1 - 0.4\alpha) = 255.59 \text{ mm} = 25.59 \text{cm} \end{cases}$$

$$A_t = \frac{M_{au}^{max}}{Z.\delta_s} = \frac{31.56 \times 10^6}{255.59 \times 347.8} = 355.02 \text{ mm}^2 = 3.55 \text{ cm}^2.$$

On prend: 3HA14= 4.62 cm²

*EN appuis:

$$\begin{split} &M_{tu}^{max} = 18.56 \text{ KN. m} \\ &\mu_{bu} = \frac{M_{au}^{max}}{bd^2\mu_{bu}} = \frac{18.56\times10^6}{300\times270^2\times14.17} = 0.059 \\ &\mu_{bu} = 0.059 < \mu_l = 0.392 \\ &= 0.059 \rightarrow \begin{cases} \alpha = 1.25 \left(1 - \sqrt{1 - 2\mu}\right) = 0.076 \\ Z = d(1 - 0.4\alpha) = 261.44 \text{ mm} = 2.61 \text{cm} \end{cases} \\ &A_t = \frac{M_{au}^{max}}{Z.\,\delta_s} = \frac{18.56\times10^6}{261.44\times347.8} = 204.11 \text{ mm}^2 = 2.04 \text{ cm}^2. \end{split}$$

On prend: $3HA12 = 3.39 \text{ cm}^2$

a. Armatures transversales

$$h/35 = 8.57 \text{ mm}$$

$$\begin{cases} \phi_t \leq \min & \phi = 12 \text{ mm} \Rightarrow \phi_t = 8 \text{ mm} \\ b/10 = 30 \text{ mm} \end{cases}$$
• Calcul des espacements:

Généralement, si la fissuration n'est pas très préjudiciable et il n'ya pas de reprise de bétonnage on utilise la formule suivante:

$$\frac{A_t}{S_t} \ge \frac{b (\tau_u - 0.3 f_{t28})}{0.8 f_e}$$

$$A_t = 0.003 \text{ .S.b} = 0.003 \times \frac{30}{2} \times 30 = 1.35 \text{ cm}^2 \text{(MinimumdeRPA)}$$

Donc on prend $\phi = 8 \ mm \Rightarrow A_t = 3.02 \ cm^2$

S' = 15 cm ($L_{ZC} = 1.35 \text{ cm}$)

Par condition:

$$S < min(\frac{h}{4}~;12\varphi~;30cm~) = 7.5~cm~~(zone~nodale)$$

$$S' < \frac{h}{2} = 15~cm~~(zone~courante)$$
 On prend $S=7~cm~~(L_{ZN}=2\times h=60~cm~)$

a. Vérification de la contrainte:

Considérons le cas préjudiciable.

• En travée:

$$A_S = 4.62 \text{cm}^2$$
; $M_{Ser} = 22.85 \text{kN.m}$;

La position de l'axe neutre:

(b/2)
$$y^2-15A_S(d-y)=0$$
 $\Rightarrow y = 8.61$ cm

Le moment d'inertie I:

$$I=(b/3)y^3+15A_s(d-y)^2$$
 $\Rightarrow I=29819.48 \text{ cm}^4$

On vérifie que:
$$\sigma_b = \frac{M_{ser}}{I}$$
 $y \le \sigma_{bc}$

et
$$\sigma_a = n \frac{M_{ser}}{I} (d - y) \le \overline{\sigma}_a$$

$$\sigma_b = \frac{22.85 \times 8610 \times 10^6}{29819.48 \times 10^4} = 6.59 \text{MPa} \le \sigma_{bc} = 15 \text{ MPa} \Rightarrow \text{OK}$$

$$\sigma_{a} = 15 \frac{22.85}{29819.48} (27 - 8.61) \times 10^{3} = 201.1 \text{ MPa} \leq \overline{\sigma}_{a} = 201.63 \text{ MPa} \Rightarrow \text{OK}$$

• Sur appuis:

$$A_S = 3.39 \text{ cm}^2$$
; $M_{Ser} = 13.44 \text{kN.m}$

La position de l'axe neutre:

(b/2)
$$y^2-15A_S(d+y)=0$$
 $\Rightarrow y = 7.72$ cm

Le moment d'inertie I:

$$I=(b/3)y^3+15A_s(d-y)^2 \Rightarrow I=23502.87cm^4$$

On vérifie que:
$$\sigma_b = \frac{M_{ser}}{I} y \le \overline{\sigma}_{bc}$$
 et $\sigma_a = n \frac{M_{ser}}{I} (d - y) \le \overline{\sigma}_a$

$$\sigma_b = \frac{13.44 \times 7.72}{23502.87} \times 10^3 = 4.41 MPa \le \sigma_{bc} = 15 \text{ MPa} \Rightarrow OK$$

$$\sigma_a = 15 \frac{_{13.44}}{_{23502.87}} (27 - 7.72) \times 10^3 = 165.37 \text{ MPa} \leq \bar{\sigma}_a = 201.63 \text{ MPa} \Rightarrow 0 \text{K}$$

b. Vérification de la condition de non fragilité:

$$A_s \ge A_s^{min} = 0.23b d \frac{f_{t28}}{f_e}$$

$$A_s = min \{A_s^t; A_s^a\} = A_s^a = 3.39 \text{ cm}^2$$

 $\Rightarrow A_s^{min} = 0.23 \times 30 \times 27 \times \frac{2.1}{400} = 0.97 \text{cm}^2 < A_s = 3.39 \text{cm}^2 \Rightarrow \text{OK}$

c. Vérification de la flèche:

On doit vérifier dans les deux sens

$$\checkmark \frac{h}{L} \ge \frac{1}{16} \Rightarrow \frac{0.3}{3.3} = 0.09 > \frac{1}{16} = 0,0625 \Rightarrow 0K$$

$$\checkmark \frac{A_s}{b_0 d} \le \frac{4.2}{f_e} \Rightarrow \frac{4.62}{30 \times 27} = 0.0057 \le \frac{4.2}{f_e} = 0.0105 \Rightarrow OK$$

$$\checkmark \frac{h}{L} \ge \frac{M_t}{10M_0} \Rightarrow \frac{0.3}{3.2} = 0.093 \ge \frac{37.13}{10 \times 37.13} = 0.085 \Rightarrow OK$$

d. Vérification de la contrainte de cisaillement (effort tranchant):

Il faut vérifier que:

$$\tau_{\rm u} \leq \frac{-}{\tau_{\rm u}}$$

$$\tau_{\rm u} = \frac{T u}{b \ d}$$

Fissuration peu nuisible
$$\tau_u = \min \left\{ 0.2 \times \frac{f_{c28}}{\gamma_b} ; 5 \text{ MPa} \right\} = \min \left\{ 3.33 \text{MPa} ; 5 \text{ MPa} \right\}$$

$$\overline{\tau}_u$$
= 3,33 MPa

$$T_a = 30.19 \text{ KN}; b = 30 \text{ cm}; d = 27 \text{ cm}$$

$$\tau_u = \frac{30.195 \times 10^3}{300 \times 270} = 0.37 \text{MPa} < 3,33 \text{MPa} \rightarrow \text{CV}$$

Flexion à Torsion

La poutre palière est soumise à un moment de torsion uniformément reparti sur sa Longueur, c'est le moment sur appui de l'escalier.

$$M_{tor} = \frac{M_{a~esc} \times l}{2} = \frac{11.80 \times 3.30}{2} = 19.47 KN. m$$

D'après le BAEL 91 , la contrainte de torsion au_{ut} est comme pour la section creuses .

$$A_1^{tor} = \frac{M_{tor} \times U \times Y_s}{2\Omega f_e}$$

 M_{tor} : Moment de torsion

U : Périmètre de la section de la poutre palier : U=2(b+h)= 140cm

 Ω : air du contour à-mi épaisseur des parois

$$\Phi = min(30;35) = 30 \text{ cm}$$

$$e = \frac{\varphi}{6} = \frac{30}{6} = 5cm$$

$$\Omega$$
: (b-e)(h-e)= (30-5)(40-5)=875 cm^2

$$A_1^{tor} = \frac{M_{tor} \times U \times Y_s}{2\Omega\sigma_{st}} = \frac{19.47 \times 10^6 \times 1400 \times 1.15}{2 \times 87500 \times 347.8} = 5.15 cm^2$$

Armature transversale :

$$A_t = \frac{M_{tor} \times U \times S_t}{2\Omega\sigma_{st}} = \frac{19.47 \times 10^6 \times 150}{2 \times 87500 \times 347.8} = 0.47 cm^2$$

Contrainte de cisaillement à la torsion :

$$\tau_{tor} = \frac{_{M_{tor}}}{_{2\Omega\sigma_{st}}} = \frac{_{19.47\times10^6}}{_{2\times87500\times347.8}} = \textbf{0.75} cm^2$$

$$\tau_{tor} = \frac{M_{tor}}{2\Omega e} = \frac{19.47 \times 10^6}{2 \times 87500 \times 50} = 2.22 cm^2$$

$$\sqrt{\tau f l e^2 + \tau tor^2} \le 3.33 MPa \rightarrow \sqrt{2.22^2 + 0.75^2} = 2.34 MPa \le 3.30 MPa....cv$$

Ferraillage globale:

En travée :

$$A_{st} = A_{tf} + \frac{A_l^{tor}}{2} = 0.47 + \frac{4.62}{2} = 2.78cm^2$$

on prend :3HA14 = $4.61cm^2$

$$A_c = \frac{4.62}{2} = 2.31 \ cm^2$$

En appuis:

$$A_{sa} = A_{afl} + \frac{A_l^{tor}}{2} = 0.47 + \frac{5.15}{2} = 3.04 cm^2 \quad on \ prend: \ 3 \text{HA} 12 = 4.61 cm^2$$

$$A_c = \frac{5.15}{2} = 2.575 \ cm^2$$

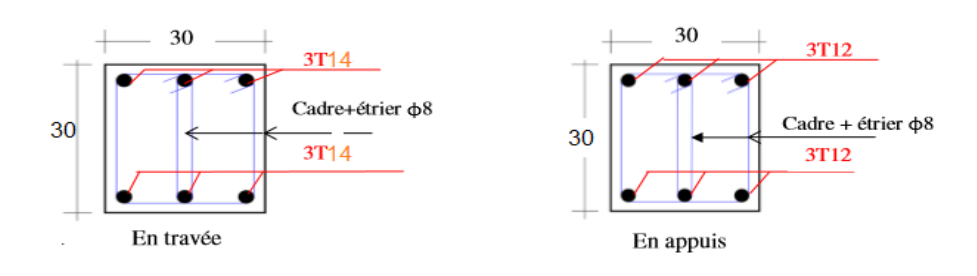


Figure III.6 Schéma de ferraillage de poutre palière

5. Calcul des balcons

Le balcon est assimilé à une encastrée au niveau de la poutre du plancher .Il est réalisé en dalle pleine, il est calculé comme un consol ferraillé en flexion simple. Le balcon est soumis à une charge permanents G (poids propre), charge concentrée à l'extrémité libre p (poids propre de garde –corps), et une charge d'exploitation Q.

Les balcons sont des éléments décoration dans les bâtiments, ils sont calculés comme des consoles encastrées.

$$L_x=1,2m$$
$$L_y=4.20m$$

$$\rho = \frac{Lx}{Ly} = \frac{1.20}{4.20}$$

 $\rho = 0.28 < 0.4$ La dalle travaille dans selon « l_x »

• Evaluation des charges:

 $G = 4.280 \text{ KN/m}^2$

 $Q = 3.500 \text{ KN/m}^2$

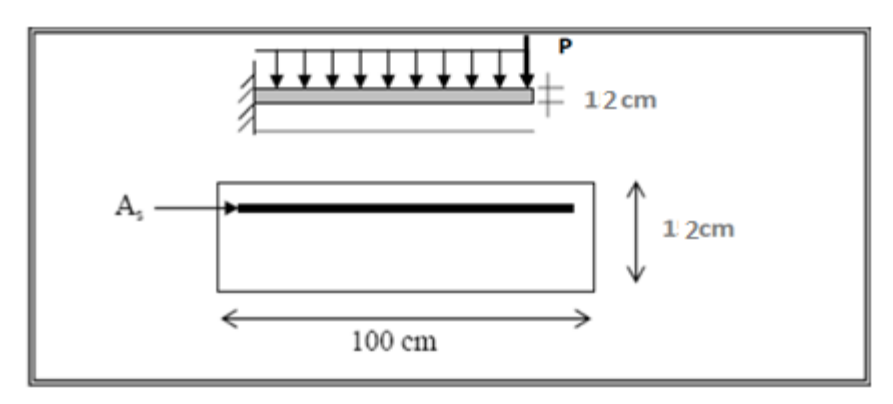
Pour1ml:G = 4.280 KN/m

$$Q = 3.50 \text{ KN/m}$$

$$P = 1 KN$$

Le calcul peut se fait pour une bande de1m.

III.4.1 Sollicitations:



Puisque le balcon est exposé aux intempéries, donc le calcul se fera à L'E.L.S

• Combinaisons :

A /E.L.U

$$q_u = (1,35G+1,5Q)*1$$

$$q_u$$
=(1,35×4.280+1,5×3,5)*1=11.028KN/m

$$P_u=1,35\times P$$

$$P_u$$
=1,35×1=1,35KN

B/E.L.S

$$q_S = (G+Q) *1 = (4.28+3.5)*1 = 7.75KN$$

$$P_S=P=1KN$$

• Calcul des sollicitations :

a/E.L.U

$$M_u = \frac{q_u L^2}{2} + P_u \times L$$

$$Mu = \frac{q_u L^2}{2} + 1.35 \times L = \frac{11.028 \times 1.2^2}{2} + 1.35 \times 1.2 = 9.560 \text{KN.m}$$

$$V_u = q_u L + P_u$$

$$V_u = 11.028 \times 1,2 + 1,35 = 14.583KN$$

b/ELS

$$M_{\rm S} = \frac{q_{\rm S} L^2}{2} + P_{\rm S} \times L$$

$$M_{\rm S} = \frac{q_{\rm s} L^2}{2} + 1 \times L = \frac{7.75 \times 1.2^2}{2} + 1.2 \times 1 = 6.78 \text{KN.m}$$

$$V_s = q_s L + Ps$$

$$V_s = 7.75 \times 1,2 + 1 = 10.3 \ KN$$

Le calcul des armatures se fait à la flexion simple: b=100cm, h=12cm, $d=0.9 \times 12 = 10.8cm$

$$M_u = 9.560 \ KN.m$$

$$\mu = \frac{M_u}{bd^2f_{Nu}} = \frac{9.56 \times 10^6}{14.17 \times 1000 \times 108^2} = 0.0578 \text{N/mm}^2$$

 $0.0578 < \mu_l = 0.392 \Rightarrow$ (les armatures comprimée ne sont pas nécessaires).

$$\alpha = 1.25 (1 - \sqrt{1 - 2\mu bu}) = 1.25 (1 - \sqrt{1 - 2 \times 0.0578}) = 0.0744$$

$$Z=d \times (1-0.4) = 108 \times (1-0.4 \times 0.0744) = 0.104m$$

$$A_s = \frac{M_u}{z \times \sigma_s} = \frac{9.560 \times 10^6}{347.8 \times 104.78} = 262.33 mm^2$$

$$A_s = 2.62 c m^2$$

Condition non fragilité:

$$A_{min} \ge 0.23b d \frac{f_{t28}}{f_e}$$

$$A_{min} \ge 0.23 \times 1000 \times 108 \frac{2.1}{400}$$

$$A_{min} = 130.41 mm^2 = 1.304 cm^2$$

Soit:
$$3HA12 (A_u = 3.39 \text{ cm}^2)$$

Espacement:

$$S_t \le \min(3 \times 12; 33cm)$$

$$St=33cm$$

Armature de répartition:

$$A_r = \frac{A_s}{4} = \frac{3.39}{4} = 0.84$$

Soit: $3HA8 (A_s = 1.5 cm^2)$

- Vérification à L'ELU:
- Vérification des contraintes de cisaillement

$$\tau_u {\leq} \ \overline{\tau}_u$$

$$\tau_{\text{u}} = \frac{V_{\text{u}}}{b_0 \times d} = \frac{14.583 \times 10^3}{1000 \times 108} = 0.1350 \text{ MPa}$$

✓ Fissuration préjudiciable

$$\bar{\tau}_{u} = \min \left\{ 0.15 \times \frac{f_{c28}}{\gamma_{b}} ; 5 \text{ MPa} \right\} = \min \left\{ 2.5 \text{MPa} ; 5 \text{ MPa} \right\}$$

$$\overline{\tau}_u = 2,5 \text{ MPa}$$

Donc
$$\tau_u = 0.1350 < 2.5 \text{MPa} \rightarrow \text{cv}$$
.

Pas de risque de rupture par cisaillement.

• Vérification des contraintes

$$\sigma_b = \frac{Mser}{I} y \leq \sigma_{bc}$$

Position de l'axe neutre :

$$\frac{\mathbf{b}}{2} \times \mathbf{y}^2 + \mathbf{n}\mathbf{A}'(\mathbf{d} - \mathbf{x}) - \mathbf{\eta} \times \mathbf{A}(\mathbf{d} - \mathbf{y}) = \mathbf{0}$$

$$50 \times y^2 + 15(13,5-y) \times 0 + (13,5-y) \times 15 \times 3,39 = 0$$

$$Y_1 = 4,983$$
cm $Y_2 = -3.78$

Moment d'inertie:

$$I = \frac{b \times y_1^3}{2} + \times [A_s \times (d - y_1)^2 + A' \times (y_1 - d)^2]$$

$$I = \frac{b \times y_1^3}{3} + \times [A_s \times (d - y_1)^2 + A' \times (y_1 - d)^2]$$

$$I = \frac{100 \times 4.98^3}{2} + 15 \times 3.39(10.8 - 4.983) = 6482.26cm^4$$

$$\sigma_b = \frac{6.78 \times 10^6 \times 4.983}{6.4822 \times 10^7} = 5.208 \text{ MPa} < \sigma_b = 15 \text{ MPa} \dots \text{cv}$$

La contraint dans l'acier:

$$\sigma_{st} \leq \sigma_{st}$$

$$\overline{\sigma}_{st} = \min\left(\frac{2}{3}f_e; 110\sqrt{\eta f_{t28}}\right)$$

$$\begin{split} \overline{\sigma}_{st} &= \min \left(\frac{2}{3} \text{ 400} ; 110 \sqrt{1,6 \times 2,1} \right) \\ \overline{\sigma}_{st} &= \min \left(\text{ 266, 67} ; 201,63 \right) \\ \overline{\sigma}_{st} &= 201.63 \text{ MPa} \\ \overline{\sigma}_{b} &= \frac{15 \text{ Mser} \times (d-y)}{I} \\ \overline{\sigma}_{b} &= 9.12 \text{MPa} \\ \Rightarrow \overline{\sigma}_{st} &\leq \overline{\sigma}_{st} \qquad cv \end{split}$$

• Vérification de la flèche :

$$\begin{array}{l} \checkmark \quad \frac{h}{L} \geq \frac{1}{16} \Longrightarrow_{1.2}^{0.12} = 0.1 \ > \frac{1}{16} = 0,0625 \ \Longrightarrow \text{OK} \\ \\ \checkmark \quad \frac{A_s}{b_0 \, d} \leq \frac{4,2}{f_e} \Longrightarrow_{1000 \times 108}^{3.39 \times 10^2} = 3.13 \times 10^{-3} \ \leq \frac{4,2}{f_e} = 0,0105 \Longrightarrow \text{OK} \\ \\ \checkmark \quad \frac{h}{L} \geq \frac{M_t}{10M_0} \Longrightarrow_{L}^{h} = \geq \frac{M_t}{10M_0} = \frac{6.78}{10 \times 6.78} = 0.1 \Longrightarrow \text{OK} \end{array}$$

Les trois conditions de la flèche sont vérifier donc le calcul de la flèche ne s'impose pas.

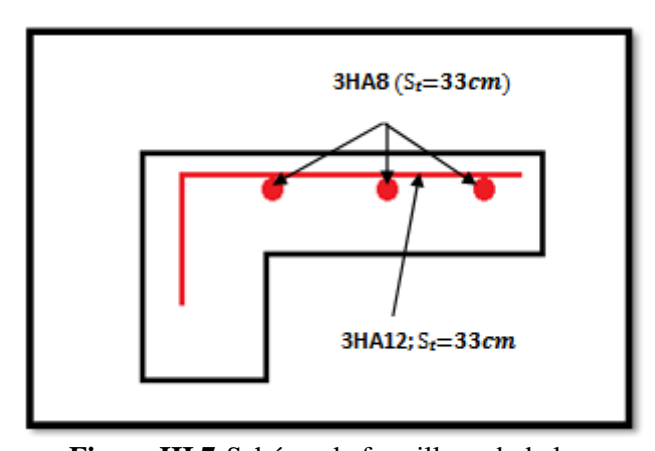


Figure III.7: Schéma de ferraillage du balcon

III.6.Plancher:

III.6.1 définition:

Les planchers sont calculés en section T comme des poutres continues soumise à la flexion simple sous la charge Q. Pour le ferraillage, il faut calculer les sollicitations internes le moment et l'effort tranchant (M, V) par la méthode de RDM (méthode des 3moments) pour les éléments (poutre continue) on utilise:

- La méthode Forfaitaire
- La méthode de Caquot

Domaine d'application:

La méthode forfaitaire s'applique aux éléments fléchis remplissant les conditions suivantes:

• Admission des petites fissures au niveau des appuis,

- L'absence des charges rapidement variable dans le temps et de position,
- La surcharge d'exploitation est modérée c'est à-dire inférieure à deux fois la charge permanente $Q \le \max{(2G, 5KN/m^2)}$.
- ➤ Les moments d'inertie dans les sections transversales sont les mêmes dans les différentes travées en continuité. (**I=constant**)
- \blacktriangleright Le rapport entre deux travées successives : $0.8 \leq \frac{L_i}{L_{i+1}} \leq 1.25$
- > La fissuration peu nuisible.

a) Principe de la méthode:

- $ightharpoonup M_0$: La valeur maximale du moment fléchissant dans la travée de comparaison;
- ightharpoonup Mg et Md: Respectivement les valeurs absolues des moments sur appuis de gauche et de droite dans la travée considérée:
- ➤ M_t: Le moment maximal en travée dans la travée considérée;
- \succ α : Degré de surcharge du plancher (le rapport des charges d'exploitations à la somme des charges permanentes et des charges d'exploitation): $\alpha = \frac{Q}{0+G}$

❖ Moment en Travées:

Les moments en travées sont calculés à partir des deux conditions suivantes :

- 1. Dans le cas général $M_t + \frac{M_g + M_d}{2} \ge \max \begin{cases} (1 + 0.3\alpha)M_0. \\ 1.05M_0. \end{cases}$
- $\label{eq:definition} \textbf{2.} \begin{cases} \text{Dans le cas d'une travée de rive } M_t > \frac{(1.2+0.3\alpha)}{2} M_0. \\ \text{Dans le cas d'une travée intermédiaire } M_t > \frac{(1+0.3\alpha)}{2} M_0. \end{cases}$

❖ Moment en appuis:

<u>Les appuis de rive</u>: les moments sont nuls cependant on les ferraille (aciers de fissuration) avec une quantité d'acier équilibrant un moment égale : $(-0.15M_0)$.

Les appuis intermédiaires:

Poutres à deux travées : Les moments sont de l'ordre de (-0.6M₀).



Poutres à plus de deux travées :



(- 0.5M₀) Pour les appuis voisins de l'appui de rive.

 $(-0.4M_0)$ Pour les autres appuis intermédiaires.

Tel que:

 \mathbf{M}_0 : Le maximum des deux moments isostatique encadrant l'appui considéré. $\mathbf{M}_0 = \frac{q \mathbf{l}^2}{8}$

A Les efforts tranchants:

- Pour calculer l'effort tranchant par la méthode forfaitaire, nous supposons que sur tous les appuis l'effort tranchant hyperstatique V' est égale à l'effort tranchant isostatique V' sauf sur les appuis voisin de rive où l'effort tranchant isostatique doit être majoré comme suit :
- $15\% \rightarrow \text{s'il s'agit d'une poutre à deux travées.}$
- $10\% \rightarrow \text{s'il s'agit d'une poutre à plus de deux travées.}$

On note que:

$$V_0 = \frac{q_u \times l_i}{2}$$

Avec:

 V_0 : effort tranchant isostatique;

q_u: la charge sur les poutrelles;

l_i: la longueur de la travée considérée.

Les diagrammes des efforts tranchants sont représentés dans les figures suivantes:

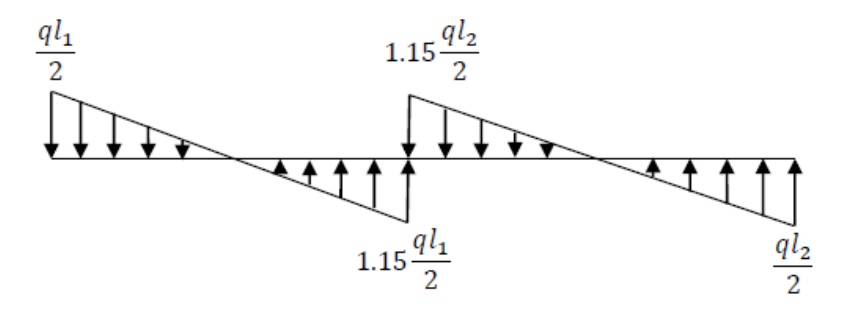


Figure III.8 : Diagramme des efforts tranchants une poutre à deux travées.

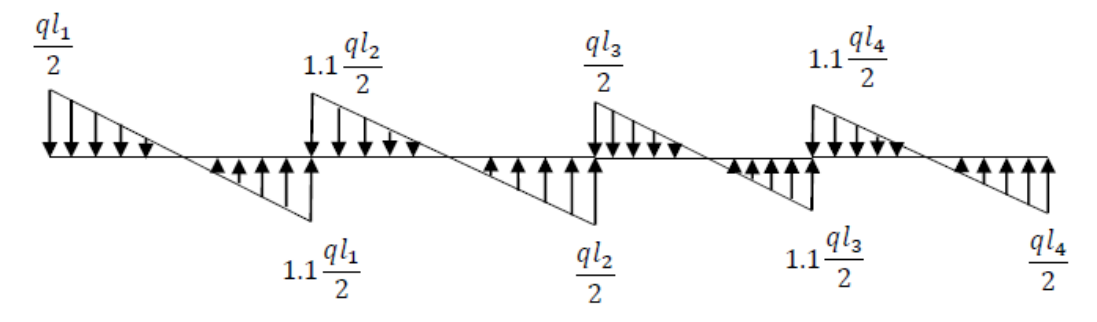


Figure II III.9: Diagramme des efforts tranchants une poutre à plusieurs travées.

b) Vérification des conditions de la méthode forfaitaire:

1) Plancher à surcharge modérée : $Q \le max(2G; 5KN/m^2)$

✓ Plancher terrasse inaccessible: $G = 5.79 \text{ KN/m}^2$

$$Q = \max{(2 \times 5.79; 5 \text{KN/m}^2)} = \max{(11.58; 5 \text{KN/m}^2)}$$

$$Q = 1 \text{KN/m}^2 < 11.58 \text{ ... } \textit{Condition v\'erifi\'ee}.$$

✓ Plancher étage courant : $G = 5.53 \text{ KN/m}^2$

$$Q = max (2 \times 5.53; 5KN/m^2) = max (11.06; 5KN/m^2)$$

 $Q = 1.5KN/m^2 < 11.06....$ Condition vérifiée.

- 2) Les moments d'inerties elles sont constantes.
- 3) Le rapport : $0.8 \le \frac{L_i}{L_{i+1}} \le 1.25$

Type: étages courant +terrasse

- $0.8 \le \frac{3.45}{3.30} = 1.04 \le 1.25$... condition vérifiée.
- $0.8 \le \frac{3.30}{3.30} = 1 \le 1.25$... condition vérifiée.
- $0.8 \le \frac{3.30}{3.30} = 1 \le 1.25$... condition vérifiée.
- $0.8 \le \frac{3.30}{3.30} = 1 \le 1.25$... condition vérifiée.
- $0.8 \le \frac{3.30}{3.30} = 1 \le 1.25$... condition vérifiée
- $0.8 \le \frac{3.30}{3.30} = 1 \le 1.25$... condition vérifiée

Choix de la Méthode de calcul des sollicitations:

Le choix de la méthode de calcul à suivre pour les différents types est défini dans le tableau suivant :

Type de poutrelles	Conditions d'application de la méthode	vérification	Méthode
	forfaitaire		adoptée
	$0.9 < \frac{L_i}{L_i} < 1.25$	vérifiées	Méthode
Type étage	$0.8 \le \frac{L_i}{L_{i+1}} \le 1.25$		forfaitaire
courant 1.2 3 4			
Type plancher	$0.9 < \frac{L_i}{L_i} < 1.25$	Vérifiées	Méthode
terrasse 1 2	$0.8 \le \frac{L_i}{L_{i+1}} \le 1.25$		forfaitaire

Tableau III.4: Le choix de la méthode de calcul à suivre pour les différents types

• Type des étages courant :

Type 1: poutrelle sur trois appuis avec deux travée



Evaluation des charges appliquées à chaque nervure

a) Plancher terrasse (terrasse inaccessible):

$$\begin{split} G_{terrasse} &= 5.79 \; KN/m^2 \; \rightarrow G \; = \; G_{terrasse} \times b = 5.79 \times \; 0.65 \; = \; 3.7635 \; KN/ml \\ Q_{terrasse} &= 1 \; KN/m^2 \; \rightarrow \; Q = Q_{terrasse} \times b = 1 \times 0.65 = 0.65 \; KN/ml \end{split}$$

a) Plancher étage courant :

$$\begin{split} G_{\text{\'etage courant}} &= 5.53 \text{KN/m}^2 \ \rightarrow \ G = G_{\text{\'etage courant}} \times b = 5.53 \times 0.65 = 3.5945 \ \text{KN/ml} \\ Q_{\text{\'etage courant}} &= 1.5 \ \text{KN/m}^2 \ \rightarrow \ Q \ = Q_{\text{\'etage courant}} \times \ b = 1.5 \times 0.65 = 0.975 \ \text{KN/ml} \end{split}$$

$$\label{eq:less_energy} \textbf{Les combinaisons d'action:} \left\{ \begin{array}{c} \textbf{ELU}: P_u = 1.35G + 1.5Q \\ \textbf{ELS}: P_s = G + Q \end{array} \right.$$

Tableau III .5: Les combinaisons d'action

	Terrasse inaccessible	étage courant
Désignation		
ELU	6.05 (KN/m)	6.314 (KN/m)
ELS	4.412 (KN/m)	4.569 (KN/m)

III.6.4.7 Détermination des sollicitations des planchers:

Plancher terrasse:

Calcul des longueurs fictives

Les deux travées sont de rive donc :

✓ **LAB**=
$$4.05$$
m.

✓ **LBC**=
$$3.15$$
m.

b. Calcul des moments

*** Moments aux appuis:**
$$M_0 = \frac{q L^2}{8}$$

> Les appuis de rive

+ Appui A:

$$M_A = 0 = -0.15 M_0 ELU = -0.15 (9.39) = -1.40$$

 $ELS = -0.15 (6.83) = -1.02$

+ Appui C:

$$M_C = 0 = -0.15 M_0$$
 ELU = $-0.15 (8.59) = -1.28$
ELS = $-0.15 (6.25) = -0.93$

> Appui intermédiaire

+ Appui B:

$$M_B = -\frac{q'_g \times L'_g^3 + q'_d \times L'_d^3}{8.5(L'_g + L'_d)}$$

ELU: MB =
$$-\frac{6.315\times3.45^3+6.315\times3.30^3}{8.5(3.45+3.30)}$$
 = - 8.47KN.m

ELS: MB =
$$-\frac{4.59 \times 3.45^3 + 4.59 \times 3.30^3}{8.5(3.45 + 3.30)}$$
 = - 6.168KN.m

❖ Moment en travée:

$$M_t(x) = \frac{q x}{2} (L - x) + M_d \times \frac{x}{L}$$

+ Travée AB

A l'ELU:

$$x = \frac{Li}{2} + \frac{M_g - M_d}{qLi} = \frac{3.45}{2} + \frac{-8.47}{6.315(3.45)} = 1.34 \text{ m}$$

$$M_0(x) = q \times \frac{x}{2} (L-x) = 6.315 \times \frac{1.34}{2} (3.45 - 1.34) = 8.94 \text{KN.m}$$

$$M_t(x) = \frac{q x}{2} (L - x) + M_d \times \frac{x}{L} = 8.94 + (-8.47) \frac{1.34}{3.45} = 5.62 \text{ KN .m}$$

A l'ELS:

$$x = \frac{Li}{2} + \frac{M_g - M_d}{qLi} = \frac{3.45}{2} + \frac{-6.168 - 0}{4.59(3.45)} = 1.34 \text{ m}$$

$$M_0(x) = q \times \frac{x}{2} (L - x) = 4.59 \times \frac{1.34}{2} (3.45 - 1.34) = 6.48 \text{KN.m}$$

$$M_t(x) = \frac{q x}{2} (L - x) + M_d \times \frac{x}{L} = 6.48 + (-6.168) \frac{1.34}{3.45} = 4.08 \text{ KN .m}$$

+ Travée BC

A l'ELU:

$$x = \frac{Li}{2} + \frac{M_g - M_d}{qLi} = \frac{3.30}{2} + \frac{-(-8.47)}{6.315(3.3)} = 2.05 \text{ m}$$

$$M_0(x) = q \times \frac{x}{2} (L - x) = 6.315 \times \frac{2.05}{2} (3.30 - 2.05) = 8.09 \text{KN.m}$$

$$M_t(x) = \frac{q x}{2} (L - x) + M_d \times \frac{x}{L} = 8.09 + (-8.47) \frac{2.05}{3.30} = 2.81 \text{ KN.m}$$

A l'ELS:

$$x = \frac{Li}{2} + \frac{M_g - M_d}{qLi} = \frac{3.30}{2} + \frac{-(-6.168)}{4.59(3.30)} = 2.05m$$

$$M_0(x) = q \times \frac{x}{2} (L - x) = 4.59 \times \frac{2.05}{2} (3.3 - 2.05) = 5.88 \text{KN.m}$$

$$M_t(x) = \frac{q x}{2} (L - x) + M_d \times \frac{x}{L} = 5.88 + (-6.168) \frac{2.05}{3.30} = 2.04 \text{ KN .m}$$

c. Les efforts tranchants

$$T_{w} = \frac{q. L}{2} - qx + \frac{M_{d} - M_{g}}{L}$$

* A l'ELU:

+ Travée AB : $0 \le x \le 3.45$

$$T_{w} = \frac{q. L}{2} - qx + \frac{M_{d} - M_{g}}{L}$$

$$x = 0 \Rightarrow T(0) = 8.47 \text{ KN}.$$

$$x = 3.45 = T(3.45) = -13.33 \text{ KN}.$$

+ Travée BC: $0 \le x \le 3.30$

$$T_{w} = \frac{q. L}{2} - qx + \frac{M_{d} - M_{g}}{L}$$

$$x = 0 => T(0) = 7.81 \text{ KN}.$$

$$x = 4.05 = T(3.30) = -12.97 \text{ KN}.$$

* A l'ELS:

+ Travée AB : $0 \le x \le 3.45$

$$T_{w} = \frac{q. L}{2} - qx + \frac{M_{d} - M_{g}}{L}$$

$$x = 0 \Rightarrow T(0) = 6.2 \text{ KN}.$$

$$x = 3.45 => T(3.45) = -9.75KN.$$

+ Travée BC: $0 \le x \le 3.30$

$$T_{w} = \frac{q. L}{2} - qx + \frac{M_{d} - M_{g}}{L}$$

$$x = 0 \Rightarrow T(0) = 5.70 \text{ KN}.$$

$$x = =>T(3.30) = -9.44 \text{ KN}.$$

Les résultats de calcul sont résumés dans le tableau suivant :

ELU:

Tableau III.6: Sollicitation à L'ELU

Travée	L(m)	Moments aux Appuis		Moments en Travée	Les effor	ts tranchants
		$M_{g}(KN.m)$ $M_{d}(KN.m)$		M _{tu} (KN.m)	T _g (KN)	T _d (KN)
AB	3.45	0	-8.47	5.62	8.28	- 13.40
ВС	3.30	-8.47	0	2.81	12.97	-7.68

<u>l'ELS:</u>

Tableau III.7 : Sollicitation à ELS

Travée	L(m)	Moments aux Appuis		Moment en Travée	Les effor	rts tranchants
		$M_{g}(KN.m)$ $M_{d}(KN.m)$		M _{tu} (KN.m)	T _g (KN)	T _d (KN)
AB	3.45	0	-6.168	4.08	6.2	-9.75
ВС	3.30	-6.168	0	2.04	-9.44	- 5.70

Diagramme de moment en (KN.m) et de l'effort tranchant en (KN)

Pour faciliter le calcul on a essayé de calculer les moments et les efforts tranchant on utilisant une deuxième méthode par la modélisation des poutrelles en béton armé par robot dans ce qui suit on donne les diagrammes des moments et des efforts tranchants des différents types pour étages courant et terrasse.

Type 2: poutrelle sur 8 appuis à 7 travée



ELU:

Tableaux III.8: sollicitation à l'ELU

Travée	L(m)	q _u (KN.m)	M _g (KN.m)	M _d (KN.m)	M _{tu} (KN.m)	T _g (KN)	$T_d(KN)$
AB	3.45	6.31	0	-7.73	5.92	13.12	-8.64
BC	3.30	6.31	- 7.73	-5.80	2.17	11.18	-9.24
CD	3.30	6.31	-5.80	-5.84	3.07	10.22	- 10.61
DE	3.30	6.31	- 5.84	-5.80	2.77	10.42	- 10.40
EF	3.30	6.31	- 5.80	-5.80	3.03	10.55	-10.27
FG	3.30	6.31	-5.80	-7.26	2.32	9.83	-11.00
GH	3.30	6.31	-7.26	0	5.33	12.61	-8.21

ELS:

Tableau III.9 : sollicitation à ELS

Travée	L(m)	q _u (KN.m)	M _g (KN.m)	M _d (KN.m)	M _{tu} (KN.m)	$T_g(KN)$	$T_d(KN)$
A-B	3.45	4.59	0	- 5.58	4.28	9.48	-6.25
B-C	3.30	4.59	-5.58	-4.19	1.57	8.08	
C-D	3.30	4.59	- 4.19	-4.22	2.22	7.38	6.97
D-E	3.30	4.59	-4.22	-4.19	2.00	7.53	7.68
E-F	3.30	4.59	-4.19	-4.19	2.19	7.63	7.54
F-G	3.30	4.59	-4.19	-5.25	1.68	7.10	7.49
G-H	3.30	4.59	-5.25	0	3.85	9.11	<u>7.95</u>

On utilise la méthode forfaitaire avec logiciel ROBOT

ELU

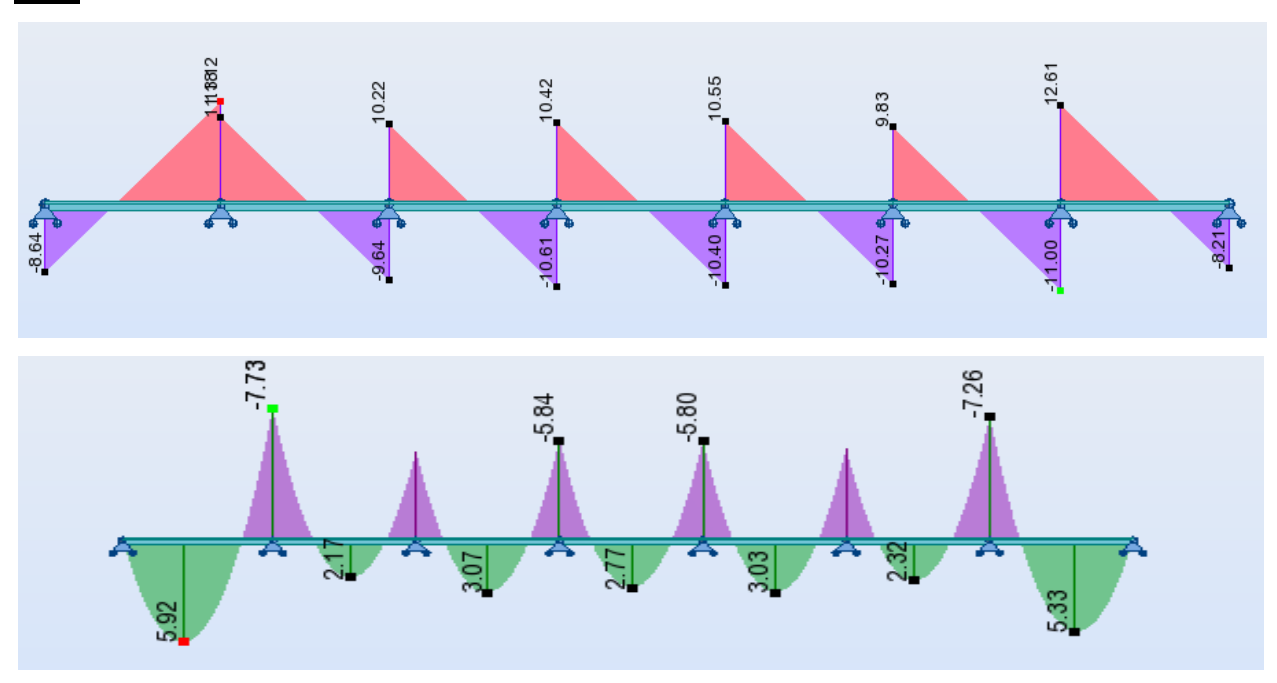


Figure III.10: Diagramme des moment et des efforts tranchant type 2 à ELU

ELS:

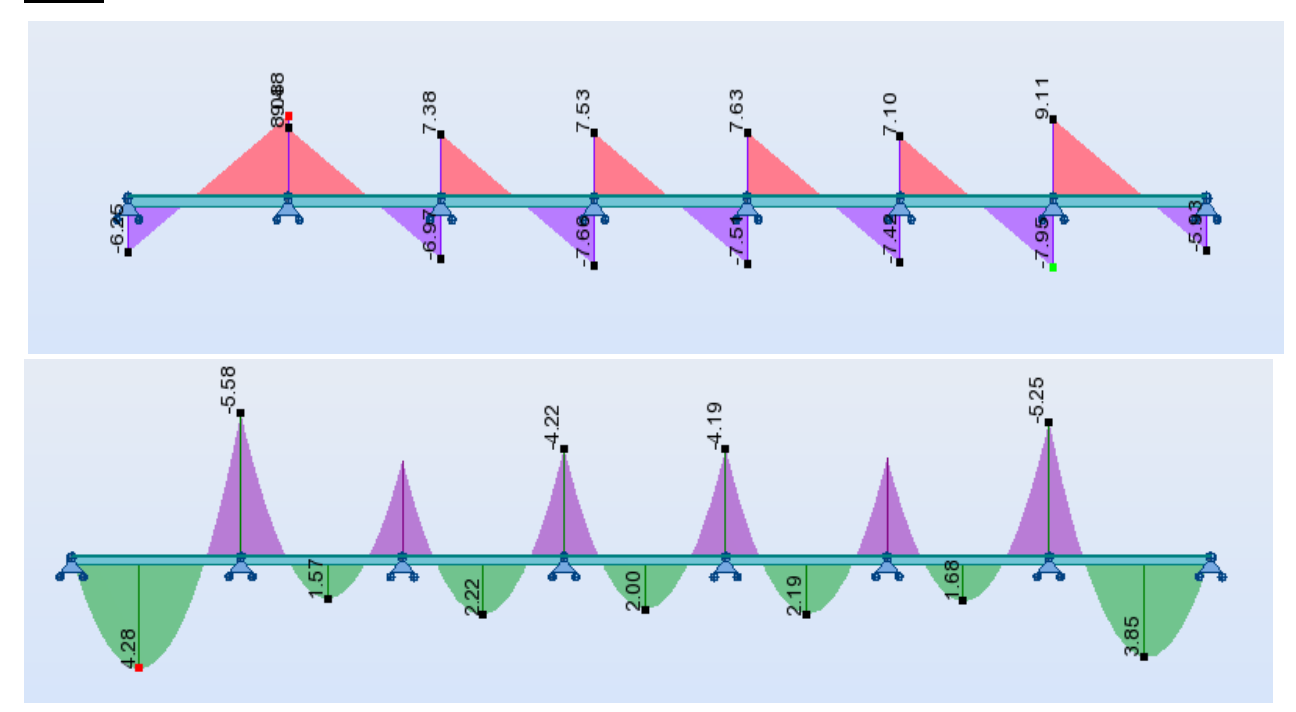


Figure III.11: Diagramme des moments et des effort tranchant type 2 à ELS

Type 3 : poutrelle à 5 appuis et 4 travée

ELU



Tableau III.10: Sollicitation à ELU

Travée	L(m)	q _u (KN.m)	M _g (KN.m)	M _d (KN.m)	M _{tu} (KN.m)	T _g (KN)	T _d (KN)
AB	3.30	6.31	0	-7.36	5.30	8.18	-12.64
BC	3.30	6.31	- 7.36	-7.36	2.49	11.16	-9.67
CD	3.30	6.31	-7.36	-7 .36	2.49	9.67	- 11.16
DE	3.30	6.31	- 7.36	0	5.30	12.64	- 8.18

ELS:

Tableau III. 11: Sollicitation à ELS

Travée	L(m)	q _u (KN.m)	M _g (KN.m)	M _d (KN.m)	M _{tu} (KN.m)	T _g (KN)	$T_d(KN)$
A-B	3.45	4.59	0	- 5.32	3.83	5.91	-9.14
В-С	3.30	4.59	-5.32	-5.32	1.80	8.06	-6.90

C-D	3.30	4.59	- 5.32	-5.32	1.80	6.90	-8.06
D-E	3.30	4.59	-5.32	0	3.83	9.14	-5.91

ELU:

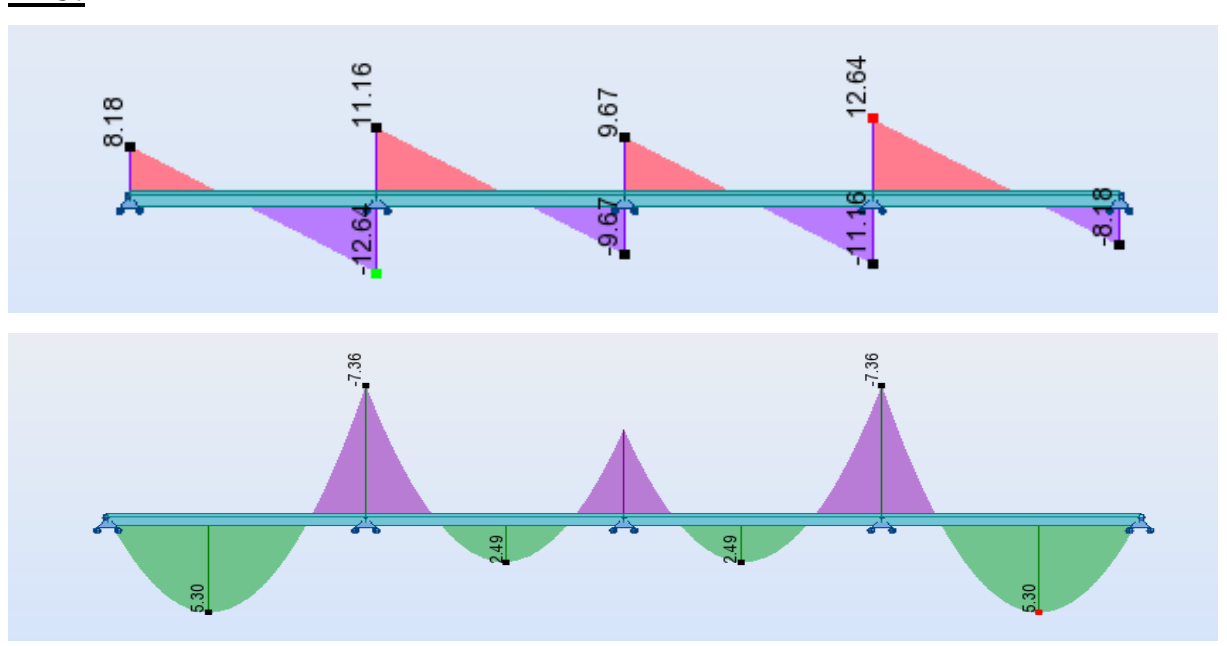


Figure III.12 : Diagramme des moment et effort tranchant type 3 à ELU

ELS:

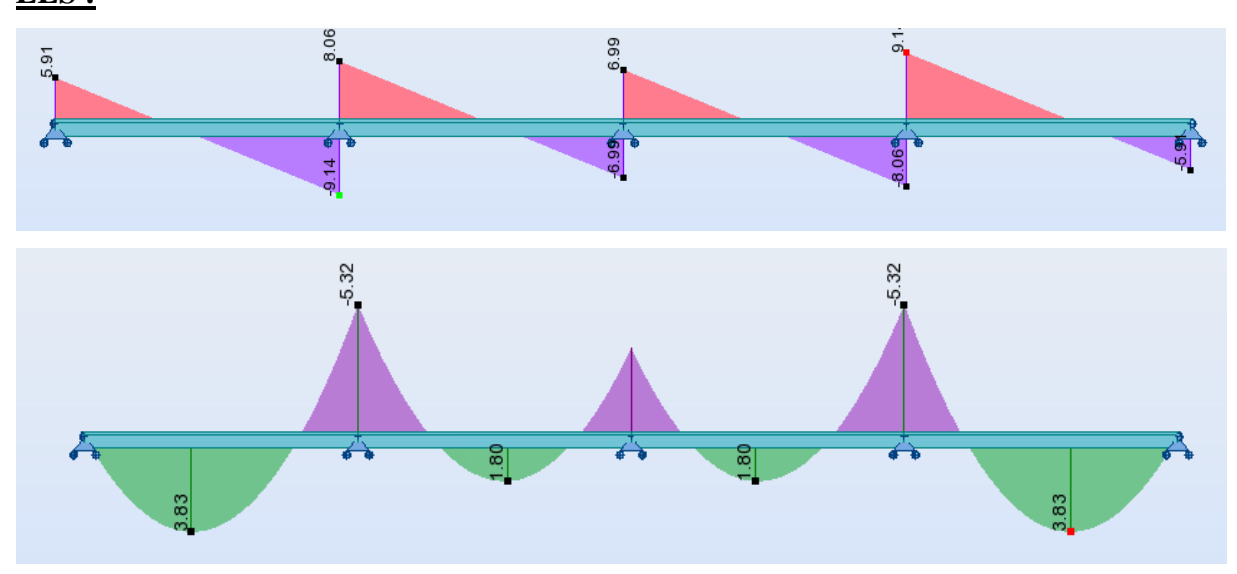


Figure III. 13: Diagramme des moment et effort tranchant type 3 à ELS

Type 4 : poutrelle à 4 appuis et 3 travée



ELU:

Tableau III.12 :Sollicitation à ELU

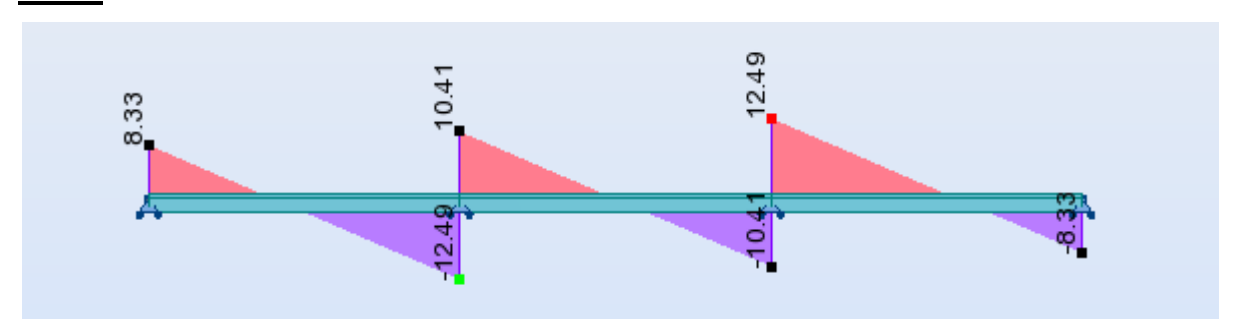
Travée	L(m)	q _u (KN.m)	M _g (KN.m)	M _d (KN.m)	M _{tu} (KN.m)	T _g (KN)	T _d (KN)
AB	3.30	6.31	0	-6.87	5.50	8.33	-12.49
BC	3.30	6.31	- 6.87	-6.87	1.72	10.41	-10.41
CD	3.30	6.31	-6.87	0	5.50	12.49	- 8.33

ELS:

Tableau III .13:**Sollicitation à ELS**

Travée	L(m)	q _u (KN.m)	$\begin{array}{c} M_g(KN,\\ m) \end{array}$	M _d (KN. m)	M _{tu} (KN.m)	$T_{g}(KN)$	T _d (KN)
A-B	3.45	4.59	0	- 4.97	3.97	6.02	-9.03
B-C	3.30	4.59	-4.97	-4.97	1.24	7.52	-7.52
C-D	3.30	4.59	- 4.97	0	3.97	9.03	-6.02

ELU:



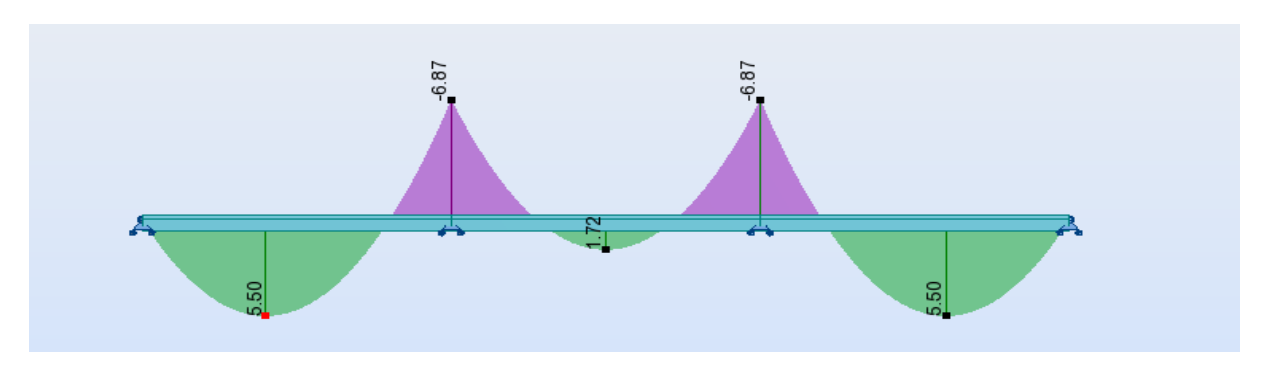


Figure III.14: Diagramme des moment et effort tranchant type 4 à ELU

ELS:

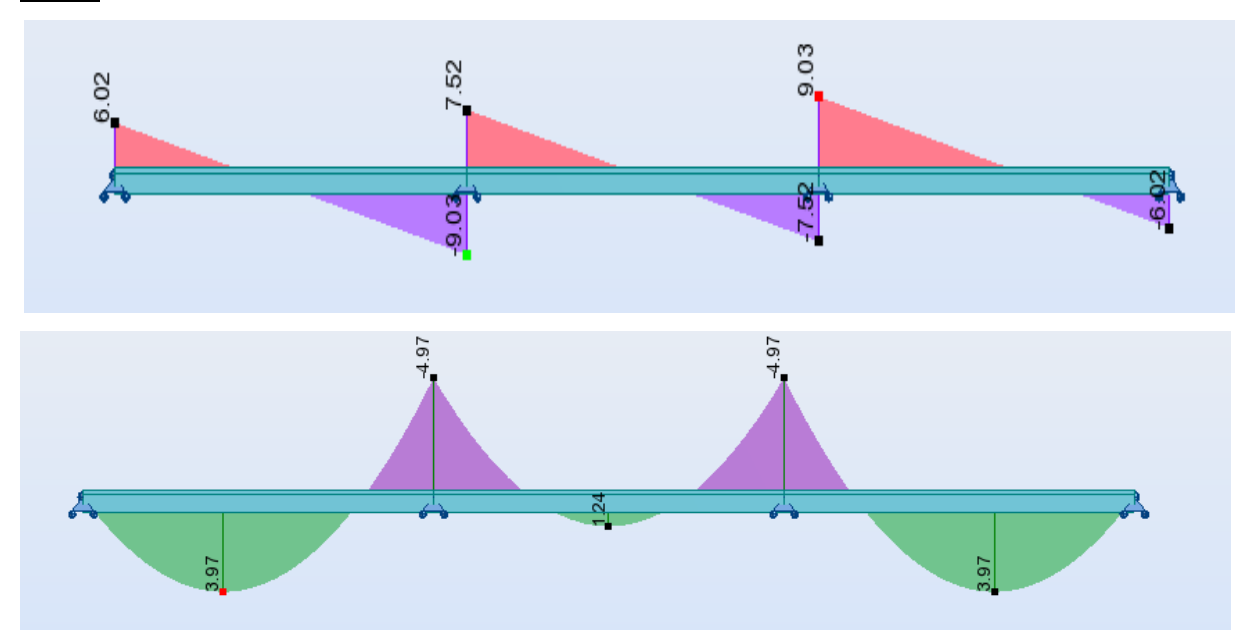


Figure III.15: Diagramme des moment et effort tranchant type 4 à ELS

III.6.4.8 Ferraillage des poutrelles étage courant:

Les armatures seront calculées sous les sollicitations les plus défavorables et le calcul est conduit pour une section en Té soumise à la flexion simple.

	$M_{0 \; \mathrm{max}}$	$M_{t max}$	T_{max}
ELU	7.73	5.92	13.12
ELS	5.58	4.28	9.48

Tableau III.14 : les sollicitations les plus défavorables

a) ELU:

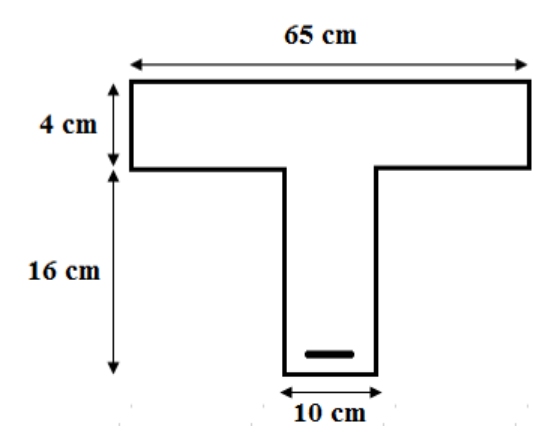


Figure III.16: Coupe d'une poutrelle.

Armature longitudinale

$$b=65~\text{cm}, b_0=10~\text{cm}, h=20~\text{cm}, h_0=4~\text{cm}, d=18~\text{cm}, c=2~\text{cm}$$

$$\delta_s=347.8\text{MPa}, f_{bu}=14.17\text{MPa}$$

M_{tab} : Le moment fléchissant équilibré par la table de compression.

 $Si: M_{tab} \le M_t^{max}$ la zone comprimée se trouve dans la nervure et la section des calcule sera une section en T.

Si : $M_{tab} > M_t^{max}$ la zone comprimée se trouve dans la table de compression et la section en T sera calculé comme une section rectangulaire de dimension (b*h).

> En travée:

Calcul du moment résistant de la section en T :

$$M_0 = b. h_0. \left(d - \frac{h_0}{2}\right). f_{bu} = 650 \times 40 \times \left(180 - \frac{40}{2}\right) \times 14.17 = 58.94 \text{ KN. m.}$$

 $M_t^{max} = 5.92 \text{ KN. m} < M_0 = 58.94 \text{KN. m}$

Par conséquent, seule une partie de la table est comprimée et la section en T sera calculée comme une section rectangulaire de largeur b=65 cm et de hauteur h=20 cm.

$$\begin{split} \mu &= \frac{M_t}{b.\,d^2.\,f_{bu}} = \, \frac{5.92 \times 10^6}{650 \times 180^2 \times 14.17} = 0.0198 \\ \mu &= 0.0198 < \mu_l = 0.392 \end{split}$$

Donc les armatures comprimées ne sont pas nécessaires (A' = 0).

$$\mu = 0.0198 \rightarrow \begin{cases} \alpha = 1.25 \left(1 - \sqrt{1 - 2\mu}\right) = 0.025 \\ Z = d(1 - 0.4\alpha) = 17.85 cm \end{cases}$$

$$A_t = \frac{M_t}{Z.\delta_s} = \frac{5.92 \times 10^6}{178.5 \times 347.8} = 95.357 \text{ mm}^2 = 0.953 \text{ cm}^2.$$

Donc : $A_T = 0.953 \text{ cm}^2$.

Condition de non fragilité

$$A_{min} \ge 0.23 \text{ b d} \frac{f_{t28}}{f_e}$$

$$f_{t28} = 0.6 + 0.06 f_{c28} = 2.1 \text{ MPa}.$$

$$A_{\min} \ge 0.23 \times 65 \times 18 \times \frac{2.1}{400} = 1.41 \text{ cm}^2$$

$$A_{min} = 1.41 cm^2$$

Donc
$$A_u$$
= max ($A_{cal} = 0.95$; $A_{min} = 1.41 \text{ cm}^2$)

$$A_u = 1.41 cm^2$$

On adopte : 3 HA10 soit $A_s = 2.36 \text{cm}^2$

Tableau III.15: Tableau de ferraillage à l'ELU.

M_a (KN.m)	μ	μ_{l}	α	Z(mm)	A_{cal}	A_{\min} (cm ²)	A _{adopt} (cm ²)
5.92	0.0198	0.392	0.025	178.5	0.95	1.41	3HA10=2.36

➤ En appui :

Le moment sur appui est négatif, donc le béton de la dalle se trouve dans la zone tendue, alors nous considérons une section rectangulaire $(b_0 \times h)$

Appui intermédiaire:

$$M_{au}^{max} = -7.73 \text{ KN. m}$$

$$\mu_{bu} = \frac{M_{au}^{max}}{bd^2\mu_{bu}} = \frac{7.73 \times 10^6}{100 \times 180^2 \times 14.17} = 0.168$$

$$\mu_{bu} = 0.168 < \mu_l = 0.392$$

$$= 0.231 \rightarrow \begin{cases} \alpha = 1.25 \left(1 - \sqrt{1 - 2\mu}\right) = 0.2314 \\ Z = d(1 - 0.4\alpha) = 163.3 \text{ mm} = 16.33 \text{cm} \end{cases}$$

$$A_{a} = \frac{M_{au}^{max}}{Z.\delta_{s}} = \frac{7.73 \times 10^{6}}{163.3 \times 347.8} = 136.10 \text{ mm}^{2} = 1.36 \text{ cm}^{2}.$$

Condition non fragilité:

$$A_{\min} \ge 0.23 \times 10 \times 18 \times \frac{2.1}{400} = 0.22 \text{cm}^2$$

Donc
$$A_s = \max (A_{cal} = 1.36; A_{min} = 0.22)$$

$$A_s = 1.36 \text{ cm}^2$$

On adopte **2HA10** soit $A_s = 1.57 \text{ cm}^2$

 $M_a(N.m)$ Z(mm Amin $\overline{\mathrm{A}}_{\mathrm{adopt}}$ A(cm² α μ_l (cm^2) (cm²) 2HA10 = 9.47 0.16 0.3 0.2 163.3 1.3 0.2 2.26 92 2 8 34

Tableau III.16: Tableau de ferraillage à l'ELU

❖ Vérification de l'effort tranchant:

$$\tau_{\rm u} = \frac{T_{\rm u}}{b_0 \times d} = \frac{13.12 \times 10^3}{180 \times 100} = 0.724 \text{MPa}$$

$$\overline{\tau}_u = 3.3 \text{ MPa}$$

$$\tau_u < \overset{-}{\tau}_u$$

• Armature de répartition:

$$\phi_t \le \min \left(\frac{h}{35}, \frac{b_0}{10}, \phi_t \right)$$

$$\phi_t = 6mm$$

Travée:

$$A_r = \frac{A_{max}}{4} = \frac{2.36}{4} = 0.59 \text{ cm}^2$$

Appui:

$$A_r = \frac{A_{max}}{A} = \frac{2.26}{A} = 0.56 \text{ cm}^2$$

On adopte: **2HA6.= 0.57cm**²

Espacement entre cadre (S_t) :

L'espacement des armatures transversales S_t est définit par le minimum entre les trois conditions qui suivent:

$$\begin{cases} S_{t1} \leq min\{0.9h; 40cm\} \\ S_{t2} \leq \frac{A_u \times f_e}{0.4b_0} & CBA \ 93 \end{cases} \\ S_{t3} \leq \frac{0.8 \times A_u \times f_e}{b_0(\tau_u - 0.3f_{t28})} \end{cases} \\ \begin{cases} S_{t3} \leq \frac{0.8 \times A_u \times f_e}{b_0(\tau_u - 0.3f_{t28})} \end{cases} \\ S_{t2} \leq \frac{0.57 \times 400}{0.4 \times 10} = 57 \ cm \\ S_{t3} \leq \frac{0.8 \times 0.57 \times 400}{10(0.82 - 0.3 \times 2.1)} = 96 cm \end{cases} \\ S_{t} = min \{S_{t1}; S_{t2}; S_{t3}\} = 16.2 \end{cases}$$

Soit : $S_t = 15$ cm

Vérification de la bielle:

$$\begin{cases} \sigma_{bc} \leq \frac{0.8 \, f_{c28}}{\gamma_b} \\ \sigma_{bc} = \frac{2 \, T_u}{ab_0} \end{cases} \quad \text{Avec : a = min } \{0.9d \, ; (40 - 4) \text{cm}\} = 16.2 \, \text{cm}$$

Ce qui donne : $T_u \le 0.267 \times$ a \times b $_0 \times$ f $_{c28} = (0.267 \times$ $162 \times$ $100 \times 25) \times$ $10^{-3} = 108.14$

KN

 $T_u = 14.85 \text{ KN} \le 108.14 \text{ KN}.....\text{vérifier}.$

Pas de risque d'écrasement du béton au niveau de l'appui.

Vérification de la jonction table-nervure:

On doit vérifier que :

$$\tau_{\mathrm{u}} = \frac{T_{\mathrm{u}} b_{\mathrm{1}}}{0.9 \, \mathrm{b} \, \mathrm{d} \, h_{\mathrm{0}}} \leq \bar{\tau_{\mathrm{u}}}$$

Avec:
$$b_1 = \frac{b - b_0}{2} = \frac{65 - 10}{2} = 27.5 \text{ cm}$$

$$\tau_u = \frac{(13.12 \times 10^3) \times 275}{0.9 \times 650 \times 180 \times 40} = 0.85 MPa$$

$$\tau_u = 0.85 \text{MPa} \le \overline{\tau_u} = 3.33 \text{ MPa}$$
vérifier.

Pas de risque de rupture à la jonction table nervure.

Vérification des contraintes à l'ELS:

➤ En travée :

$$M_{ts}^{max} = 4.28KN.m$$

$$\sigma_{\rm bc} \leq \overline{\sigma_{\rm bc}}$$

$$\sigma_{bc} = \frac{M_{ser} \times y}{I}$$

$$\overline{\sigma_{bc}} = 15 \text{ MPa}$$

Position de l'axe neutre:

$$\eta = 15$$
 $A'_{s} = 0$ $A_{t} = 2.36 \text{ cm}^{2}$

$$H = \frac{bh_0^2}{2} - 15A_s(d - h_0) = \frac{65 \times 4^2}{2} - 15 \times 1.57 \times (18 - 4) = 24.4 \text{cm}^3$$

 $H \ge 0$ l'axe neutre passe par la table; d'où calcul d'une section rectangulaire.

Calcul y:

$$\frac{1}{2}$$
 b y²+ η (d-y)A'_s - η (d-y)A_s= 0

y = 3.91 cm

Moment d'inertie:

$$I = \frac{1}{3}by^3 + \eta(d-y)^2A_s + \eta(d-y)A_s$$

I = 8323.04cm⁴

Donc:

$$\sigma_{bc} = \frac{M_{ser} \times y}{I} = \frac{4.28 \times 10^6 \times 39.1}{8323.04 \times 10^4} = 2.01 MPa$$

$$\sigma_{bc} = 2.01 MPa \le \overline{\sigma_{bc}} = 15 MPa \dots vérifier.$$

➤ Appui:

$$M_{ts}^{max} = 5.58KN.m$$

$$\sigma_{bc} \leq \overline{\sigma_{bc}}$$

$$\sigma_{bc} = \frac{M_{ser} \times y}{I}$$

$$\overline{\sigma_{bc}} = 15 \text{ MPa}$$

Position de l'axe neutre:

$$\eta = 15$$
 $A'_s = 0$ $A_s = 2.26 \text{ cm}^2$

$$A_s = 2.26 \text{ cm}^2$$

Calcul y:

$$\frac{1}{2} b y^2 + \eta(d-y) A_s^{'} - \eta(d-y) A_s = 0$$

$$y = 8.16 \text{ cm}$$

Moment d'inertie:

$$I = \frac{1}{3}by^3 + \eta(d-y)^2A_s + \eta(d-y)A_s$$

 $I = 5093.51 \text{ cm}^4$

Donc:

$$\sigma_{bc} = \frac{M_{ser} \times y}{I} = \frac{5.58 \times 10^6 \times 81.6}{5093.51 \times 10^4} = 8.93 MPa$$

$$\sigma_{bc} = 8.93 MPa \leq \overline{\sigma_{bc}} = 15 \ \text{MPa} \dots \dots \text{v\'erifie}.$$

Tableau **■.17:** Vérification des contraintes à l'ELS

	M _{ser} (KN.m)	A _s (cm ²)	Y (cm)	I (cm ⁴)	δ_{bc}	$\delta_{bc} \leq \delta_{bc}$
Travée	4.28	2.36	3.91	8323.04	2.01	CV
Appuis	5.58	2.26	8.16	5093.51	8.93	CV

Vérification de la flèche: BAEL 91

$$\begin{cases} \frac{h}{l} \ge \frac{1}{16} \\ \frac{h}{l} \ge \frac{M_t}{10 M_0} \Rightarrow \\ \frac{A_s}{bd} \le \frac{4.2}{f_e} \end{cases} \begin{cases} \frac{0.20}{3.45} = 0.057 \ge \frac{1}{16} = 0.0625 \\ \frac{0.2}{3.45} = 0.057 \ge \frac{5.92}{10 \times 13.12} = 0.045 \text{ c. v.} \\ \frac{2.36}{10 \times 18} = 0.013 \le \frac{4.2}{400} = 0.0105 \text{ c. n. v.} \end{cases}$$

Comme les conditions (1) et (3) ne sont pas vérifiées, donc on doit vérifier la condition:

Evaluation des flèches (BAEL91):

La part de la flèche totale f_t qui doit être comparée aux limites admissibles a pour valeur:

$$f \le \overline{f} = \frac{1}{500}$$

Il faut avoir:

•
$$\frac{1}{500}$$
L \leq 5m.

Donc:
$$f_{adm} = \frac{l}{500} = \frac{3450}{500} = 6.9 \text{mm}$$

Calcule le moment d'inertie de la section homogène I₀:

$$I_0 = \frac{bh^3}{12} + bh \left[\frac{h}{2} - V \right]^2 + 15 A(d - V)^2$$

$$I_0 = 72246.09 \text{ cm}$$

Déformation instantanée :

$$\lambda = \lambda_{i} = \frac{0.05 f_{t28}}{(2 + 3 \frac{b_{0}}{b})\rho}$$

$$\rho = \frac{A}{b_0 \times d} = 0.013$$

$$E_i = 11000\sqrt[3]{f_{c28}} = 32164,2 \text{ MPa}$$

$$\mu = 1 - (\frac{1,75 \text{ f}_{t28}}{4 \text{ p+ f}_{t28}}) \Rightarrow \mu = 0.818$$

$$I_{\rm f} = \frac{1.1 I_0}{1 + \lambda \mu}$$

$$I_{fi} = \frac{1.1 I_0}{1 + \lambda_{i} II} = 21571.851 \text{ cm}';$$

$$f_i = \frac{M L^2}{10*E_i*I_{fi}} = 1.015 \text{ cm} < f = \frac{1}{500} = 6.9\text{cm}...\text{cv}$$

Type des planchers Terrasse:

Type 1 : poutrelle sur 8 appuis et 7 travée



ELU:

Tableau III.18: Sollicitation à L'ELU

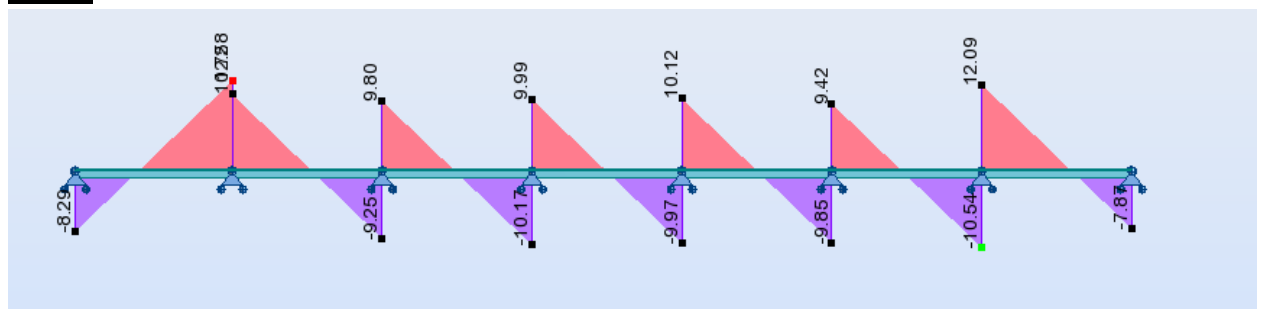
Travée	L(m)	q _u (KN.m)	M _g (KN.m)	M _d (KN.m)	M _{tu} (KN.m)	T _g (KN)	T _d (KN)
AB	3.45	6.05	0	-7.41	5.68	12.58	-8.29
BC	3.30	6.05	-7.41	-5.56	2.08	10.72	-9.25
CD	3.30	6.05	- 5.56	-5.60	2.94	9.80	-10.17
DE	3.30	6.05	-5.60	-5.56	2.66	9.99	-9.97
EF	3.30	6.05	-5.56	-6.96	2.90	10.12	-9.85
FG	3.30	6.05	-6.96	-6.96	2.23	9.42	10.54
GH	3.30	6.05	-6.96	0	5.11	12.09	7.87

ELS:

Tableau III.19: Sollicitation à ELS

Travée	L(m)	q _u (KN.m)	Mg (KN.m)	M _d (KN.m)	M _{tu} (KN.m)	$T_{g}(KN)$	T _d (KN)
AB	3.45	4.41	0	- 5.40	4.14	9.17	-6.04
BC	3.30	4.41	-5.40	-4.05	1.52	7.81	-6.74
CD	3.30	4.41	- 4.05	-4.08	2.15	7.14	-7.41
DE	3.30	4.41	-4.08	-4.05	1.94	7.29	-7.27
EF	3.30	4.41	-4.05	-4.05	2.12	7.38	-7.18
FG	3.30	4.41	-4.05	-5.07	1.62	6.87	-7.69
GH	3.30	4.41	-5.07	0	3.72	8.81	<u>-5.74</u>

ELU:



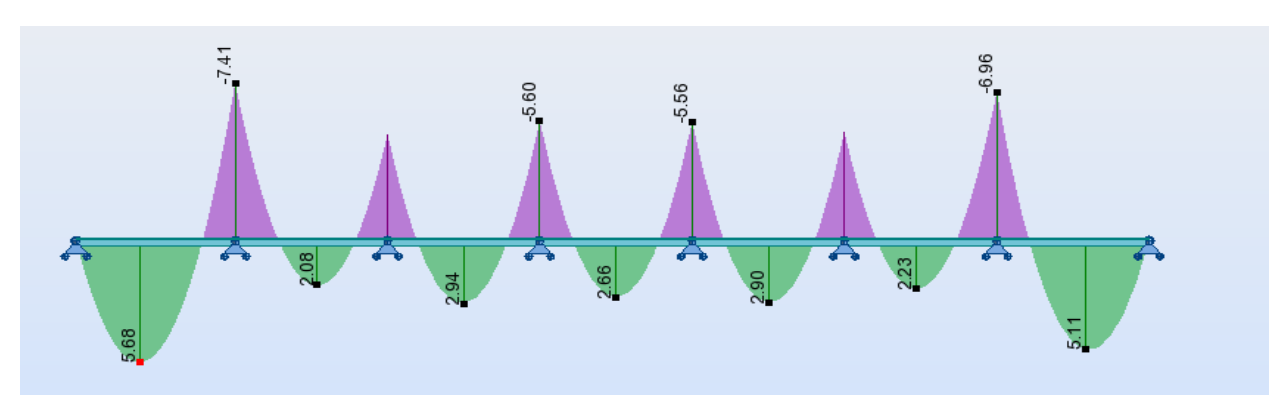


Figure III.17 : Diagramme des moments et effort tranchant type 1 à ELU

ELS:

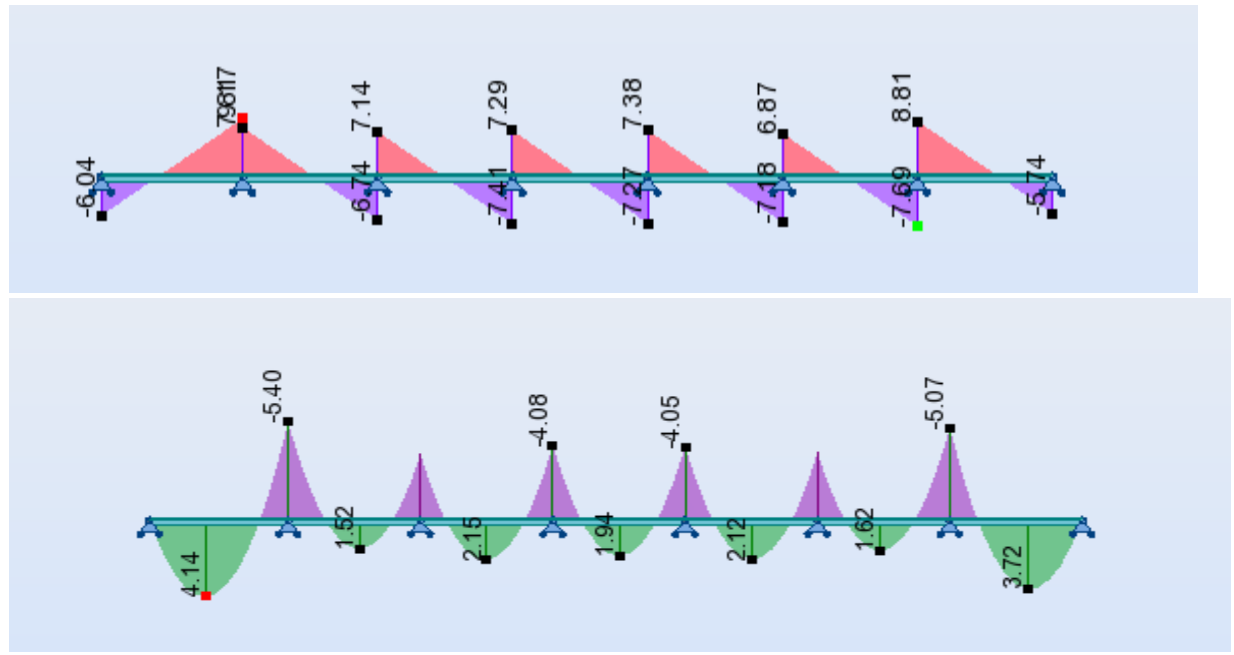


Figure III.18 :Diagramme des moment et effort tranchant type 2 à ELS Type 2 : poutrelle sur 4 appuis et 3 travée



Tableau III.20 :Sollicitation à L'ELU

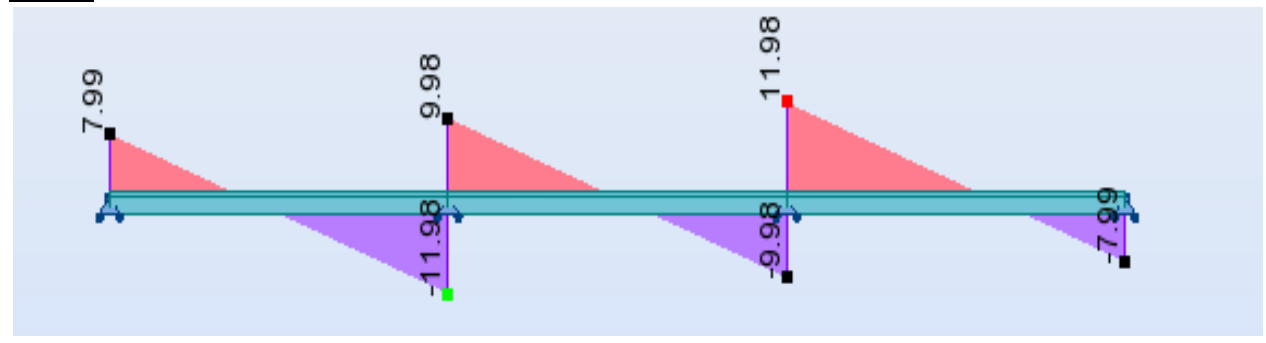
Travée	L(m)	q _u (KN.m)	M _g (KN.m)	M _d (KN.m)	M _{tu} (KN.m)	$T_{g}(KN)$	$T_d(KN)$
AB	3.30	6.05	0	-6.59	5.27	7.99	-11.98
BC	3.30	6.05	- 6.59	-6.59	1.65	9.98	-9.98
CD	3.30	6.05	-6.59	0	5.27	11.98	- 7.99

ELS:

Tableau III.21: Sollicitation à ELS

Travée	L(m)	q _u (KN.m)	$\begin{array}{c} M_g(KN,\\ m) \end{array}$	M _d (KN. m)	M _{tu} (KN.m)	$T_{g}(KN)$	T _d (KN)
A-B	3.30	4.41	0	- 4.80	3.84	5.82	-8.73
В-С	3.30	4.41	-4.80	-4.80	1.20	7.28	-7.28
C-D	3.30	4.41	- 4 .80	0	3.84	8.73	-5.82

ELU:



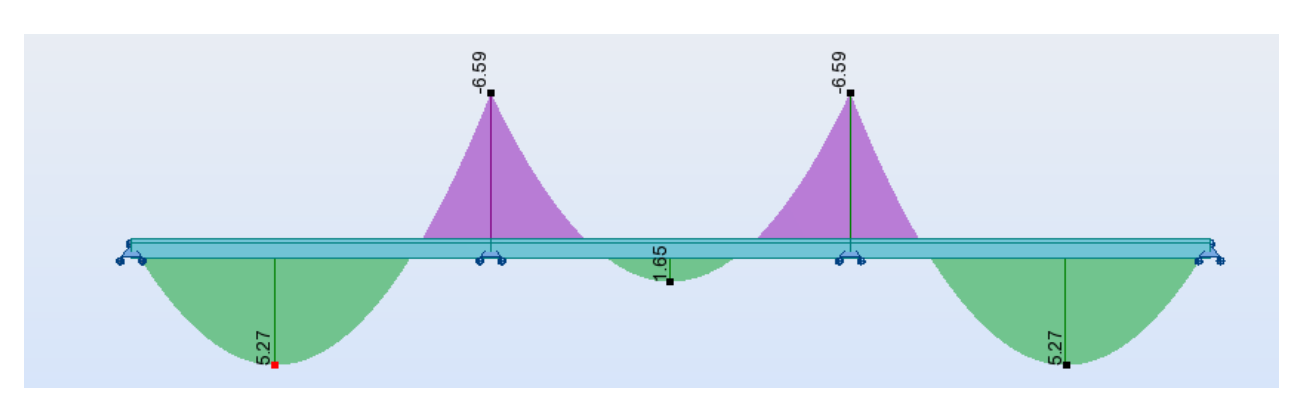


Figure III.19 : Diagramme des moments et effort tranchant type 2 à ELU

ELS:

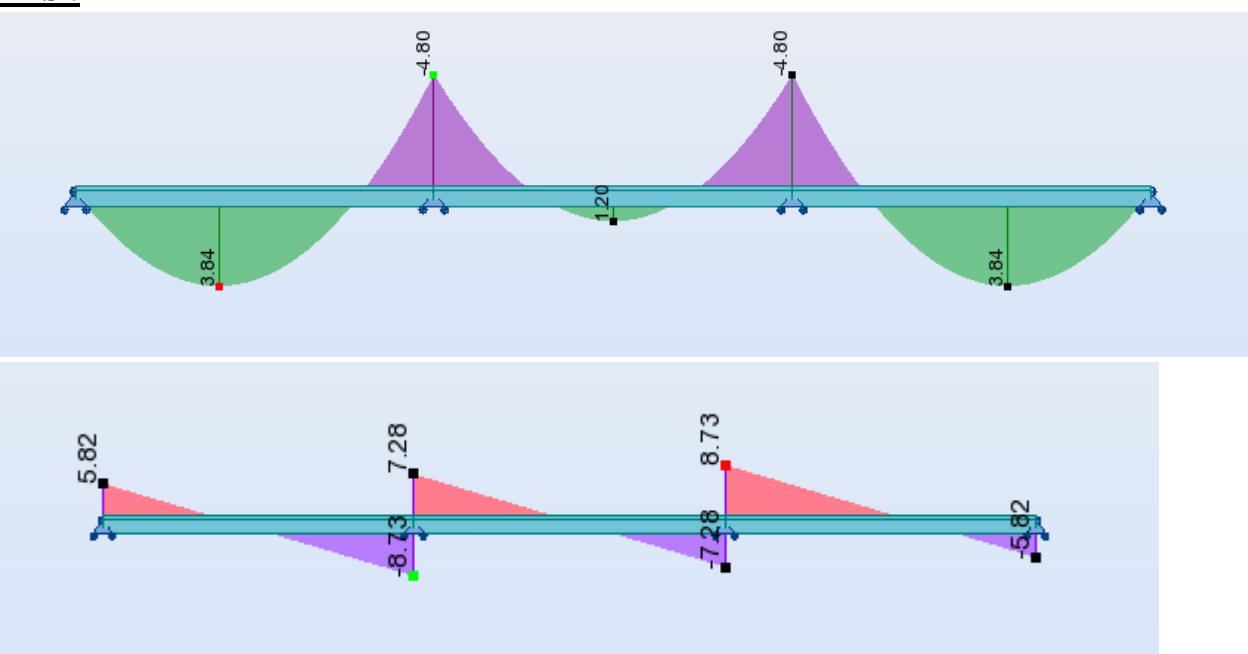


Figure III.20 : Diagrammes des moments et effort tranchant à ELS Les armatures seront calculées sous les sollicitations les plus défavorables et le calcul est conduit pour une section en Té soumise à la flexion simple.

Tableau III.22: Les sollicitation les plus défavorables

	$M_{0 \text{ max}}$	M _{t max}	T _{max}
ELU	7.73	5.92	13.12
ELS	5.58	4.28	9.48

b) ELU:

Armature longitudinale:

b = 65 cm, b
$$_0$$
 = 10 cm, h = 20 cm, h $_0$ = 4 cm, d = 18 cm, c = 2 cm δ_s = 347.8MPa, f $_{bu}$ = 14.17MPa

 $\ensuremath{M_{\text{tab}}}$: Le moment fléchissant équilibré par la table de compression.

 $Si: M_{tab} \le M_t^{max}$ la zone comprimée se trouve dans la nervure et la section des calcule sera une section en T.

Si : $M_{tab} > M_t^{max}$ la zone comprimée se trouve dans la table de compression et la section en T sera calculé comme une section rectangulaire de dimension (b*h).

> En travée:

Calcul du moment résistant de la section en T :

$$M_0 = b. h_0. \left(d - \frac{h_0}{2}\right). f_{bu} = 650 \times 40 \times \left(180 - \frac{40}{2}\right) \times 14.17 = 58.94 \text{ KN. m.}$$

$$M_t^{max} = 5.68 \text{ KN. m} < M_0 = 58.94 \text{KN. m}$$

Par conséquent, seule une partie de la table est comprimée et la section en T sera calculée comme une section rectangulaire de largeur b= 65 cm et de hauteur h = 20 cm.

$$\begin{split} \mu &= \frac{M_t}{b.\,d^2.\,f_{bu}} = \frac{5.68 \times 10^6}{650 \times 180^2 \times 14.17} = 0.0190 \\ \mu &= 0.0190 < \mu_l = 0.392 \end{split}$$

Donc les armatures comprimées ne sont pas nécessaires (A' = 0).

$$\mu = 0.0190 \rightarrow \begin{cases} \alpha = 1.25 \left(1 - \sqrt{1 - 2\mu}\right) = 0.023 \\ Z = d(1 - 0.4\alpha) = 17.83 cm \end{cases}$$

$$A_t = \frac{M_t}{Z.\delta_s} = \frac{5.68 \times 10^6}{178.3 \times 347.8} = 91.59 \text{ mm}^2 = 0.91 \text{ cm}^2.$$

Donc : $A_T = 0.91 \text{ cm}^2$.

Condition de non fragilité

$$A_{min} \ge 0.23 \text{ b d} \frac{f_{t28}}{f_e}$$

$$f_{t28} = 0.6 + 0.06 f_{c28} = 2.1 \text{ MPa}.$$

$$A_{\min} \ge 0.23 \times 65 \times 18 \times \frac{2.1}{400} = 1.41 \text{ cm}^2$$

$$A_{min} = 1.41 \text{cm}^2$$

Donc
$$A_u = max \; (A_{cal} = 0.91 \; ; \; A_{min} \, = 1.41 \; cm^2)$$

$$A_u = 1.41 \text{cm}^2$$

On adopte : 3 HA10 soit $A_s = 2.36 \text{cm}^2$

Tableau III.23: Tableau de ferraillage à l'ELU.

M_a (KN.m)	μ	μ_{l}	α	Z(mm)	A_{cal}	A_{\min} (cm ²)	A _{adopt} (cm ²)
5.92	0.0190	0.392	0.023	178.3	0.91	1.41	3HA10=2.36

➤ En appui :

Le moment sur appui est négatif, donc le béton de la dalle se trouve dans la zone tendue, alors nous considérons une section rectangulaire ($b_0 \times h$)

Appui intermédiaire:

$$M_{au}^{max} = -7.41 \text{ KN. m}$$

$$\mu_{bu} = \frac{M_{au}^{max}}{bd^2\mu_{bu}} = \frac{7.43 \times 10^6}{100 \times 180^2 \times 14.17} = 0.161$$

$$\mu_{\rm bu} = 0.161 < \mu_{\rm l} = 0.392$$

$$= 0.161 \rightarrow \begin{cases} \alpha = 1.25 (1 - \sqrt{1 - 2\mu}) = 0.220 \\ Z = d(1 - 0.4\alpha) = 164.4 \text{ mm} = 16.41 \text{cm} \end{cases}$$

$$A_a = \frac{M_{au}^{max}}{Z.\,\delta_s} = \,\, \frac{7.41\times 10^6}{164.4\times 347.8} = 129.59 \; mm^2 = 1.29 \; cm^2.$$

Condition non fragilité:

$$A_{\min} \ge 0.23 \times 10 \times 18 \times \frac{2.1}{400} = 0.22 \text{cm}^2$$

 $A_{\min} = 0.22 \text{ cm}^2$

Donc
$$A_s = max (A_{cal} = 1.29; A_{min} = 0.22)$$

$$A_s = 1.29 \text{ cm}^2$$

On adopte **2HA12** soit $A_s = 2.26 \text{ cm}^2$

Tableau III.24: Tableau de ferraillage à l'ELU

Ma(N.m	μ	μ_l	α	Z(mm	A(cm ²	A_{\min}	A_{adopt}
)))	(cm^2)	(cm ²)
7.41	0.16	0.3	0.2	164.4	1.2	0.	2HA12 =
	1	92	20		9	2	2.26
						2	

Vérification de l'effort tranchant:

$$\tau_{\rm u} = \frac{T_{\rm u}}{b_0 \times d} = \frac{12.58 \times 10^3}{180 \times 100} = 0.69 \text{MPa}$$

$$\overline{\tau}_{u}$$
= 3.3 MPa

$$\tau_u {<} \ \, \bar{\tau}_u$$

* Armature de répartition:

$$\phi_t \le \min \left(\frac{h}{35}, \frac{b_0}{10}, \phi_t \right)$$

$$\phi_t = 6mm$$

Travée:

$$A_r = \frac{A_{max}}{4} = \frac{2.36}{4} = 0.59 \text{ cm}^2$$

Appui:

$$A_r = \frac{A_{max}}{4} = \frac{2.26}{4} = 0.56 \text{ cm}^2$$

On adopte: **2HA6.= 0.57cm**²

Espacement entre cadre (S_t) :

L'espacement des armatures transversales St est définit par le minimum entre les trois conditions qui suivent:

$$\begin{cases} S_{t1} \leq \min\{0.9h; 40cm\} \\ S_{t2} \leq \frac{A_u \times f_e}{0.4b_0} \\ S_{t3} \leq \frac{0.8 \times A_u \times f_e}{b_0(\tau_u - 0.3f_{t28})} \end{cases}$$

$$\begin{cases} S_{t1} \leq \min\{0.9 \times 18 = 16.2; 40cm\} \\ 0.57 \times 400 \end{cases}$$

$$\begin{cases} S_{t1} \le \min\{0.9 \times 18 = 16.2; 40cm\} \\ S_{t2} \le \frac{0.57 \times 400}{0.4 \times 10} = 57 \text{ cm} \\ S_{t3} \le \frac{0.8 \times 0.57 \times 400}{10(0.82 - 0.3 \times 2.1)} = 96cm \end{cases}$$

$$S_t = \min \{S_{t1}; S_{t2}; S_{t3}\} = 16.2$$

Soit : $S_t = 15$ cm

Vérification de la bielle:

$$\begin{cases} \sigma_{bc} \le \frac{0.8 \, f_{c28}}{\gamma_b} \\ \sigma_{bc} \ = \frac{2 \, T_u}{a b_0} \end{cases} \text{Avec} : a = \min \{ 0.9d \; ; (40 - 4) \text{cm} \} = 16.2 \text{ cm}$$

Ce qui donne : $T_u \le 0.267 \times$ a \times b₀ \times f_{c28} = $(0.267 \times 162 \times 100 \times 25) \times 10^{-3}$ = 108.14 KN $T_u = 12.58$ KN ≤ 108.14 KN.....vérifier.

Pas de risque d'écrasement du béton au niveau de l'appui.

Vérification de la jonction table-nervure :

On doit vérifier que:

$$\tau_{\mathbf{u}} = \frac{T_{\mathbf{u}} \mathbf{b}_{1}}{0.9 \, \mathbf{b} \, \mathbf{d} \, \mathbf{h}_{0}} \le \overline{\tau_{\mathbf{u}}}$$

Avec:
$$b_1 = \frac{b - b_0}{2} = \frac{65 - 10}{2} = 27.5 \text{ cm}$$

$$\tau_u = \frac{(12.58 \times 10^3) \times 275}{0.9 \times 650 \times 180 \times 40} = 0.82 MPa$$

$$\tau_u = 0.82 MPa \le \overline{\tau_u} = 3.33 \ MPa$$
vérifier.

Pas de risque de rupture à la jonction table nervure.

Vérification des contraintes à l'ELS:

➤ En travée :

 $M_{ts}^{max} = 4.14KN.m$

$$\sigma_{bc} \leq \overline{\sigma_{bc}}$$

$$\sigma_{bc} = \frac{M_{ser} \times y}{I}$$

$$\overline{\sigma_{bc}} = 15 \text{ MPa}$$

Position de l'axe neutre :

$$\eta = 15$$
 $A'_{s} = 0$ $A_{t} = 2.36 \text{ cm}^{2}$

$$H = \frac{bh_0^2}{2} - 15A_s(d - h_0) = \frac{65 \times 4^2}{2} - 15 \times 1.57 \times (18 - 4) = 24.4 \text{cm}^3$$

 $H \ge 0$ l'axe neutre passe par la table; d'où calcul d'une section rectangulaire.

Calcul y:

$$\frac{1}{2}$$
 b y²+ η (d-y)A'_s - η (d-y)A_s= 0

$$y = 3.91 \text{ cm}$$

Moment d'inertie:

$$I = \frac{1}{3}by^{3} + \eta(d - y)^{2}A_{s} + \eta(d - y)A_{s}$$

I = 8323.04cm⁴

Donc:

$$\sigma_{bc} = \frac{M_{ser} \times y}{I} = \frac{4.40 \times 10^6 \times 39.1}{8323.04 \times 10^4} = 2.06 MPa$$

 $\sigma_{bc} = 2.06 \text{ MPa} \leq \overline{\sigma_{bc}} = 15 \text{ MPa} \dots \dots \text{v\'erifier}.$

> Appui:

$$M_{ts}^{max} = -5.40KN.m$$

$$\sigma_{bc} \leq \overline{\sigma_{bc}}$$

$$\sigma_{bc} = \frac{M_{ser} \times y}{I}$$

$$\overline{\sigma_{bc}} = 15 \text{ MPa}$$

Position de l'axe neutre :

$$\eta = 15$$
 $A'_s = 0$ $A_s = 2.26 \text{ cm}^2$

Calcul y:

$$\frac{1}{2}$$
 b y²+ η (d-y)A'_s - η (d-y)A_s= 0

y = 8.16 cm

Moment d'inertie:

$$I = \frac{1}{3}by^3 + \eta(d-y)^2A_s + \eta(d-y)A_s$$

 $I = 5093.51 \text{ cm}^4$

Donc:

$$\sigma_{bc} = \frac{M_{ser} \times y}{I} = \frac{5.40 \times 10^6 \times 81.6}{5093.51 \times 10^4} = 8.65 MPa$$

 $\sigma_{bc} = 8.65 MPa {\leq \overline{\sigma_{bc}}} = 15 \ Mpa \ldots \ldots v\acute{e}rifier.$

Tableau III.25: Vérification des contraintes à l'ELS

	M _{ser} (KN.m)	A _s (cm ²)	Y (cm)	I (cm ⁴)	δ_{bc}	$\delta_{bc} \leq \delta_{bc}$
Travée	4.14	2.36	3.91	8323.04	2.06	CV
Appuis	-5.40	2.26	8.16	5093.51	8.65	CV

Vérification de la flèche : BAEL 91

$$\begin{cases} \frac{h}{l} \ge \frac{1}{16} \\ \frac{h}{l} \ge \frac{M_t}{10 \text{ M}_0} \Rightarrow \begin{cases} \frac{0.20}{3.45} = 0.057 \ge \frac{1}{16} = 0.0625 & \text{c. n. v} \\ \frac{0.2}{3.45} = 0.057 \ge \frac{5.92}{10 \times 13.12} = 0.045 & \text{c. v} \\ \frac{A_s}{bd} \le \frac{4.2}{f_e} & \frac{2.36}{10 \times 18} = 0.013 \le \frac{4.2}{400} = 0.0105 & \text{c. n. v} \end{cases}$$

Comme les conditions(1)et (3)ne sont pas vérifiées, donc on doit vérifier la condition:

& Evaluation des flèches (BAEL91):

La part de la flèche totale f_t qui doit être comparée aux limites admissibles a pour valeur:

$$f \le \overline{f} = \frac{1}{500}$$

Il faut avoir:

•
$$\frac{1}{500}$$
 $L \le 5m$.

•
$$\frac{1}{500}$$
 + 0.5......L \geq 5m

Donc: $f_{adm} = \frac{l}{500} = \frac{3450}{500} = 6.9 \text{mm}$

Calcule les moments d'inertie de la section homogène I₀:

$$I_0 = \frac{bh^3}{12} + bh \left[\frac{h}{2} - V \right]^2 + 15 A (d - V)^2$$

$$I_0 = 72246.09 \text{ cm}$$

Déformation instantanée :

$$\lambda = \lambda_i = \frac{0.05 \, f_{t28}}{(2+3 \, \frac{b_0}{b})\rho}$$

$$\rho = \frac{A}{b_0 \times d} = 0.013$$

$$E_i = 11000\sqrt[3]{f_{c28}} = 32164,2MPa$$

$$\mu = 1 - (\frac{_{1,75~f_{128}}}{_{4~\rho + ~f_{128}}}) \Longrightarrow ~~\mu = ~0.818$$

$$I_{\rm f} = \frac{_{1,1} \, I_{0}}{_{1+\, \lambda\, \mu}} \qquad I_{f\, i} = \frac{_{1,1} \, I_{0}}{_{1+\, \lambda_{i} \, \mu}} = 21571.851 \, {\rm cm}^{'};$$

$$f_i = \frac{M L^2}{10*E_i*I_{fi}} = 0.97 \text{ cm} < f = \frac{1}{500} = 6.9 \text{cm}...\text{cv}$$

❖ Ferraillage de la dalle de compression des planchers avec hourdis et corps creux :

La vérification de la flèche n'est pas nécessaire si les conditions suivantes sont vérifiées:(BAEL)

Avec:
$$h=0.20 \text{ m}$$
 et $L=3.45 \text{ m}$.

Les ferraillages se fait par quadratique de barres, dont les dimensions des mailles ne doivent pas dépasser:

- 20cm dans le sens parallèle aux poutrelles.
- 33cm dans les sens perpendiculaires aux poutrelles
- L'espacement entre nervures est compris entre53et 8cm.

a. La section d'acier perpendiculaire aux nervures doit satisfaire:

✓ Si L ≤ 50 cm
$$\Rightarrow$$
A \perp Nervures $\geq \frac{200}{f_P}$ cm²

Avec: L=65cm, F_e = 400MPa.

$$A > \frac{4 \times 65}{400} = 0.65 \text{ cm}^2/\text{ml}$$

Donc on adopte5Ø 6mm

$$A=1.41 cm^{2}$$

b. Les armatures parallèles aux nervures:

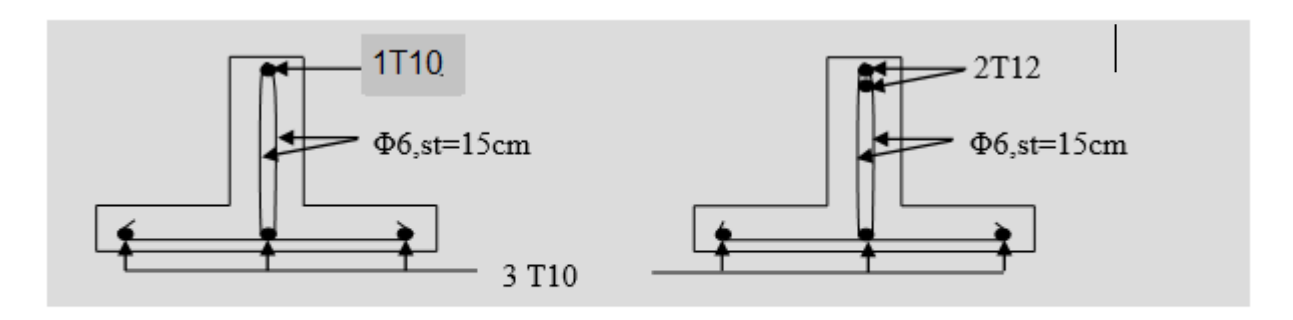
$$A/Nervures = \frac{A \perp Nervures}{2} = \frac{0.65}{2} = 0.325 \frac{cm^2}{ml}$$

D'où on opte pour : $4HA8/ml = 2.01cm^2/ml$

Donc $A \perp Nervures = A // Nervures = 2.01 cm^2 / ml$.

$$S_t = \frac{100}{5} = 20 \text{ cm}$$

La maille choisie de (20x 20cm)dans le sens parallèle aux nervures



En travée Sur appui

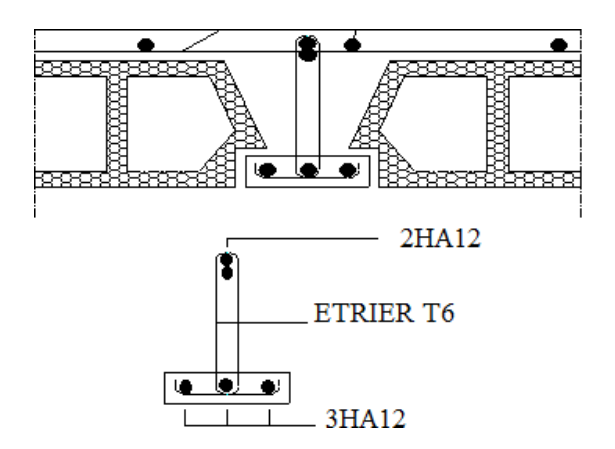


Figure III.21: Ferraillage des poutrelles

III.7 Etude de la table de compression

La table de compression sera ferraillée d'un quadrillage de barres appelées **treillis** dont les dimensions de maillage ne doivent pas dépasser 20 cm pour les armatures perpendiculaires aux nervures 33cm pour les armatures parallèles aux nervures.

La section d'armatures perpendiculaires aux nervures doit être :

$$A \ge \frac{4L}{f_e}$$

A: La section des armatures perpendiculaires aux nervures (A: en cm² pour mètre de nervures).

Avec:

L : Distance entre l'axe des poutrelles ($L_1 = 65$ cm).

Si:
$$50 \le L_1 \le 80 \text{ cm} \implies A_1 = 4L_1 / f_e \dots [\textbf{B.A.E.L.91}]$$

 $L_1 \le 50 \text{ cm} \implies A_2 = 200 / f_e$

Avec:

 L_1 : Distance entre axes des poutrelles ($L_1 = 65$ cm)

A₁: Armatures perpendiculaires aux poutrelles (AP)

A₂: Armatures parallèles aux poutrelles (AR)

On a:
$$L_1 = 65 \text{ cm} = 50 \text{ cm} \le L_1 \le 80 \text{ cm}$$

 $F_e = 400 \text{ MPa}.$

$$\Rightarrow$$
 A₁= 4 * 65 / 400 = 0.65 cm².

Soit
$$\Rightarrow$$
 A₁ = 5HA6 \Rightarrow A₁ =1.41 cm².

$$S_t = \frac{100}{5} = 20.$$

$$\Rightarrow$$
 A₂ = A₁/2 = 0,325 cm².

Soit
$$\Rightarrow$$
 A₂ = 5HA6 =1,41cm².

Pour le ferraillage de la dalle de compression, on adopte un treillis soudés de diamètre 6φ dont la dimension des mailles est égale à 20cm suivant les deux sens.

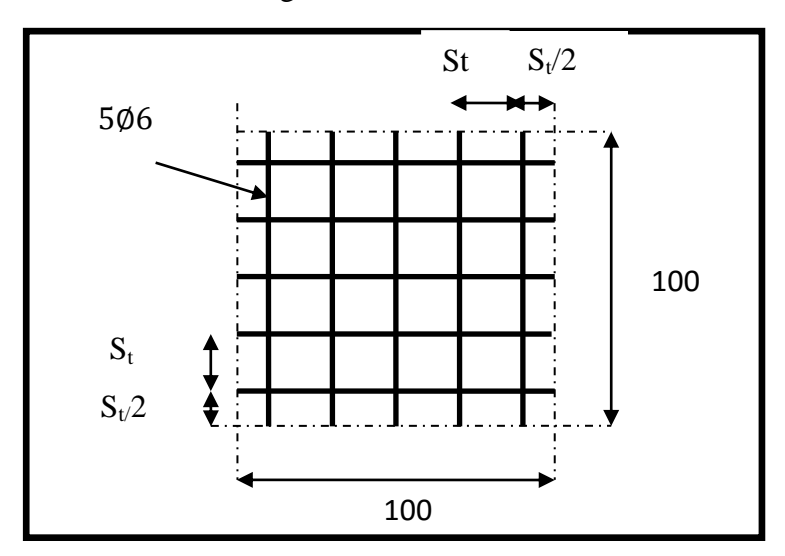


Figure III.22: Disposition constructive des armatures de la dalle de compression.

Conclusion:

Le but de ce chapitre est la détermination des sections d'acier nécessaire pour reprendre les charges revenant aux éléments secondaires avec toutes les vérifications nécessaires tout en respectant les règles données par le CBA93 et le RPA99 version 2003 .ces éléments ont été étudiés et Ferraillés

chapitre 4:Etude sismique

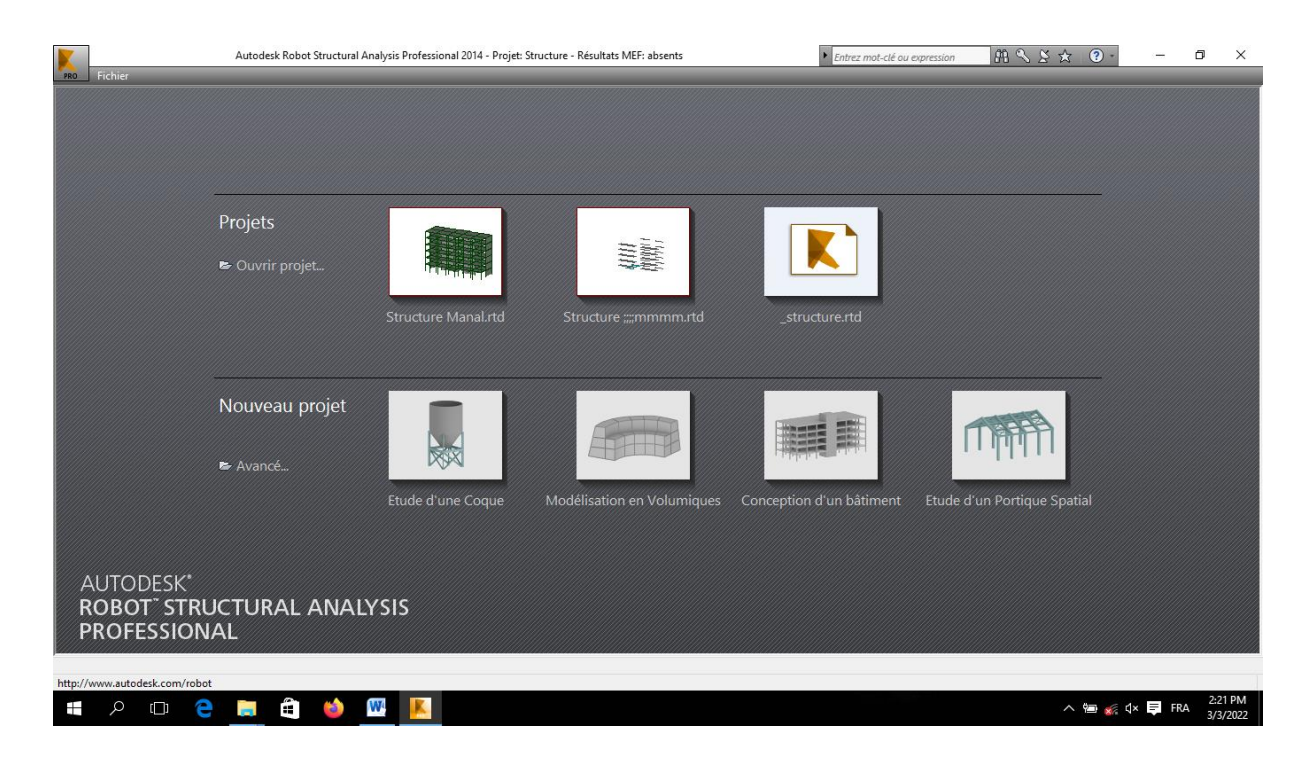
IV.1. Introduction

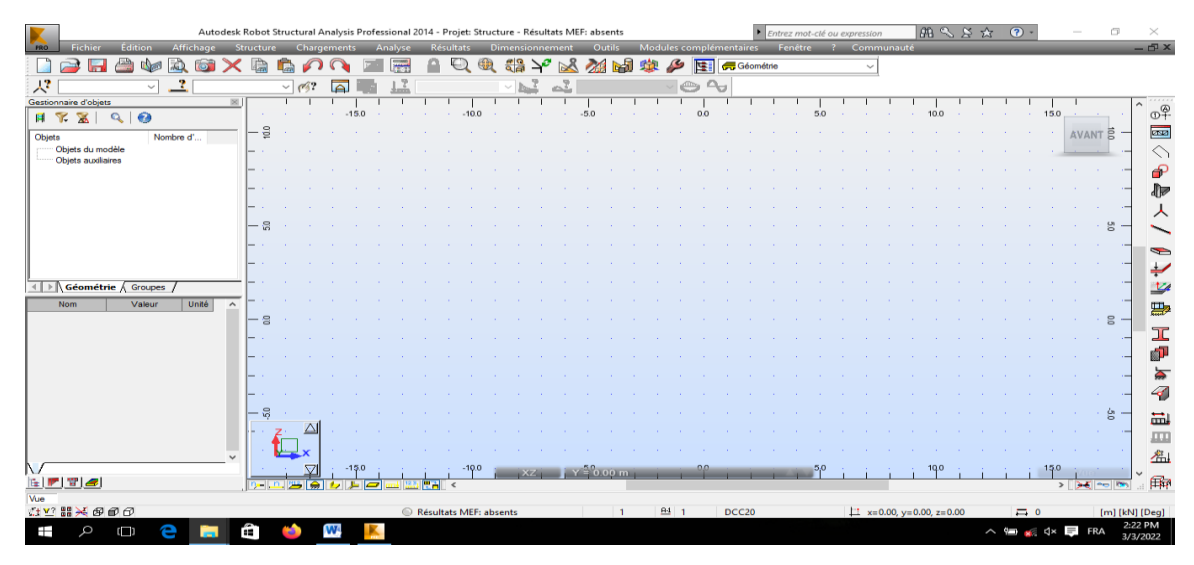
Un séisme est une libération brutale de l'énergie potentielle accumulée dans les roches par le jeu des mouvements relatifs des différentes parties de l'écorce terrestre. Lorsque les contraintes dépassent un certain seuil, une rupture d'équilibre se produit et donne naissance aux ondes sismiques qui se propagent dans toutes les directions et atteignent la surface du sol. Ces mouvements du sol excitent les ouvrages par déplacement de leurs appuis et sont plus ou moins amplifiés dans la structure. Le niveau d'amplification dépend essentiellement de la période de la structure et de la nature du sol. Ce implique de bien faire toute une étude pour essai de mettre en exergue le comportement dynamique de l'ouvrage

L'étude sismique d'une structure vise à assurer une protection des constructions vis-àvis des effets des actions sismiques par une conception et un dimensionnement appropriés, tout en satisfaisant les trois aspects essentiels de la conception qi sont: la résistance, l'aspect architectural et l'économie.

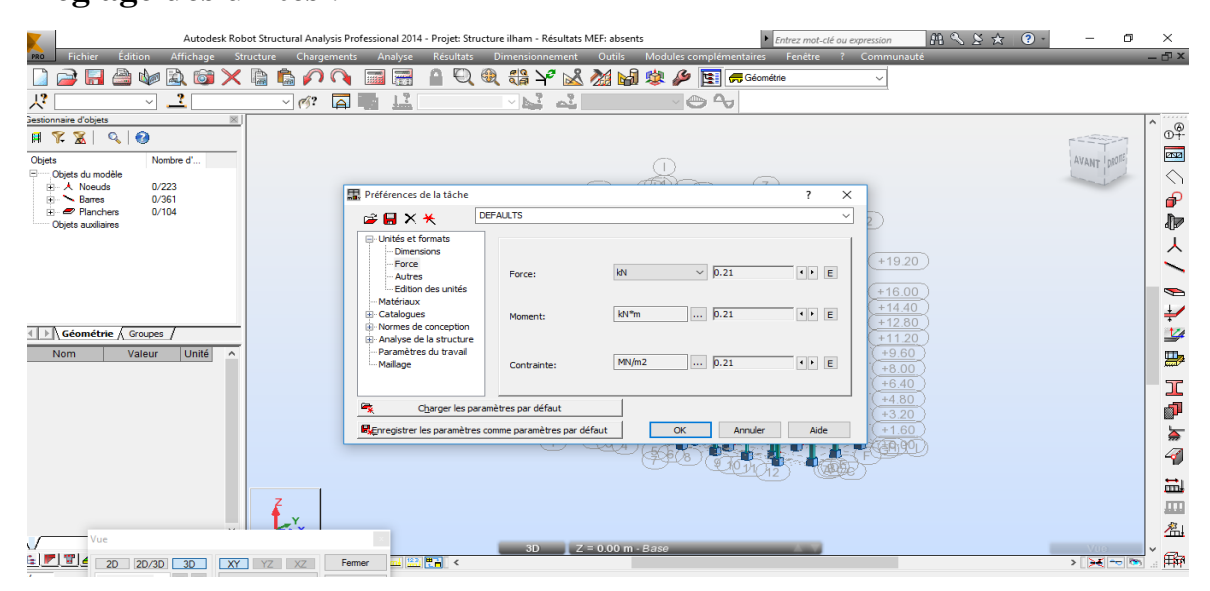
IV.2.Dessiné par Robot Structural Analysis Professional:

DEMARRAGE DE ROBOT

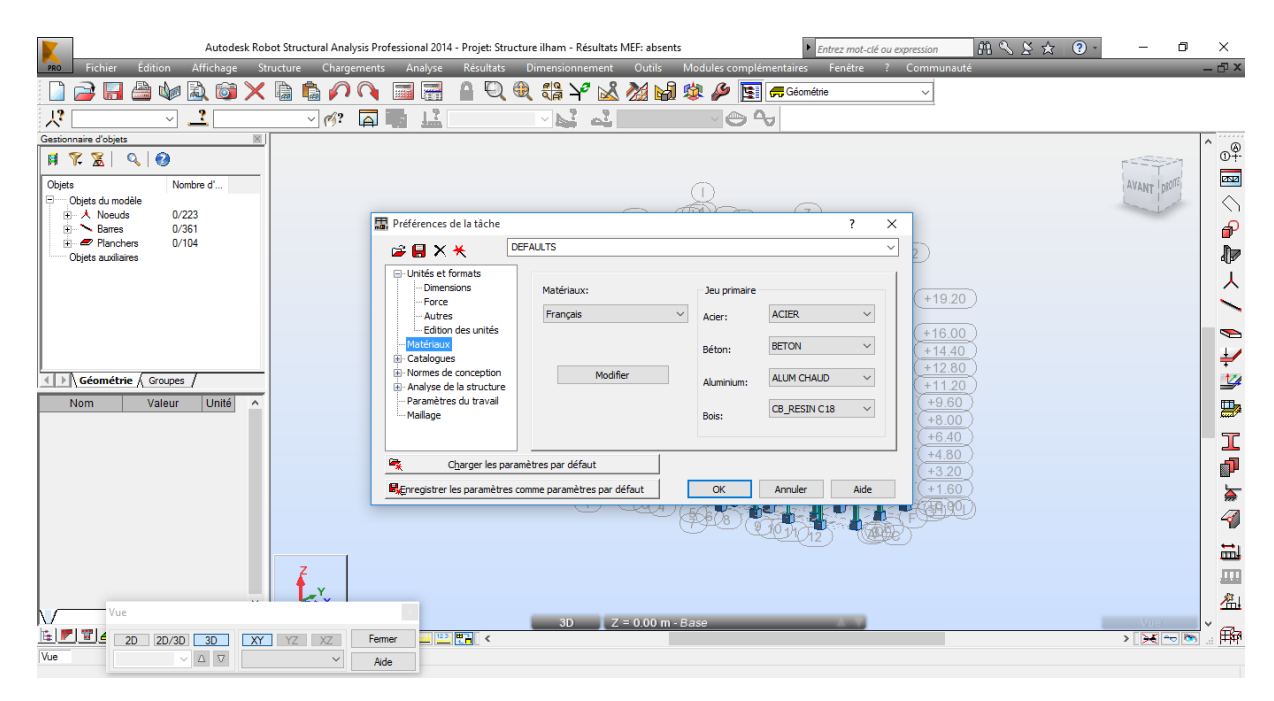




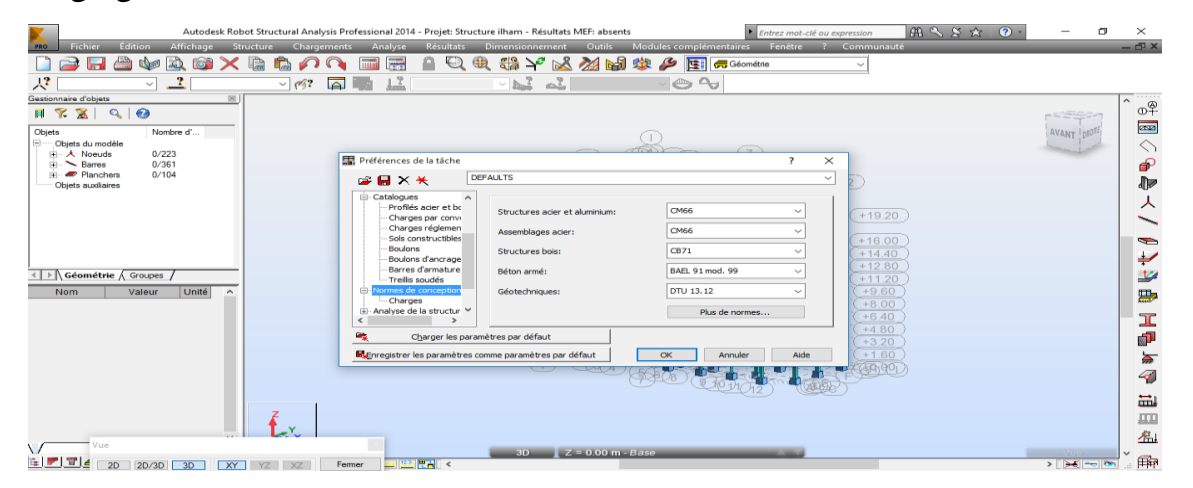
Réglage des unités :



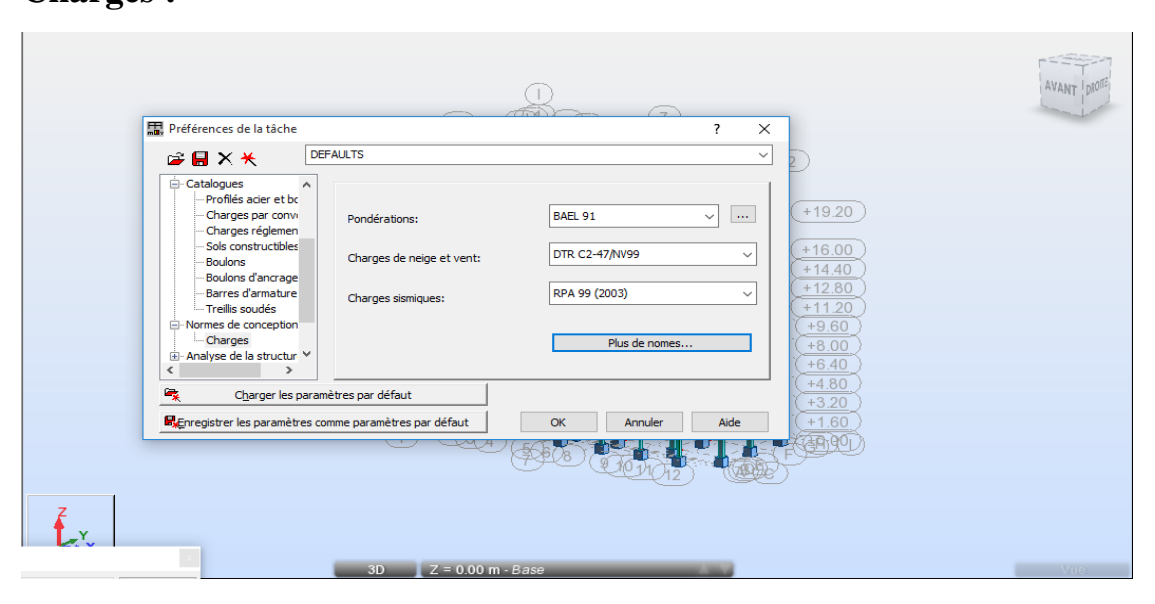
Matériaux:



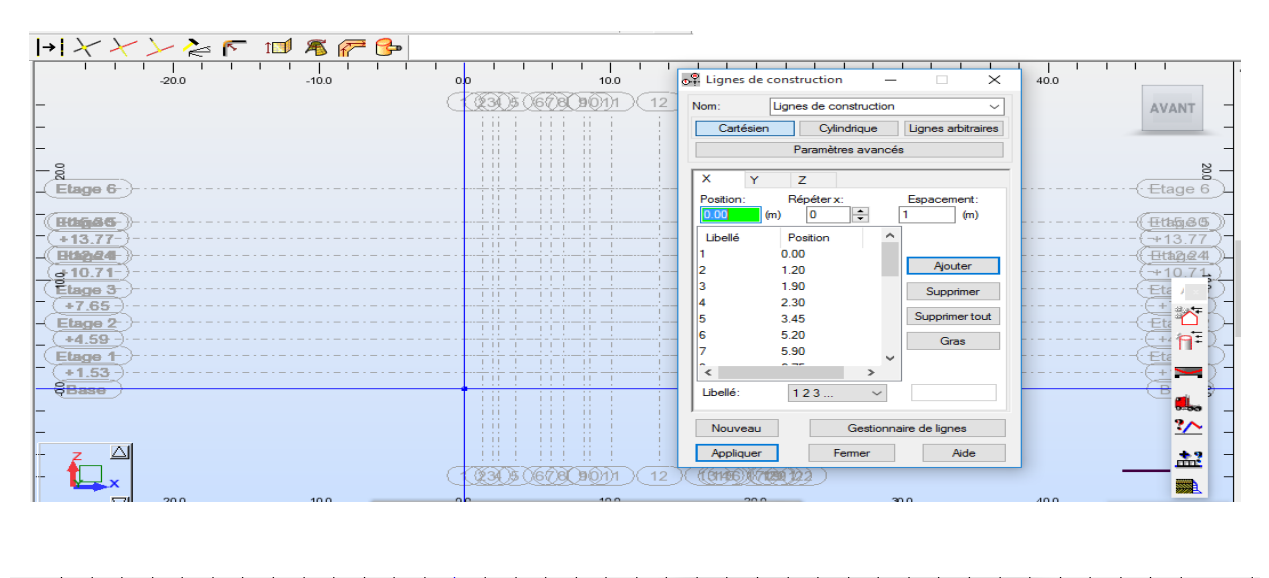
Réglage des normes :

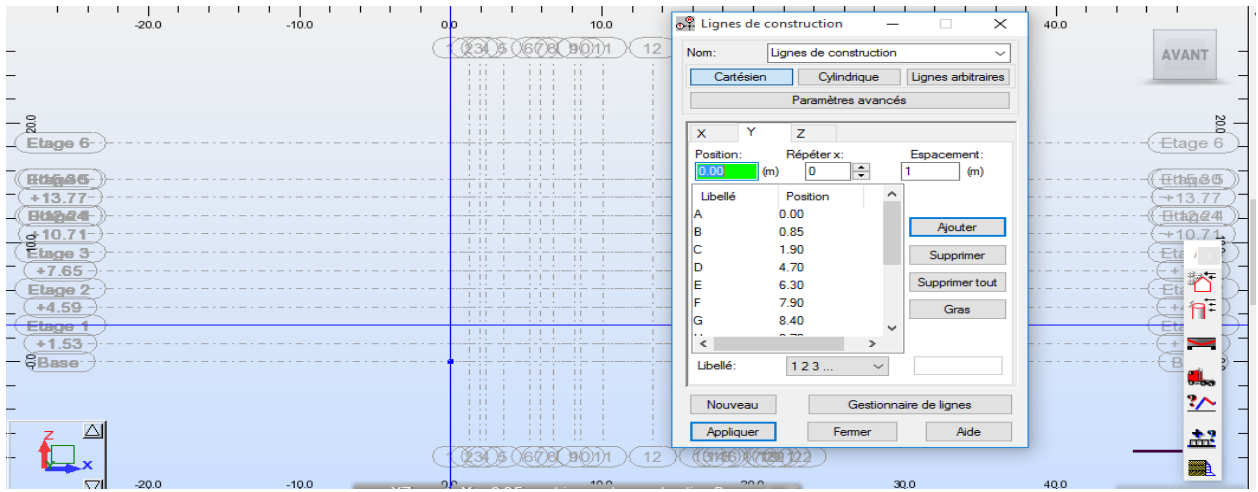


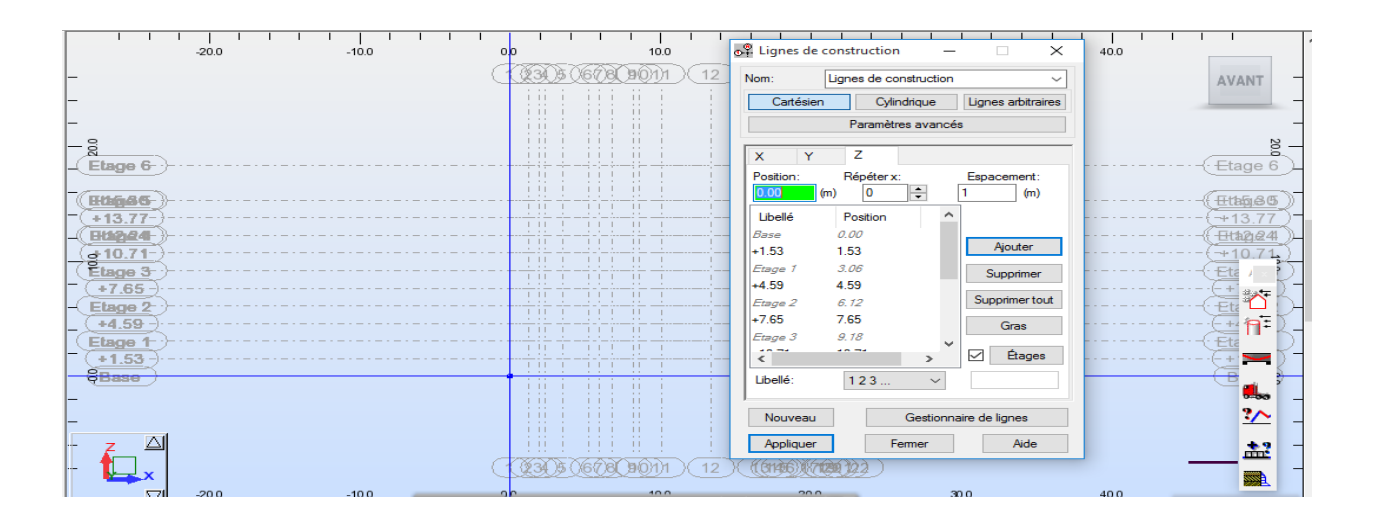
Charges:



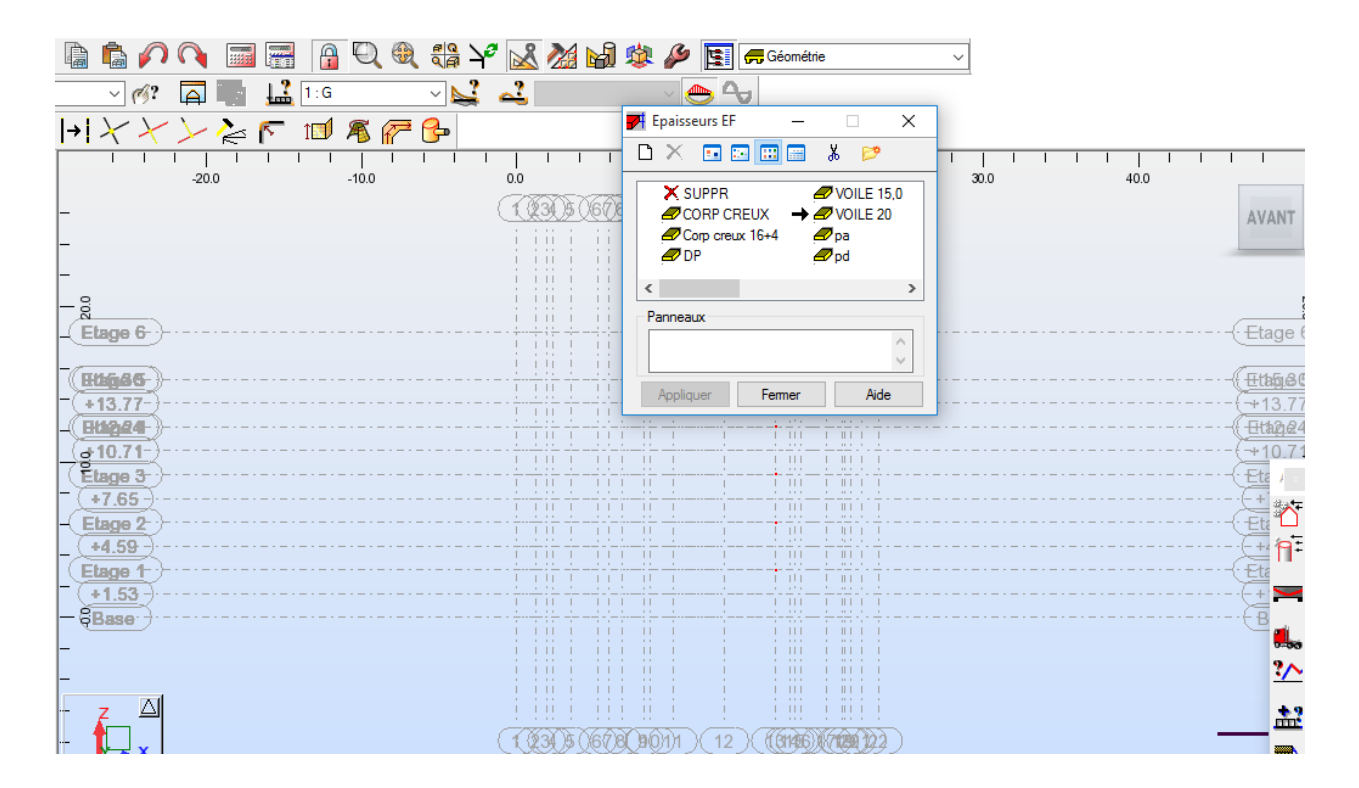
Modélisation des structures :



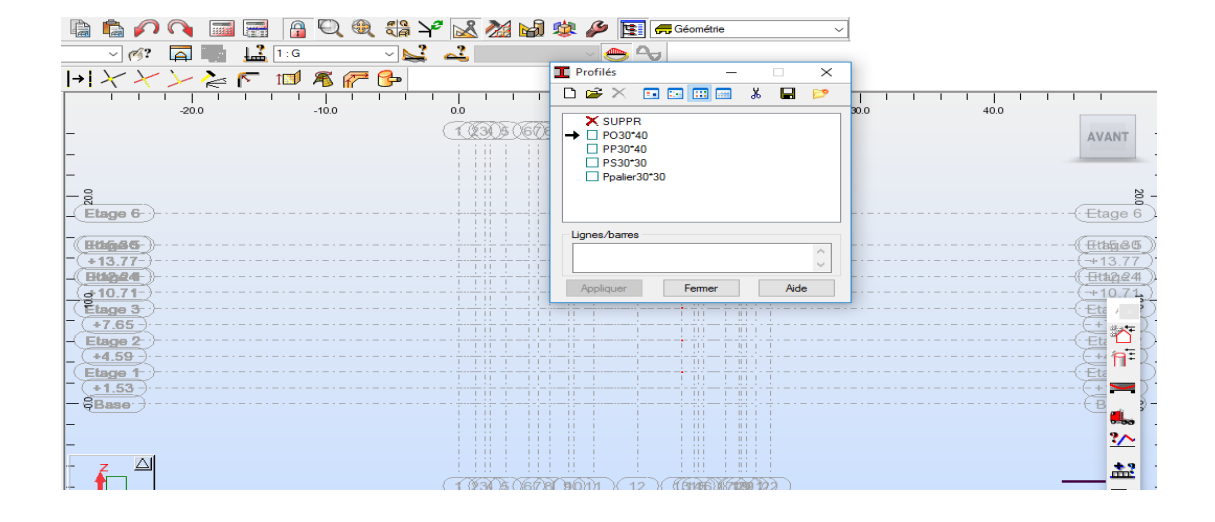




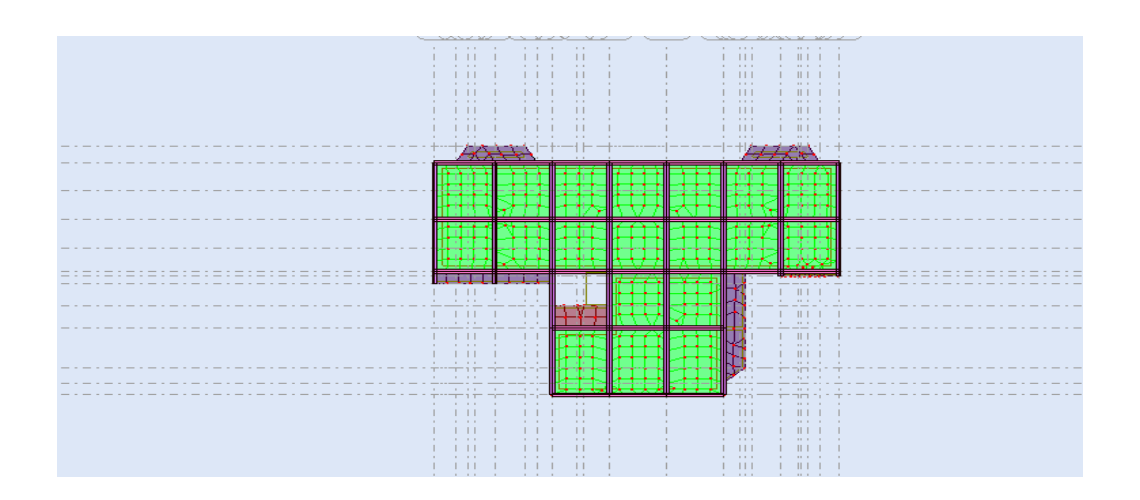
Modélisation des voiles, escaliers et dalles pleines :



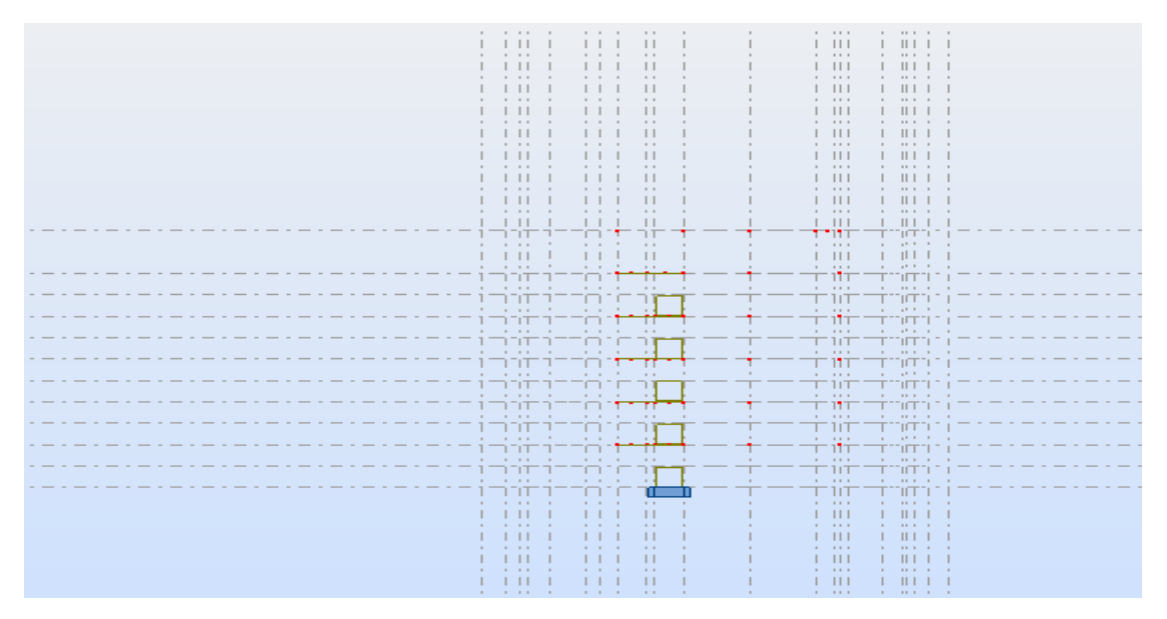
Définition des sections pour les éléments barres (poteaux et poutres) :



Dessine les dalles pleines et corps creux :

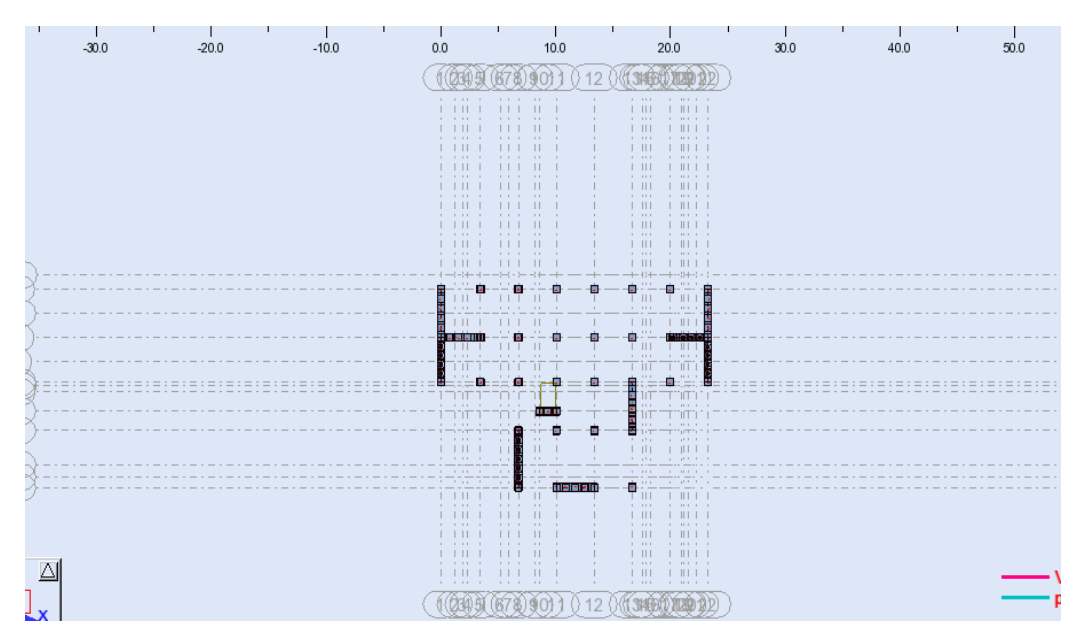


Dessin des pallie de repos et des paillasse :

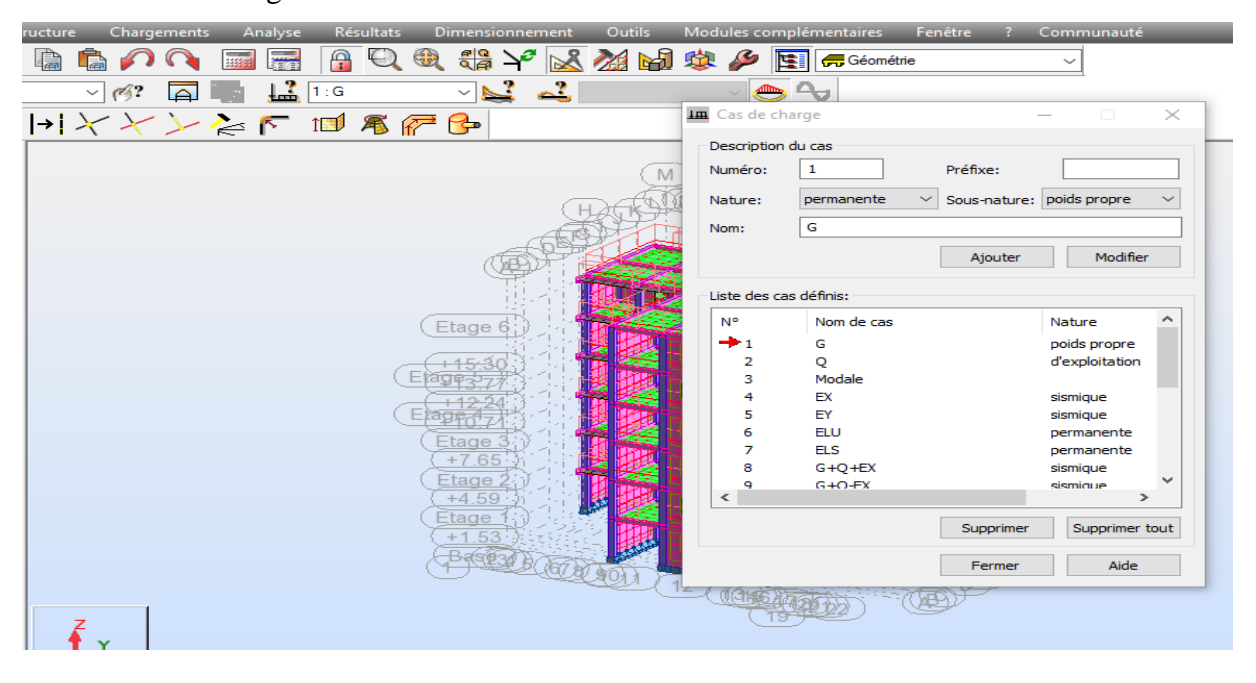


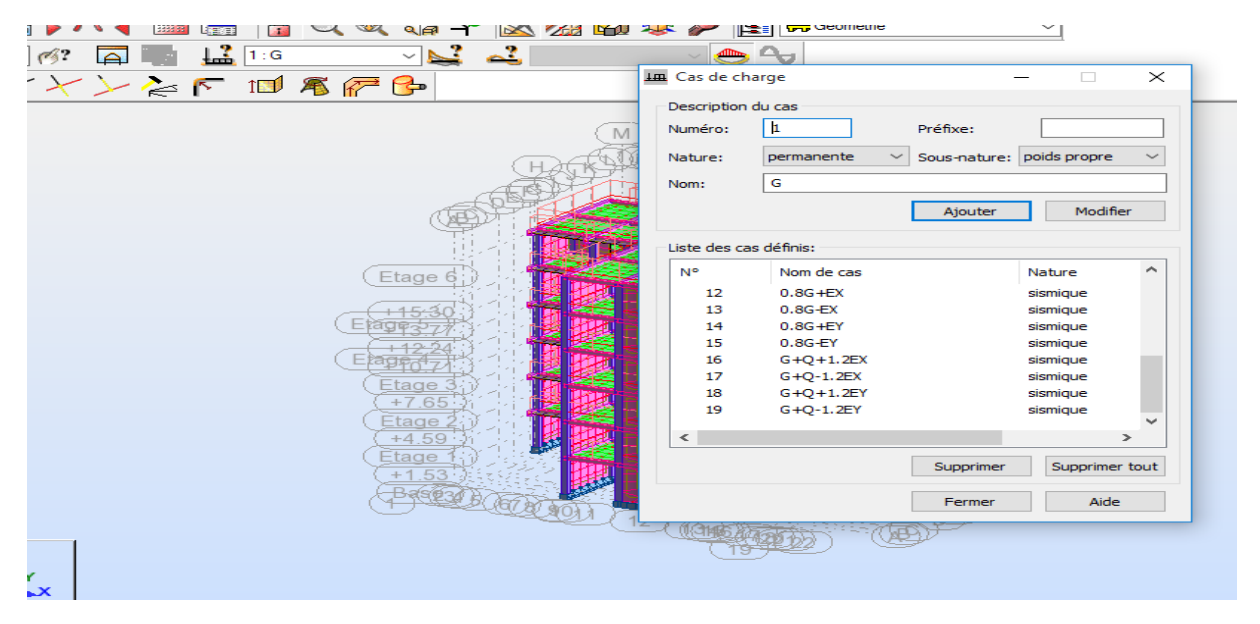
Sélectionner l'icône de définition des **Appuis**, la boite de dialogue cidessous s'ouvre et faire les réglages suivants.

Appliquer et fermer et activer la vue 2D vous aurez les résultats suivants :

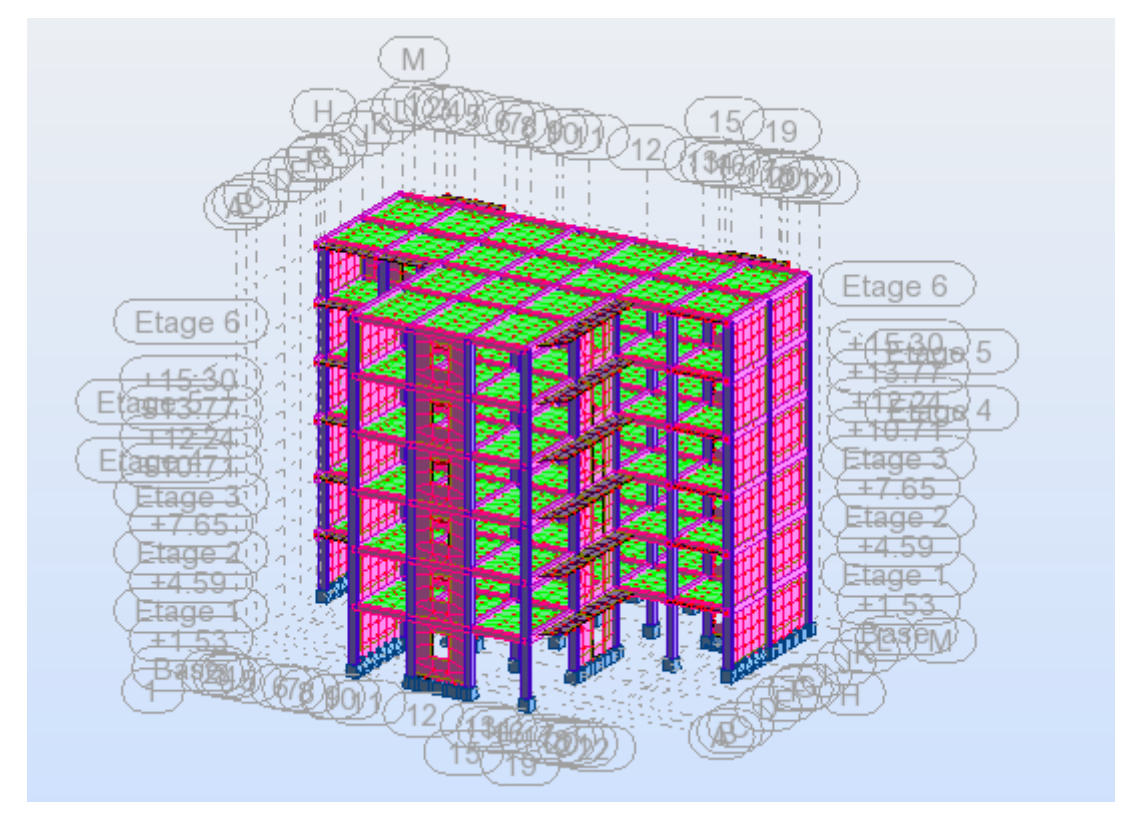


Cas de charge:





Vue en 3Ddu model obtenu par logiciel ROBOT V2014



IV.2. Présentation de la différente méthode d'estimation des forces sismiques

Selon les règles parasismiques Algériennes (RPA99/version2003) le calcul des forces sismiques peut être mené suivant trois méthodes :

- Par la méthode statique équivalente;
- Par la méthode d'analyse modale spectrale;
- Par la méthode d'analyse dynamique par accélérogrammes.

IV.3. Méthode statique équivalente

IV.3.1. Principe de la méthode

La méthode statique équivalente (ou méthode des forces de remplacement) qui traite seulement du 1 eremode de vibration et elle néglige les autres modes, Elle fait remplace l'effort dynamique par un autre effort statique équivalent fictive.

Modélisation:

Le modèle du bâtiment à utiliser dans chacune des deux directions de calcul est plan avec les masses concentrées au centre de gravité des planchers et un seul degré de liberté en translation horizontale par niveau sous réserve que les systèmes de contreventement dans les deux (2) directions puissent être découplés.

- La rigidité latérale des éléments porteurs du système de contreventement est calculée partir de sections non fissurées pour les structures en béton armé ou en maçonnerie.
- Le mode fondamental de vibration de la structure est à considérer dans le calcul de la force sismique totale.

IV.3.2. Condition d'application de la méthode statique équivalente:

IV.3.3. Régularité en plan (article 3.5.1.a du RPA):

- Le bâtiment présente sensiblement une symétrie orthogonale aussi bien pour la distribution des rigidités que pour celle des masses.
- A chaque niveau et pour chaque direction de calcul, la distance entre le centre de gravité et le centre de masses ne dépasse pas 15% de la dimension du bâtiment mesurée perpendiculairement à la direction de l'action sismique considérée.
- La forme du bâtiment doit être compacte avec un rapport (longueur/largeur)
- La somme des dimensions des parties rentrantes ou saillantes du bâtiment dans une direction donnée ne doit pas excéder 25% de la dimension totale du bâtiment dans cette direction.
- Les planchers doivent présenter une rigidité suffisante vis-à-vis de celle des Contreventements verticaux pour être considéré comme indéformables dans leur plan. Pour cela la surface totale des ouvertures de plancher doit inférieure à 15% de celle de ce dernier.

<u>Régularité en élévation</u> (article 3.5.1.b du RPA):

- Le système de contreventement ne doit pas compter d'élément porteur vertical discontinu, dont la charge ne transmet pas directement à la fondation.
- La raideur et la masse des différents niveaux restent constantes ou diminuent progressivement, sans changement brusque, de la base au sommet du bâtiment.

- Hauteur au plus égale à 65m en zones I et II.

☐ Méthode d'Analyse Modale Spectrale:

La méthode d'analyse modale spectrale peut être utilisée dans tous les cas, et en particulier, dans le cas où la méthode statique équivalente n'est pas permise

☐ Méthode d'Analyse dynamique par accélérogrammes:

La méthode d'analyse dynamique par accélérogrammes peut être utilisée au cas par cas par un personnel qualifié, ayant justifié auparavant les choix des séismes de calcul et des lois de comportement utilisées ainsi que la méthode d'interprétation des résultats et les critères de sécurité à satisfaire.

Modélisation de la structure :

La structure étudiée présente une irrégularité en plan, comportant des planchers rigides. Elle sera représentée par un modèle tridimensionnel encastré à la base où les masses sont concentrées au niveau du centre de masse du plancher avec trois degrés de liberté (deux translations horizontales et une rotation autour de l'axe vertical)

Calcul de la force sismique totale

La force sismique totale V, appliquée à la base de la structure, doit être calculée successivement dans deux directions horizontales orthogonales selon la formule :

$$V = \frac{A.D.Q}{R}W$$

A: coefficient d'accélération de zone, donné par le tableau 4.1 suivant la zone sismique et le groupe d'usage du bâtiment :

Zone sismique IIa et groupe d'usage $2 \rightarrow A = 0.15$

D: facteur d'amplification dynamique moyen, fonction de la catégorie de site, du facteur de correction d'amortissement (ξ) et de la période fondamentale de la structure (T).

$$D = \begin{cases} 2.5\eta & 0 \le T \le T_2 \\ 2.5\eta (T_2/T)^{\frac{2}{3}} & T_2 \le T \le 3.0s \\ 2.5\eta (T_2/3.0)^{\frac{2}{3}} (3.0/T)^{\frac{5}{3}} & T \ge 3.0s \end{cases}$$

La valeur de la période fondamentale (T) de la structure peut être estimée à partir de formules empiriques ou calculée par des méthodes analytiques ou numériques. La formule empirique à utiliser selon les cas est la suivante :

$$T = C_T h_N^{3/4}$$

 h_N : hauteur mesurée en mètres à partir de la base de la structure jusqu'au dernier niveau (N). C_T : coefficient, fonction du système de contreventement, du type de remplissage et donné par le tableau suivant :

Cas n°	Système de contreventement	C ^t
1	Portique auto stables en béton armé sans remplissage en	0.075
2	maçonnerie	0.085
3	Portique auto stables en acier sans remplissage en maçonnerie	0.050
	Portique auto stables en béton armé ou en acier avec remplissage	
4	en maçonnerie	
	Contreventement assuré partiellement ou totalement par des	0.050
	voiles en béton armé des palés triangles et des murs en	
	maçonnerie	

Tableau IV.1 : Valeur du coefficient C_T

$$C_T = 0.05 \rightarrow h_N = 18.36 \text{ m} \rightarrow T = 0.44 \text{ sec}$$

T2 : période caractéristique, associée à la catégorie du site et donnée par le tableau suivant:

Site	S_1	S_2	S_3	S_4
T _{1(sec)}	0.15	0.15	0.15	0.15
$T_{2(sec)}$	0.30	0.40	0.50	0.70

Tableau IV.2 : valeurs de T₁et T₂

$$T_1 = 0.15 \text{ sec}$$

$$T_2 = 0.50 \text{ sec}$$

$$T_2 = 0.50 \text{ sec } \ge T = 0.44 \text{ sec } \ge 0$$

η: facteur de correction d'amortissement donné par la formule :

$$\eta = \sqrt{\frac{7}{2 + \xi}} \ge 0.7$$

où ξ (%) est le pourcentage d'amortissement critique fonction du matériau constitutif, du type de structure et de l'importance des remplissages.

Tableau IV.3 :valeur de $\xi(\%)$

	Porti	iques	Voiles ou murs		
Remplissage	Béton armé	Acier	Béton armé/maçonnerie		
Léger	6	4	10		
Dense	7	5			

$$\xi = (7+10)/2 = 8.5\% \rightarrow \mathbf{D} = 2.05$$

R: coefficient de comportement global de la structure

Sa valeur unique est donnée par le tableau 4.3 en fonction du système de contreventement

Tableau IV.4: valeurs du coefficient de comportement R

Cat	Description du système de contreventement (voir chapitre III § 3.4)	Valeur de R
<u>A</u>	Béton armé	
1a	Portiques autostables sans remplissages en maçonnerie rigide	5
1b	Portiques autostables avec remplissages en maçonnerie rigide	3,5
2	Voiles porteurs	3,5
3	Noyau	3,5
4a	Mixte portiques/voiles avec interaction	5
4b	Portiques contreventés par des voiles	4
5	Console verticale à masses réparties	2
6	Pendule inverse	2

R=4

Q: facteur de qualité

Le facteur de qualité de la structure est fonction de:

- la redondance et de la géométrie des éléments qui la constituent la régularité en plan et en élévation la qualité du contrôle de la construction La valeur de Q est déterminée par la formule:

$$Q = 1 + \sum Pq$$
 (Formule 4.4)

Sachant que:

Pq : est la pénalité à retenir selon que le critère de qualité (q) est observé ou non. Les valeurs à retenir sont dans le tableau (à noter que c'est la même dans les deux sens).

Tableau IV.5: Valeurs des pénalités Pq.

Critère q	Observée (Oui ou Non)	Pq
1-Conditions minimales sur les files de Contreventement	Oui	0
2-Redondance en plan	Non	0.05
3-Régularité en plan	Non	0.05
4-Régularité en élevation	Oui	0
5-Contrôle de qualité des matériaux	Non	0.05
6-Contrôles de qualité d'exécution	Non	0.10

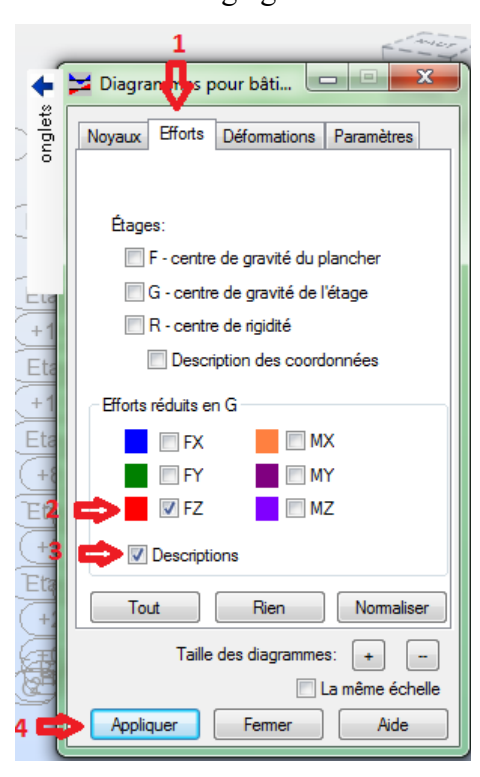
Alors: $Q = 1 + \sum Pq$ Q = 1 + 0.25 * Q = 1.25

W: poids total de la structure:

Méthode:

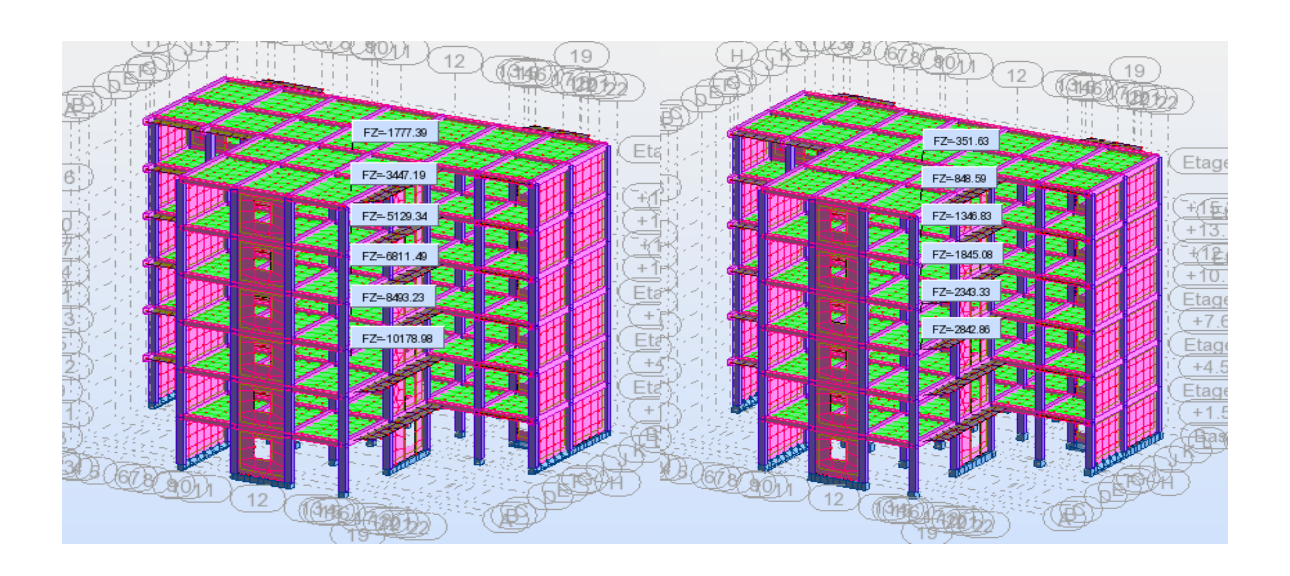
$$W_{i^{=}}\,W_{Gi}+\beta\;W_{Qi}$$

→ Cliquez sur le menu déroulant: → Résultats → Diagrammes-bâtiment La boite de dialogue s'ouvrir et en faire les réglages suivants:



→ Dans la fenêtre cas de charge on choisi:

- Le cas 1: G: le poids dû a la charge G « W_G»
- ➤ Puis Le cas 2: Q: le poids dû a la surcharge Q « W_O»



On peu donc calculer le poids total de la structure :

 $W_T = 10178.98 + 0.2 \times 2842.86 = 10747.55 \text{ KN}$

• Estimation de la période fondamentale de la structure:

La valeur de la période fondamentale (T) de la structure peut être estimée à partir de formules empiriques ou calculée par des méthodes analytiques ou numériques.

T: période fondamentale de la structure; donné par la formule ci-dessus utilisée spécifiquement, pour les systèmes de contreventement assuré par:

1^{ere} formule:

On peut aussi calculer T par la formule empirique suivante:

$$T = C\tau. H_N^{\frac{3}{4}}$$
 (Formule 4.6 du RPA)

 H_N : hauteur mesurée en mètres à partir de la base de la structure jusqu'au dernier niveau (N) = 18.36 m

C_T: coefficient en fonction du système de contreventement et du type de remplissage, il est donné par le Tableau (4.6 du RPA).

$$C_T = 0.05$$
 $T = 0.05 (18.36)3/4 = 0.44s$

2eme formule:

Pour les systèmes de contreventement assuré par :

- Des portiques auto stables en béton armé ou en acier avec remplissage en maçonnerie.
- Des voiles en partie au dans sa totalité, des palées triangulés et des murs de maçonnerie

$$T = 0.09 Hn\sqrt{L}$$

Avec:

L: dimension du bâtiment mesurée à sa base dans la direction de calcul considérée.

H_n: la hauteur mesurée en mètre à partir de la base de la structure jusqu'au dernier niveau (n).

Sens longitudinal:

D'où;
$$L_x = 23.55$$
m donc $T_x = 0.09(18.36/\sqrt{23.55}) = 0.34$ s

Sens transversal:

D'où; L_y=18m donc T_y =0.09(18.36/
$$\sqrt{18}$$
)=0.38s

Donc:

$$T_x = min (0.44 sec; 0.34 sec) = 0.34 sec$$

$$T_y = min (0.44 sec; 0.38 sec) = 0.38 sec$$

Donc la période fondamentale statique majorée de 30 % est :

$$\begin{cases} T_{x.st} = 1.3 \times 0.34 = 0.442 \text{ sec} \\ T_{y.st} = 1.3 \times 0.38 = 0.494 \text{ sec} \end{cases}$$

• Calcul de Facteur d'amplification D

Donc le facteur d'amplification dynamique moyens D_x et D_y , respectivement pour le sens longitudinal et transversal comme suit:

Sens longitudinal:

On a:
$$0 \le T \le T2$$
 $0 \le 0.34 \le 0.5 \text{ s}$

$$D_{\rm X} = 2.5 \; \eta$$

$$D_X = 2.05$$

Sens transversal:

On a:
$$0 \le T \le T2$$
 \longrightarrow $0 \le 0.38 \le 0.5 \text{ s}$

$$D_v = 2.5\eta$$

$$D_v = 2.05$$

• Calcul de La force sismique totale:

La force sismique totale V appliquée à la base de la structure, doit être calculée successivement dans deux directions horizontales orthogonales selon la formule:

$$V = \frac{ADQ}{R}W$$

A: Coefficient d'accélération de zone. Donnée par tableau 4.1 suivent la zone sismique et le groupe du bâtiment

R:Coefficient de comportement global de la structure.

D:Facteur de d'amplification dynamique de la structure. En fonction de la catégorie de site, de facteur de correction d'amortissement (η), et de la période fondamentale de la structure (T)

Sens Longitudinal:

$$V = \frac{A.D.Q}{R}W = \frac{0.15 \times 2.05 \times 1.25}{4} \times 10747.55 = 1032.77KN$$

Sens Transversal:

$$V = \frac{A.D.Q}{R}W = \frac{0.15 \times 2.05 \times 1.25}{4} \times 10747.55 = 1032.77KN$$

IV.4. Etude dynamique

• Disposition des voiles :

Les dispositions des voiles dans un bâtiment peuvent être facilement utilisées pour la résistance à une force latérale. Les concepteurs des structures sont souvent en mesure de conseiller les architectes sur les endroits les plus souhaitables pour les murs de contreventements, afin d'optimiser la résistance sismique.

La disposition des voiles doit être symétrique de façon à minimiser les excentricités qui peuvent engendrer des torsions comme modes fondamentaux.

- Le coté économique et architecturale des bâtiments doit être sauvegarder.
- La disposition des voiles doit être continue sur toute la hauteur du bâtiment

Après plusieurs essais de disposition des voiles, on a retenu la disposition représentée cidessus

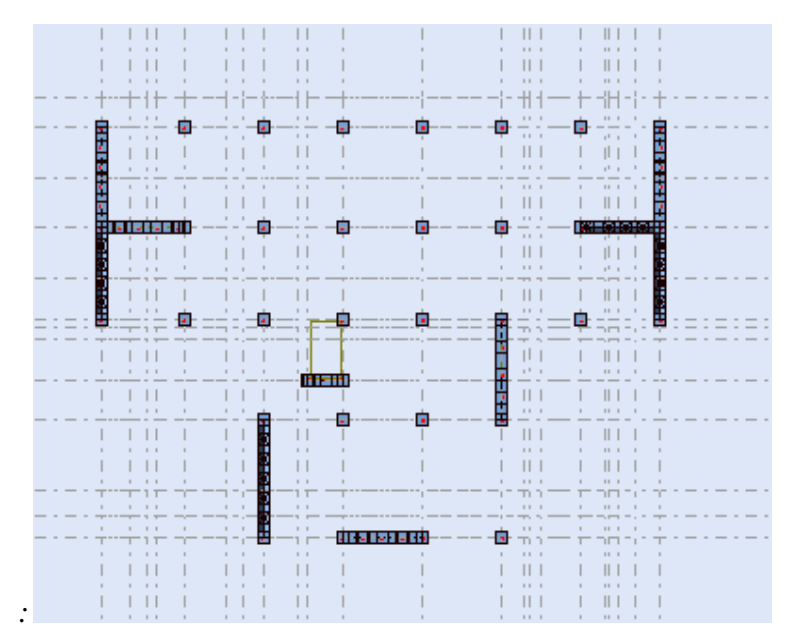


Figure IV.1 : Disposition des voiles proposés.

Interprétation des résultats de l'analyse dynamique donnée par ROBOT.V2014. Nous représentons sur ces trois figures les trois premières modes de vibrations de notre structure.

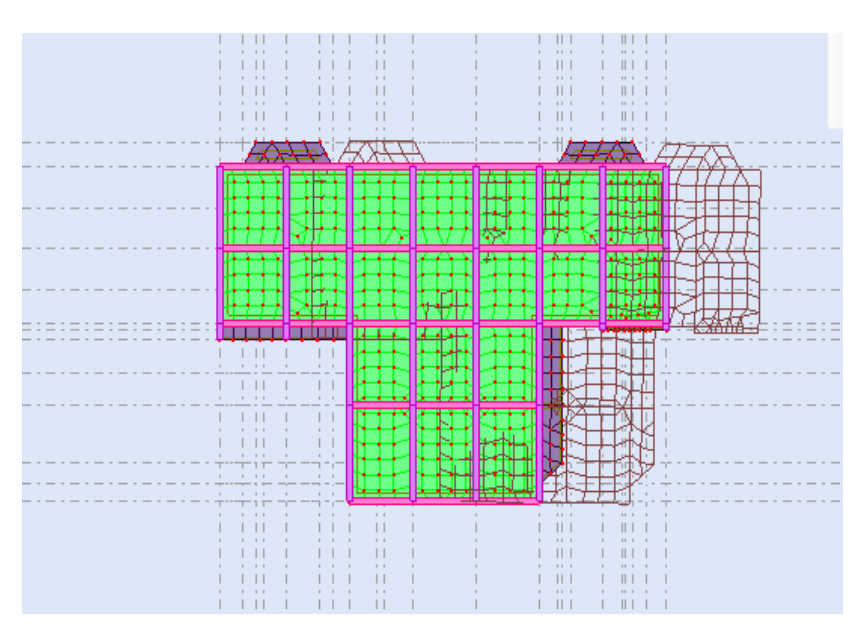


Figure IV.3: Mode 1 translation selon X-X

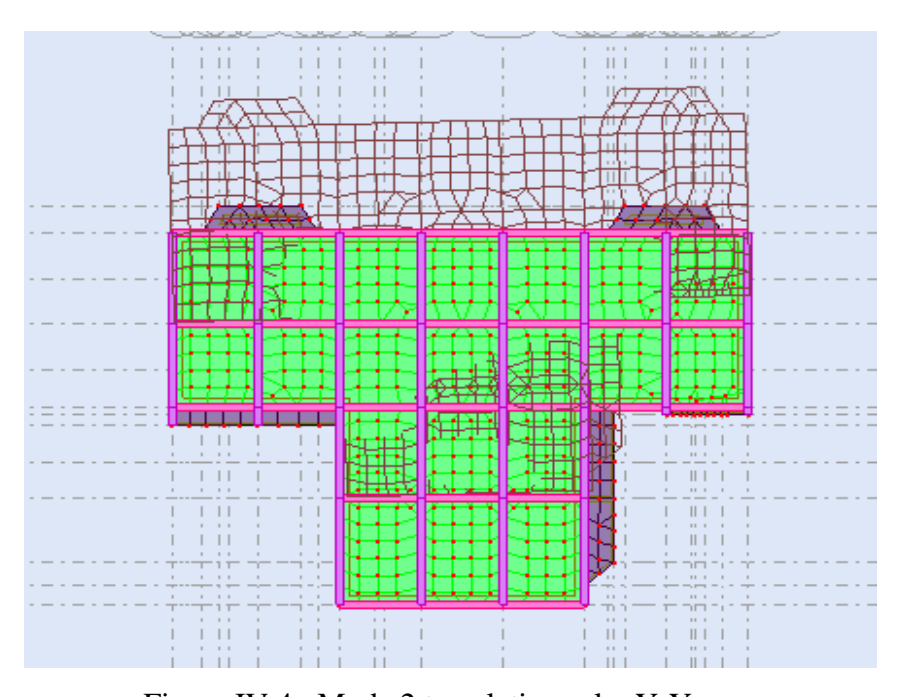


Figure IV.4: Mode 2 translation selonY-Y

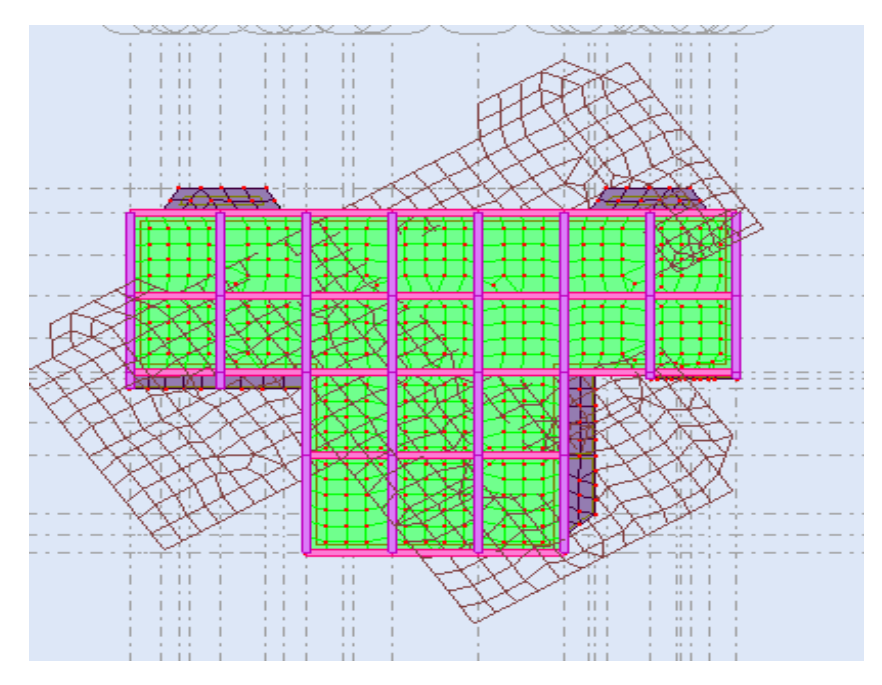


Figure IV.2 : Mode 3 rotation au tour de l'axez-z

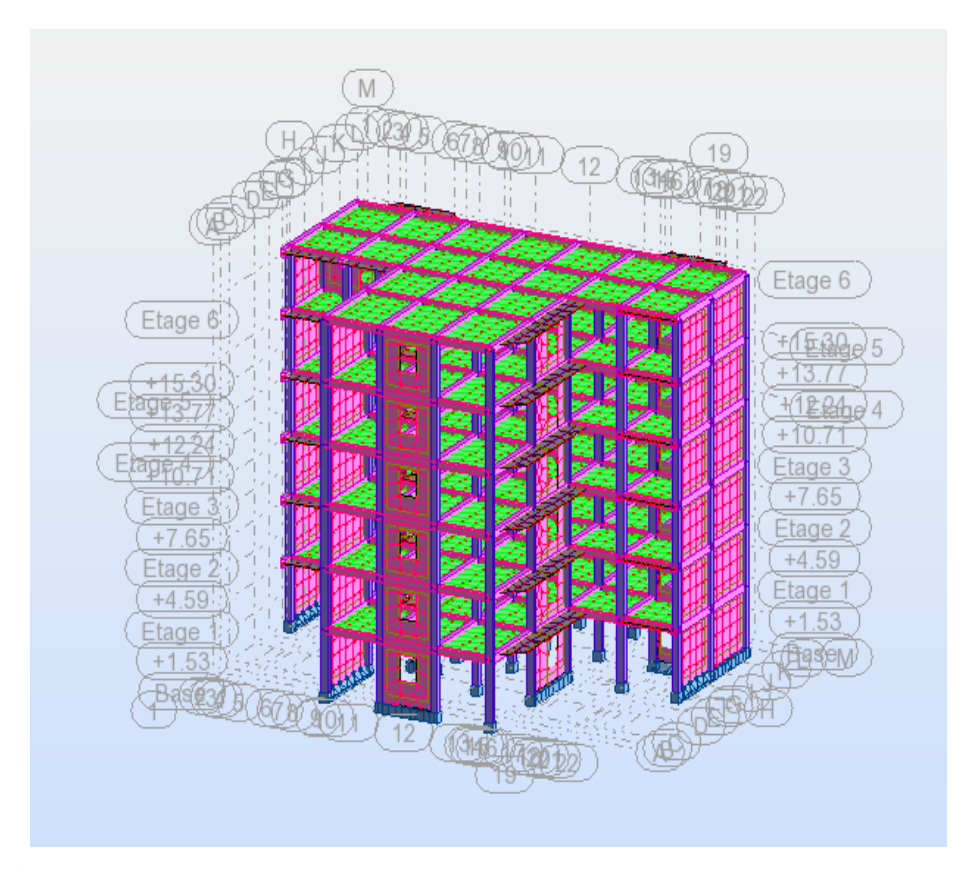


Figure IV.3: Vue en 3D du model obtenu par logiciel ROBOT V2014

• Périodes de vibration et taux de participation des masses modales

D'après le RPA99/version2003 (article 4.3.4 -a) :

- Pour les structures représentées par des modèles plans dans deux directions orthogonale, le nombre de modes de vibration a retenir dans chacune des deux directions l'excitation doit être tel que :
- la somme des masses modales effectives pour les modes retenus soit égale a 90% au moins de la masse totale de la structure.
- Où que tous les modes ayant une masse modale effective supérieure à 5% de la masse totale de structure soient retenus pour la détermination de la réponse totale de la structure.
- Le minimum de modes à retenir est de trois (03) dans chaque direction considérée

 Dans le cas où les conditions décrites ci-dessus ne peuvent pas être satisfaites à cause de
 l'influence importante des modes de torsion, le nombre minimal de modes (K) à retenir doit
 être tel que :

$$K \ge 3N$$
 et $T_k \le 0.2$ sec RPA(4-14)

N: Nombre des niveaux.

T_k: La période du mode K.

Le nombre de modes à considérer est: 10 modes.

Tableau IV.6: Modes et Périodes de vibration et taux de participation massique

Cas/N	lode	Période [sec]	Masses Cumulées UX [%]	Masses Cumulées UY [%]	Masse Modale UX [%]	Masse Modale UY [%]	Tot.mas.UX [kg]	Tot.mas.UY [kg]
3/	1	0.33	72.85	0.00	72.85	0.00	1095945.50	1095945.50
3/	2	0.19	72.86	70.90	0.01	70.90	1095945.50	1095945.50
3/	3	0.13	72.89	71.06	0.03	0.15	1095945.50	1095945.50
3/	4	0.09	91.31	71.06	18.41	0.00	1095945.50	1095945.50
3/	5	0.04	91.31	91.97	0.00	20.91	1095945.50	1095945.50
3/	6	0.04	96.66	91.97	5.36	0.00	1095945.50	1095945.50
3/	7	0.03	96.67	92.03	0.01	0.06	1095945.50	1095945.50
3/	8	0.03	98.77	92.03	2.11	0.00	1095945.50	1095945.50
3/	9	0.02	99.56	92.03	0.79	0.00	1095945.50	1095945.50
3/	10	0.02	99.56	97.13	0.00	5.10	1095945.50	1095945.50

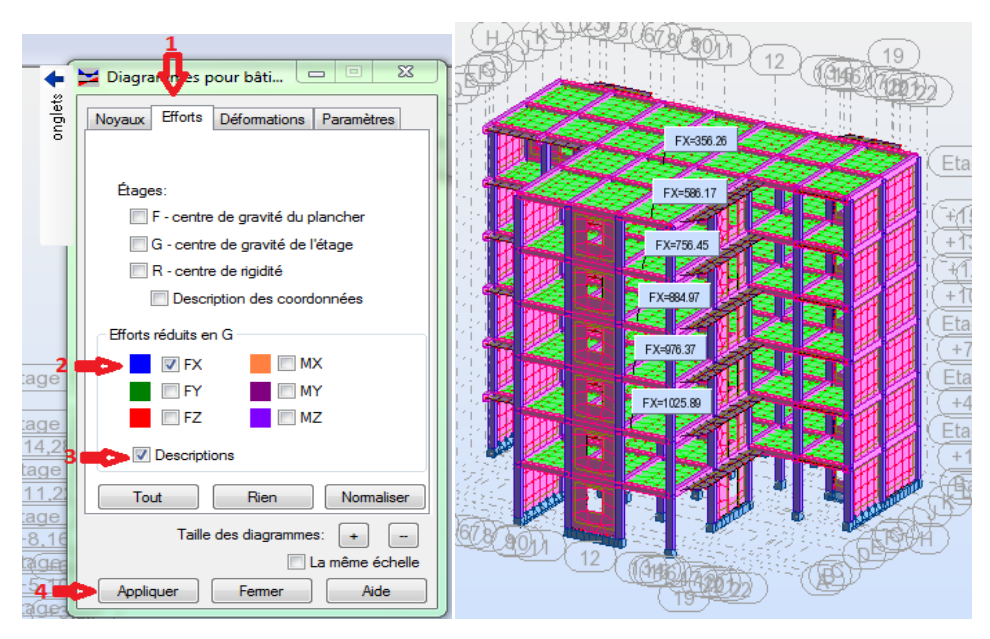
Analyse des résultats

On remarque que la période fondamentale de vibration est supérieure à celle calculée par les formules empiriques du RPA 99/ version2003 majorée de 30%, et on remarque aussi que les deux modes de vibration sont des modes de translation le premier selon xx, et le deuxième selon yy

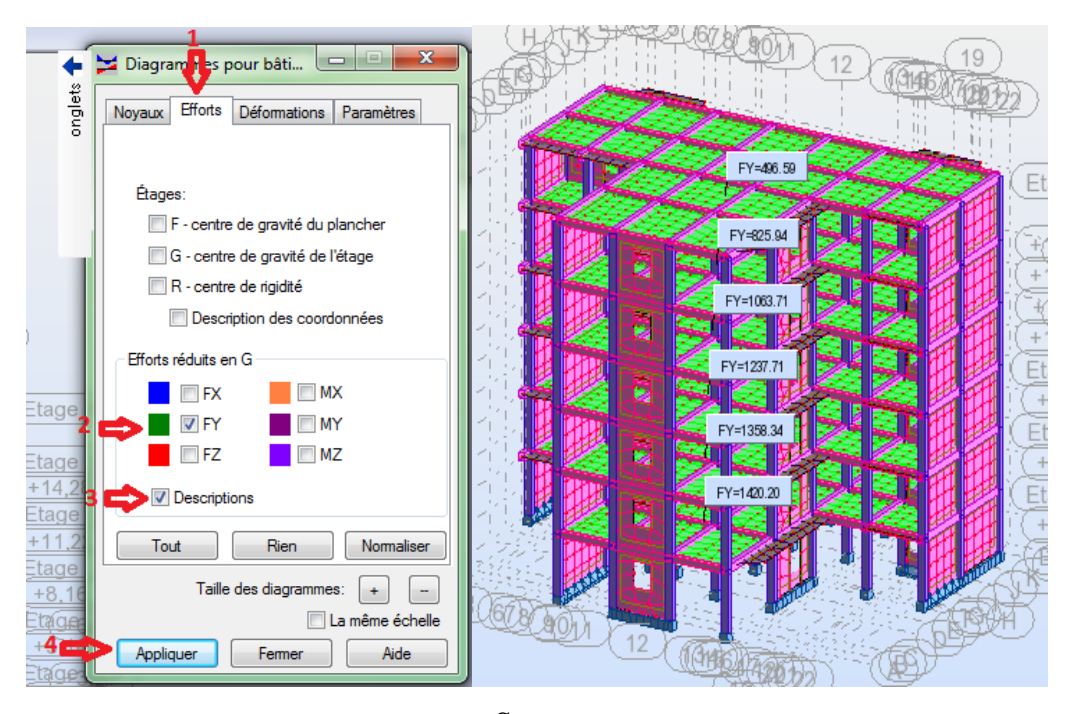
La force sismique V dynamique a la base Méthode :

 \rightarrow Cliquez sur le menu déroulant : Résultats Diagrammes-bâtiment

La boite de dialogue s'ouvrir et en faire les réglages suivants :



Sens x



Sens y

- → Dans la fenêtre cas de charge on choisi:
- \triangleright Le cas 4: E_x : les valeurs de la résultante des forces sismique suivant la direction x apparaître pour chaque étage
- ➤ Puis Le cas 5: E_y: les valeurs de la résultante des forces sismique suivant la direction y apparaître pour chaque étage

Direction	0.8 V _{statique} (KN)	V _{dynamique} (KN)	Constatation
Sens x	826.21	1025.89	Condition vérifié
Sens y	826.21	1420.20	Condition vérifié

La résultante des forces sismiques à la base obtenue par combinaison des valeurs modales ne doit pas être inférieure à 80 % de la résultante des forces sismiques déterminée par la méthode statique équivalente pour une valeur de la période fondamentale donnée par la formule empirique appropriée.

Caractéristiques géométriques et massiques de la structure:

Centre de masse et centre de torsion:

La détermination du centre de masse est basée sur le calcul des centres de masse de chaque élément de la structure (acrotère, poteaux, poutres, plancher, escalier, voiles, maçonnerie extérieur). Les coordonnées du centre de masse sont données par la méthode suivante:

→ Cliquez sur le menu déroulant : → Résultats → Etages

On cliquant sur la feuille → valeurs

- Les cordonnées de centre de masse G (x,y,z) apparaître sur la quatrième colonne
- Les cordonnées de centre de torsion R (x,y,z) apparaître sur la cinquième colonne

Plancher **YG** XGXR YR RDC11.54 10.39 11.16 11.19 11.54 10.39 11.16 11.19 1er Etage 2eme Etage 11.54 10.39 11.16 11.19 3eme Etage 11.54 10.39 11.16 11.19 4eme Etage 11.54 10.39 11.16 11.19 5eme Etage 11.60 10.44 11.16 11.29

Tableau IV.7: Centre de masse et de centre de torsion

Calcul de l'excentricité:

L'excentricité C'est la distance entre le centre de gravité et le centre de torsion, pour toutes structures comportant des planchers horizontaux rigides dans leurs plans, on supposera qu'a chaque niveau et dans chaque direction, la résultante des forces horizontales a une excentricité par rapport au centre de torsion égale a la plus grande des deux valeurs suivantes :

- 1- Excentricité théorique.
- 2- Excentricité accidentelle

Chapitre 4:

L'excentricité théorique :

$$e_x = \mid XG - XR \mid \ ; \ e_y = \mid YG - YR \mid$$

L'excentricité accidentelle :

$$e_{acc} = 0.05 \times L$$

L: étant la dimension du plancher perpendiculaire à la direction de l'action sismique

Tableau IV.8 : vérification de l'excentricité

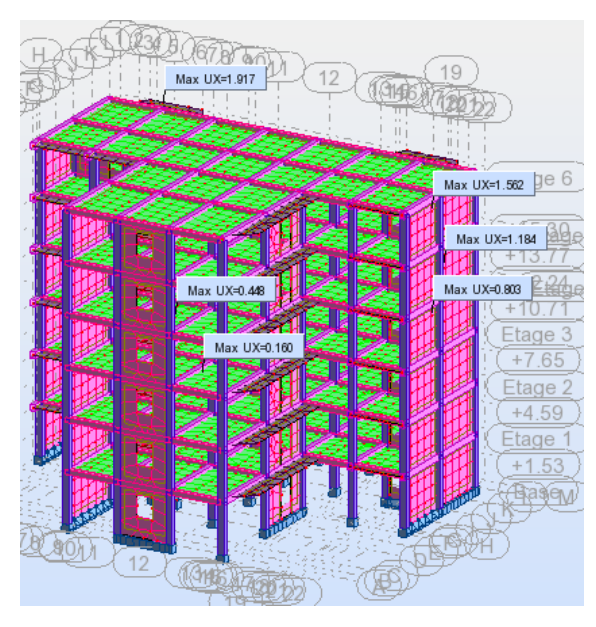
Plancher	L'excentricité théorique		L'excentrici	té accidentelle	$e_{theorique} < e_{acc}$
RDC	0.38	0.80	1.16	0,88	Condition vérifié
1er Etage	0.38	0.80	1.16	0,88	Condition vérifié
2eme Etage	0.38	0.80	1.16	0,88	Condition vérifié
3eme Etage	0.38	0.80	1.16	0,88	Condition vérifié
4eme Etage	0.38	0.80	1.16	0,88	Condition vérifié
5eme Etage	0.44	0.85	1.16	0,88	Condition vérifié

Déplacements et Efforts tranchant de chaque Diaphragme :

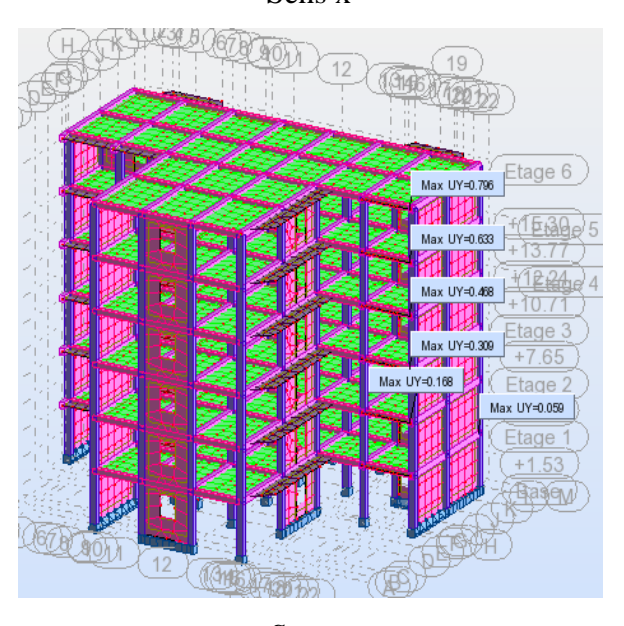
Tableau IV.9: effort tranchant

Plancher	Ux (cm)	Uy (cm)	Vx (KN)	Vy (KN)
RDC	0.160	0.059	1025.89	1420.20
1er Etage	0.448	0.168	976.37	1358.34
2eme Etage	0.803	0.309	884.97	1237.71
3eme Etage	1.184	0.468	756.45	1063.71
4eme Etage	1.562	0.633	586.17	825.94
5eme Etage	1.917	0.796	356.26	496.59

1. Les déplacements :



Sens x



Sens y

Calcul des déplacements:

D'après l'article (Art 5.10) du RPA99, les déformations relatives latérales d'un étage par rapport aux étages qui lui sont adjacents, ne doivent pas dépasser 1% de la hauteur d'étage. Le déplacement horizontal à chaque niveau "k" de la structure est calculé comme suit

$$\delta_k = R \,\, \delta_{ek}$$

δk : déplacement dû aux forces sismiques F_i

R : coefficient de comportement

Le déplacement relatif au niveau "k" par rapport au niveau "k-1" est égal à :

$$\Delta_k = \delta_k$$
 - $\delta_{k\text{-}1}$

Plancher	$U_{x}(m)$	δ _k (m)	$\Delta k(m)$	$U_{y}(m)$	$\delta_{k(m)}$	$\Delta k(m)$	$\Delta k(\mathbf{m})$
RDC	0.00160	0.00640	0.00160	0.00059	0.00236	0.00059	0.0306
1er Etage	0.00448	0,01952	0.00328	0.00168	0.00672	0.00109	0.0306
2eme Etage	0.00803	0,03212	0.00355	0.00309	0.01236	0.00141	0.0306
3eme Etage	0.01184	0,04736	0.00381	0,00468	0,01872	0.00159	0.0306
4eme Etage	0.01562	0,06248	0.00378	0.00633	0,02532	0.00165	0.0306
5eme Etage	0.01917	0.07668	0.00355	0.00796	0.03184	0.00163	0.0306

Tableau IV-10 : Vérification des déplacements au sens (X-X) et (Y-Y)

Le règlement parasismique algérien « RPA 99 version 2003 » impose un déplacement admissible qui de l'ordre de 1% de la hauteur d'étage. Pour notre cas soit égale a 0.0306 pour notre étages, comme est indiquer dans la dernière colonne du tableau précédant.

A partir de l'analyse des résultats de déplacement horizontal calculé pour chaque niveau de la structure et suivant les deux directions on constate :

Les déplacements horizontal de chaque niveau dans la direction x sont plus grande que celle de la direction y, qui peut être justifie par le système de contreventement que nous avons dispose que dans la direction y, qui rigidifie la structure et induit des faible déplacements dans cette direction. Par contre dans la direction x la structure est plus souple qui conduit a des grandes valeurs de déplacements.

Justification vis-à-vis de l'équilibre de l'ensemble :

Vérification au renversement:

Le moment de renversement qui peut être causé par l'action sismique doit être calculé par rapport au niveau de contact sol-fondation.

Le moment stabilisant sera calculé en prenant en compte le poids total équivalent au poids de la construction, au poids des fondations et éventuellement au poids du remblai. La vérification au renversement de la structure s'avère nécessaire pour justifier la stabilité d'un ouvrage sollicité par des efforts d'origine sismique. Donc il faut vérifier que:

$$\sum W_k \cdot b_i > \sum F_k \cdot h_k$$

 $\sum F_k \cdot h_k$: Le moment de renversement qui peut être causé par l'action sismique

Avec:

F_k: La somme des forces sismique a chaque étage k

 h_k : La hauteur d'étage k

 $\sum W_k \cdot b_i$: Le moment stabilisant sera calculé an compte le poids totale de la construction

 W_k : Le poids calculé à chaque niveau k : $W_k = W_{kG} + \beta W_{kQ}$

 W_{kG} : Le poids du aux charges permanant

 W_{kQ} : Le poids du aux surcharges d'exploitation

 b_i : Le centre de gravité de la structure

Sens x:

Plancher	Wk (KN)	Bi (m)	$Wk \times Bi$	Fkx (KN)	hk (m)	$Fkx \times$
						hk
RDC	10747.55	11.54	124026.72	49.52	3.06	151.53
1er Etage	8961.89	11.54	103420.21	91.40	3.06	279.68
2eme Etage	7180.50	11.54	82862.97	127.87	3.06	391.28
3eme Etage	5398.70	11.54	62300.99	160.93	3.06	492.45
4eme Etage	3616.90	11.54	41739.02	239.91	3.06	734.12
5eme Etage	1847.71	11.60	21433.43	356.26	3.06	1090.16
\sum	W_k . b_i	435783.34	$\sum F_k$	$.h_k$	3139.22	

Sens y:

Plancher	Wk (KN)	Bi (m)	$Wk \times Bi$	Fkx (KN)	<i>hk</i> (<i>m</i>)	$Fkx \times hk$
RDC	10747.55	10.39	111666.04	61.86	3.06	189.29
1er Etage	8961.89	10.39	93114.03	120.63	3.06	369.13
2eme Etage	7180.50	10.39	74605.40	174	3.06	532.44
3eme Etage	5398.70	10.39	56092.49	238.71	3.06	730.45
4eme Etage	3616.90	10.39	37579.59	328.41	3.06	1004.93
5eme Etage	1847.71	10.44	19290.09	496.59	3.06	1519.57
\sum	W_k . b_i		392347.64	$\sum F_k$	$.h_k$	4345.81

Pour que le bâtiment soit stable au renversement; il faut vérifie la relation suivante :

$$\frac{M_S = \sum W_k \cdot b_k}{M_R = \sum F_k \cdot h_k} > 1.5$$

Sens x:

M_S M_R		M_S/M_R	Constatation	
435783.34	3139.22	138.82	Condition vérifié	

Tableau IV-11: Vérification au renversement au sens X-X

Sens y:

M_S	M_R	M_S/M_R	Constatation
392347.64	4345.81	90.28	Condition vérifié

Tableau IV-12: Vérification au renversement au sens Y-Y

JUSTIFICATION VIS À VIS DE L'EFFET P-A

Les effets du 2° ordre (ou effet P- Δ) peuvent être négligés dans le cas des bâtiments si la condition suivante est satisfaite à tous les niveaux :

$$\theta = P_k \, \Delta k \, / \, V_k \, h_k \leq 0.10$$

P_k: poids total de la structure et des charges d'exploitation associées au dessus du niveau « k».

Sens x :

Plancher	Pk (KN)	Δkx (m)	Vkx	hk (m)	0	θ<
			(KN)			0.10
RDC	10747.55	0.00160	1025.89	3.06	0,0054	CV
1er Etage	8961.89	0.00328	976.37	3.06	0,0098	CV
2eme Etage	7180.50	0.00355	884.97	3.06	0,0094	CV
3eme Etage	5398.70	0.00381	756.45	3.06	0.0088	CV
4eme Etage	3616.90	0.00375	586.17	3.06	0.0075	CV
5eme Etage	1847.71	0.00355	356.26	3.06	0.0060	CV

Tableau IV-14: Vérification de l'effet P-Δ au sens X-X

Sens y:

Plancher	Pk (KN)	Δky (m)	Vky	hk (m)	•	θ<
			(KN)			0.10
RDC	10747.55	0.00059	1420.20	3.06	0.0014	CV
1er Etage	8961.89	0.00109	1358.34	3.06	0.0023	CV
2eme Etage	7180.50	0.00141	1237.71	3.06	0.0026	CV
3eme Etage	5398.70	0,00159	1063.71	3.06	0.0026	CV
4eme Etage	3616.90	0,00165	825.94	3.06	0.0023	CV
5eme Etage	1847.71	0.00163	496.59	3.06	0.0019	CV

Tableau IV-15: Vérification de l'effet P-Δ au sens Y-Y

Donc : θ < 0.10, on peut négligés l'effet du 2° ordre (ou effet P- Δ) dans toutes les niveaux du bâtiment

IV.9 L'effort normal réduit dans les poteaux:

Selon l'Art (7.4 .3 .1) de RPA [1], dans le but d'éviter ou limiter le risque de rupture fragile sous sollicitations d'ensemble dues au séisme, l'effort normal de compression de calcul est limité par la condition suivante:

$$v = \frac{N_d}{B_a \cdot f_{a20}} \le 0.3$$

Avec:

N_d: Effort normal de compression

B_c: Section du béton comprimé

Si la condition n'est pas vérifiée sur un des éléments d'un étage, cela veut dire que l'élément en question ne résiste pas face à l'effort de séisme et doit changer le pré dimensionnement définie précédemment.

Selon le CBA, dans le chapitre B.8.2 [4], (combinaisons d'actions à considérer) dans l'Article B.8.2.2 (Poteaux soumis aux charges dues à la pesanteur et au séisme), il y a ce qui suit: "Les combinaisons d'action à considérer sont celles données par le DTR.BC 2.48 auxquelles il ya lieu de se référer. Donc pour un ouvrage avec des voiles (mixte) on utilise les combinaisons suivantes:

G + Q + E

 $0.8G \pm E$

Tableau IV-15: Vérification de l'effort normal réduit

Poteau	Br(m2	$N_d(KN)$	ν	Observati
X))		on
30×40	0.120	754.51	0.2	C.V
			5	

Justification du système de contreventement :

Pour le choix du système de contreventement, selon les définitions données par le RPA99 version 2003. On doit calculer le pourcentage des charges verticales et charges horizontales reprisent par les portiques et les voiles, comme présente les tableaux ci-dessous:

✓ Sous charges verticales:

Tableau IV.16: Reprise des charges verticales par les voiles et les portiques

Niveau	Charge	es (KN)	Pourcen	tage %
	Portiques	Voiles	Portiques	Voiles
RDC	-6978,74	-3200,24	66	34
1	-5697,12	-2796,12		
2	-4504,68	-2306,81		
3	-3341,38	-1787,96		
4	-2201,36	-1245,83		
5	-1097,63	-679,76		

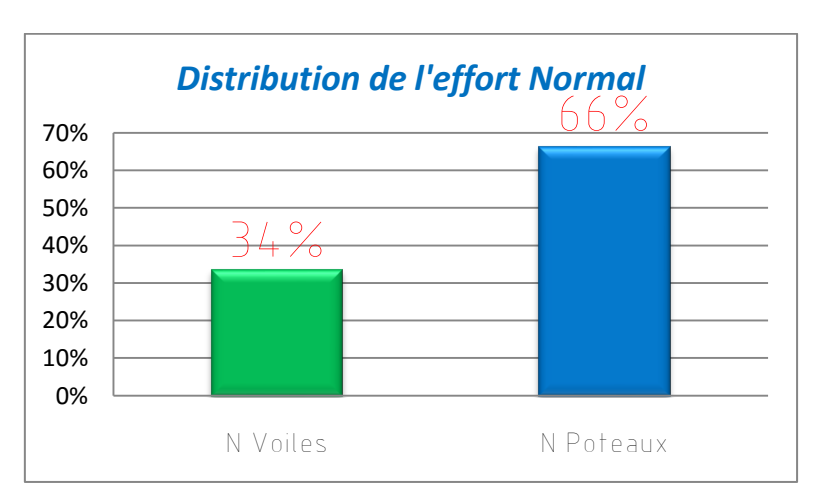


Figure IV.6 : Disposition du voile proposés distribution de l'effort normal

- **✓** Sous charges horizontales
- ✓ **Tableau IV-17**: Reprise des charges horizontales par les voiles et les portiques

Charges (KN) Niveau Pourcentage % **Portiques** Voiles Portiques Voiles $F_{x}(KN)$ $F_{x}(KN)$ $F_{x}(KN)$ $\overline{F_{v}(KN)}$ $F_{v}(KN)$ $F_{x}(KN)$ $F_{v}(KN)$ $F_{v}(KN)$ 09 **RDC** 213,91 811,98 110,07 1310,13 29 18 91 783,99 90,85 1267,49 1 192,38 2 230,29 654,67 100,9 1136,81 3 239,96 516,5 101,57 962,15 4 221,14 365,03 94,69 731,25 5 229,78 126,48 86,08 410,51

 $\mathbf{F}_{\mathbf{x}}$: La charge horizontale suivant X.

F_v: La charge horizontale suivant Y.

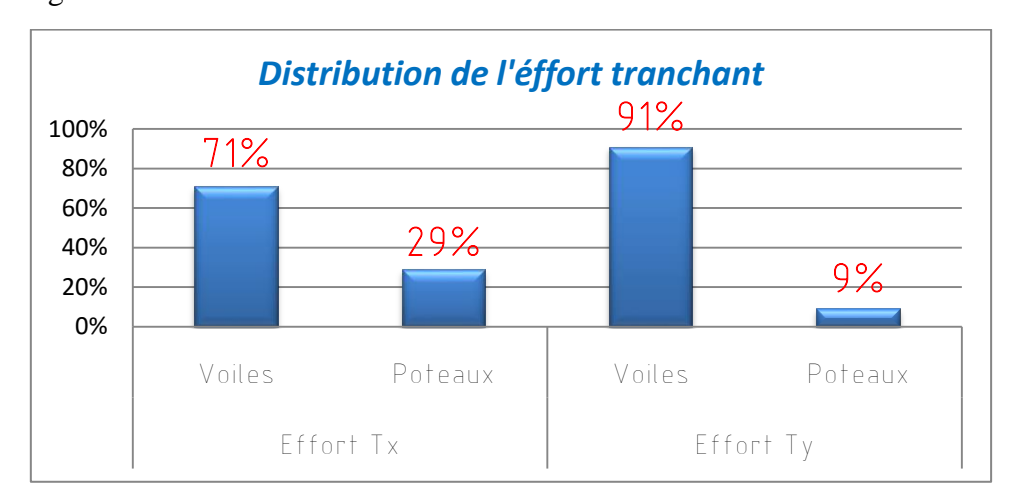


Figure IV.7: distribution de l'effort tranchant

Donc la valeur de comportement R= 4 proposée au début de la modélisation est juste

Distribution des forces sismique selon la hauteur

La résultante des forces sismiques à la base V doit être distribuée sur la hauteur de la structure selon les formules suivantes (art 4. 2.5 RPA99V2003).

$$V_{dy} = F_t + \sum F_i$$
 (formule 4.12 du RPA)

 \mathbf{F}_{ι} : force concentrée au sommet de la structure donnée par la formule suivante :

 $F_t = 0.07 .T.V$

Si T > 0.7 sec

 $F_t = 0$

Si

 $T \le 0.7 \text{ sec On a}: T = 0.34$

 $F_t = 0$

Les forces Fi sont distribuées sur la hauteur de la structure selon la formule suivante :

$$F_i = \frac{(V - F_t)Wh_i}{\sum_{j}^{n} W_j h_j}$$
 (Formule 4.11 du RPA)

Avec:

Fi: effort horizontal revenant au niveau i

h_j: niveau d'un plancher quelconque.

Tableau IV.18: Distribution de la résultante des forces sismiques pour chaque étage selon l'axe x

Niveau	W_{j}	h_j	Σ_1^6 Wi hi	V- F _t	Fi
RDC	10747.55	3.06	32887.50	1025.89	49.52
1 ^{ère} étage	8961.89	6.12	54846.76	1025.89	91.40
2 ^{ème} étage	7180.50	9.18	65916.99	1025.89	127.87
3 ^{ème} étage	5398.70	12.24	66080.08	1025.89	160.93
4 ^{ème} étage	3616.90	15.30	55338.57	1025.89	239.91
5 ^{ème} étage	1847.71	18.36	33923.95	1025.89	356.26
r	Γotal		308993.85	Total	1025.89

 $V_{dy} = \sum F_i = 1025.89KN$

Tableau IV.19 : Distribution de la résultante des forces sismiques pour chaque étage selon l'axe y

Niveau	W_{j}	h _j	Σ_1^6 Wi hi	V- F _t	Fi
RDC	10747.55	3.06	32887.50	1420.20	61.86
1 ^{ère} étage	8961.89	6.12	54846.76	1420.20	120.63
2 ^{ème} étage	7180.50	9.18	65916.99	1420.20	174
3 ^{ème} étage	5398.70	12.24	66080.08	1420.20	238.71
4 ^{ème} étage	3616.90	15.30	55338.57	1420.20	328.41
5 ^{ème} étage	1847.71	18.36	33923.95	1420.20	496.59
,	Total		308993.85	Total	1420.20

 $V_{dy} = \sum Fi = 1420.20KN$

IV.5. Conclusion

Après plusieurs essais sur la disposition des voiles de contreventement, et en équilibrant entre le critère de résistance et le critère économique, nous avons satisfaire toutes les conditions exigées par le RPA99/2003, ce qui nous permet de garder notre modèle et de passer au calcul des éléments structuraux

Chapitre V: Ferraillage des éléments

principaux

V.1 Introduction

Notre structure est un ensemble tridimensionnel des poteaux, poutres et voiles ,liés rigidement et capable la totalité des forces verticales et horizontale (ossature auto stable). Les poteaux et les voiles sont soumise à des effort normaux, des efforts tranchants et à des moment fléchissant et seront donc calculés en flexion composée

Les poutres sont soumises aux moments fléchissant et des efforts tranchants, donc elles sont calculées à la flexion simple.

Après l'évaluation des charges et surcharges revenait à chaque élément de la structure porteuse du bâtiment étudié (poteaux, poutres et voiles) vient le calcul du ferraillage .ce dernier est réalisé en respectant les règles de calcul en vigueur en Algérie (CBA93 BAEL91 et RPA99/2003

V.2 Caractéristiques mécanique

V. 2.1 ETUDE des poteaux

Les poteaux sont des éléments verticaux destinés à reprendre et transmettre les Sollicitation (effort normaux fléchissant) à la base de la structure.

Leur ferraillage se fait à la flexion composée selon les combinaisons de sollicitations Les plus défavorables introduites dans le logiciel ROBOT dans l'ordre suivant :

- ✓ (RPA99/2003)
- ✓ Effort normal maximal et le moment correspondant : $N_{max} \rightarrow M_{correspondant}$
- ✓ Effort normal minimal et le moment correspondant : $N_{min} \rightarrow M_{correspondant}$
- ✓ Moment maximum et effort normal correspondant : $M_{max} \rightarrow N_{correspondant}$

Les combinaisons utilisées pour la détermination de sollicitations précédentes sont :

✓ 1.35G+1.5Q.
 ✓ G+Q±Ex.
 ✓ G+Q±Ey.
 ✓ 0.8G±Ex.
 ✓ 0.8G±Ey.
 5

V.2.2 Ferraillages des poteaux

V5.2.2.1 Les armatures longitudinales

Les armatures longitudinales doivent être à haute adhérence, droites et sans crochets.

- ✓ leur pourcentage minimale sera de : 0,8% (zoneIIa).
- ✓ Leur pourcentage maximale sera de:

- 4% en zone courante.
- -6% en zone de recouvrement.
- ✓ Le diamètre minimum est de12mm.
- ✓ La longueur de recouvrement est de 5Φ
- ✓ La longueur minimale des recouvrements est de 40 (zone II).
- ✓ La distance entre les barres verticales dans une face du poteau ne doit pas dépasser: 25 cm (zone IIa).
- ✓ Les jonctions par recouvrement doivent être faites si possible, à l'extérieur des zones nodales (zones critiques).

La zone nodale est définie par l' et h':

$$l'= 2h$$

$$h' = \max(\frac{h_e}{6}, b_1, 60)$$

b₁ et h₁: La section du poteaux considéré

h_e: La hauteur d'étage.

Les armatures transversales sont déterminées à partir des formules du BAEL 91 modifiée 99 Et celles du RPA99 version 2003 ; elles sont données comme suit:

$$\begin{cases} S_t \leq \min\{0.9h; 40cm\} \\ \Phi_t \leq \min(\frac{h}{35}, \frac{b}{10}, \Phi_1) \\ \frac{A_t f_e}{bS_t} \leq \max(\frac{\tau_u}{2}, 0.4MPa) \end{cases}$$
 Selon BAEL 91 (Article)

At: Section d'armatures transversales

B: Largeur de la section droit

H: La hauteur de la section droite

 S_t : Espacement des armatures transversales

 Φ_t : Diamètre des armatures transversales

 Φ_{l} : Diamètre des armatures longitudinales

$$\frac{A_t}{S_t} = \frac{\rho_a T_u}{h f_e}$$

Avec:

A_t: Section d'armatures transversales

S_t: Espacement d'armatures transversales

T_u: Effort tranchant à l'ELU

f_e : Contrainte limite élastique de l'acier d'armature transversales

h: La hauteur totale de la section brute

 ρ_a : Coefficient correcteur qui tient compte du mode fragile de la rupture par l'effort tranchant

Dans la zone nodale: t≤ min($10Φ_1$, 15cm)en zone 1 et 2 **Dans la zone courant:** t≤min $15Φ_1$en zone 1 et 2

V. 2.1.2 Détermination des armatures transversales:

Les armatures transversales seront calculées suivant les conditions du RPA99.

a) Condition de R.P.A.99

- La quantité d'armature transversal minimale en zone III est donnée par:

$$\frac{A_t}{s_t \cdot b} = \begin{cases} 0.3\% & \text{si } \lambda \ge 5 \\ \frac{10}{\lambda^2} & \text{si } 3 \le \lambda \le 5 \\ 0.9\% & \text{si } \lambda < 3 \end{cases}$$

Ou:

λ: l'élancement géométrique du poteau ($λ_g = \frac{l_f}{a}$)

- L'espacement entre les armatures transversales est donné par :

■ zone recouvrement : $S \le 10$ cm

• zone de courant : $S_t \le \min(b/2, h/2, 10\phi)$

V.2.3 Calcule Ferraillage des poteaux

Tableau V.1: Ferraillage des poteaux sous combinaisons ($N_{max} \rightarrow M_{corres}$)

		_		
	Po			
Niveau	Section	$F_{\mathbf{x}}$	$M_{\text{max}}(KN.m)$	T _{max} (KN)
RDC, 1 er à 5 étages	30× 40	754.51 Barre 21 Cas 6	27.72	-20.09

Tableau V.2: Ferraillage des poteaux sous combinaison ($N_{min} \rightarrow M_{corres}$)

	Pote	Poteau $(N_{min} \rightarrow M_{corre})$							
Niveau	Section	Section F _x M _{max}							
RDC, 1 ^{er} à 5 étages	30×40	-742.23 Barre 18 Cas13	-21.72	35.81					

	Pote			
Niveau	Section	F_x	M_{max}	T _{max} (KN)
RDC, 1 er à 5 étages	30×40	543.97	33.06 Barre 495 Cas 9	-23.38

Tableau V.3: Ferraillage des poteaux sous ($M_{corres} \rightarrow N_{max}$)

V.2.3.1 Armature longitudinales

Nous exposerons un exemple de calcul pour les poteaux du niveau RDC et les reste des résultats de ferraillage des autres niveaux seront donnés dans un récapitulatif. On prend le signe (-) dans la compression et le signe (+) dans la traction

$$ightharpoonup 1^{er} cas: N_{max} \rightarrow M_{corre}$$

$$N_{max} = 754.51KN$$

$$M_{corresp} = 27.72 \text{KN.m}$$

$$T_{\text{max}} = -20.09 \text{KN}$$

$$e=e_0 + e_2 + e_a$$

Avec:

e₀ : Excentricités de la résultante,

e₂: Excentricités due aux effets du second ordre lié à la déformation de la structure,

e_a: Excentricités additionnelle traduisant les imperfections géométriques initiales.

• Calcul l'excentricité de la résultante

$$e_0 = \frac{M_u}{N_u} = \frac{27.72}{754.51} = 0.036 \text{ m} = 3.6 \text{cm}$$

• Calcul l'excentricité additionnelle:

$$e_a = \max (2cm, \frac{L}{250})$$

L: Longueur de la pièce (BAEL)

$$e_a = \max (2 \text{ cm}, \frac{306}{250} \text{ cm})$$

$$e_a = 2cm$$

$$e_1 = e_0 + e_a = 0.036 + 0.02 = 0.056 m$$

• Calcul l'excentricité due aux effets du second ordre:

L'excentricité du deuxième ordre (e₂) liée a la déformation de la structure pour déterminer

l'excentricité du second ordre,

$$\frac{L_f}{h} \le Max (15, 20 \frac{e_1}{h})$$

$$\rightarrow \frac{2.14}{0.4} \le \max(15; 20\frac{0.056}{0.4})$$

Donc le calcul se faire dans la flexion composée, On détermine e₂ l'excentricité due aux effets du second ordre: (CBA93)

$$e_2 = \frac{3Lf^2}{h_10^4}(2+\alpha\Phi) = \frac{3\times 2.14^2}{0.4\times 10^4}(2+0.80\times 2) = 0.012$$

 $\Phi = 2$

$$\alpha = \frac{M_G}{M_Q + M_G} = \frac{16.7}{4.15 + 16.7} = 0.80$$

Donc:

$$e_t = e_1 + e_2 = 0.056 + 0.012 = 0.068m = 6.8cm$$

$$M_2 = (N_u - (b \times h \times f_{bu})(\frac{h}{2} - d') = (754.51 - (0.3 \times 0.4 \times 14.17)(\frac{0.4}{2} - 0.04)$$

 $M_2 = 754.23$ KN.m

$$M_3 = N_u(\frac{h}{2} - d') - (0.337h - 0.81d') \times (b \times h \times f_{bu})$$

$$M_3 = 754.51(\frac{0.4}{2} - 0.04) - (0.337 \times 0.4 - 0.81 \times 0.04)(0.3 \times 0.4 \times 14170) = -53.39 \text{ KN.m}$$

$$\Psi = \frac{0.3754 \times b \times h^2 \times f_{bu} + N_u \left(\frac{h}{2} - d'\right) - M_u}{(0.871h - d')b \times h \times f_{bu}}$$

$$\Psi = \frac{0.3754 \times 0.3 \times 0.4^2 \times 14170 + 754.51 \left(\frac{0.4}{2} - 0.04\right) - 27.72}{(0.871 \times 0.4 - 0.04)(0.3 \times 0.4 \times 14170)} = 0.66$$

Donc $\Psi \le 0.66$: La section est partiellement tendue et le calcul sera fait par assimilation à la flexion simple;

$$M_{ua} = M_u + N_u (d - \frac{h}{2})$$

$$M_{ua}=27.72+754.51(0.36-\frac{0.4}{2})=148.44KN.m$$

$$\mu_{bu} = \frac{M_{ua}}{bd^2\mu_{bu}} = \frac{148.44 \times 10^6}{300 \times 360^2 \times 14.17} = 0.269$$

$$\mu_{bu} = 0.269 < \mu_l = 0.392$$

$$\mu_{bu} = 0.269 \rightarrow \begin{cases} \alpha = 1.25 \left(1 - \sqrt{1 - 2\mu}\right) = 0.4011 \\ Z = d(1 - 0.4\alpha) = 0.302 \text{ m} \end{cases}$$

$$A_{\rm u} = \frac{M_{\rm ua}}{Z.\delta_{\rm s}} = \frac{148.44 \times 10^6}{302 \times 347.8} = 1413.23 \ mm^2 = 14.13 cm^2.$$

On revient à la flexion composée :

$$A = A_1 - \frac{N_u}{f_{st}} = 1413.23 - \frac{754.51 \times 10^3}{347.8} = -756.14 mm^2 = 7.56 cm^2$$

$$\triangleright$$
 2^{éme} cas : N_{min} \rightarrow M_{corress}

$$N_{min} = -742.32$$
KN

$$M_{max} = -91.72$$
KN.m

$$T_{max} = 35.81 \text{KN}$$

$$e_G = \frac{M_u}{N_u} = \frac{-91.72}{-742.32} = 0.123$$
m

$$e_G \le d - \frac{h}{2} = (36 - \frac{40}{2}) \to 12.3 < 16cm$$

$$M_u = +N_u \left(d - \frac{h}{2} + e_G\right) = -742.32 \times \left(0.36 - \frac{0.4}{2} + 0.123\right) = -210.07KN.m$$

$$A_1 = \frac{M_u}{(\boldsymbol{d} - \boldsymbol{d}')\boldsymbol{\sigma_s}} = \frac{-91.72 \times 10^6}{(360 - 40)347.82} = 824mm^2 = 8.24cm^2$$

$$A_2 = \frac{N_u}{\sigma_s} - A_1 = \frac{-742.32}{347.82} + 824.06 = -1309.94mm^2 = 13.09cm^2$$

$$A = A_1 + A_2 = 21.33 cm^2$$

Calcul
$$A_{min}$$

Calcul
$$A_{min}$$

 $A_{min} = \frac{B \times f_{t28}}{f_e} = 8.4 cm^2$

$$3^{\text{\'eme}}$$
 cas : $M_{\text{max}} \rightarrow N_{\text{corress}}$

$$M_{max} = 33.06 \text{ KN.m}$$

$$N_{corresp} = 543.97KN$$

$$T_{max} = -23.38KN$$

$$e = e_0 + e_2 + e_a$$

Avec:

e₀: Excentricités de la résultante,

e2 : Excentricités due aux effets du second ordre lié à la déformation de la structure,

e_a: Excentricités additionnelle traduisant les imperfections géométriques initiales.

• Calcul l'excentricité de la résultante

$$e_0 = \frac{M_u}{N_u} = \frac{33.06}{543.97} = 0.060$$
m =6cm

• Calcul l'excentricité additionnelle:

$$e_a = max (2cm, \frac{L}{250})$$

L: Longueur de la pièce (BAEL)

$$e_a = max (2cm, \frac{306}{250})$$

$$e_a = 2cm$$

$$e_1 = e_0 + e_a = 0.06 + 0.02 = 0.08m$$

• Calcul l'excentricité due aux effets du second ordre:

L'excentricité du deuxième ordre (e₂) liée à la déformation de la structure .pour détermine l'excentricité du second ordre,

$$\frac{L_f}{h} \le Max (15, 20 \frac{e_1}{h})$$

$$\to \frac{2.14}{0.4} \le \max (15; 20 \frac{0.08}{0.4})$$

Donc le calcul se faire dans la flexion composée

On déterminee₂ l'excentricité due aux effets du second ordre : (CBA93) e₂

$$e_2 = \frac{3Lf^2}{h_10^4}(2+\alpha\Phi) = \frac{3\times2.14^2}{0.4\times10^4}(2+0.80\times2) = 0.012$$

$$\Phi = 2$$

$$\alpha = \frac{M_G}{M_O + M_G} = \frac{16.7}{4.15 + 16.7} = 0.80$$

Donc:

$$e_t = e_1 + e_2 = -0.012 + 0.08 = 0.09 \text{m} = 9 \text{cm}$$

$$M_2 = (N_u - (b \times h \times f_{bu})(\frac{h}{2} - d^2) = (543.97 - (0.3 \times 0.4 \times 14.17)(\frac{0.4}{2} - 0.04))$$

 $M_2 = 543.68 \text{KN.m}$

$$\begin{aligned} \text{M}_3 = &\text{N}_{\text{u}}(\frac{\text{h}}{2} - \text{d'}) - (0.337 \text{h} - 0.81 \text{d'}) \times (\text{b} \times \text{h} \times \text{f}_{\text{bu}}) = 543.97(\frac{0.4}{2} - 0.04) - (0.337 \times 0.4 - 0.81 \times 0.04)(0.3 \times 0.4 \times 14170) = -87.0873 \end{aligned}$$

$$\Psi = \frac{0.3754 \times b \times h^2 \times f_{bu} + N_u \left(\frac{h}{2} - d'\right) - M_u}{(0.871h - d')b \times h \times f_{bu}}$$

$$\Psi = \frac{0.3754 \times 0.3 \times 0.4^2 \times 14170 + 543.97 \left(\frac{0.4}{2} - 0.04\right) - 33.06}{(0.871 \times 0.4 - 0.04)(0.3 \times 0.4 \times 14170)} = 0.58$$

Donc $\Psi \le 0.58$: La section est partiellement tendue et le calcul sera fait par assimilation à la flexion simple;

$$M_{ua} = M_u + N_u (d - \frac{h}{2})$$

$$M_{ua} = 33.06 + 543.97(0.36 - \frac{0.4}{2}) = 120.09 \text{KN.m}$$

$$\mu_{bu} = \frac{M_{ua}}{bd^2\mu_{bu}} = \frac{120.09 \times 10^6}{300 \times 360^2 \times 14.17} = 0.217$$

$$\mu_{bu} = 0.217 < \mu_l = 0.392$$

$$\mu_{bu} = 0.217 \rightarrow \begin{cases} \alpha = 1.25 \big(1 - \sqrt{1 - 2\mu} \;\big) = 0.309 \\ Z = d(1 - 0.4\alpha) = 0.315 \; m \end{cases}$$

$$A_u = \frac{M_{ua}}{Z.\delta_s}$$

$$A_{\rm u} = \frac{120.09 \times 10^6}{315 \times 347.8} = 1096.14 \; \text{mm}^2 = 10.96 \; \text{cm}^2.$$

On revient à la flexion composée :

$$A = A_1 - \frac{N_u}{f_{st}} = 1096.14 - \frac{543.97 \times 10^3}{347.8} = 364.80 mm^2 = 3.64 cm^2$$

Après le calcul des sections longitudinale dans les 3cas; on obtenu la combinaison plus défavorable

La section d'acier minimale:

Selon BAEL91:

 A_{min} = max (4cm de périmètre; 0.2%.b.h) = max (8.4; 2.4) cm² \rightarrow A_{min} = 8.4 cm²

Condition de non fragilité:

$$A_{min} = \frac{Bf_{t28}}{f_e} = \frac{1200 \times 2.1}{400} = 6.3 cm^2$$
 Selon RPA99/Version 2003:

$$\mathbf{A_{min}} = 0.9\% \times b \times h \rightarrow \mathbf{A_{min}} = 0.009 \times 30 \times 40$$

$$\mathbf{A_{min}} = 10.8 \text{cm}^2$$

La section d'acier maximale :

Selon BAEL91:

$$\mathbf{A_{max}} = 5\% \times \mathbf{b} \times \mathbf{h} = 5\% \times 30 \times 40 = 60 \text{cm}^2$$

Selon RPA99/Version 2003:

En zone courante:

$$A_{max} = 6\% \times b \times h = 6\% \times 30 \times 40 = 72 \text{cm}^2$$

Armatures finales:

$$\mathbf{A_f} = \max(\mathbf{A_{calc}}, \mathbf{A_{BAEL}}, \mathbf{A_{RPA}}) = 10.8 \text{cm}^2$$

Le tableau ci –après résume les résultats de ferraillage des poteaux des différents niveaux

Tableau V.4: Ferraillage longitudinal des poteaux

Niveau	Section	A (cm²)	A _{min}	A adoptée	Barres
RDC, 1 ^{er} à 5 étages	30x40	21.33	8.4	25.13	8HA20

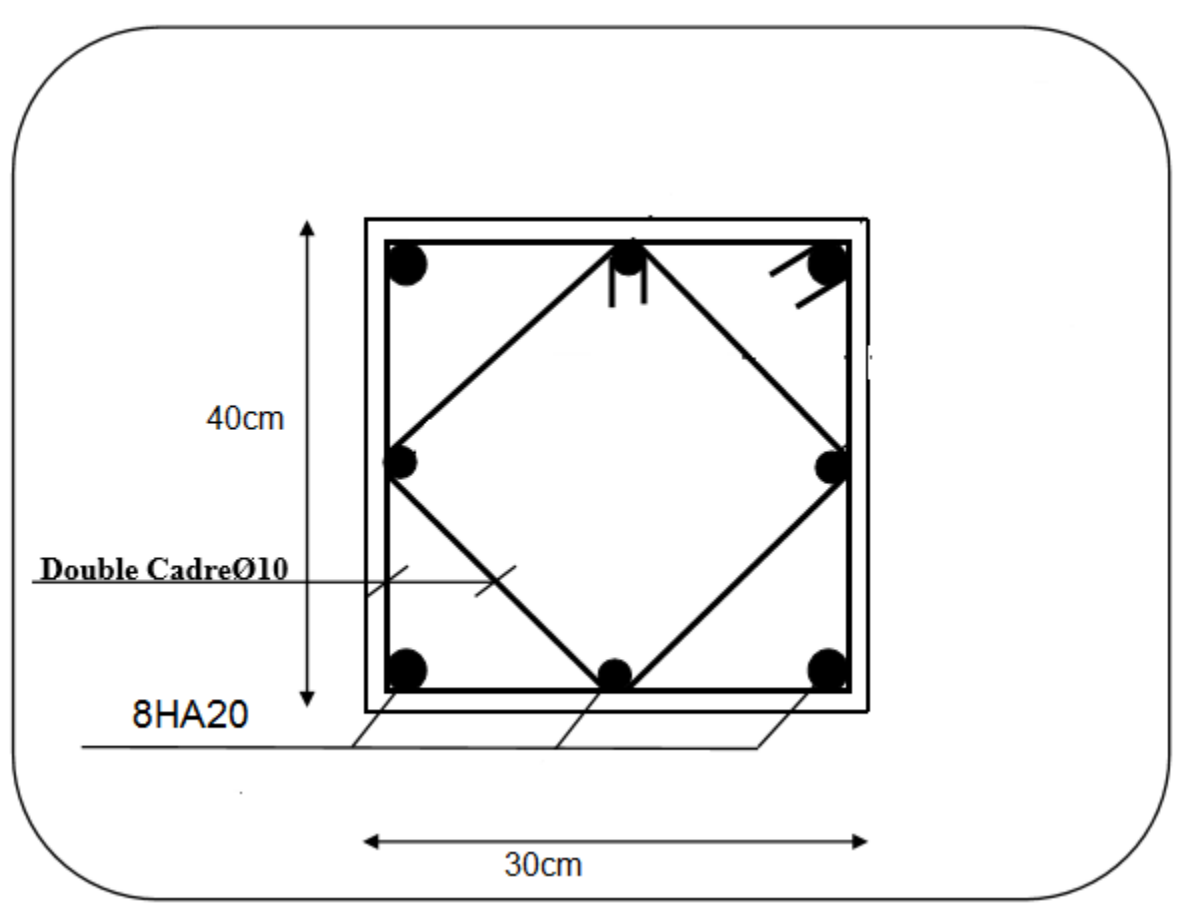


Figure V.1 Schéma de ferraillage des poteaux

V .2.3.2 Vérification de l'effort tranchant:

Vérification de la contrainte de cisaillement:

> Justification des poteaux sous l'effet de l'effort tranchant :

- La contrainte de cisaillement est exprimée en fonction de l'effort tranchant à L'ELU par :

$$\tau_u = \frac{T}{bd}$$

Avec:

 τ_u : Contrainte de cisaillement

T: l'effort tranchant de la section étudiée.

d: la hauteur utile

b : la largeur de la section étudiée

- La contrainte de cisaillement est limitée par une contrainte admissible au égale à :

*selon BAEL91 : $\tau = \min (0.15 f_{c28,4} MPa)$ *selon RPA99 : $\tau = \rho_b \cdot f_{c28} \Rightarrow \{\rho_b = 0.075 \rightarrow \lambda_g > 5 \}$

$$\Rightarrow \{ \rho_b = 0.05 \rightarrow \lambda_g \prec 5 \}$$

Avec : λ : l'élancement du poteau $\lambda = \frac{l_f}{i}$

i: le rayon de giration
$$i = \left(\frac{I}{B}\right)^{\frac{1}{2}}$$

 l_f : Longueur de flambement

I : le moment d'inertie de la section du poteau dans la direction considérée.

B: la section du poteau.

$$\lambda_g = \frac{L_f}{g} = \frac{2.14}{0.3} = 7.13 \rightarrow \lambda_g > 5$$

- les résultats des calculs des contraintes de cisaillement dans les poteaux les plus sollicitées à chaque niveau dans les deux directions sont récapitulées dans le tableau suivant:

Tableau V.5: Calculs des contraintes de cisaillement

Niveau	Section	$T_{\max}(KN)$	τ(MPA)	Р	$\overline{ au}(MPA)$	$\overline{ au_{{\scriptscriptstyle BAEL}}}({\scriptscriptstyle MPA})$	$ au \prec \overset{-}{ au}$
RDC ,1 ^{er} à 5 ^{eme} étage		20.09	0.186	0.075	1.875	3.75	ok

V.2.3.3 Ferraillage transversale:

Les armatures transversales sont calculées suivants les règlements

* Selon le BAEL91

$$\phi_t \leq \min(\frac{h}{35}; \frac{b}{10}; \phi_l)$$

*Selon le RPA99:

Les armatures transversales sont calculées à partir de la formule suivante:

$$\frac{A_t}{S_{\star}} = \frac{\rho_a T_u}{hfe}$$

Avec:

h: hauteur de la section brute.

 T_u : effort tranchant de calcul.

 $\mathbf{f_e}$: contrainte limite élastique des armatures transversale.

 ρ_a : Coefficient correcteur qui tient compte du mode fragile de la rupture par l'effort tranchent, il est pris égal à :

$$\begin{cases} \rho_a = 2,5....si\lambda_g \ge 5 \\ \rho_a = 3,75....si\lambda_g < 5 \end{cases}$$

 S_t : espacement des armatures transversales dont la valeur maximale est fixée en **zone 2a** comme suit:

• En zone nodale: $S_t \leq \min(10\phi_t; 15cm)$

• Dans la zone courante: $S_t \le 15\phi_t$

Le choix des armatures transversales est regroupé dans le tableau suivant :

Tableau V.6 ferraillage des armatures transversales

Niveau	Section (cm ²)	$L_{\rm f}$	$T_{u(KN)}$	Zon e	S _t	$\lambda_{ m g}$	A _{t calcu}	choix	$\begin{array}{c} A_{adopte} \\ \text{(cm}^2) \end{array}$
RDC,1 ^{er}	30×40	2.14	20.09	N	10	2.5	0.31	6T8	3.06
à 5 ^{eme} étage				С	15				3.06

 $\mathbf{S_t}$: espacement des armatures transversales dont la valeur maximale est fixée en zone 2 comme suit :

En zone nodale : $S_t \leq \min(10\phi_t; 15cm)$

Dans la zone courante : $S_t \le 15\phi_l$

Conformément aux règles du RPA 99/03 et au BAEL 91, le diamètre des armatures transversales doit être supérieur au tiers du maximum des diamètres des armatures longitudinales.

$$\phi t \ge \frac{1}{3} \phi_t^{\text{max}} \Longrightarrow 8 > \frac{20}{3} = 6.66....CV$$

Longueur de recouvrement:

La longueur minimale de recouvrement est de L_r =40 Φ en zone 2b

Vérification vis-vis de l'ELS:

Les contraintes sont calculées à l'état limite de service sous (M_{ser}N_{ser}) puis elles sont comparées aux contrainte admissible par:

$$\begin{cases} \sigma_{bc} = \frac{M_{ser} \times Y}{I} \le \sigma_{bc} = 0.6 f_{c28} = 15 \text{MPa} \\ \sigma_{s} = \frac{M_{ser} \times (d-y)}{I} \le \sigma_{s} = (\frac{2}{3} f_e; 110 \sqrt{n f_{tj}} = 201.63 \text{MPa} \end{cases}$$

Le tableau ci -après résume les résultats de vérification à l'ELS des poteaux :

Niveaux Vérificatio section M_{ser} N_{ser} $\sigma_{\rm b}$ σ_{s} σ_{bc} σ_{s} cm^2 n RDC,1 er 30×40 43.44 549.74 5.82 8.15 15 201.63 Oui à5 étage

Tableau V.7: les vérifications à l'ELS

V. 3 Ferraillage des poutres

Les poutres sont des éléments non exposée aux intempéries et sollicitée par des moments de flexion et des efforts tranchants, donc le calcul se fera en flexion simple, à partir du règlement BAEL91 puis on se rapportera au règlement du RPA99 /2003 pour vérifier le ferraillage minimum qui est en fonction de section du béton, avec les sollicitations les plus défavorable en considérant la fissuration comme étant peu préjudiciable

V.3.1 Les combinaisons d'action:

En fonction de type de sollicitation .Nous distinguons les différentes combinaisons suivantes :

- Selon B.A.E.L91 : (combinaison fondamentale)
- ELU1.35G+1.5Q
- ELSG+Q
- Selon RPA99 : situation accidentelle)
- G+Q±*E*
- 0.8G+E avec E : charge due à la force sismique
- La combinaison (1.35G+1.5Q) nous permet de déterminer le moment maximum;
- La combinaison (G+Q±E) donne le moment négatif maximum en valeur absolue, sur les appuis et permettre de déterminer le ferraillage au niveau des appuis
- La combinaison (0.86 ±E) nous permettra de déterminer le moment négatif ou positif
- Minimum en valeur absolue sur les appuis et permettra dans le cas ou M> 0 de déterminer le ferraillage au niveau des appuis

V .3.2 Ferraillage longitudinale

> Recommandations de l'RPA99 version 2003:

Le pourcentage minimum des aciers longitudinaux est de 0.5% de la section du béton seul.

Le pourcentage maximum est de : 4% en zone courante $(0.5\%B \le A_s \le 4\%B)$.

: 6% en zone de recouvrement $(0.5\%B \le A_s \le 6\%B)$.

La longueur minimale de recouvrement est de 50Ø en zone 2; le ferraillage se fera par le portique le plus sollicité par niveau selon les deux sens (sens porteur et sens non porteur).

V .3.3 Ferraillage des poutres:

V.3.3.1 Poutre Secondaire:

a) Les armatures transversales:

Pour le calcul des poutres on doit trouver les valeurs des moments sur appuis et en travées. dans ce qui suit on présente le diagrammes de ces moments.

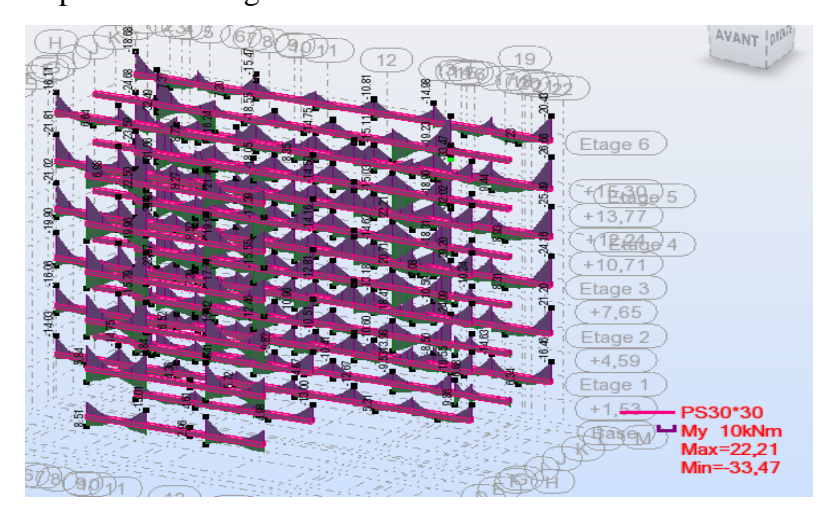


Figure V.2 diagramme des moments en travée et sur appuis pour la poutre secondaire Pour le calcul on va prendre les moments maximums (en travée et sur appui). D'après les résultats du logiciel **ROBOT**

Tableau V.8: Sollicitations de la poutre principale.

	En travée	En appuis
Section	M _{max}	M _{max}
30× 40	22.21	-33.47

• Ferraillage à la combinaison:

> Ferraillage en travée:

$$M_{t \text{ max}} = 22.21 \text{KN.m}$$

$$h = 30 \text{ cm}$$
; $b = 30 \text{ cm}$; $d = 0.9 \times h = 27 \text{ cm}$

$$\mu = \frac{M_U}{bd^2 f_{bu}}$$

$$f_{bu} = \frac{0.85 \times f_{c28}}{\theta \times \gamma_b} = \frac{0.85 \times 25}{1 \times 1.5} = 14.17 MPa$$

$$\mu = \frac{M_U}{bd^2f_{\rm bu}} = \frac{22.21 \times 10^6}{300 \times 270^2 \times 14.17} = 0.071$$

 μ < 0.186 \Rightarrow donc il n'est pas nécessaire de mettre des armatures comprimées On se trouve dans le domaine 1,

$$\mu_{\rm bu} = 0.071 < \mu_{\rm l} = 0.392$$

$$\mu_{bu} = 0.071 \rightarrow \begin{cases} \alpha = 1.25 \big(1 - \sqrt{1 - 2\mu} \;\big) = 1.25 \big(1 - \sqrt{1 - 2 \times 0.071}\big) = 0.0921 \\ Z = d(1 - 0.4\alpha) = \ 260.08 mm \end{cases}$$

$$A_{\rm u} = \frac{M_{\rm ua}}{Z.\,\delta_{\rm s}} = \; \frac{22.21\times 10^6}{260.08\times 347.8} = 245.53 {\rm mm}^2 = 2.455 \; {\rm cm}^2. \label{eq:au}$$

On prend: $3HA16 = 6.03cm^2$

Vérification de la condition de non fragilité:

$$A_{min} = 0.23 \times b \times d \times \frac{f_{t28}}{f_e} = 0.23 \times 300 \times 270 \times \frac{2.1}{400} = 97.80 mm^2 = 0.978 cm^2$$

$$A_S = max (A_{min}, A_{CAL}) = max(0.97; 2.455) \rightarrow A_S = 2.45 cm^2$$

> Ferraillage en appui :

$$M_{a \text{ max}} = -33.47 \text{KN.m}$$

$$h = 30cm$$
; $b = 30 cm$; $d = 0.9 \times h = 27cm$

$$\mu = \frac{M_U}{bd^2 f_{bu}}$$

$$f_{bu} = \frac{0.85 \times f_{c28}}{\theta \times \gamma_b} = \frac{0.85 \times 25}{1 \times 1.5} = 14.17 MPa$$

$$\mu = \frac{M_U}{bd^2f_{hu}} = \frac{33.47 \times 10^6}{300 \times 270^2 \times 14.17} = 0.108$$

 μ < 0.186 \Rightarrow donc il n'est pas nécessaire de mettre des armatures comprimées:

On se trouve dans le domaine 1.

$$\begin{cases} \alpha = 1.25 \left(1 - \sqrt{1 - 2\mu}\right) = 1.25 \left(1 - \sqrt{1 - 2 \times 0.108}\right) = 0.1432 \\ Z = d(1 - 0.4\alpha) = 0.254 \text{ m} = 254 \text{mm} \end{cases}$$

• Section des armatures:

$$A_{\rm u} = \frac{M_{\rm ua}}{Z.\delta_{\rm s}} = \frac{33.47 \times 10^6}{254 \times 347.8} = 378.87 \text{ mm}^2 = 3.788 \text{ cm}^2$$

On prend: 3HA16 + 2HA12=8.29cm²

Vérification de la condition de non fragilité:

$$A_{min} = 0.23 \times b \times d \times \frac{f_{t28}}{f_e} = 0.23 \times 300 \times 254 \times \frac{2.1}{400} = 92.011 \text{mm}^2 = 0.92 \text{cm}^2$$

$$A_S = max (A_{min}, A_{CAL}) = max(0.92; 3.788) \rightarrow A_S = 3.788 cm^2$$

Position $M_{\rm u}$ Α U_{bu} A_{min} (cm^2) (cm^2) (cm²)Travée 22.21 30 30 27 0.071 0.092 260 2.45 0.97 3HA16= 6.03 Appuis -33.47 30 30 27 0.108 0.143 254 3.788 0.92 3HA16+2HA 12 = 8.29

eau V.9: Ferraillage des poutres principales.

Vérification du ferraillage des poutres principales:

Section minimale: RPA 99

$$A_{min} = 0.5\%$$
 (b x h) = 0.005 (30*30) = 4.5cm².

Section maximale: RPA 99

4% b*d : En zone courante (A_{min}= 0.04*30*30 = 36cm²).

6% b*d : En zone de recouvrement ($A_{min} = 0.06*30*30 = 54$ cm²).

- ➤ Vérification à L'ELU :
- > Vérification de la contrainte de cisaillement:

$$\tau_{"} \leq \overline{\tau}_{"}$$

Fissuration préjudiciable: $\tau_u = \min(0.15 \times \frac{f_{c28}}{\gamma_c}; 4MPa) = 2.5MPa$

Soit l'effort tranchant maximum est T_{max}=14.64KN

$$\tau_u = \frac{V_u}{h \times d} = \frac{14640}{300 \times 270} = 0.180 \text{ MPa}$$

$$\tau_u \leq \overline{\tau}_u$$
 condition vérifiée

Calcul du ferraillage transversal:

Avec: b = 30cm; d = 27cm

Calcul de la section des armatures transversales:

Choix du diamètre:

On a:
$$\Phi_t \leq \min(\frac{h}{35}; \frac{b}{10}; \Phi_{min}) = (8.57; 30; 12)$$

Soit: $\Phi_t = 10$ mm

On prend: Φ_t =8mm

Espacement des barres

$$S_t \le \min(0.9 \times d; 40cm)$$

$$S_{t} \leq \min(0.9 \times 27; 40 \text{cm}) \rightarrow S_{t} = 24.3 \text{cm}$$

$$\frac{A_{t} \times f_{e}}{0.4 \times b} \geq \max(\frac{\tau_{u}}{2}; 0.4 \text{MPa})$$

$$\frac{A_t \times f_e}{0.4 \times h} \ge \max \left(\frac{\tau_u}{2} ; 0.4 \text{MPa} \right)$$

$$A_t \ge \frac{0.4 \times 300 \times 243}{400} = 72.9 \text{mm}^2 = 0.72 \text{cm}^2$$

Soit $A_t = 4HA8 = 2.01 \text{ cm}^2$

l'espacement entre les armatures d'âme doit être le plus faible des valeurs suivantes :

- d'aprés RPA99 :
$$S_t \le min(h/4; 12\emptyset_L) = 7.5cm...$$
zone nodale.

$$S_t \le h/2 = 15cm...$$
 zone courant.

On adopte:

- $S_t=10$ cm En zone nodale
- $S_t = 15$ cm En zone courante

d'aprés BAEL91 : $S_t \leq min(0.9 \times 27; 40cm) \rightarrow S_t = 24.3$

$$S_t \le \frac{A_t \times f_e}{0.4 \times b} = \frac{2.01 \times 400 \times 10^2}{0.4 \times 300} = 67 \text{cm}$$

Donc :
$$S_t \le \min(S_{t1}; S_{t2}) = 24.3 \text{ cm}$$

Recouvrement des armatures longitudinales

D'après l'RPA99V2003 le longueur minimal de recouvrement dans la zone IIa est de 40Φ Poutre longitudinale: 40Φ

$$L_r$$
=40 Φ_L = 40 \times 1.2= 48 cm \rightarrow on adopte L_r = 50 cm

$$L_r=40\Phi_L=40\times 1.6=48 \text{ cm} \rightarrow \text{ on adopte} \quad L_r=70 \text{ cm}$$

$$L_r=40\Phi_L=40\times 2=48 \text{ cm} \rightarrow \text{ on adopte} \qquad L_r=80 \text{ cm}$$

Vérification a l'ELS

La vérification des poutres à l'ELS est effectuée comme suite:

- 1 calcul de la position de l'axe neutre (y): $b/2y^2 + nA_s(y-c') nA_s(d-y) = 0$
- 2 calcul du moment d'inertie: $I = b/3 y^3 + nA_s(y-c')^2 + nA_s(d-y)^2$

Où: - A_s: section d'armature tendue

- A's: section d'armature comprimée

- n : coefficient d'équivalence (n=15)

Calcul des contraintes

• La Fissuration est Considéré Préjudiciable.

- Béton :
$$\sigma_s = \frac{M_{ser}}{I} y$$

Tableau V.10: Vérification a l'ELS de la poutre principale

	M(KN.m)	Y(cm)	I(cm ⁴)	σ_{bC} (MPa)	$\overline{\sigma}_{bc}$ (MPa)	
Travée	5.60	10.09	36136.44	1.689	15	CV
Appuis	-17.10	11.07	45121.3857	4.195	15	CV

> Vérification de la flèche : BAEL 91

Si les trois conditions suivantes de la flèche sont vérifiées, le calcul de la flèche ne s'imposera pas : h=30cm; L=3.60m; b=30cm; $A_s=6.03cm^2$;

$$-\frac{0.4}{5.10} > \frac{1}{16} = 0.06 \Rightarrow \frac{0.30}{3.60} = 0.083 \ge 0.06 \Rightarrow 0$$
K

$$-\frac{A_s}{b_0 d} \le \frac{4.2}{f_e} \Rightarrow \frac{6.03}{30 \times 27} = 0.00744 \le \frac{4.2}{f_e} = 0.0105 \Rightarrow OK$$

$$- \frac{h}{L} \ge \frac{M_0}{10M_0} \Rightarrow \frac{h}{L} = \frac{0.3}{3.60} = 0.083 \ge \frac{0.85 \times 5.60}{10 \times 5.60} = 0.08 \implies OK$$

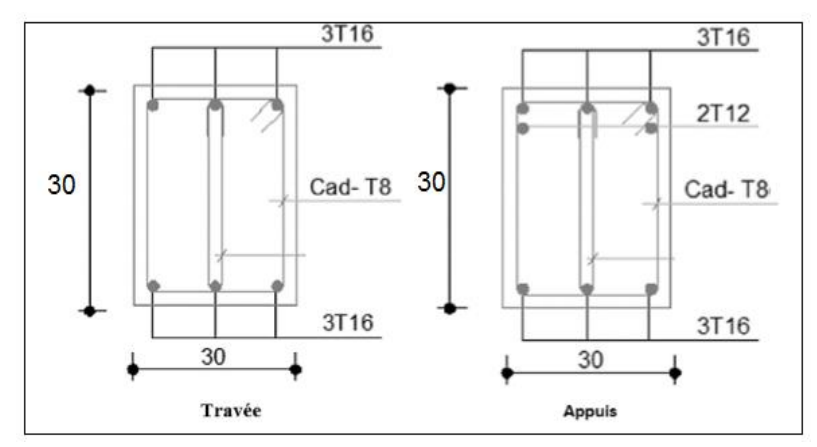


Figure V.3: Schéma de ferraillage des poutres secondaire

V.3.3.2 Poutre principale:

a) Les armatures transversales:

Pour afficher les différents résultats qu'on veut trouver diagrammes des moments, on clique sur le menu « résultat » ensuite diagramme des barres.

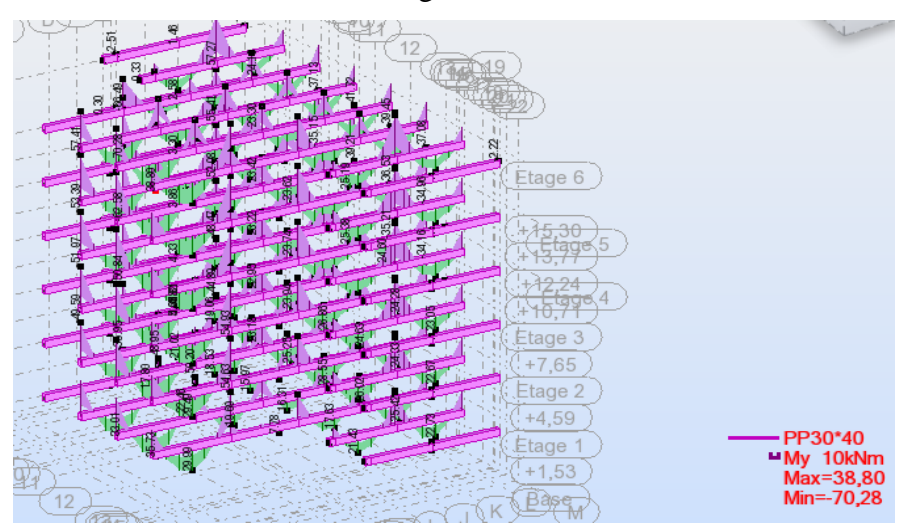


Figure V.4 diagramme des moments en travée et sur appuis pour la poutre principale Pour le calcul on va prendre les moments maximums (en travée et sur appui). D'après les résultats du logiciel **ROBOT**

Tableau V.11: Sollicitations de la poutre principale.

	En travée	En appuis
Section	M _{max}	M _{max}
30× 40	38.80	-70.28

• Ferraillage à la combinaison:

> Ferraillage en travée:

$$M_{t \text{ max}} = 38.80 \text{KN.m}$$

h = 40 cm; b = 30 cm; $d = 0.9 \times h = 36 \text{ cm}$

$$\mu = \frac{M_{_U}}{bd^2 f_{_{bu}}}$$

$$f_{bu} = \frac{0.85 \times f_{c28}}{\theta \times \gamma_b} = \frac{0.85 \times 25}{1 \times 1.5} = 14.17 MPa$$

$$\mu = \frac{M_U}{bd^2f_{hu}} = \frac{38.80 \times 10^6}{300 \times 360^2 \times 14.17} = 0.070$$

 μ < 0.186 \Rightarrow donc il n'est pas nécessaire de mettre des armatures comprimées. On se trouve dans le domaine 1,

$$\mu_{bu} = 0.070 < \mu_{l} = 0.392$$

$$= 0.217 \rightarrow \begin{cases} \alpha = 1.25 \left(1 - \sqrt{1 - 2\mu}\right) = 1.25 \left(1 - \sqrt{1 - 2 \times 0.070}\right) = 0.090 \\ Z = d(1 - 0.4\alpha) = 0.347 \text{ m} = 347 \text{mm} \end{cases}$$

$$A_{u} = \frac{M_{ua}}{Z.\delta_{s}} = \frac{38.80 \times 10^{6}}{347 \times 347.8} = 321.493 \text{ mm}^{2} = 3.21 \text{ cm}^{2}.$$

On prend: 3HA16+3HA12=8.29cm²

• Vérification de la condition de non fragilité:

$$\begin{split} A_{min} &= 0.23 \times b \times d \times \frac{f_{t28}}{f_e} = 0.23 \times 300 \times 360 \times \frac{2.1}{400} = &130.41 \text{mm}^2 = &1.304 \text{cm}^2 \\ A_{S} &= &\max \left(A_{min} , A_{CAL} \right) = &\max \left(1.304 \; ; \; 3.21 \right) \quad \rightarrow A_{S} = &3.21 \text{cm}^2 \end{split}$$

Ferraillage en appui :

$$M_{a \text{ max}} = -70.28 \text{ KN.m}$$

$$h = 40 \text{ cm}$$
; $b = 30 \text{ cm}$; $d = 0.9 \times h = 36 \text{ cm}$

$$\mu = \frac{M_U}{bd^2 f_{bu}}$$

$$f_{bu} = \frac{0.85 \times f_{c28}}{\theta \times \gamma_b} = \frac{0.85 \times 25}{1 \times 1.5} = 14.17 mpa$$

$$\mu = \frac{M_U}{bd^2f_{hu}} = \frac{70.28 \times 10^6}{300 \times 360^2 \times 14.17} = 0.127$$

 μ < 0.186 \Rightarrow donc il n'est pas nécessaire de mettre des armatures comprimées :

On se trouve dans le domaine 1,

$$\begin{cases} \alpha = 1.25 \left(1 - \sqrt{1 - 2\mu} \right) = 1.25 \left(1 - \sqrt{1 - 2 \times 0.127} \right) = 0.170 \\ Z = d(1 - 0.4\alpha) = 0.335 \text{ m} = 335 \text{mm} \end{cases}$$

• Section des armatures :

$$A_{\rm u} = \frac{M_{ua}}{Z.\,\delta_{\rm s}} = \frac{70.28 \times 10^6}{335 \times 347.8} = 603.194 \,\text{mm}^2 = 6.03 \,\text{cm}^2.$$

On prend: 3HA16+3HA12=9.42cm²

Vérification de la condition de non fragilité:

$$A_{min} = 0.23 \times b \times d \times \frac{f_{t28}}{f_e} = 0.23 \times 300 \times 360 \times \frac{2.1}{400} = 130.41 \text{mm}^2 = 1.304 \text{cm}^2$$

 $A_S = \max (A_{\min}, A_{CAL}) = \max (1.30; 6.03) \rightarrow A_S = 6.03 \text{ cm}^2$

Tableau V.12: Ferraillage des poutres principales.

Position	$M_{\rm u}$	В	Н	D	U _{bu}	α	Z	A_s (cm^2)	A_{min} (cm^2)	$\begin{array}{c} A \\ (cm^2) \end{array}$
Travée	38.80	30	40	36	0.0	0.093	335	3.21	1.30	3HA16+ 2HA12=8.29
Appuis	70.28	30	40	36	0.1	0.189	347	6.03	1.30	3HA16+3H A12=9.42

• Vérification du ferraillage des poutres principales:

Section minimale: RPA 99

$$A_{min} = 0.5\%$$
 (b x h) = 0.005 (30*40) =6 cm².

Section maximale: RPA 99 (article 7.5.2.1)

4% b*d : En zone courante (A_{min}=0.04*30*40=48cm²).

6% b*d: En zone de recouvrement ($A_{min}=0.06*30*40=72$ cm²).

Vérification à L'ELU:

Vérification de la contrainte de cisaillement:

$$\tau_{"} \leq \overline{\tau}_{"}$$

Fissuration préjudiciable:

$$\tau_u = \min(0.15 \times \frac{f_{c28}}{Y_b} ; 4MPA) = 2.5MPA$$

Soit l'effort tranchant maximum est T_{max} =35.02KN

$$\tau_u = \frac{V_u}{h \times d} = \frac{35020}{300 \times 360} = 0.324$$

 $au_u \leq \overline{\tau}_u$ condition vérifier

Calcul du ferraillage transversal:

Avec : b = 30cm; d = 36cm

> Calcul de la section des armatures transversale :

Choix du diamètre:

On a: $\Phi_t \leq \min(\frac{h}{35}; \frac{b}{10}; \Phi_{\min}) = (11.42; 30; 12)$

Soit : $\Phi_t = 10$ mm

On prend: Φ_t =8mm

Espacement des barres

$$S_t \le \min(0.9 \times d; 40cm)$$

$$S_t \le \min(0.9 \times 36; 40 \text{cm}) \rightarrow S_t = 32.4 \text{cm}$$

$$\frac{A_t \times f_e}{0.4 \times b} \ge \max(\frac{\tau_u}{2}; 0.4 \text{MPa}) = A_t \ge \frac{0.4 \times 300 \times 324}{400} = 0.97 \text{cm}^2$$

Soit
$$A_t = 4HA8 = 2.01cm^2$$

L'espacement entre les armatures d'âme doit être le plus faible des valeurs suivantes :

- d'aprés RPA99 : $S_t \le min(h/4; 12\emptyset_L) = 10cm....zone nodale.$

- $S_t \le h/2 = 20 \text{ cm}....zone courant.$

d'aprés BAEL91 : S_t ≤ min(0.9 × 36; 40cm) → S_t =32.4cm

$$S_t \le \frac{A_t \times f_e}{0.4 \times b} = \frac{2.01 \times 400 \times 10^2}{0.4 \times 300} = 67 \text{cm}$$

Donc: $S_t \le \min(S_{t1}; S_{t2}) = 32.4 \text{ cm}$

- Donc on adopte:
 - S_t=10 cm En zone nodale
 - $S_t = 20$ cm En zone courante

Recouvrement des armatures longitudinales

D'après l'RPA99V2003 le longueur minimal de recouvrement dans la zone 2a est de 40Φ

Poutre longitudinale: 40Φ

$$L_r=40\Phi_L=40\times 1.2=48 \text{ cm} \rightarrow \text{ on adopte}$$
 $L_r=50 \text{ cm}$

$$L_r=40\Phi_L=40\times 1.6=48 \text{ cm} \rightarrow \text{ on adopte} \quad L_r=70 \text{ cm}$$

$$L_r=40\Phi_L=40\times 2=48~cm \rightarrow on~adopte$$
 $L_r=80~cm$

> Vérification a l'ELS:

La vérification des poutres à l'ELS est effectuée comme suite :

1- calcul de la position de l'axe neutre (y) :
$$b/2y^2 + nA_s(y-c') - nA_s(d-y) = 0$$

2-calcul du moment d'inertie :
$$I = b/3 y^3 + nA_s(y-c^{')} + nA_s(d-y)^2$$

Où: - A_s: section d'armature tendue

- A's: section d'armature comprimée

- n : coefficient d'équivalence (n=15)

Calcul des contraintes :

• La Fissuration est Considéré Préjudiciable.

Tableau V.13: Vérification a l'ELS de la poutre principale

	M(KN.m)	Y(cm)	I(cm ⁴)	σ_{bC} (MPa)	$\overline{\sigma}_{bc}$ (MPa)	
Travée	28.30	14	111500	3.553	15	CV
Appuis	-43.44	15	122062.5	5.338	15	CV

Vérification de la flèche : BAEL 91

Si les trois conditions suivantes de la flèche sont vérifiées, le calcul de la flèche ne s'imposera

$$\begin{split} \text{pas: h= 40cm }; \qquad & L=5.10\text{m }; \qquad b=30\text{cm }; \qquad A_s=8.29\text{cm}^2 \;; \\ & -\frac{0.4}{5.10} > \frac{1}{16} = 0,06 \frac{h}{L} \geq \frac{1}{16} \, 25 \implies 0\text{K} \\ & -\frac{A_s}{b_0 \, d} \leq \frac{4,2}{f_e} \mathop{\Longrightarrow}^{\frac{8.29}{30 \times 36}} = 0.0076 \; \leq \frac{4,2}{f_e} = 0,0105 \implies 0\text{K} \\ & -\frac{h}{L} \geq \frac{M_0}{10 M_0} \mathop{\Longrightarrow}^{\frac{h}{L}} = \frac{0.4}{5.10} = 0.078 \; \geq \frac{0.85 \times 28.30}{10 \times 28.30} = 0.085 \implies 0\text{K} \end{split}$$

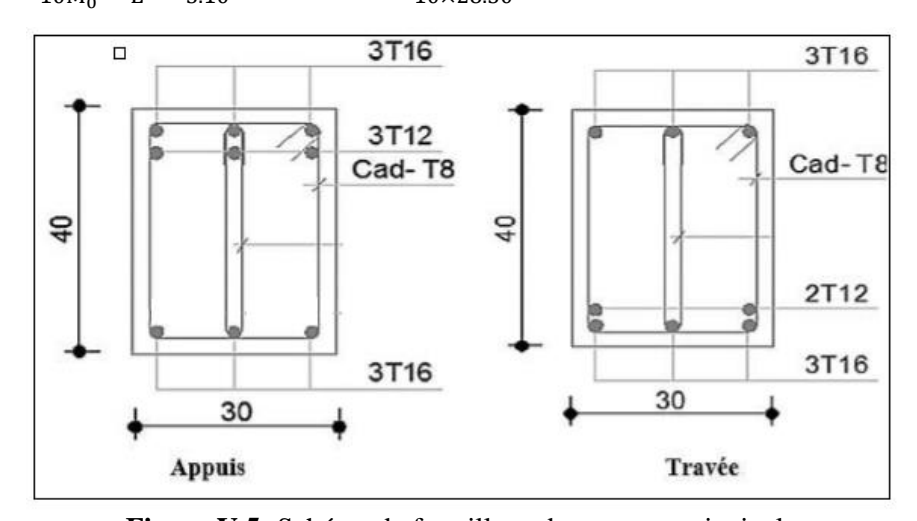


Figure V.5: Schéma de ferraillage des poutres principale

V.6 Étude des voiles :

V.6.1 Introduction:

V.6 Étude des voiles:

V.6.1 Introduction

Le voile est un élément structural de contreventement soumis à des forces verticales et des forces horizontales. Le ferraillage des voiles consiste à déterminer les armatures en flexion composée sous l'action des sollicitations verticales et aux charges permanentes(G) et aux surcharges d'exploitation(Q) ainsi que sous l'action des sollicitations horizontales dues au séisme

Pour faire face à ces sollicitations, on prévoit trois types d'armatures:

- Armatures verticales
- Armatures horizontales
- Armatures de montages

Les armatures verticales

Elles sont destinées à reprendre les effets de flexion, elles sont disposées en deux nappes parallèles aux faces des voiles. Ces armatures doivent respecter les prescriptions suivantes:

- $A_{min} = 0.2\% \times e \times L_t$
- e: épaisseur du voile.

L_t: longueur de zone tendue.

- les barres verticales des zones extrêmes doivent être ligaturées avec des cadres horizontaux($S_t < e$).
- A chaque extrémité du voile, l'espacement des barres doit être réduit de $\frac{1}{2}$ sur $\frac{1}{10}$ de la longueur du voile.
- Les barres du dernier niveau doivent être munies des crochets à la partie supérieure.

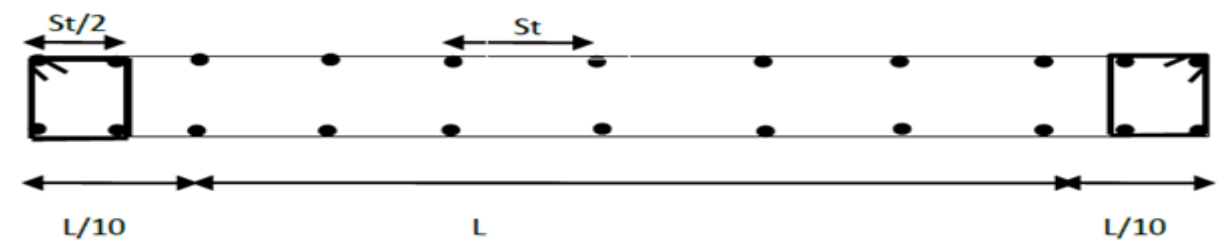


Figure V.6 Disposition des armatures verticales (vue en plan).

V.6.2 Stabilité des constructions vis-à-vis des charges latérale:

Du point de vue de la stabilité sous charges horizontales (vent, séisme), on distingue différents types des structures en béton armé:

- Structures auto-stables.
- Structures contreventées par des voiles.

Dans notre projet, la structure est contreventée par les voiles dont le but est assurer la stabilité (et la rigidité) de l'ouvrage vis-à-vis des charges horizontales.

V.6.3 Rôle de contreventement:

Le contreventement a principalement pour objet :

- Assure la stabilité des constructions non auto-stables vis-à-vis des charges horizontales et de transmettre jusqu'au sol.
- Raidir les constructions, car les déformations excessives sont sources des dommages aux éléments non structuraux et à l'équipement.

V.6.4 Avantages des voiles:

- Leur présence limite les déformations latérales.
- Leur rigidité permet de protéger les éléments non structuraux et quelques poteaux existant. Leur présence permet de s'affranchir du difficile problème posé par la réalisation du ferraillage des nœuds des portiques.
- Elle permettre de ne pas être pénalisées dans le choix du coefficient de comportement en cas du panneau de remplissage.

V.6.5 Combinaisons des actions:

Selon le règlement parasismique algérien (RPA99/V2003) et le BAEL 99, les combinaisons des actions ont considéré pour la détermination des sollicitations et des déformations sont :

o Selon le BAEL91 [3] : $\{G + Q \pm E\}$

$$0.8G \pm E$$

• Selon le RPA 99 [1] : {1.35G + 1.5Q

$$G + Q$$

V.6.6 Recommandations du RPA99:

V.6.6.1 Aciers verticaux:

La disposition du ferraillage vertical se fera de telle qu'il reprendra les contraintes de la flexion composée en tenant compte des prescriptions imposées par le RPA99/V2003.

• L'effort de traction engendré dans une partie du voile doit être repris en totalité par les armatures dont le pourcentage minimal est de 0.2% de la section horizontale du béton tendu. Les barres verticales des zones extrêmes devraient être ligaturées avec des cadres horizontaux dont l'espacement ne doit pas être supérieur à l'épaisseur des voiles.

- Si des efforts importants des compressions agissent sur l'extrémité, les barres verticales doivent respecter les conditions imposées aux poteaux. Les barres verticales du dernier niveau doivent être munies de crochets à partie supérieure. Toutes les autres barres n'ont pas de crochets (jonction par recouvrement).
- À chaque extrémité du voile l'espacement des barres doit être réduit de moitié sur (1/10) de la largeur du voile, cet espacement doit être au plus égal à 15 cm.

V.6.6.2 Aciers horizontaux:

- Les aciers horizontaux seront disposés perpendiculairement aux faces des voiles
- Elles doivent être munies de crochets à 90° ayant une longueur de 10Φ .
- Dans le cas où il existe des talons de rigidité, les barres horizontales devront être ancrées sans crochets si les dimensions des talons permettent la réalisation d'un ancrage droit.

V.6.7 Règles communes:

- Le pourcentage minimal des armatures verticales et horizontales est : $A_{min} = 0.15$ % section globale du voile. $A_{min} = 0.1$ % zone courante.
- L'espacement des barres (horizontales et verticales) $St \le min (1.5e; 30cm)$.
- Diamètre des barres (horizontales et verticales) ne devrait pas dépasser 1/10 de l'épaisseur du voile. Le calcul se fera pour des bandes verticales dont la largeur d est déterminée à partir de:

 $d \le \min (h_e, 2L/3)$

L': est la longueur de la zone comprimée.

• Longueur de recouvrement:

 L_r = 40: En zone qui peut être tendue.

L_r= 20: En zone comprimée sous toutes les combinaisons.

V.6.8 Disposition des voiles:

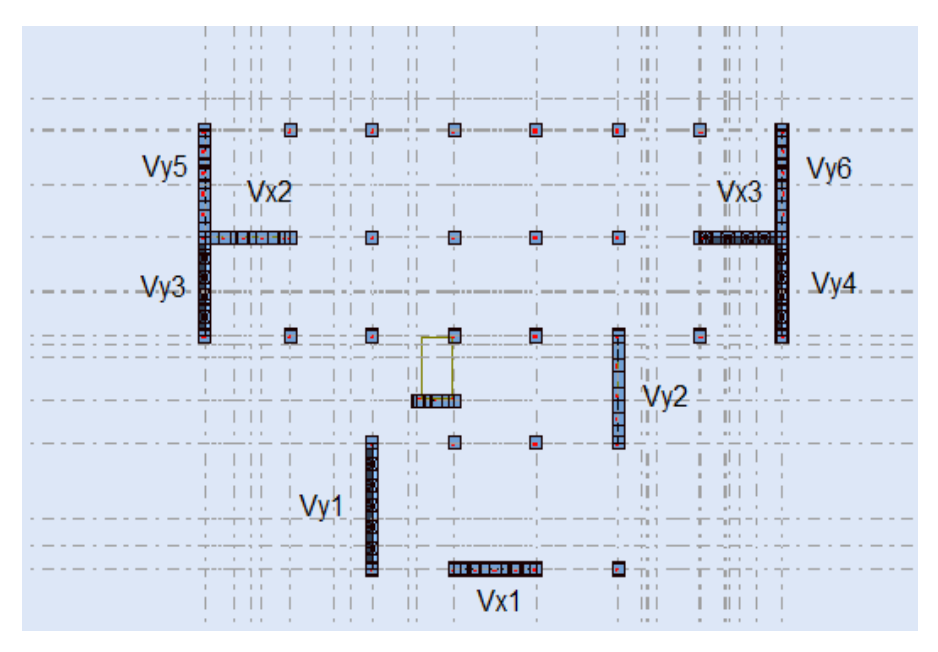


Figure V.7: Disposition des voiles

V.6.10 Ferraillage des voiles:

Pour déterminer les armatures verticales, on utilisera la méthode des contraintes. Cette méthode consiste à déterminer le diagramme des contraintes à partir des sollicitations les plus défavorables (N, M) et Pour connaître la nature de la section on utilise la méthode de la RDM dite « **formule de Navier Bernoulli** »:

Avec:

$$\sigma_a = \frac{N}{A} + \frac{M \times Y}{I} \quad \sigma_b = \frac{N}{A} - \frac{M \times Y}{I}$$

N: effort normal agissant sur le voile considéré.

M: moment de flexion agissant sur le voile considéré.

I: moment d'inertie du voile considéré.

Y: centre de gravité de la section du voile dans les sens du plan moyen.

On distingue 3 cas:

1^{e r} cas

Si: $(\sigma_1 \text{ et } \sigma_2) >> 0$ la section du voile est entièrement comprimée «pas de zone tendue».

La zone courante est armée par le minimum exigé par le R.P.A 99 (version 2003)

$$A_{min} = 0.15.a.L$$

2^{éme} cas

Si: $(\sigma_1 \text{ et } \sigma_2) \ll 0$ la section du voile est entièrement tendue «pas de zone comprimée».

On calcule le volume des contraintes de traction, d'où la section des armatures verticales :

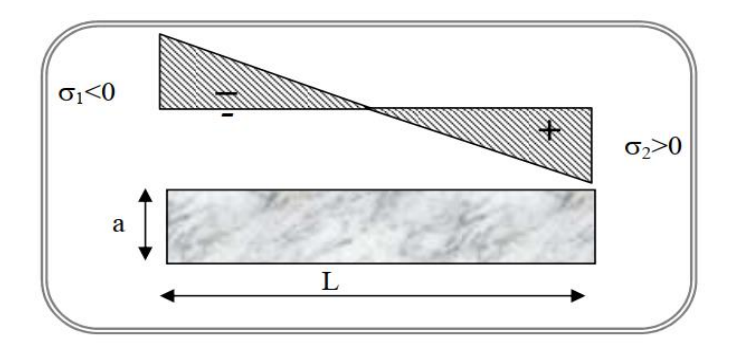
$$A_v = F_t / f_e$$

On compare Av par la section minimale exigée par le R.P.A 99 (version 2003).

- ❖ Si A_v < A_{min} = 0,15%.a.L . On ferraille avec la section minimale.
- $A_v > A_{min}$ On ferraille avec A_v

3^{éme} cas

Si: $(\sigma_1 \text{ et } \sigma_2) = 0$ sont de signe différent, la section du voile est partiellement comprimée, donc on calcule le volume des contraintes la zone tendue



V.6.10.1 Armatures verticales:

Nous allons déterminer les contraintes sollicitant le voile selon la formule suivante :

$$\sigma_{a} = \frac{N}{A} + \frac{M \times Y}{I}$$

$$\sigma_{b} = \frac{N}{A} - \frac{M \times Y}{I}$$

On remarque qu'on a juste les contraintes de compression alors notre section est entièrement comprimée. Le calcul se fera pour des bandes verticales dont la largeur d est déterminée à partir de: RPA

 On a trois types de voile leurs Caractéristiques géométriques sont afficheé dans le tableau suivant

Les sollicitations dans les voiles sont tirées directement dans le logiciel ROBOT, ils sont regroupés dans les tableaux ci-dessous.

M_{max} N_{max} T_{max} 1061.9 57.12 338.10 V_{y1} 619.46 120.59 70.73 V_{v2} 439.75 552.54 267.89 V_{y3} 495.75 653.24 310.57 V_{y4} 563.98 515.88 200.78 V_{v5} 646.51 598.01 229.96 V_{v6} 773.55 59.50 217.81 V_{x1} 361.79 V_{x2} 488.55 211.75 191.41 509.42 254.36 V_{x3}

Tableau V.14 : Sollicitations de calcul dans les voiles (RDC à5^{éme} étage).

Ferraillage des voiles

Le calcul des armatures verticales se fait en flexion composée sous M et N pour une section $(b \times h)$.

Les résultats du ferraillage sont représentés dans les tableaux ci-dessous avec:

- $A_v^{min} = 0.15\% \times b \times L$: section d'armatures verticales minimale dans le voile.
- A^{cal}: section d'armature calculée dans l'élément.
- ullet A_v^{adop} : section d'armature adoptée pour une seule face de voile.
- S_t: espacement.
- $A_h^{min} = 0.15\% \times b \times h$: section d'armature adoptée pour une seule face de voile.
- $A_h^{cal} = \frac{A_v^{adp}}{4}$: section d'armature calculée.
- A_h^{adp} : section d'armature adoptée.
 - N^{bre} : nombre de barre adoptée.

I.1.1.1 Exemple de calcul

On prend comme exemple le voile V_{y1} :

 $M_{max} = 1061.91 \text{ KN. m et N}_{cor} = 57.12 \text{ KN et V} = 338.10 \text{KN}$

I.1.1.1.1 Calcul des armatures verticales

Le calcul des armatures verticales se fait à la flexion composée sous les sollicitations les plus défavorables (M, N) pour une section (e x l). La section trouvée (A) sera répartie sur toute la zone tendue de la section en respectant les recommandations du RPA99.

L = 4.70 m; d = 0.9 × h = 4.23 m; e = 0.20 m

$$e_G = \frac{M}{N} = \frac{1061.91}{57.12} = 18.59 m$$

 $e_G > \frac{L}{2} = 2.35 \text{ m} \implies N$ est un effort de traction et c en dehors de la section \implies section partiellement tendue.

Le calcul ce fait par assimilation a la flexion simple avec M_{UA}:

$$\begin{split} M_{UA} &= M + N \times (d - \frac{L}{2}) \\ M_{UA} &= 1061.91 \ + 57.12 \times \left(4.23 - \frac{4.70}{2}\right) = 1169.29 \ \text{KN. m} \\ \mu_{bu} &= \frac{M_{UA}}{b \times d^2 \times f_{bu}} = \frac{1169.29 \times 10^{-3}}{0.20 \times 4.23^2 \times 14.17} = 0.023 < 0.392 \Longrightarrow A^{'} = 0 \\ \alpha &= 1.25 \left(1 - \sqrt{1 - 2\mu_{bu}}\right) = 0.0.029 \\ z &= d(1 - 0.4\alpha) = 4.18 \text{cm} \\ A_v^{cal} &= \frac{M_{UA}}{z \times f_{st}} = \frac{1061.91 \times 10}{4.18 \times 347.8} = 8.04 \text{cm}^2 \end{split}$$

I.1.1.1.2 Calcul des armatures minimales

$$A_{v}^{min} = 0.15\% \times e \times L = 14.1 \text{ cm}^2$$

$$A_{min}^{t} = 0.2\% \times e \times L_{t}$$

Pour le calcul de L_t on doit déterminer les contraintes :

$$\sigma = \frac{N}{B} \pm \frac{M}{I} \times V$$

$$V = \frac{h}{2} = \frac{4.7}{2} = 2.11 \text{ m}$$

$$\sigma^{+} = \frac{57.12 \times 10^{-3}}{0.2 \times 4.7} + \frac{1061.91 \times 10^{-3}}{\frac{0.2 \times 4.7^{3}}{12}} \times 2.11 = 1.355 \text{ MPa}$$

$$\sigma^{-} = \frac{57.12 \times 10^{-3}}{0.2 \times 4.7} - \frac{1061.91 \times 10^{-3}}{\frac{0.2 \times 4.7^{3}}{12}} \times 2.11 = -1.23 \text{ MPa}$$

$$L_t = \frac{\sigma_{min} \times L}{\sigma_{max} + \sigma_{min}} = \frac{1.23 \times 4.7}{1.35 + 1.23} = 2.24 \text{ m}$$

$$A_{min}^{t} = 0.2\% \times e \times L_{t} = 0.2\% \times 0.2 \times 2.24 = 8.96 \text{ cm}^{2}$$

$$A_{min}^{t} = 8.96 \text{ cm}^{2} > A_{v}^{cal} = 8.04 \text{cm}^{2}$$

On choisit: $7T14 = 10.78 \text{ cm}^2$

$$A_{min}^c = 0.1\% \times e \times L_c \quad avec: L_c = L-2 \times L_t = 4.7-2 \times 2.24 = 0.22 \ m$$

$$A_{min}^{c} = 0.22 \text{ cm}^{2}$$

On choisit: $1T12 = 1.13 \text{ cm}^2$

$$A_v^{adp} = 10.78 + 1.13 = 11.91 \text{ cm}^2$$

I.1.1.1.3 Calcul des armatures horizontales

On a: V = 254.02 KN

$$\tau_u = \frac{V}{b \times d} = \frac{338.10 \times 10^{-3}}{0.2 \times 4.23} = 0.39 \text{MPa} < \overline{\tau} = 0.2 \times f_{c28} = 5 \text{ MPa } \text{ vérifiée}$$

Pour $S_t = 20 \text{ cm}^2 \text{ on aura}$:

•
$$A_h^{min} = 0.15\% \times b \times h = 0.15\% \times 20 \times 306 = 9.18 \text{ cm}^2$$

•
$$A_h^{cal} = \frac{A_v^{adp}}{4} = \frac{11.91}{4} = 2.98 \text{ cm}^2$$

On choisit : $9T12 = 10.18 \text{ cm}^2$

$$A_h^{adp}=10.18\,cm^2$$

Tableau V.15 : Ferraillage des voiles à yy et xx (RDC à $5^{\text{\'e}me}$ étage).

	V_{y1}	$ m V_{y2}$	V_{y3}	V_{y4}	V_{y5}	V_{y6}	V_{x1}	V_{x2}	V_{x3}
L(m)	4.70	4	3.7	3.7	4	4	3.3	3.45	3.3
M KN. m	1061.91	619.46	439.75	495.75	563.95	646.51	743.55	361.79	191.41
N (KN)	57.12	120.59	552.54	653.24	515.88	598.01	59.5	488.55	509.42
V (KN)	338.10	70.73	267.89	310.57	200.78	229.96	217.81	211.75	254.36
τ_{u}	0.39	0.098	0.40	0.47	0.27	0.31	0.36	0.34	0.42
τ	5	5	5	5	5	5	5	5	5
A _v ^{cal}	8.04	6.55	11.07	12.92	11.30	13.08	8.08	9.77	8.50
A _v ^{min}	14.1	12	11.1	11.1	12	12	9.9	10.35	9.9
A _v ^{adp}	11.91	11.91	6.16	6.16	6.16	6.16	8.83	6.16	6.16
N ^{barre}	7T14+1T	7T14+1T	4T14+6T	4T14+6T	4T14+6T	4T14+6T	7T14+1T	4T14+6T	4T14+9T
	12	12	12	12	12	12	12	12	12
S _t	20	20	20	20	20	20	20	20	20
A _h cal	2.98	2.98	12.95	12.95	12.95	12.95	2.98	12.95	16.34
A_h^{min}	9.18	9.18	9.18	9.18	9.18	9.18	9.18	9.18	9.18
$A_{h}^{adop} \\$	10.18	10.18	10.18	10.18	10.18	10.18	10.18	10.18	10.18
N ^{barre}	9T12	9T12	9T12	9T12	9T12	9T12	9T12	9T12	9T12
S _t	20	20	20	20	20	20	20	20	20

V.7 Conclusion:

Les éléments principaux (poutres, poteaux et voiles) jouent un rôle prépondérant dans la résistance et la transmission des sollicitations. Ils doivent donc être correctement dimensionnés et bien armés.

Dans la détermination des ferraillages des différents éléments Principaux; il a été tenu compte des ferraillages obtenus par logiciels de calcul (ROBOT) ainsi que le ferraillage minimum établie par les règles parasismiques Algériennes.

chapitre 6:Etude de l'infrastructure

VI.1 Introduction:

L'infrastructure est l'ensemble des éléments, qui ont pour objectif le support des Charges de la superstructure et les transmettre au sol Cette transmission peut être Directe (semelles posées directement sur le sol : fondation superficielles) ou indirecte (semelles sur pieux : fondation profondes) et cela de façon à limiter les tassements différentiels et les déplacements sous l'action des forces horizontales.

Elle constitue donc la partie essentielle de l'ouvrage, puisque de sa bonne conception et réalisation, découle la bonne tenue de l'ensemble

VI.2 Combinaison de calcul:

D'après le **RPA99** les fondations superficielles sont dimensionnées selon les combinaisons d'actions suivantes :

- ELS (G+Q) pour le dimensionnement.
- ELU (1.35G+1.5Q) pour le ferraillage.
- Accidentelle (0.8GE) pour la vérification

VI.3 Choix du type des fondations :

Le choix du type des fondation, des facteurs suivants :

- Le type de la structure
- Les caractéristiques du sol dépend essentiellement
- L'aspect économique
- La facilité de réalisation

Pour le choix du type des fondation , on vérifie dans l'ordre suivante : les semelles isolées, Les semelles filantes et le radier général et enfin on opte pour le choix qui convient Selon le rapport du sol , la contrainte admissible est 2bars ,

VI.4Etapes de calcul de la semelle isolée :

VI.4.1 Vérification des semelles isolées

La vérification à faire est $\frac{N}{S} \le \overline{\sigma_{sol}}$

Pour cette vérification on prend la semelle la plus sollicitée

N : L'effort normal agissant sur la semelle obtenue par le ROBOT

S : Contrainte admissible du sol

La surface du semelle sera déterminé en vérifiant la condition suivante :

$$\frac{N_{ser}}{S_{semelle}} \leq \overline{\sigma}_{sol} \quad \rightarrow \quad S_{semelle} \geq \frac{N_{ser}}{\overline{\sigma}_{sol}}$$

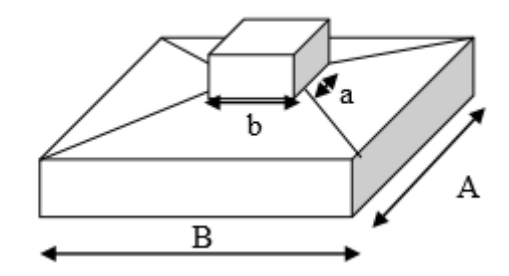


Figure VI.1 : Schéma de la semelle isolé

Les surfaces des semelles isolées revenant à chaque poteau en tenant compte la symétrie de notre structure sont données par les tableaux suivant :

a) Les surfaces des semelles isolées :

Tableau VI.1: Les surfaces des semelles isolées

semelle	$N_{ser}(KN)$	$S = \frac{N_{ser}}{\overline{\sigma}_{sol}} (m^2)$	$S \\ * 2(m^2)$	Semelle	$N_{ser}(KN)$	$S = \frac{N_{ser}}{\overline{\sigma}_{sol}} (m^2)$	$S*2(m^2)$
1	112.12	0.65	1.319	18	402.19	2.365	4.731
2	173.86	1.02	2.045	19	334.10	1.965	3.930
3	229.15	1.34	2.695	20	337.33	1.984	3.968
4	242.27	1.425	2.850	21	301.25	1.772	3.544
5	302.26	1.778	3.556	22	330.82	1.946	3.892
6	536.74	3.157	6.314	23	410.01	2.418	4.823
7	537.39	3.161	6.322	24	134.04	0.788	1.576
8	150.24	0.88	1.767	25	173.79	1.022	2.044
9	74.79	0.439	0.879	26	173.31	1.019	2.038
10	241.92	1.423	2.84	27	494.75	2.910	5.820
11	361.58	2.126	4.253	28	546.74	3.216	6.432
12	484.37	2.849	5.698	29	518.10	3.047	6.095
13	526.02	3.094	6.188	30	461.82	2.716	5.433
14	505.96	2.976	5.952	31	120.84	0.710	1.421
15	363.42	2.137	4.275	32	188.57	1.109	2.218
16	79.09	0.465	0.93				
17	119.44	0.702	1.405				
S ₁ : Som	ımes des surf	faces isolées (m [?]	2)			57.6075	

Le poteau le plus sollicité à une section carrée (B×B), donc ,Ns=537.39KN

=170KN/m2

$$N_s = 537.39170$$
 $\sigma_{sol} = 1.70 \text{KN/}m^2$: B $\geq 1.77 \text{m}$ $B \geq \sqrt{\frac{537.39}{170}}$ Donc on adopte: B = 1.77 m , A=1.77 m On a lx= 3.30 m $\frac{3.30}{2} = 1.65 < 1.77 \text{m}$ $\frac{S_{semelles}}{S_{hatiment}} = \frac{57.60}{395.64} = 14\% < 50\%$

Remarque:

D'après ces résultats , on remarque qu'il ya a chevauchement des semelles , par conséquent nous adoptons semelle filante

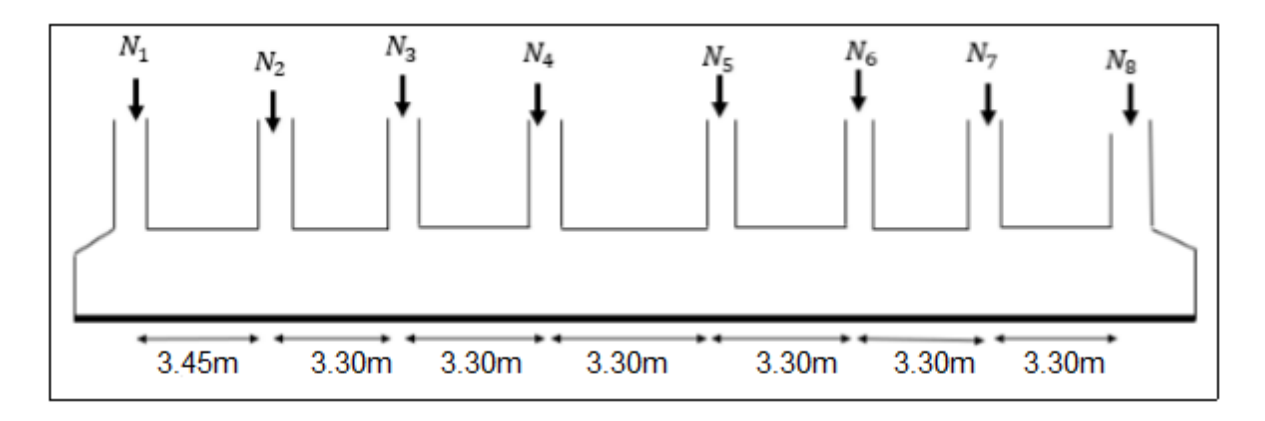
VI.4.2Vérification de la semelle filante:

Pour la vérification ,choisissons une semelle filante intermédiaire ,de largeur B et de longueur L situé sous un portique formé de 8 poteaux ,qui nous semble être la plus sollicité

$$B \geq \frac{N_t}{\overline{\sigma}_s \times L}$$

Tableau VI.2: Les surfaces des semelles filantes

Semelle	$N_{ser}(KN)$		
1	119.44		
2	402.19		
3	334.10		
4	337.33		
5	301.25		
6	330.22		
7	410.01		
8	134.04		
$\overline{N}_{ser} = 279$	$N_{ser} = 2796.48 \text{KN}$		



 $SN_t = \sum N_i = N1 + N2 + N3 + N4 + N5 + N6 + N7 + N8$

Nt = 119.44 + 402.19 + 334.10 + 337.33 + 301.25 + 330.82 + 410.01 + 134.04 = 2796.48

• Rapidité d'exécution

Pré dimensionnement :

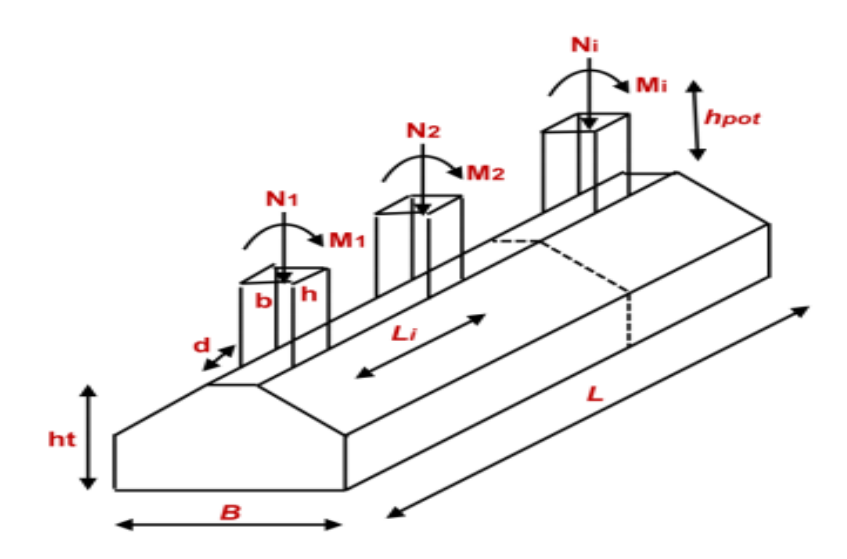


Figure VI.2 : Schéma de la semelle filante

Clacul de la largeur de la semelle :

$$N_s = \sum N_i = 2796.48KN$$

$$M_s = \sum N_i \times e_i + \sum M_i$$

Donc: $M_s = 22.18 + 27.97 = 50.15$ KN.m

$$e_0 = \frac{M_s}{N_s} = \frac{50.15}{2796.48} = 0.017m$$

:
$$\sigma = \frac{N_s}{L \times B}$$
 $B \ge \frac{N_s}{L \times \overline{\sigma}_{sol}} = \frac{2796.48}{23.25 \times 170} = 0.70$ m

 $B \ge 0.70m$

On prend B = 1.20 m

Condition minimale:

Une semelle est dite continue si sa largeur très petit devant sa longueur ,elle doit vérifier

la condition suivante :
$$\frac{L}{B} > 5 \rightarrow \frac{23.25}{1.20} = 19.37 > 5 \dots \dots \dots \dots CV$$

Calcul la hauteur de la semelle :

Semelle rigide
$$\to \frac{B-b}{4} \le d \le B-b$$
 $\frac{1.20-0.3}{4} = 0.22 \le d \le 0.9 \dots CV$ d = 0.45m

Donc
$$h = d+5cm = 50cm$$

La hauteur de la poutre de redressement :

Est estimé à $(\frac{1}{9}a\frac{1}{6})$ de la travée maximale :

$$\frac{L_{max}}{9} \le h_p \le \frac{L_{max}}{6} = \frac{3.45}{9} \le h_p \le \frac{3.45}{6}$$
$$0.38 \le h_p \le 0.57$$

On prend $h_p = 60cm$; $b_p = 40cm$

Les dimensions de notre fondation sont :

La semelle:

La poutre de redressement :

Vérification de la semelle vis-à-vis la rigidité :

Pour qu' un semelle filante il faut que (loi de fiance):

$$L_{max} \leq \frac{\pi}{2} L_e$$

\mathcal{L}_e : Est la longueur élastique , qui permet de détermination la nature du semelle :

$$L_e \geq \sqrt[4]{\frac{4 \times E \times I}{K \times b}}$$

E : Module d'élasticité du béton E= $3.2164 \times 10^7 \text{ KN} / m^2$

I :inertie d'une bande d'une mètre de semelle :

b:largeur de la semelle

K :coefficient de réaction du sol

$$\mathbf{K} = \begin{cases} 5000KN/m^3 \\ 40000KN/m^3 \\ 120000KN/m^3 \end{cases}$$

Dans notre cas
$$K = 40000 \text{KN} / m^3 = 4 \text{kg} / cm^3$$

$$\begin{split} \mathrm{I} &= \frac{b \times h^3}{12} = \frac{1.2 \times 0.3^3}{12} = 0.0027 m^4 \\ \mathrm{Alors} : & L_e \geq \sqrt[4]{\frac{4 \times 32164.19 \times 0.0027}{3 \times 1.2}} = 3.13 \\ & L_{max} = 3.45 m \leq \frac{\pi}{2} L_e = 4.92 m \dots condition \ v\acute{e}rifi\acute{e} \end{split}$$

Donc la semelle est rigide

Le ferraillage se fait à l'ELU : les sollicitation $(N_u; M_u)$

Calcul des contraintes :

$$\begin{split} N_t &= \sum N_i = \text{N1} + \text{N2} + \text{N3} + \text{N4} + \text{N5} + \text{N6} + \text{N7} + \text{N8} = \\ N_t &= 164.78 + 560.03 + 462.05 + 463.91 + 415.22 + 457.53 + 570.15 + 185.16 \\ N_t &= 3278.83KN \\ M_t &= \sum N_i \times e_i + \sum M_i \end{split}$$

Donc:

$$\begin{split} &M_t = 60.98 + 38.46 = 99.44 \text{KN.m} \\ &\sigma_1 = \frac{N_t}{L \times B} + \frac{6 \times M_t}{L^2 \times B} \to \frac{3278.83}{23.25 \times 1.20} + \frac{6 \times 99.44}{23.25^2 \times 1.20} = 118.44 \text{KN/}m^2 \\ &\sigma_2 = \frac{N_t}{L \times B} + \frac{6 \times M_t}{L^2 \times B} \to \frac{3278.83}{23.25 \times 1.20} - \frac{6 \times 99.44}{23.25^2 \times 1.20} = 116.60 \text{KN/}m^2 \\ &\sigma_{moy} = \frac{3\sigma_1 + \sigma_2}{4} = 117.98 \text{KN/}m^2 \leq 1.5\sigma_{sol} = 330 \text{KN/}m^2 \dots \quad \text{c. vérifier} \end{split}$$

Ferraillage de la semelle :

Le ferraillage se calcul par la méthode des bielles à l'ELU:

Calcul des armatures principales :

$$A_{s} = \frac{N_{u}(B - b)}{8d\sigma_{st}}$$
$$N_{u} = N_{1} + p$$

 $N_1 = 139.22 \text{KN} / m^2$

L : longueur totale de la semelle

P= poids des terres +poids des semelles

Poids propre de la semelle :

$$P_p = 1.2 \times 0.3 \times 23.25 \times 25 = 209.25KN$$

Poids des terres:

$$(0.3 \times 0.6 \times 23.25 \times 22) \times 2 = 184.14$$
KN

P=393.39KN

$$N_u = 139.22 + 393.39 = 532.61$$
KN

$$A_S = \frac{N_u(B-b)}{8d\sigma_{St}} = \frac{(532.61 \times 10^3 (1200 - 300))}{8 \times 450 \times 347.8} = 348.84 mm^2$$

On adopte :6 T12 A_s =6.79 cm^2

Les armatures de répartition :

$$A_r = \frac{A_s}{4} = \frac{6.79}{4}$$
 $A_r = 1.69cm^2$

$$A_{s\,min}=2.01cm^2$$

On adopte:

Avec: un espacement $S_t = 20 cm$

Figure : Schéma de ferraillage de semelle filante :

Ferraillage de la poutre de redressement :

La semelle sera calculé dans le sens longitudinale comme une poutre renversée Pour déterminée le ferraillage de la poutre de rigidité on utilisé la méthode forfaitaire

Calcul des sollicitation :

Les sollicitation (moment et effort tranchant) sont calculées à l'aide du programme Robot . :



la distribution des charges ponctuelle sur la poutre *

B =1.2 m;
$$b_p$$
=0.4m; h_p =0.6m; h=0.4m

On prend le moment max pour travée et l'appui:

$$M_{max}^{trav\acute{e}e} = 137.46$$
KN .m

$$M_{max}^{appui}$$
=179.72KN .m

$$T_{max} = 305.04$$

En travée:

$$M_{tu} = \sigma_{bc} \times b \times h_0 \times (d - \frac{h_0}{2})$$

$$M_{tu} = 14.17 \times 1200 \times 400 \times (450 - \frac{400}{2}) = 1700.4 \times 10^6 \text{ N.mm}$$

$$M_t^{max} = 137.46 \quad KN.m < M_{tu} = 1700.4KN.m$$

$$\mu = \frac{M_t}{b.\,d^2.\,f_{bu}} = \, \frac{137.64 \times 10^6}{400 \times 450^2 \times 14.17} = 0.119$$

$$\mu=0.0119<\mu_l=0.392$$

Donc les armatures comprimées ne sont pas nécessaires (A' = 0).

$$\mu = 0.0119 \rightarrow \begin{cases} \alpha = 1.25 \left(1 - \sqrt{1 - 2\mu}\right) = 0.1588 \\ Z = d(1 - 0.4\alpha) = 421.40 \text{mm} \end{cases}$$

$$A_t = \frac{M_t}{Z.\delta_s} = \frac{137.64 \times 10^6}{421.40 \times 347.8} = 939.11 \text{ mm}^2 = 9.39 \text{ cm}^2.$$

Donc : $A_T = 8T14 = 12.32 \text{ cm}^2$.

Condition de non fragilité

$$A_{min} \ge 0.23 \text{ b d} \frac{f_{t28}}{f_e}$$

 $f_{t28} = 0.6 + 0.06 f_{c28} = 2.1 \text{ MPa}.$

$$A_{min} \ge 0.23 \times 400 \times 450 \times \frac{2.1}{400} = 1.41 \text{ cm}^2$$

 $A_{min} = 2.17 \text{cm}^2$

 $A_{min} \leq A_s$ Condition vérifiée

On adopte : 3 HA10 soit $A_s = 2.36 \text{cm}^2$

Armatures transversals:

D'après le BAEL 91:

$$\Phi_t = min(\frac{h}{35}; \frac{b}{10}; \Phi_l) \rightarrow min(1.71; 4; 1.6 mm)$$

on adopté : Φ_t =8mm

L'espacement:

$$S_t \leq \frac{L}{10} = 23.25cm$$

On adopte $S_t = 20$ cm

En Appui:

$$M_{tu} = \sigma_{bc} \times b \times h_0 \times (d - \frac{h_0}{2})$$

$$M_{tu}$$
=14.17× 1200 × 400 × (450 $-\frac{400}{2}$) = 1700.4× 10⁶N.mm

$$M_t^{max} = KN.m < M_{tu} = 1700.4KN.m$$

$$\mu = \frac{M_t}{b.\,d^2.\,f_{bu}} = \, \frac{179.72 \times 10^6}{400 \times 450^2 \times 14.17} = 0.156$$

$$\mu = 0.156 < \mu_1 = 0.392$$

Donc les armatures comprimées ne sont pas nécessaires (A' = 0).

$$\mu = 0.156 \rightarrow \begin{cases} \alpha = 1.25 \left(1 - \sqrt{1 - 2\mu}\right) = 0.2131 \\ Z = d(1 - 0.4\alpha) = 411.66mm \end{cases}$$

$$A_t = \frac{M_a}{Z.\delta_c} = \frac{179.72 \times 10^6}{411.66 \times 347.8} = 1255.24 \text{ mm}^2 = 12.55 \text{ cm}^2.$$

Donc : $A_T = 9T14 \text{ cm}^2$.

Condition de non fragilité

$$A_{min} \ge 0.23 \text{ b d} \frac{f_{t28}}{f_e}$$

 $f_{t28} = 0.6 + 0.06 f_{c28} = 2.1 \text{ MPa}.$

$$A_{\min} \ge 0.23 \times 400 \times 450 \times \frac{2.1}{400} = 2.17 \text{ cm}^2$$

$$A_{min} = 2.17 cm^2$$

 $A_{min} \leq A_s$ Condition vérifiée

On adopte : 3 HA10 soit $A_{min} = 2.36 \text{cm}^2$

Armatures transversales:

D'après le BAEL 91:

$$\Phi_t = min(\frac{h}{35}; \frac{b}{10}; \Phi_l) \rightarrow min(1.71; 4; 1.6 mm)$$

on adopté : Φ_t =8mm

L'espacement:

$$S_t \leq \frac{L}{10} = 23.25cm$$

On adopte $S_t = 20 \text{cm}$

Vérification à L'ELS:

Vérification de l'effort de tranchant « cisaillement »BAEL91 :

On doit vérifier que : $\tau_s < \overline{\tau}$ tel que :

$$\bar{\tau} = min\left(\frac{0.2 \times f_{c28}}{Y_b}; 5Mpa\right)$$
.....(Fissuration non préjudiciable)

$$\bar{\tau} = min (3.33MPa; 5Mpa) \rightarrow \bar{\tau} = 3.33MPa$$

$$\tau_s = \frac{T_{max}}{b \times d} = \frac{305.04 \times 10^3}{400 \times 450} = 1.69 \text{MPA}$$

$$au_s=1.69MPacondition vérifiée$$

Les armature transversale ne sont pas nécessaire

Vérification au poinçonnement :

Selon le BAEL (Article A .5.2.4.2) , il faut vérifier la résistance de la dalle au poinçonnement par effort tranchant ,cette vérification s' effectue comme suit :

Condition de poinçonnement :

$$N_u \le 0.045 \times \mu_c \times h \times \frac{f_{c28}}{Y_h}$$

Avec:

 N_u : charge maximal de à L'ELU

 μ_c : périmètre du contour sur lequel agit la charge

h: la hauteur de la semelle filante poteau

$$N_{max} = 570.15KN$$

Le périmètre d'impact μ_c est donné par la formule suivante :

$$\mu_c = 2(a' + b')$$

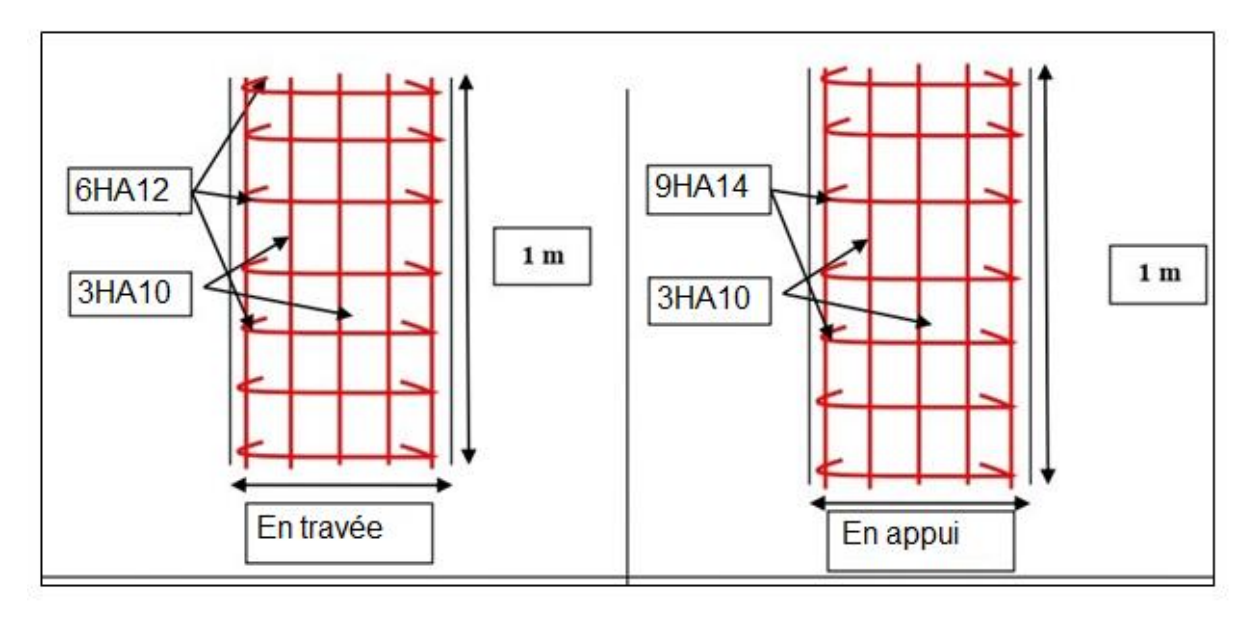
Avec :
$$\begin{bmatrix} a' = (a+h) \\ b' = (b+h) \end{bmatrix}$$

$$\mu_c = 2 \times (b+a+2 \times h) \to \mu_c = 2 \times (1.2+0.4+2 \times 0.4) = 4.8m$$

$$\mu_c \le 0.045 \times \mu_c \times h \times \frac{f_{c28}}{\gamma_h} = 0.045 \times 4.8 \times 0.4 \times \frac{25}{1.5} = 1440 \text{KN}$$

 $N_u = 570.15 \le 1440KN$condition vérifier

Figure VI.3 : Schéma de ferraillage Semelle filantes sous voile



VIII-5-La longrine:

VIII-5-1-Définition:

Les longrines sont des poutres de chaînage situées au niveau de l'infrastructure, sous forme de ceinture reliant les différentes semelles existantes.

Elles ont pour rôle d'empêcher les tassements différentiels et les translations, dans un sens

ou l'autre, afin d'éviter des désordres de la superstructure., leur calcul se fait comme étant une pièce soumise à un moment provenant de la base du poteau et un effort de traction <F>

VIII-5-2-Dimensionnement de la longrine:

$$F = \frac{N}{a} \ge 20KN$$
 RPA99/2003

N: effort normal des charges verticales transmises par les poteaux.

α : coefficient fonction de la zone sismique et de la catégorie de site.

Se lon l'RPA 99 (art.10-1-1), les dimension minimales de la section transversale des l'origines sont:

- (25x30) cm².....sites de catégorie S2, S3
- (30x30) cm².....site de catégorie S4

Pour notre cas (site ferme S2) on prend une section de (30x25) cm²

VIII-5-3-Ferraillage de la longrine :

On fait le calcul pour le poteau le plus sollicité :

$$F = \frac{N}{\alpha} \ge 20KN$$

a: Coefficient fonction de la zone sismique et de la catégorie de site considérée.

D'après [RPA99/2003]:

$$\alpha = 15$$

Nu =742.49 KN

$$Pu = \frac{742.49}{15}$$

As ≥ max(Ascal; AsRPAmin; Asfr)

$$A_{\text{scal}} = \frac{F}{\sigma s}$$

$$A_{\text{scal}} = \frac{49.49}{347.8} = 0.14 \text{ cm}^2$$

On adopte $A_s = 2.36 \text{cm}^2$

Condition exigée par RPA99:

$$A_{scal} = 0.6\% * b * h$$

$$A_{\text{scal}} = 4.5 \text{cm}^2$$

Vérification de la condition de non fragilité :

$$A_{sfr} = 0.23*b*d*\frac{ft28}{fe}$$

Fe=400mpa $ft_{28}=2.1mpa$

$$A_{\rm sfr} = 0.90 \, {\rm cm}^2$$

On prend : $As = 4.5cm^2$

Le choix : 6HA12 (A=6,79cm²)

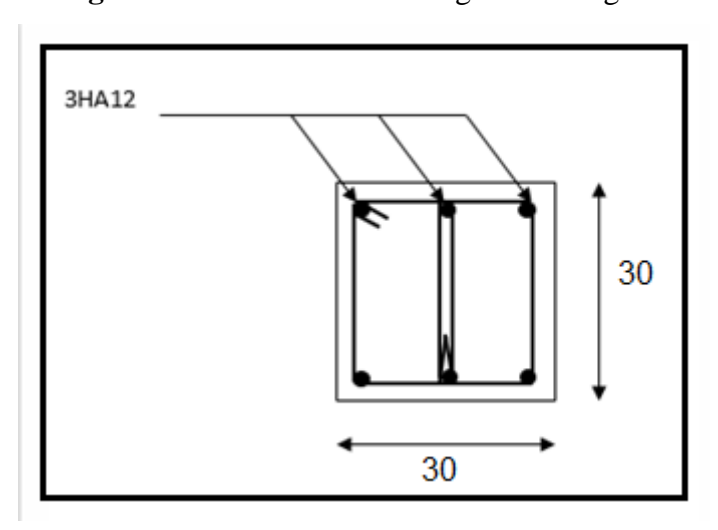
Armatures transversales:

On prend : $4 \phi 6$ (A=1,13cm²)

Avec espacement de :

 $e = min (20cm, 15 \phi \ell) = 20cm$

Figure VI.4 : Schéma ferraillage de la longrine



VIII.6 Etude du voile périphérique :

La voile périphérique est un ouvrage réalisé en béton armé, destiné à soutenir l'action des poussés des terres en équilibre stable il doit satisfaire les exigences minimales suivantes :

- Epaisseur≥ 15*cm*
- Les armature sont constituées de deux nappes
- Le pourcentage minimum des armatures est de 0.10% dans les deux sens (horizontale et verticale)
- Un recouvrement de 40Φ pour le renforcement des angles on adopte une épaisseur « e=20cm
- La hauteur du voile périphérique h=1.5 m
- Longueur du panneau L_{max} =3.45m

Détermination des sollicitations :

On prend comme hypothése pour le calcul des voiles , un encastrement parfait au niveau du massif des fondations et libre à l'autre coté

Le moment fléchissant maximum est donné par la formule suivante :

$$\begin{split} M_{max} &= \frac{2p_i h}{9\sqrt{3}} \\ Q &= \frac{p_i h}{2} \quad \text{Avec } P_i = Y_d \times h \times K_0 \quad K_0 = tg^2(\frac{\pi}{4} - \frac{\varphi}{2}) \end{split}$$

*K*₀ : coefficient de poussée

 Y_d : poids spécifique de remblai $Y_d = 18KN/m^2$

 φ :angle de frottement interne du remblai (φ =25°)

$$K_0 = tg^2 (45 - \frac{25}{2}) = 0.405$$

 $P_i = Y_d \times h \times K_0 = 1.5 \times 0.25 \times 18 = 7.00 \text{KN/m}$
 $Q = \frac{7.00 \times 1.5}{2} = 5.25 \text{KN}$

a) Ferraillage du voile périphérique :

Le voile périphérique sera calculé comme une dalle plein sur quatre appuis uniformément chargée , l'encastrement est assuré par le plancher , les poteaux et les fondations

A1' ELU:

$$\sigma_{max} = 1.35G + 1.5Q = 1.35 \times 25.35 + 1.5 \times 4.02 = 40.25 \text{KN/}m^2$$

$$\sigma_{min} = 1.5Q = 1.5 \times 4.02 = 6.03 \text{KN/}m^2$$

$$q_u = 1 \text{ml} \times \sigma_{moy} = 31.69 \text{KN/}m^2$$

Ferraillage du voile :

B=100cm;
$$L_x = 3.45 m$$
; $L_y = 4.70m$ e=20cm

 $M_{ov} = M_{0x} \times \mu_v = 18.70 \times 0.7052 = 13.18 KN/m^2$

$$\rho = \frac{L_x}{L_y} = 0.73 \ge 0.4 \to la \ dalle \ porte \ dans \ les \ deux \ sens \ L_x et L_y \to \begin{cases} \mu_x = 0.0496 \\ \mu_y = 0.7052 \end{cases}$$

$$M_{ox} = \mu_x \times q \times lx^2 = 0.0496 \times 31.69 \times 3.45^2 = 18.70 \text{KN} \ /m^2$$

Moment en travée
$$\begin{cases} M_{tx} = 0.85 M_{ox} = 15.89 KN/m^2 \\ M_{ty} = 0.85 M_{oy} = 11.03 KN/m^2 \end{cases}$$

Moment en appui :
$$M_{ox} = M_{oy} = -0.5 M_{oy} = 6.59 \ KN/m^2$$

$$A_{min} = 0.1\%\% \times b \times h$$
.....condition exigé par le RPA

$$A_{min} = 0.1\%\% \times 100 \times 20 = 2cm$$

Les résultats de calcul sont représentés dans le tableau ci-dessous

Tableau VI.3: Section des armatures du voile périphérique

Sens	M(KN.m)	M	A	Z(cm)	$A(cm^2)$	A_{min}	A_{adp}
Travée	15.89	0.034	0.043	17.6	2.59	2	4HA12=4.52

X-X							
Travée	11.03	0.024	0.030	17.7	1.80	2	4HA10=3.14
Y-Y							
Appuis	6.59	0.014	0.017	17.8	1.07	2	4HA10=3.14

Espacement des armatures :

Sens X-X $S_t \le \min(33cm; 3h) = 33cm^2$ on adopte $S_t = 25cm^2$

Sens y-y $S_t \le \min(45cm; 4h) = 45cm^2$ on adopte $S_t = 25cm^2$

Vérification condition de non fragilité :

A L'ELU:

En appui : $0.23 \times b \times d \times \frac{f_{t28}}{f_e} = 2.1 cm^2$

En travée:

$$\begin{cases} e > 12cm \quad A_{xmin} \ge \rho_0 be \frac{(3-\rho)}{2} \qquad A_{xmin} = 1.71cm^2 \\ \rho > 0.4 \quad A_{ymin} \ge \rho_0 be \quad A_{ymin} = 1.6 \ cm^2 \end{cases}$$

$$A_t > A_{min} \dots \dots \dots Condition \ v\'erifier$$

$$A_q > A_{min} \dots \dots \dots Condition \ v\'erifier$$

Vérification à L' ELU:

Vérification de l'effort de tranchant « cisaillement »BAEL91 :

On doit vérifier que : $\tau_s < \bar{\tau}$ tel que :

$$\bar{\tau} = min\left(\frac{0.2 \times f_{c28}}{\gamma_b}; 5Mpa\right)$$
.....(Fissuration non préjudiciable)

$$\bar{\tau} = min(3.33MPa; 5Mpa) \rightarrow \bar{\tau} = 3.33MPa$$

Ona:

$$V_x = \frac{q_u \times L_x}{2} \left(\frac{Ly^4}{Lx^4 + Ly^4} \right) = \frac{31.69 \times 3.45}{2} \times \left(\frac{4.70^4}{3.45^4 + 4.70^4} \right) = 42.36 \text{KN}$$

$$V_y = \frac{q_u \times L_y}{2} \left(\frac{Lx^4}{Lx^4 + Ly^4} \right) = \frac{31.69 \times 4.70}{2} \times \left(\frac{3.45^4}{3.45^4 + 4.70^4} \right) = 16.75$$

On prend :
$$V_{max} = 42.36$$

$$\tau_s = \frac{T_{max}}{b \times d} = \frac{42.36 \times 10^3}{100 \times 180} = 2.35 \text{MPA}$$

$$au_s=2.35$$
 MPa $MPa.....condition vérifiée$

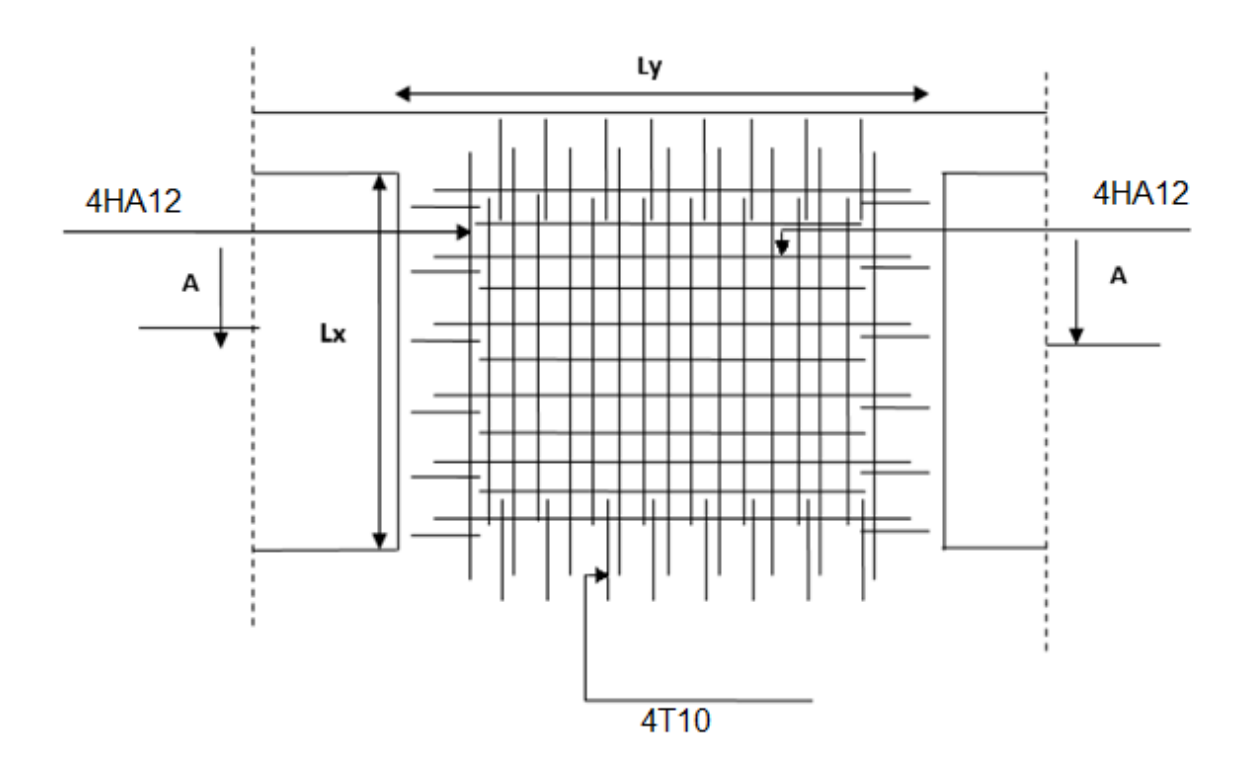


Figure VI.5 : Schéma de la voile périphérique

Conclusion:

Plusieurs technique sont disponibles pour fonder les bâtiment ,il faut effectuer un choix au regard d'arguments techniques (qualité du sol et caractéristique du bâtiment) et économiques (cout relatif des différentes solutions possibles) .

Conclusion générale:

Le projet de fin d'étude est une occasion à l'étudiant d'appliquer les connaissances acquises durant sa formation, qui lui donne une idée de ce qui se passe dans la vie pratique.

Cette expérience nous a permis de la pratique des logiciels comme: ROBOT, expert et l'auto-CAD ...etc.) et la manière de tirer les différents efforts pour le ferraillage de la structure, ainsi que les documents techniques réglementaire tels que RPA, BAEL et DTR.

Le prédimensionnement des éléments du bâtiment c'est une phase primordiale pour avoir une idée générale sur son ossature qui doit répondre au chargement verticale (permanant et exploitation) et horizontale (vent et sismique). Dans le but d'assurer la sécurité, l'économie, le confort, et l'esthétique.

Il est nécessaire d'adopter un ferraillage symétrique, afin d'assurer la sécurité en cas d'inversion éventuelle de l'action sismique, et aussi il faut vérifier de manière prudente les éléments porteurs de la structure (poteaux, poutres, voiles). Tous les éléments de la structure (poteaux, poutres, voiles) respectent le minimum exigé parle RPA99v2003.

L'analyse sismique constitue une étape déterminante dans la conception parasismique des structures. Après des tentatives sur la position adéquate des voiles et sur la section des poteaux des modifications potentielles peuvent être apportées sur le système de contreventement lors de cette étape en essayant d'éviter une période trop élevée en rigidifiant les éléments de contreventement. La quantité de voile donc n'implique pas un bon comportement de la structure, mais la disposition optimale de ces derniers, c'est-à-dire le rapprochement maximal du centre des masses avec le centre d'inerties donne des résultats satisfaisants et qui se traduit par une économie sur l'utilisation du béton et de l'acier, en infrastructure et en superstructure, tout en respectant la réglementation en vigueur, comme c'est le cas dans notre projet,

Toute fois, ce travail n'est pas une fin en soi, mais un pas concret vers l'accumulation d'expériences, l'acquisition de l'intuition et le développent de la réflexion inventive de l'ingénieur. En fin nous souhaitons que ce modeste travail soit un support et un apport pour les promotions à venir

Références bibliographiques

Règlement

Règle parasismique Algérienne RPA99/version 2003

Les Règles de calcul de Béton Armé aux Etats Limite. BAEL 91 modifié 99

Règles de conception et de calcul des structures en béton arméCBA93

Document technique règlementaire DTR B C 2.2, Charge permanentes et charges d'exploitation, CGS. 1988

Thèses fines d'étude

Khalfa Radhia, Daas Fouzia, "Étude d'un bâtiment R+5 à usage d'habitation", centre Universitaire Abdelhafid Boussouf- Mila, 2019/2020

Khellouf Manar, Boukezzoula Ilhem, "Étude d'un bâtiment en béton armé contreventé par un système mixte implantée en zone sismique', centre Universitaire Abdelhafid Boussouf-Mila, 2020/2021

Chikhi Salim, Medjnah Khaled, "Etude d'un bâtiment à usage d'habitation (R+7) contreventement mixte (Portique+Voile)", Université Mohamed Boudiaf-M'sila, 2018/2019 Hammani Daoud, Cherifi Tahar, "Etude d'un bâtiment R+10+sous-sol et soupente, a usage d'habitation et commercial contrevente par un système mixte (voiles-portiques)", Université

Cours

A. Mira,-Bejaia-, 2015.

Guettiche Abdelhak, "Cours de béton armé 3^{eme}année génie civil" centre universitaire de Mila".2018/2019

Kettar Jalal, "Cours de béton armé 1", Ecole Supérieure de technologie-SALE, 2019/2020

Livres

Fuentes Albert, "Calcul pratique des ossatures de bâtiment en Béton Armée". 4° Edition, Edition Eyrolles, 1983, p16

Logiciels:

- ROBOTV2014......Analyse des structures
- EXCEL 2010......Calcul.

•	WORD 2010	Traitement	du	texte.
---	-----------	------------	----	--------

• Power point2010......Présentation

ANNEXE

Annexe 1

Section en cm²de N armature ф en mm

Φ	5	6	8	10	12	14	16	20	25	32	40
1	0,2	0,28	0,5	0,79	1,13	1,54	2,01	3,14	4,91	8,04	12,57
2	0,39	0,57	1,01	1,57	2,26	3,08	4,02	6,28	9,82	16,08	25,13
3	0,59	0,85	1,51	2,36	3,39	4,62	6,03	9,42	14,73	24,13	37,70
4	0,79	1,13	2,01	3,14	4,52	6,16	8,04	12,57	19,63	32,17	50,27
5	0,98	1,41	2,51	3,93	5,65	7,70	10,05	15,71	24,54	40,21	62,83
6	1,18	1,70	3,02	4,71	6,79	9,24	12,06	18,85	29,45	48,25	75,40
7	1,37	1,98	3,52	5,50	7,92	10,78	14,07	21,99	34,36	56,30	87,96
8	1,57	2,26	4,02	6,28	9,05	12,32	16,08	25,13	39,27	64,34	100,53
9	1,77	2,54	4,52	7,07	10,18	13,85	18,10	28,27	44,18	72,38	113,10
10	1,96	2,83	5,03	7,85	11,31	15,39	20,11	31,42	49,09	80,42	125,66
11	2,16	3,11	5,53	8,64	12,44	16,93	22,12	34,56	54,00	88,47	138,23
12	2,36	3,39	6,03	9,42	13,57	18,47	24,13	37,70	58,91	96,51	150,8
13	2,55	3,68	6,53	10,21	14,70	20,01	26,14	40,84	63,81	104,55	163,36
14	2,75	3,96	7,04	11,00	15,83	21,55	28,15	43,98	68,72	112,59	175,93
15	2,95	4,24	7,54	11,78	16,96	23,09	30,16	47,12	73,63	120,64	188,50
16	3,14	4,52	8,04	12,57	18,10	24,63	32,17	50,27	78,54	128,68	201,06
17	3,34	4,81	8,55	13,35	19,23	26,17	34,18	53,41	83,45	136,72	213,63
18	3,53	5,09	9,05	14,14	20,36	27,71	36,19	56,55	88,36	144,76	226,20
19	3,73	5,37	9,55	14,92	21,49	29,25	38,20	59,69	93,27	152,81	238,76
20	3,93	5,65	10,05	15,71	22,62	30,79	40,21	62,83	98,17	160,85	251,33

Annexe 2

Dalles rectangulaires uniformément chargées

$\alpha = \frac{Lx}{Ly}$	ELU	ELU 0=0		0,2	$\alpha = \frac{Lx}{Ly}$	ELU v=0		ELS v=0,2		
	μ_X	μ_y	M_X	μ_y		μ_X	μ_y	μ_X	μ_y	
0,40	0,1101	0,2500	0,1121	0,2854	0,71	0,0671	0,4471	0,0731	0,594	
0,41	0,1088	0,2500	0,1110	0,2924	0,72	0,0658	0,4624	0,0719	0,6063	
0,42	0,1075	0,2500	0,1098	0,3000	0,73	0,0646	0,4780	0,0708	0,6188	
0,43	0,1062	0,2500	0,1087	0,3077	0,74	0,0633	0,4938	0,0696	0,6315	
0,44	0,1049	0,2500	0,1075	0,3155	0,75	0,0621	0,5105	0,0684	0,6447	
0,45	0,1036	0,2500	0,1063	0,3234	0,76	0,0608	0,5274	0,0672	0,658	
0,46	0,1022	0,2500	0,1051	0,3319	0,77	0,0596	0,5440	0,0661	0,671	
0,47	0,1008	0,2500	0,1038	0,3402	0,78	0,0584	0,5608	0,0650	0,6841	
0,48	0,0994	0,2500	0,1026	0,3491	0,79	0,0573	0,5786	0,0639	0,6978	
0,49	0,0980	0,2500	0,1013	0,3580	0,80	0,0561	0,5959	0,0628	0,7111	
0,50	0,0966	0,2500	0,1000	0,3671	0,81	0,0550	0,6135	0,0617	0,7246	
0,51	0,0951	0,2500	0,0987	0,3758	0,82	0,0539	0,6313	0,0607	0,7381	
0,52	0,0937	0,2500	0,0974	0,3853	0,83	0,0528	0,6494	0,0596	0,7518	
0,53	0,0922	0,2500	0,0961	0,3949	0,84	0,0517	0,6678	0,0586	0,7655	
0,54	0,0908	0,2500	0,0948	0,4050	0,85	0,0506	0,6864	0,0576	0,7794	
0,55	0,0894	0,2500	0,0936	0,4150	0,86	0,0496	0,7052	0,0566	0,7932	
0,56	0,0880	0,2500	0,0923	0,4254	0,87	0,0486	0,7244	0,0556	0,8074	
0,57	0,0865	0,2582	0,0910	0,4357	0,88	0,0476	0,7438	0,0546	0,8216	
0,58	0,0851	0,2703	0,0897	0,4462	0,89	0,0466	0,7635	0,0537	0,5358	
0,59	0,0836	0,2822	0,0884	0,4565	0,90	0,0456	0,7834	0,0528	0,8502	
0,60	0,0822	0,2948	0,0870	0,4672	0,91	0,0447	0,8036	0,0518	0,8646	
0,61	0,0808	0,3075	0,0857	0,4781	0,92	0,0437	0,8251	0,0509	0,8799	
0,62	0,0794	0,3205	0,0844	0,4892	0,93	0,0428	0,8450	0,0500	0,8939	
0,63	0,0779	0,3338	0,0831	0,5004	0,94	0,0419	0,8661	0,0491	0,9087	
0,64	0,0765	0,3472	0,0819	0,5117	0,95	0,0410	0,8875	0,0483	0,9236	
0,65	0,0751	0,3613	0,0805	0,5235	0,96	0,0401	0,9092	0,0474	0,9385	
0,66	0,0737	0,3753	0,0792	0,5351	0,97	0,0392	0,9322	0,0465	0,9543	
0,67	0,0723	0,3895	0,0780	0,5469	0,98	0,0384	0,9545	0,0457	0,9694	
0,68	0,0710	0,4034	0,0767	0,5584	0,99	0,0376	0,9771	0,0449	0,9847	
0,69	0,0697	0,4181	0,0755	0,5704	1	0,0368	1	0,0441	1	
0,70	0,0684	0,4320	0,0743	0,5817						

Annexe 3

Diagramme flexion simple

